



TUGAS AKHIR (RC18-4803)

DESAIN GEDUNG DENGAN SISTEM *SELF-CENTERING*

AYUNING DIAH NURYANI
NRP. 03111540000080

Dosen Pembimbing I
Ir. Faimun, M.Sc., Ph.D

Dosen Pembimbing II
Prof. Dr. Ir. I Gusti Putu Raka, DEA

DEPARTEMEN TEKNIK SIPIL
Fakultas Teknik Sipil, Lingkungan, dan Kebumian
Institut Teknologi Sepuluh Nopember
Surabaya
2019



TUGAS AKHIR (RC14-1501)

DESAIN GEDUNG DENGAN SISTEM *SELF-CENTERING*

AYUNING DIAH NURYANI
NRP. 03111540000080

Dosen Pembimbing I
Ir. Faimun, M.Sc., Ph.D

Dosen Pembimbing II
Prof. Dr. Ir. I Gusti Putu Raka, DEA

DEPARTEMEN TEKNIK SIPIL
Fakultas Teknik Sipil, Lingkungan, dan Kebumian
Institut Teknologi Sepuluh Nopember
Surabaya
2019



FINAL PROJECT (RC14-1501)

**DESIGN OF BUILDING WITH SELF-CENTERING
SYSTEM**

AYUNING DIAH NURYANI
NRP. 03111540000080

Academic Supervisor I
Ir. Faimun, M.Sc., Ph.D

Academic Supervisor II
Prof. Dr. Ir. I Gusti Putu Raka, DEA

CIVIL ENGINEERING DEPARTMENT
Faculty of Civil Engineering, Environtment and Geo
Engineering
Sepuluh Nopember Institute of Technology
Surabaya
2019

DESAIN GEDUNG DENGAN SISTEM *SELF-CENTERING*

TUGAS AKHIR

Diajukan untuk Memenuhi Salah Satu Syarat

Memperoleh Gelar Sarjana Teknik

Pada

Program S-1 Departemen Teknik Sipil

Fakultas Teknik Sipil, Lingkungan dan Kebumian

Institut Teknologi Sepuluh Nopember

Oleh:

AYUNING DIAH NURYANI

NRP 03111540000080

Disetujui oleh Pembimbing Tugas Akhir

1. Ir. Faimun, M.Sc., Ph.D.

2. Prof. Dr. Ir. I Gusti Putu Raka



**SURABAYA
JULI, 2019**

Halaman ini sengaja dikosongkan

DESAIN GEDUNG DENGAN SISTEM SELF-CENTERING

| | |
|-------------------------|--|
| Nama Mahasiswa | : Ayuning Diah Nuryani |
| NRP | : 03111540000080 |
| Departemen | : Teknik Sipil FTSLK-ITS |
| Dosen Konsultasi | : Ir. Faimun, M.Sc.,PhD Prof. Dr. Ir. I Gusti Putu Raka |

Abstrak

Bencana gempa bumi yang melanda kota Christchurch, Selandia Baru pada tahun 2011 menimbulkan banyak kerusakan permanen pada gedung-gedung bertingkat yang terbuat dari beton. Tetapi, terdapat beberapa struktur yang tidak mengalami kerusakan permanen dan bahkan gedung tetap dapat digunakan pasca gempa dikarenakan strukturnya yang menggunakan sistem self-centering. Self-centering adalah kemampuan suatu struktur untuk kembali ke posisi semula setelah mengalami simpangan akibat beban lateral. Kemampuan self-centering ini didapat dengan memberikan gaya pada tendon unbonded post-tensioned yang terdapat didalam elemen struktural, baik dinding geser maupun balok. Keuntungan dari sistem ini adalah dapat mengurangi kerusakan pada struktur setelah terkena gempa.

Dalam Tugas Akhir ini akan dilakukan desain modifikasi pada gedung Office Ciputra World Surabaya 3 menggunakan sistem self-centering yang memanfaatkan beton pracetak pada dinding geser dan balok. Dinding geser dan balok akan diberi tendon pasca-tegang yang tidak di-grout. Dari hasil analisis permodelan dinding geser menggunakan SAP2000, tegangan tendon masih bersifat elastis setelah diberi beban gempa dengan $R=3$, sehingga memungkinkan dinding geser kembali ke posisi semula. Selain itu, dikarenakan balok didesain dengan self-centering, maka hubungan balok-kolom

tidak bersifat monolit dan diberi gaya prategang pada tendonnya sehingga balok dapat kembali ke posisi semula setelah mengalami simpangan.

Kata Kunci : Self-Centering, Precast, Unbonded Post-tensioned

DESIGN OF BUILDING WITH SELF-CENTERING SYSTEM

| | |
|-------------|--|
| Name | : Ayuning Diah Nuryani |
| NRP | : 03111540000080 |
| Department | : Teknik Sipil FTSLK-ITS |
| Supervisors | : Ir. Faimun, M.Sc.,PhD Prof. Dr. Ir. I Gusti Putu Raka |

Abstract

Christchurch earthquake at 2011 has caused permanent damage to concrete buildings, but some buildings survived with little to no damage at all because their structure were designed with self-centering system. In self-centering buildings, the shear wall and/or the beams are post-tensioned and unbonded. The purpose of post-tensioning shear walls and beams is to make them capable of returning to their original position after being hit by lateral loads. Self-centering system can reduce the shear wall's drift, which in turn reduce the rehabilitation fee.

In this Final Project, writer will redesign Ciputra World Surabaya 3's Office Building using self-centering system. Unbonded post-tensioned tendon will be applied to shear wall and beams to hold lateral loads and reduce displacements. Analysis using SAP2000 shows that stresses in shear wall's tendons are still elastic even after being hit by lateral force using $R=3.5$, which means the shear-walls are able to self-center. In beam-column connections, there's a gap between beam and column to make beam freely rotates which eliminates plastic hinge. The force inside the beam's tendon will return the beam back to its original position, thus reducing cracking.

Keywords : Self-Centering, Precast, Unbonded Post-tensioned

Halaman ini sengaja dikosongkan

KATA PENGANTAR

Puji dan syukur saya panjatkan ke hadirat Tuhan Yang Maha Esa karena atas berkat rahmat, kasih dan bimbingan-Nya penulis dapat menyelesaikan Tugas Akhir yang berjudul “DESAIN GEDUNG DENGAN SISTEM SELF-CENTERING” ini dengan baik dan tepat waktu.

Adapun Tugas Akhir ini dibuat dengan tujuan untuk memenuhi syarat agar dapat melanjutkan ke Tugas Akhir sebagai syarat kelulusan Program Studi S-1 Departemen Teknik Sipil ITS Surabaya. Penulis berharap Tugas Akhir ini dapat memberikan konstribusi yang nyata dalam bidang keteknikspilan.

Dalam kesempatan ini, penulis ingin menyampaikan terima kasih kepada semua pihak yang telah berkontribusi atas terselesaiannya laporan Tugas Akhir ini, diantaranya :

1. Bapak Bambang Sudarmono dan Ibu Sri Sudarningsih, orangtua tercinta yang selalu mendoakan dan memotivasi saya untuk selalu mengerjakan dan menyelesaikan Tugas Akhir ini
2. Bapak Ir. Faimun, M.Sc., PhD dan Bapak Prof. Dr. Ir. I Gusti Putu Raka selaku dosen pembimbing yang telah bersabar dalam membimbing saya
3. Bapak Bambang Piscesa, ST., MT., yang turut membimbing saya dalam proses permodelan struktur.
4. Bapak Prof. Dr. Ir. Nadjaji Anwar, M.Sc selaku dosen wali yang selalu membantu dan mempermudah saya dalam proses akademik di ITS selama perkuliahan
5. Dosen – dosen dan pegawai kampus Departemen Teknik Sipil FTSLK ITS
6. Teman – teman yang selalu memberikan dukungan
7. Bapak dan Ibu TU yang membantu dan memudahkan dalam hal administrasi dan berkas-berkas.

Penulis menyadari bahwa tugas akhir ini masih jauh dari kesempurnaan. Karena itu, kritik dan saran sangat diharapkan untuk pengembangan selanjutnya. Semoga tugas akhir ini bermanfaat bagi generasi berikutnya.

Surabaya, Maret 2019

Penulis

DAFTAR ISI

| | |
|---|-----|
| LEMBAR PENGESAHAN | i |
| Abstrak | iii |
| KATA PENGANTAR | vii |
| DAFTAR ISI | ix |
| DAFTAR GAMBAR | xv |
| DAFTAR TABEL | xxi |
| BAB I PENDAHULUAN | 1 |
| 1.1 Latar Belakang | 1 |
| 1.2 Rumusan Masalah | 4 |
| 1.2.1 Umum | 4 |
| 1.2.2 Khusus | 5 |
| 1.3 Batasan Masalah | 5 |
| 1.4 Tujuan | 5 |
| 1.4.1 Umum | 5 |
| 1.4.2 Khusus | 6 |
| 1.5 Manfaat | 6 |
| BAB II TINJAUAN PUSTAKA | 7 |
| 2.1 Dinding Geser | 7 |
| 2.2 Sejarah Dinding Geser dengan Sistem <i>Self-Centering</i> | 9 |
| 2.2.1 Dinding <i>Precast</i> dengan Tendon <i>Unbonded Post-tensioned</i> | 16 |

| | |
|---|-----------|
| 2.2.2 <i>Jointed Walls</i> | 20 |
| 2.2.3 <i>Hybrid Walls</i> | 21 |
| 2.3 Hubungan Balok Kolom <i>Self-Centering</i> | 22 |
| BAB III METODOLOGI | 25 |
| 3.1 Bagan Alir Penyusunan Tugas Akhir | 25 |
| 3.2 Pengumpulan Data..... | 26 |
| 3.3 Pedoman Perencanaan | 28 |
| 3.4 <i>Preliminary Design</i> | 28 |
| 3.4.1 Struktur Primer..... | 28 |
| 3.4.2 Struktur Sekunder..... | 29 |
| 3.5 Pembebanan | 31 |
| 3.5.1 Beban Statis..... | 31 |
| 3.5.2 Beban Dinamis | 32 |
| 3.5.3 Kombinasi Pembebanan | 39 |
| 3.6 Permodelan Struktur | 40 |
| 3.6.1 Kriteria Permodelan Struktur | 40 |
| 3.6.2 Kontrol Permodelan Struktur | 41 |
| 3.7 Prosedur Desain Dinding Geser <i>Self-Centering</i> | |
| 42 | |
| 3.7.1 <i>Force-Based Design</i> | 42 |
| 3.7.2 <i>Direct-Displacement Based Design</i> | 44 |
| 3.8 Pemilihan Tendon | 45 |
| 3.9 Kehilangan Gaya Prategang..... | 47 |

| | |
|--|-----|
| 3.10 Desain Hubungan Balok Kolom | 51 |
| 3.11 Pengangkuran..... | 52 |
| 3.12 Perencanaan Basement..... | 53 |
| 3.13 Perencanaan Pondasi..... | 53 |
| 3.14 Output Gambar | 53 |
| BAB IV PEMBAHASAN | 55 |
| 4.1 <i>Preliminary Design</i> | 55 |
| 4.1.1 Data Perencanaan | 55 |
| 4.1.2 Pembebanan | 55 |
| 4.1.3 Perencanaan Balok | 56 |
| 4.1.4 Perencanaan Tebal Pelat..... | 58 |
| 4.1.5 Perencanaan Kolom..... | 66 |
| 4.1.6 Perencanaan Dinding Geser | 70 |
| 4.2 Perencanaan Struktur Sekunder | 70 |
| 4.2.1 Perencanaan Pelat..... | 70 |
| 4.2.2 Perencanaan Tangga..... | 77 |
| 4.2.3 Perencanaan Balok Lift | 86 |
| 4.2.4 Perencanaan Balok Anak | 91 |
| 4.3 Pembebanan dan Analisa Struktur..... | 96 |
| 4.3.1 Permodelan Struktur..... | 96 |
| 4.3.2 Pembebanan Gravitasi..... | 97 |
| 4.3.3 Pembebanan Gempa Dinamis | 100 |
| 4.4 Perencanaan Struktur Primer | 113 |

| | | |
|---------|--|-----|
| 4.4.1 | Balok Induk Prategang | 113 |
| 4.4.2 | Balok Induk Non-Prategang..... | 145 |
| 4.4.3 | Kolom..... | 153 |
| 4.4.4 | Hubungan Balok Kolom | 161 |
| 4.4.5 | Dinding Geser | 162 |
| 4.5 | Perencanaan Pondasi..... | 193 |
| 4.5.1 | Spesifikasi Tiang Pancang | 195 |
| 4.5.3 | Data Tanah | 196 |
| 4.5.4 | Perhitungan Daya Dukung Satu Tiang Pancang | 197 |
| 4.5.5 | Perhitungan Daya Dukung Tiang Pancang Kelompok | 204 |
| 4.5.6 | Kontrol Momen Lateral pada Tiang Pancang | 207 |
| 4.5.7 | Perencanaan Pilecap..... | 209 |
| 4.5.8 | Penulangan Tiang Pancang | 221 |
| 4.5.9 | Perencanaan Sloof Pondasi | 226 |
| 4.6 | Perencanaan Basement | 228 |
| 4.5.7.1 | Perhitungan Tekanan Tanah Aktif | 229 |
| 4.5.7.2 | Perhitungan Tekanan Akibat Air..... | 229 |
| 4.5.7.3 | Penulangan Dinding Basement | 230 |
| 4.5.7.4 | Perencanaan Pelat Dasar Basement..... | 231 |
| BAB V | KESIMPULAN | 239 |
| 5.1 | Kesimpulan | 239 |

| | |
|---------------------|-----|
| 5.2 Saran | 241 |
| DAFTAR PUSTAKA..... | 243 |

Halaman ini sengaja dikosongkan

DAFTAR GAMBAR

| | |
|---|----|
| Gambar 1. 1 Tampak Utara dan Timur Gedung Office Ciputra World Surabaya 3 | 3 |
| Gambar 1. 2 Potongan Memanjang Gedung Office Ciputra World Surabaya 3 | 4 |
| | |
| Gambar 2. 1 Gedung Plaza One (kiri)..... | 7 |
| Gambar 2. 2 Sambungan Horizontal pada Konstruksi Dinding Geser Pracetak yang Monolitik | 9 |
| Gambar 2. 3 Detail Sambungan Dinding Geser dengan Pondasi | 9 |
| Gambar 2. 4 Denah Benda Uji Riset PRESSS | 10 |
| Gambar 2. 5 Potongan Benda Uji Riset PRESSS | 11 |
| Gambar 2. 6 Minor Spalling pada Dasar Dinding Geser | 12 |
| Gambar 2. 7 Desain Benda Uji Satu | 13 |
| Gambar 2. 8 Desain Benda Uji Dua..... | 13 |
| Gambar 2. 9 Gedung Paramount..... | 15 |
| Gambar 2. 10 Perilaku Self-Centering | 16 |
| Gambar 2. 11 Grafik Hubungan <i>Base Shear-Roof Drift</i> Dinding Geser Precast dengan Tendon <i>Unbonded Post-tensioned</i> | 17 |
| Gambar 2. 12 Desain Dinding <i>Precast</i> dengan Tendon <i>Unbonded Post-tensioned</i> | 18 |
| Gambar 2. 13 Perilaku (a) <i>Gap</i> dan (b) <i>Shear Slip</i> | 19 |
| Gambar 2. 14 Grafik <i>Roof-Drift Time History</i> | 20 |
| Gambar 2. 15 <i>Jointed Walls</i> | 21 |
| Gambar 2. 16 <i>Hybrid Walls</i> | 22 |
| Gambar 2. 17 Hubungan Balok-Kolom <i>Self-Centering</i> | 23 |
| Gambar 2. 18 Skema Hubungan Balok Kolom <i>Hybrid</i> | 24 |

| | |
|--|----|
| Gambar 2. 19 Lup Histeresis Sistem <i>Hybrid</i> | 24 |
| | |
| Gambar 3. 1 Bagan Alir Penyusunan Tugas Akhir..... | 26 |
| Gambar 3. 2 Parameter gerak tanah Ss, gempa maksium yang dipertimbangkan risiko-tertarget (MCER) wilayah Indonesia untuk spektrum respons 0,2-detik (redaman kritis 5%), pada kelas situs BC (SBC)..... | 34 |
| Gambar 3. 3 Parameter gerak tanah, S1, gempa maksimum yang dipertimbangkan risiko-tertarget (MCER) wilayah Indonesia untuk spektrum respons 0,2-detik (redaman kritis 5%), pada kelas situs BC (SBC).. | 35 |
| Gambar 3. 4 Spektrum Respons Desain | 37 |
| Gambar 3. 5 Prosedur <i>Force-Based Design</i> | 43 |
| Gambar 3. 6 Prosedur <i>Direct Displacement-Based Design</i> | 45 |
| | |
| Gambar 4. 1 Denah Pembalokan..... | 57 |
| Gambar 4. 2 Variasi Pelat | 61 |
| Gambar 4. 3 Denah Pelat Tipe 6 Dimensi 320 x 300 cm | 62 |
| Gambar 4. 4 Kolom yang Akan Ditinjau | 67 |
| Gambar 4. 5 Tampak Atas Pelat Lantai Kantor Tipe 1 | 72 |
| Gambar 4. 6 Potongan Pelat Rencana..... | 73 |
| Gambar 4. 7 Denah Tangga | 78 |
| Gambar 4. 8 Potongan A-A Tangga | 78 |
| Gambar 4. 9 Pembebanan Beban Mati pada Tangga dan Bordes | 80 |
| Gambar 4. 10 Pembebanan Beban Hidup pada Tangga dan Bordes | 80 |

| | |
|---|-----|
| Gambar 4. 11 Diagram Momen pada Tangga dan Bordes | 81 |
| Gambar 4. 12 Diagram Gaya Geser pada Tangga dan Bordes | 81 |
| Gambar 4. 13 Spesifikasi Lift..... | 87 |
| Gambar 4. 14 Profil WF 350 x 250 x 9 x 14..... | 88 |
| Gambar 4. 15 Skema Pembebatan Balok Lift | 89 |
| Gambar 4. 16 Permodelan pada SAP2000..... | 97 |
| Gambar 4. 17 Grafik Respon Spektrum Desain..... | 102 |
| Gambar 4. 18 Letak Balok Prategang | 113 |
| Gambar 4. 19 Potongan Penampang Tengah Bentang Balok Eksterior | 116 |
| Gambar 4. 20 Diagram Tegangan (Fo) Saat Transfer Tegangan pada Tengah Bentang..... | 119 |
| Gambar 4. 21 Diagram Tegangan Saat (Fo) Transfer Tegangan pada Tumpuan..... | 120 |
| Gambar 4. 22 Diagram Tegangan (Fo) Saat Beban Layan pada Tengah Bentang | 121 |
| Gambar 4. 23 Diagram Tegangan (Fo) Saat Beban Layan pada Tumpuan | 122 |
| Gambar 4. 24 Diagram Tegangan (Fe) Saat Beban Layan pada Tengah Bentang | 128 |
| Gambar 4. 25 Diagram Tegangan (Fe) Saat Beban Layan padaTumpuan | 129 |
| Gambar 4. 26 Diagram Momen Hasil Perhitungan SAP2000..... | 131 |
| Gambar 4. 27 Diagram Gaya Geser 0.35 m Dari Perletakan | 133 |
| Gambar 4. 28 Diagram Gaya Geser 9.25 m Dari Perletakan | 133 |
| Gambar 4. 29 Diagram Torsi 0.35 m dari Perletakan | 136 |

| | | |
|---------------------|---|-----|
| Gambar 4. 30 | Diagram Torsi 9.25 m dari Perletakan | 136 |
| Gambar 4. 31 | Diagram Equilibrium Kekuatan Nominal Beton..... | 138 |
| Gambar 4. 32 | Titik Angkat Balok..... | 142 |
| Gambar 4. 33 | Letak Titik Pengangkatan Balok Prategang Sumbu Y | 144 |
| Gambar 4. 34 | Letak Balok Induk Non-Prategang | 146 |
| Gambar 4. 35 | Diagram Momen Balok Induk Non-Prategang | 146 |
| Gambar 4. 36 | Diagram Gaya Geser Balok Induk Non-Prategang | 150 |
| Gambar 4. 37 | Diagram Torsi Balok Induk Non-Prategang | 152 |
| Gambar 4. 38 | Output spColumn Design Biaxial Kolom 80/80 | 154 |
| Gambar 4. 39 | Output tulangan spColumn Kolom 80/80 | 154 |
| Gambar 4. 40 | Dinding Geser Tipe 1 | 163 |
| Gambar 4. 41 | Dinding Geser Tipe 2 | 163 |
| Gambar 4. 42 | Pembagian Pembebanan Tiap Dinding Geser..... | 164 |
| Gambar 4. 43 | Pembebanan Beban Gravitasi pada Dinding Geser..... | 169 |
| Gambar 4. 44 | Letak Titik Joint Pondasi Dinding Geser Tipe 1 | 171 |
| Gambar 4. 45 | Letak Titik Joint Pondasi Dinding Geser Tipe 2 | 172 |
| Gambar 4. 46 | Pembebanan Beban Gempa Arah X pada Dinding Geser Tipe 1 | 176 |
| Gambar 4. 47 | <i>Properties Link Element Arah U1</i> | 177 |

| | |
|--|-----|
| Gambar 4. 48 Properties Link Element Arah U2 dan U3 | 177 |
| Gambar 4. 49 Link Element Sebagai Link Pondasi | 178 |
| Gambar 4. 50 Permodelan Gaya pada Tendon | 179 |
| Gambar 4. 51 Visualisasi Persamaan Equilibrium..... | 179 |
| Gambar 4. 52 Eksentrisitas Tendon terhadap Sumbu Netral Dinding Geser..... | 181 |
| Gambar 4. 53 Dinding Geser Tipe 1 | 182 |
| Gambar 4. 54 Output spColumn Dinding Geser Tipe 1 Bidang X Gaya X | 185 |
| Gambar 4. 55 Output spColumn Dinding Geser Tipe 1 Bidang X Gaya Y | 185 |
| Gambar 4. 56 Output spColumn Dinding Geser Tipe 1 Bidang Y Gaya X | 186 |
| Gambar 4. 57 Output spColumn Dinding Geser Tipe 1 Bidang Y Gaya Y | 186 |
| Gambar 4. 58 Visualisasi Reaksi Linear Dinding Geser <i>Self-Centering</i> | 192 |
| Gambar 4. 59 Denah Pondasi..... | 195 |
| Gambar 4. 60 Grafik Daya Dukung Tanah untuk Tiang Pancang Diameter 80 cm..... | 199 |
| Gambar 4. 61 Pondasi Tipe 1..... | 200 |
| Gambar 4. 62 Pondasi Tipe 2..... | 202 |
| Gambar 4. 63 Pondasi Tipe 3..... | 202 |
| Gambar 4. 64 Area Kritis Geser Satu Arah Pondasi Tipe 1 | 213 |
| Gambar 4. 65 Daerah Kritis untuk Perhitungan Tulangan Lentur | 215 |
| Gambar 4. 66 Permodelan Pilecap Tipe 2..... | 217 |
| Gambar 4. 67 Momen Arah X Pondasi Tipe 2 | 218 |
| Gambar 4. 68 Momen Arah Y Pondasi Tipe 2 | 218 |

| | |
|--|-----|
| Gambar 4. 69 Diagram Interaksi Tiang Pancang | 222 |
| Gambar 4. 70 Hasil Penulangan Tiang Pancang oleh spColumn..... | 222 |
| Gambar 4. 71 Diagram Interaksi Sloof | 227 |
| Gambar 4. 72 Hasil Penulangan Sloof dengan spColumn | 227 |
| Gambar 4. 73 Hasil Permodelan Dinding Basement Menggunakan SAP2000 | 230 |

DAFTAR TABEL

| | |
|--|----|
| Tabel 3. 1 Faktor Keutamaan Gempa | 32 |
| Tabel 3. 2 Koefisien situs, Fa | 36 |
| Tabel 3. 3 Koefisien situs, Fv | 36 |
| Tabel 3. 4 Kategori desain seismik berdasarkan parameter respons percepatan pada perioda pendek (SDS)..... | 38 |
| Tabel 3. 5 Kategori desain seismik berdasarkan parameter respons percepatan pada perioda 1 detik (S1) | 39 |
| Tabel 3. 6 Kombinasi Pembebanan | 39 |
| Tabel 3. 7 Prosedur analisis yang diizinkan..... | 41 |
| Tabel 3. 8 Tegangan Tekan Beton Ijin Sesaat Setelah Transfer Gaya Prategang | 46 |
| Tabel 3. 9 Tegangan Tarik Beton Ijin Sesaat Setelah Gaya Prategang | 47 |
| Tabel 3. 10 Tegangan Tekan Beton Ijin Saat Beban Layar | 47 |
| Tabel 3. 11 Nilai Ksh terhadap hari pemberian gaya prategang | 50 |
| Tabel 3. 12 Rumus Momen-Rotasi pada Hubungan Balok-Kolom <i>Self-Centering</i> | 52 |
| | |
| Tabel 4. 1 Tinggi Minimum Balok Non-Prategang | 56 |
| Tabel 4. 2 Rekapitulasi Dimensi Balok | 58 |
| Tabel 4. 3 Dimensi Balok yang Mengapit Pelat Tipe 6 | 62 |
| Tabel 4. 4 Rekapitulasi Tebal Pelat | 66 |
| Tabel 4. 5 Perhitungan Beban Lantai Kantor pada Kolom | 68 |
| Tabel 4. 6 Perhitungan Beban Lantai Atap pada Kolom | 69 |

| | |
|---|-----|
| Tabel 4. 7 Rekapitulasi Penulangan Pelat Lantai dan Atap | 76 |
| Tabel 4. 8 Rekapitulasi Penulangan Tangga dan Bordes | 86 |
| Tabel 4. 9 Rekapitulasi Penulangan Balok Anak..... | 96 |
| Tabel 4. 10 Rekapitulasi Pembebatan Satu Lantai Kantor | 98 |
| Tabel 4. 11 Rekapitulasi Pembebatan Lantai Atap | 99 |
| Tabel 4. 12 Selisih Perhitungan SAP2000 dan Manual | 100 |
| Tabel 4. 13 Parameter Respon Spektral..... | 101 |
| Tabel 4. 14 Nilai Periode Fundamental (T) dan Respon Spektral (Sa) | 102 |
| Tabel 4. 15 Periode dan Frekuensi Modal | 104 |
| Tabel 4. 16 Berat Bangunan Hasil Perhitungan SAP2000 | 105 |
| Tabel 4. 17 Gaya Geser Dasar Hasil Perhitungan SAP2000..... | 106 |
| Tabel 4. 18 Gaya Geser Dasar Hasil Perhitungan SAP2000 setelah Penskalaan Gaya | 107 |
| Tabel 4. 19 Rasio Partisipasi Massa | 109 |
| Tabel 4. 20 Kontrol Simpangan akibat Beban Gempa Arah X | 111 |
| Tabel 4. 21 Kontrol Simpangan akibat Beban Gempa Arah Y | 112 |
| Tabel 4. 22 Rekapitulasi Kehilangan Gaya Prategang | 127 |
| Tabel 4. 23 Spasi Maksimum Tulangan Geser | 135 |
| Tabel 4. 24 Ambang Batas Torsi untuk Penampang Solid | 137 |
| Tabel 4. 25 Rekapitulasi Penulangan Balok Prategang | 144 |

| | |
|---|-----|
| Tabel 4. 26 Rekapitulasi Penulangan Lentur Balok Induk Non-Prategang | 150 |
| Tabel 4. 27 Kuat Aksial Maksimum | 155 |
| Tabel 4. 28 Persyaratan Spasi Maksimum Tulangan Geser | 157 |
| Tabel 4. 29 Ambang Batas Torsi untuk Penampang Solid | 159 |
| Tabel 4. 30 Rekapitulasi Penulangan Kolom..... | 160 |
| Tabel 4. 31 Rekapitulasi Balok <i>Tributary Area 1</i> | 165 |
| Tabel 4. 32 Rekapitulasi Balok Tributary Area 2 | 166 |
| Tabel 4. 33 Rekapitulasi Balok Tributary Area 3 | 168 |
| Tabel 4. 34 Faktor Pembesaran Gaya Gempa untuk R=7 dan R=3 | 170 |
| Tabel 4. 35 Reaksi Gaya Gempa Dinding Geser Tipe 1 | 171 |
| Tabel 4. 36 Reaksi Gaya Gempa Dinding Geser Tipe 2 | 171 |
| Tabel 4. 37 Distribusi Vertikal Gaya Gempa pada Dinding Geser Tipe 1..... | 174 |
| Tabel 4. 38 Distribusi Vertikal Gaya Gempa pada Dinding Geser Tipe 2..... | 175 |
| Tabel 4. 39 Daya Dukung Tanah untuk <i>Pile</i> D80 pada Kedalaman 2 - 60 m..... | 198 |
| Tabel 4. 40 Pembebanan Pondasi Tipe 1 | 200 |
| Tabel 4. 41 Eksentrisitas Tiang Pancang Pondasi Tipe 1 | 201 |
| Tabel 4. 42 Kontrol Daya Dukung Satu Tiang Pancang pada Pondasi Tipe 2..... | 203 |
| Tabel 4. 43 Kontrol Daya Dukung Satu Tiang Pancang pada Pondasi Tipe 3..... | 204 |

| | |
|--|-----|
| Tabel 4. 44 Kontrol Daya Dukung Kelompok Pondasi Tipe 1 | 205 |
| Tabel 4. 45 Kontrol Daya Dukung Kelompok Pondasi Tipe 2 | 206 |
| Tabel 4. 46 Kontrol Daya Dukung Kelompok Pondasi Tipe 3 | 207 |
| Tabel 4. 47 Kontrol Momen Tiang Pancang Pondasi Tipe P1 | 208 |
| Tabel 4. 48 Kontrol Momen Tiang Pancang Pondasi Tipe P2 | 208 |
| Tabel 4. 49 Kontrol Momen Tiang Pancang Pondasi Tipe P3 | 209 |

BAB I

PENDAHULUAN

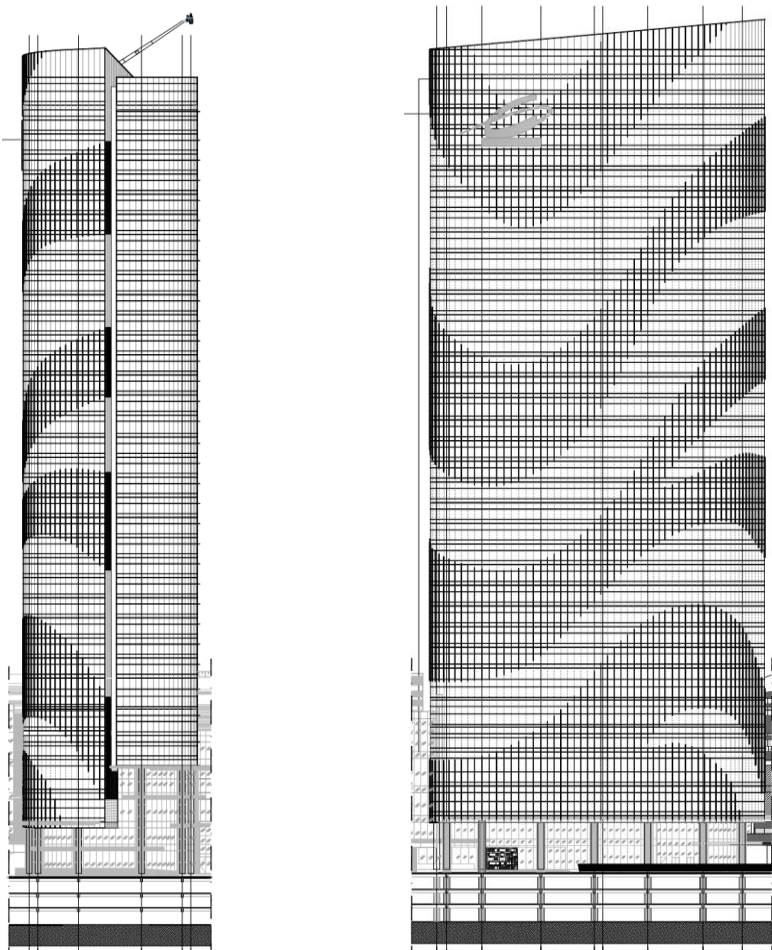
1.1 Latar Belakang

Pada 22 Februari 2011, gempa bumi berkekuatan 6.2 Skala Richter mengguncang kota Christchurch, Selandia Baru. Titik gempa berpusat hanya 10 km dari pusat kota dengan kedalaman 5 km, mengakibatkan banyak kerusakan yang terjadi pada bangunan-bangunan bertingkat yang berada di daerah tersebut. Selain bangunan tua, bangunan modern yang direncanakan dengan *building code* terbaru pun tidak luput dari kerusakan, salah satunya yaitu Gedung CTV yang mengalami keruntuhan total dan menelan korban jiwa sebanyak 175 orang. Hal ini menuntut pemerintah Selandia Baru untuk kerap mengevaluasi peraturan-peraturan gedung tahan gempa, mengingat negara tersebut berada pada jalur *Ring of Fire*.

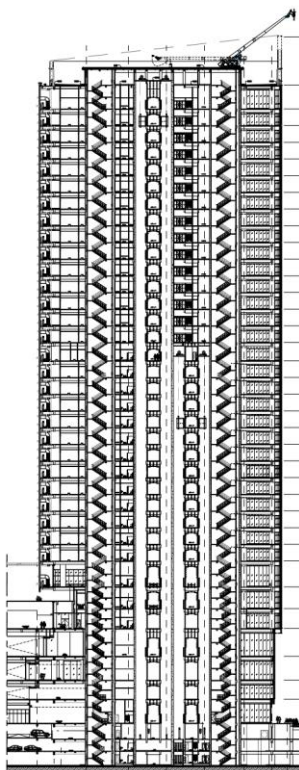
Selain bangunan yang runtuh dan mengalami kerusakan, ada beberapa bangunan yang tetap berdiri tanpa mengalami kerusakan parah, salah satunya yaitu Rumah Sakit Southern Cross yang merupakan bangunan di Selandia Baru yang pertama kali menggunakan suatu inovasi tahan gempa yaitu implementasi *precast concrete shearwall* dengan tulangan *unbonded post-tensioned*. *Precast concrete shear wall* adalah dinding geser dari beton yang dibuat secara fabrikasi atau pracetak, sedangkan tulangan *unbonded post-tensioned* adalah tulangan yang diberi gaya prategang setelah beton mengeras pada jangka waktu tertentu dan tidak di-grouting (*unbonded*). Hasil pemeriksaan setelah gempa berlangsung menunjukkan bahwa hanya terjadi kerusakan kecil pada bangunan tersebut, yaitu *cover* dari dinding geser yang mengalami minor crushing dan drift antar lantai sebesar 2,5% (Kam, Pampanin, dan Elwood, 2011)

Setelah memahami fenomena diatas, maka dapat dilihat bahwa dinding geser pracetak dengan tulangan *unbonded post-tensioned* memiliki sebuah keunggulan, yaitu kemampuan *self-centering*. *Self-centering* adalah kemampuan dinding geser untuk mengalami deformasi elastis tanpa mengalami kerusakan signifikan. Self-centering juga dapat mengurangi *drift* antar lantai yang besar yang sering terjadi pada dinding geser konvensional ketika terkena beban gempa. Selain itu, menggunakan tulangan *unbonded post-tensioned* juga dapat mengurangi jumlah tulangan vertikal hingga 50% (Stevenson dkk, 2014)

Pada Tugas Akhir ini akan dilakukan modifikasi pada Gedung Office Ciputra World Surabaya 3 yang memiliki 37 lantai dan 3 lantai basement. Desain awal gedung dapat dilihat pada Gambar 1.1 dan Gambar 1.2. Gedung Office Ciputra World Surabaya 3 yang semula menggunakan metode konstruksi sistem cor setempat akan didesain menjadi gedung 20 lantai dan 1 lantai basement dengan menggunakan sistem *self-centering* yang memanfaatkan beton pracetak.



Gambar 1. 1 Tampak Utara dan Timur Gedung
Office Ciputra World Surabaya 3
(Sumber: PT. Win-win Realty Centre)



Gambar 1. 2 Potongan Memanjang Gedung Office Ciputra
World Surabaya 3

(Sumber: PT. Win-win Realty Centre)

1.2 Rumusan Masalah

1.2.1 Umum

Bagaimana cara mendesain gedung Office Ciputra World Surabaya 3 dengan sistem *self-centering*?

1.2.2 Khusus

1. Bagaimana cara menentukan *preliminary design*, struktur primer, dan struktur sekunder yang sesuai dengan perencanaan?
2. Bagaimana perhitungan pembebanan setelah *preliminary design*?
3. Bagaimana cara melakukan analisa perhitungan struktur dengan menggunakan program bantu SAP2000?
4. Bagaimana cara menghitung gaya prategang dan jumlah tendon yang dibutuhkan?
5. Bagaimana cara membuat gambar teknik dari hasil perhitungan desain gedung Office Ciputra World Surabaya 3?

1.3 Batasan Masalah

Dalam penyusunan Tugas Akhir ini diambil batasan-batasan sebagai berikut:

1. Tidak memperhitungkan analisis biaya
2. Tidak membahas metode konstruksi yang akan digunakan
3. Desain tidak meliputi aspek MEP (*Mechanical, Electrical*, dan *Plumbing*)
4. Tidak menghitung *shear key* pada dinding geser *precast* (*shear slip* diabaikan)
5. Tidak menghitung pengangkatan dinding geser *precast*
6. Permodelan dinding geser hanya menggunakan analisis linear

1.4 Tujuan

1.4.1 Umum

Tujuan dari perencanaan ini adalah mampu mendesain gedung Office Ciputra World Surabaya 3 dengan sistem *self-centering*.

1.4.2 Khusus

1. Menentukan *preliminary design*, struktur primer, dan struktur sekunder yang sesuai dengan perencanaan
2. Melakukan perhitungan pembebanan setelah *preliminary design*
3. Melakukan analisa perhitungan struktur dengan menggunakan program bantu SAP2000
4. Menghitung gaya prategang dan jumlah tendon yang dibutuhkan
5. Membuat gambar teknik dari hasil perhitungan desain gedung Office Ciputra World Surabaya 3

1.5 Manfaat

Manfaat yang dapat diperoleh dari perencanaan ini adalah sebagai berikut:

1. Memahami konsep desain *self-centering*
2. Memahami perancangan gedung bertingkat menggunakan dinding geser pracetak dengan tulangan *unbonded post-tensioned*
3. Menambah wawasan penulis tentang desain dinding geser pracetak dengan tulangan *unbonded post-tensioned* sehingga dapat bermanfaat di masa mendatang ketika memasuki dunia kerja

BAB II

TINJAUAN PUSTAKA

2.1 Dinding Geser

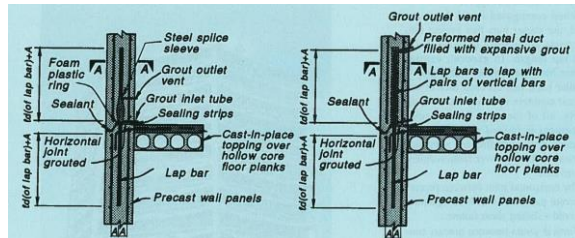
Dinding geser adalah struktur vertikal yang kaku dan terbuat dari beton. Dinding geser digunakan pada gedung bertingkat tinggi untuk mengurangi defleksi yang dapat terjadi akibat beban lateral. Menurut Fintel (1995), gedung dengan dinding geser memiliki performa seismik yang sangat baik dibandingkan gedung tanpa dinding geser. Hal ini dapat dilihat dari banyaknya gedung berdinding geser yang selamat saat mengalami gempa di Chili pada tahun 1960, hingga gempa di Armenia pada tahun 1988. Salah satu contohnya adalah gedung Plaza One di Caracas, Venezuela, yang tidak runtuh saat terkena gempa pada tahun 1967. Gedung Plaza One memiliki 16 lantai dan terletak di lokasi dengan risiko seismik tinggi. Gedung Plaza One menggunakan *bearing walls*, yaitu dinding geser yang selain menahan gaya lateral juga digunakan untuk menahan beban gravitasi. Dinding geser ini menambah kekakuan gedung agar dapat menahan gaya lateral. Seperti pada Gambar 2.1 dibawah ini, gedung Plaza One tetap berdiri sementara gedung 10 lantai didepannya roboh



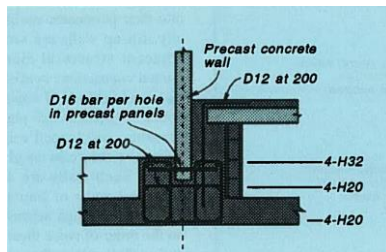
Gambar 2. 1 Gedung Plaza One (kiri)
(Sumber: Fintel, 1995)

Dalam penggerjaannya, dinding geser dapat dibangun dengan pracetak maupun *cast in-situ*. Metode pracetak memiliki banyak kelebihan diantaranya adalah fabrikasi yang dapat dilakukan di luar area konstruksi, mutu beton yang lebih terjamin, dan dapat mempercepat proses konstruksi berkat efisiensi pemasangannya. Tetapi, menurut Henry (2011), penggunaan beton pracetak pada daerah yang rentan dengan gempa masih memiliki beberapa keterbatasan. Hal ini dikarenakan penggerjaannya yang buruk dan detail sambungan yang tidak cukup kuat untuk menahan beban. Oleh karena itu, peraturan yang mengatur tentang penggunaan elemen pracetak pada daerah berisiko gempa harus terus dikembangkan, terutama pada detail sambungan.

Menurut Park (1995), sambungan horizontal pada dinding geser biasanya menggunakan *grout* dengan tekstur yang sengaja dibuat ‘kasar’ untuk menghindari kegagalan geser. Lalu tulangan vertikal pada dinding geser dihubungkan menggunakan *grouted steel sleeve splice* atau dengan membentuk *lap* seperti pada Gambar 2.2. Sementara itu, sambungan antar dinding dan pondasi didesain sedemikian rupa untuk menahan gaya gempa yang besar agar dinding dapat berperilaku secara elastis. Seperti Gambar 2.3, pada dasar dinding geser dibuat lubang untuk memasang tulangan horizontal yang berfungsi untuk menahan geser dan tegangan tarik saat terjadi momen guling



Gambar 2. 2 Sambungan Horizontal pada Konstruksi Dinding Geser Pracetak yang Monolitik
(Sumber: Park, 1995)

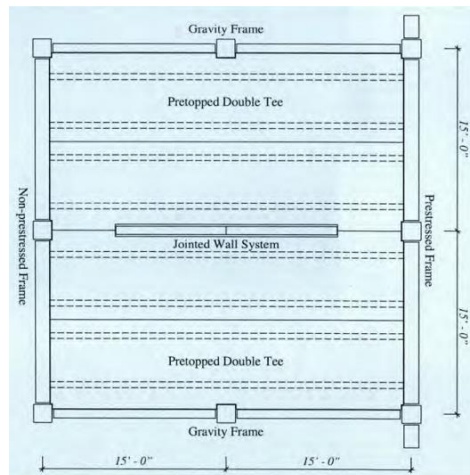


Gambar 2. 3 Detail Sambungan Dinding Geser dengan Pondasi
(Sumber: Park, 1995)

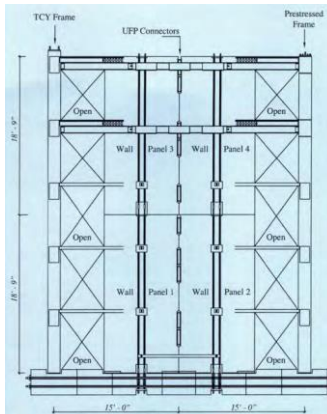
2.2 Sejarah Dinding Geser dengan Sistem *Self-Centering*

Sejarah perkembangan dari sistem *self-centering* berawal dari program riset PRESSS (*Precast Seismic Structural System*) yang dilaksanakan pada tahun 1999. Program ini adalah hasil kerjasama dari Amerika Serikat dan Jepang yang bertujuan untuk mengembangkan sistem struktur yang selain tahan gempa, juga memiliki risiko kerusakan yang minim. Dalam riset tersebut, para peneliti menggunakan benda uji yaitu sebuah gedung lima lantai dengan skala 60% yang menggunakan dinding geser *jointed* dan *frame* yang sebagian menggunakan *post-tensioned*

untuk mengaplikasikan sifat *self-centering*. Benda uji tersebut kemudian diberi beban lateral siklik. Benda uji ini didesain menggunakan metode DDBD (*Direct Displacement-Based Design*) dengan simpangan maksimum desain sebesar 2%. Denah dan potongan dari benda uji ini dapat dilihat pada Gambar 2.4 dan 2.5.



Gambar 2.4 Denah Benda Uji Riset PRESSS
(Sumber: Priestley, 1999)



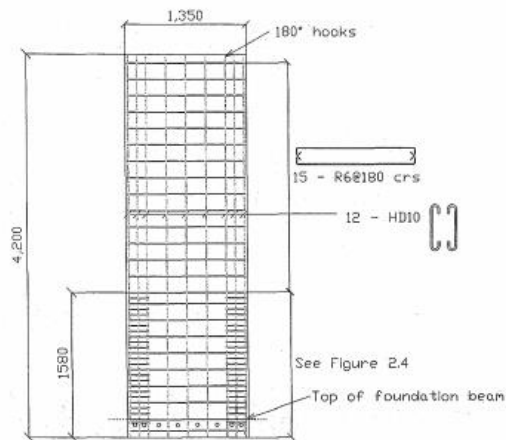
Gambar 2.5 Potongan Benda Uji Riset PRESSS
(Sumber: Priestley dkk, 1999)

Hasil dari percobaan ini menunjukkan hasil yang memuaskan, dimana pada saat benda uji diberi beban gempa 50% lebih besar dari desain awal, kerusakan yang terjadi hanyalah *spalling* kecil lapisan beton pada dasar dinding geser, seperti pada Gambar 2.6. Selain itu, simpangan maksimum yang terjadi adalah sebesar 1,8%, dimana simpangan maksimum desain adalah 2%. Simpangan residual yang terjadi juga rendah, yaitu sebesar 0,06% setelah mengalami simpangan puncak. Hal ini adalah karakteristik dari sistem *unbonded prestressing* yang menghasilkan gaya yang dapat mengembalikan struktur kembali ke posisi semula setelah mengalami simpangan. (Priestley dkk, 1999)

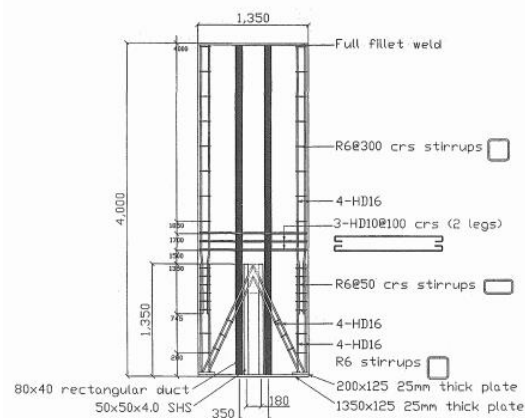


**Gambar 2. 6 Minor Spalling pada Dasar Dinding Geser
(Sumber: Priestley dkk, 1999)**

Selain percobaan PRESSS, percobaan lain yang menggunakan sistem *self-centering* adalah percobaan Holden (2001), dimana ia membuat dua benda uji yaitu dinding geser pertama yang didesain menggunakan tulangan konvensional biasa sementara benda uji kedua menggunakan tulangan *unbonded post-tensioned*. Hal yang digaris bawahi dari percobaan ini adalah penggunaan tulangan konvensional pada dasar dinding geser benda uji kedua yang berfungsi sebagai pendisipasi energi. Desain dari kedua benda uji dapat dilihat pada Gambar 2.7 dan 2.8



Gambar 2.7 Desain Benda Uji Satu
(Sumber: Holden, 2001)



Note: All stirrups have 90° hooks.

Gambar 2.8 Desain Benda Uji Dua
(Sumber: Holden, 2001)

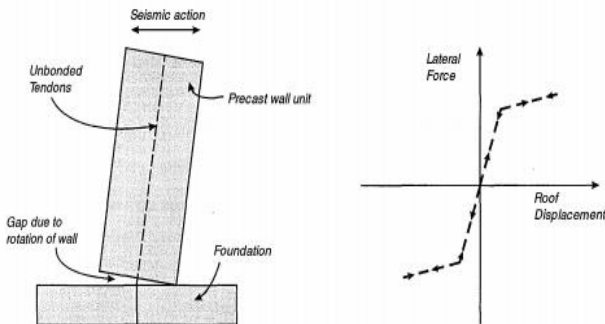
Hasil dari percobaan ini adalah benda uji satu mengalami banyak retakan pada badan dinding gesernya dan juga bagian dasar dinding gesernya mengalami kehancuran pada tiap ujungnya. Hal yang berlawanan terjadi pada benda uji dua, dimana hanya terbentuk satu garis retakan pada dasar dinding geser. Selain itu, benda uji dua juga dapat memikul gaya lateral yang lebih besar dibandingkan dengan benda uji satu.

Semenjak keberhasilan dari percobaan diatas, beberapa perencana gedung di Amerika Serikat banyak mencoba menerapkan konsep *self-centering* pada gedung tingkat tinggi. Salah satu contohnya adalah Gedung Paramount yang terletak di San Fransisco. Gedung Paramount, seperti pada Gambar 2.7, adalah apartemen 39 lantai yang terletak di zona seismik tertinggi menurut peraturan gedung Amerika Serikat. Gedung ini didesain menggunakan sistem *self-centering* yaitu sistem rangka pemikul momen hibrida yang identik dengan benda uji pada percobaan PRESSSS. Selain Gedung Paramount, gedung lain yang menggunakan sistem *self-centering* adalah gedung 5 lantai yang terletak di Universitas Victoria, Wellington, Selandia Baru. Gedung ini menggunakan tendon *unbonded post-tensioned* pada *frame* dan dinding gesernya. Selain tendon *unbonded post-tensioned*, gedung ini juga menggunakan tulangan konvensional untuk mendisipasi energi. (Henry, 2011)



**Gambar 2. 9 Gedung Paramount
(Sumber: Henry, 2011)**

Dari beberapa percobaan diatas, maka dapat dipahami bahwa dinding geser dengan sistem *self-centering* memiliki kelebihan yaitu dapat menahan gaya lateral sehingga dapat mengurangi kerusakan struktural secara signifikan. Perilaku dari *self-centering* dapat dilihat pada Gambar 2.10 dibawah ini. Tetapi, kelemahan dari sistem ini adalah kurangnya disipasi energi yang diakibatkan oleh respons elastik dari dinding tersebut. Hal ini berujung kepada besarnya simpangan lateral dan percepatan gempa yang tinggi. Oleh karena itu, untuk meningkatkan performa dari dinding geser tersebut dan struktur lain secara keseluruhan, maka dinding geser dengan tulangan *unbonded post-tensioned* biasanya dipasangkan dengan elemen yang dapat mendisipasi energi (Henry, 2011). Beberapa dinding geser dengan sistem *self-centering* yang dapat mendisipasi energi dan cocok untuk diaplikasikan di area dengan risiko gempa tinggi adalah *jointed walls* dan *hybrid walls*.



Gambar 2. 10 Perilaku Self-Centering
(Sumber: Sritharan, Aaleti, dan Thomas, 2007)

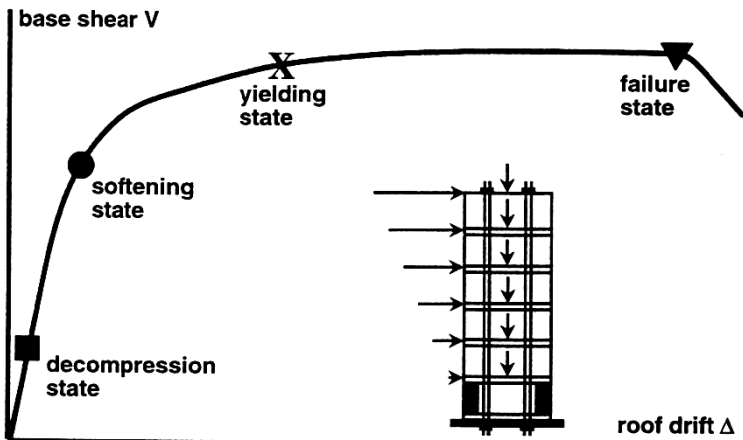
2.2.1 Dinding *Precast* dengan Tendon *Unbonded Post-tensioned*

Salah satu pengaplikasian sistem *self-centering* adalah dengan menggunakan tendon *unbonded post-tensioned* yang dipasang sepanjang tinggi dinding geser *precast*. Dalam Tugas Akhir ini, dinding geser akan didesain menggunakan teknologi *precast* dan tendon *unbonded post-tensioned*. Dinding *precast* dalam sistem ini tidak berperilaku seperti dinding cor insitu. Hal ini dikarenakan apabila dinding geser *precast* didesain seperti dinding geser cor insitu, maka biaya yang diperlukan akan jauh lebih besar (Kurama dkk. 1999).

Dinding geser *precast* dengan tendon *unbonded post-tensioned* dapat didesain untuk mengalami simpangan non-linear yang besar tanpa mengalami kerusakan yang signifikan. Perilaku non-linear ini disebabkan oleh terbentuknya *gap* pada dasar dinding geser *precast* dan pada sambungan horizontal (Kurama dkk. 1999).

Ketika diberikan gabungan gaya aksial-fleksural, dinding geser *precast* dengan tendon *unbonded post-*

tensioned mengalami empat tahapan yang dapat dilihat pada grafik *base shear-roof drift* dibawah ini.



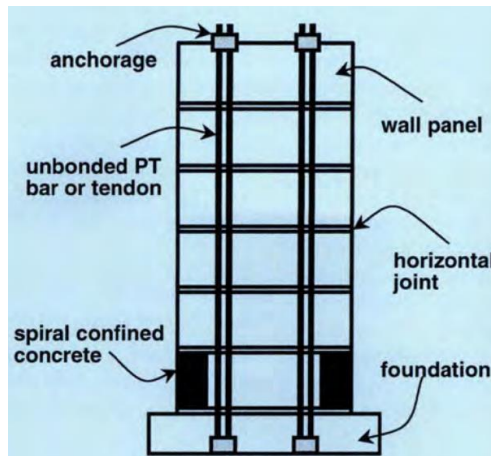
Gambar 2. 11 Grafik Hubungan *Base Shear-Roof Drift*
Dinding Geser Precast dengan Tendon *Unbonded Post-tensioned*

(Sumber: Kurama dkk, 1999)

Tahapan pertama adalah tahap penarikan (*decompression state*), dimana tahap tersebut adalah tahap awal dari perilaku nonlinear yang disebabkan oleh terbentuknya *gap* pada dasar dinding *precast*. Tetapi, kekakuan dari dinding belum banyak terpengaruh dikarenakan *gap* yang terbentuk belum terlalu signifikan. Tahapan kedua adalah tahap pelemahan (*softening state*) yaitu terjadinya pengurangan kekakuan dinding geser yang besar yang diakibatkan oleh terbentuknya *gap* pada dasar dinding geser yang cukup besar. Tahapan ketiga adalah tahap peleahan (*yielding state*) dimana tendon mengalami regangan yang melebihi batas elastis (*limit of proportionality*). Tahapan ini biasanya ditandai dengan

kerusakan kecil pada ujung dasar dinding geser. Tahapan yang terakhir adalah tahap kegagalan (*failure state*) dimana lapisan beton pada dasar dinding geser mengalami kehancuran (Kurama dkk. 1999).

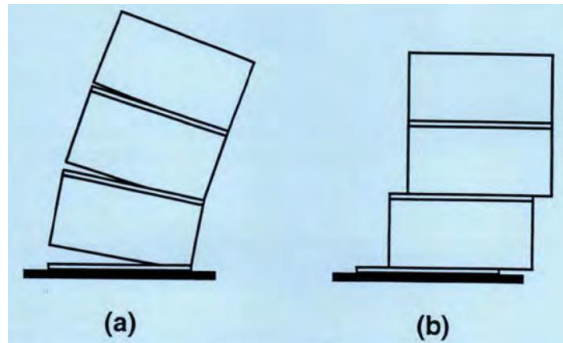
Contoh desain dari dinding *precast* dengan tendon *unbonded post-tensioned* dapat dilihat pada gambar dibawah ini.



Gambar 2. 12 Desain Dinding *Precast* dengan Tendon *Unbonded Post-tensioned*
(Sumber: Kurama dkk, 1999)

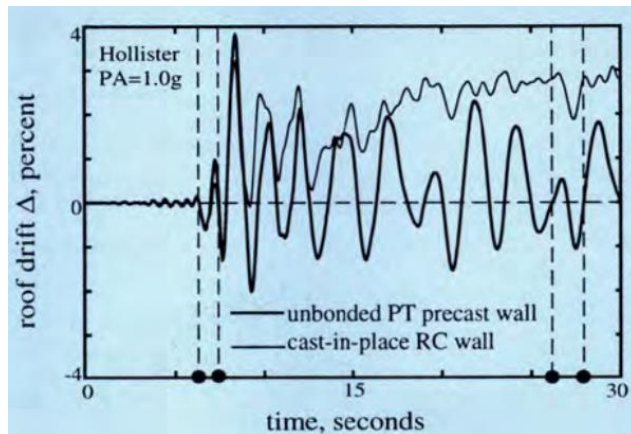
Selain *gap*, menurut Kurama dkk (1999), perilaku lain yang dapat terjadi adalah *shear slip*. Pada kasus terbentuknya *gap*, gaya *post-tensioning* dan gaya gravitasi dapat menutup *gap* ini saat fase *unloading*. Tetapi, pada kasus *shear slip*, tidak ada gaya yang dapat mengembalikan dinding geser ke posisi semula setelah mengalami *shear slip*, sehingga perhitungan besar *shear slip* yang dapat terjadi saat gempa menjadi sangat sulit. Oleh karena itu, *shear slip* harus dicegah dengan desain dan *detailing* yang mencukupi pada dinding. Dalam

Tugas Akhir ini, pengaruh *shear slip* tidak diperhitungkan. Visualisasi dari terbentuknya *gap* dan *shear slip* dapat dilihat pada gambar dibawah ini



Gambar 2. 13 Perilaku (a) *Gap* dan (b) *Shear Slip*
(Sumber: Kurama dkk, 1999)

Berdasarkan percobaan oleh Kurama dkk (1999), analisa nonlinear dinamis menunjukkan bahwa dinding geser *precast* dengan tendon *unbonded post-tensioned* mengalami *drift* yang lebih besar dari dinding geser cor insitu. Tetapi, *residual drift* dari dinding geser *precast* dengan tendon *unbonded post-tensioned* lebih kecil daripada dinding geser cor insitu. Hasil dari percobaan Kurama dkk dapat dilihat pada gambar dibawah ini

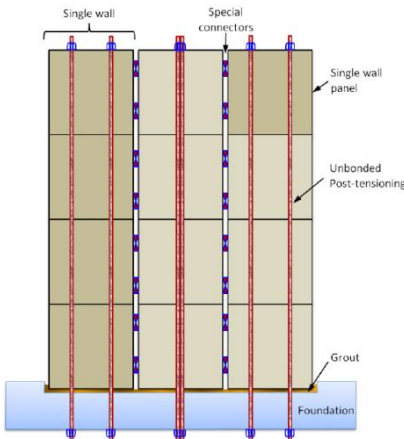


Gambar 2. 14 Grafik Roof-Drift Time History
(Sumber: Kurama dkk, 1999)

2.2.2 Jointed Walls

Jointed walls adalah sistem dinding yang menggunakan dua atau lebih dinding beton *precast* yang diletakkan bersebelahan dan kemudian disambung menggunakan *shear connector* khusus pada sambungan vertikalnya. Dinding ini kemudian diberikan tulangan *post-tensioned* hingga ke pondasi tanpa di-*grout*. Ketika dibebani dengan gaya lateral, terjadi deformasi inelastis yang ditandai dengan retakan pada dasar dinding. Saat dinding berotasi, retakan ini menyebabkan dinding terangkat keatas yang menyebabkan pergeseran vertikal pada sambungan antar dinding yang menyebabkan sambungan mengalami deformasi inelastis. Dengan begitu, sambungan antar dinding dapat mendisipasi energi sementara tendon yang didesain elastik dapat menjadi

gaya yang mengembalikan dinding ke posisi semula. Desain dari *jointed walls* dapat dilihat pada Gambar 2.11

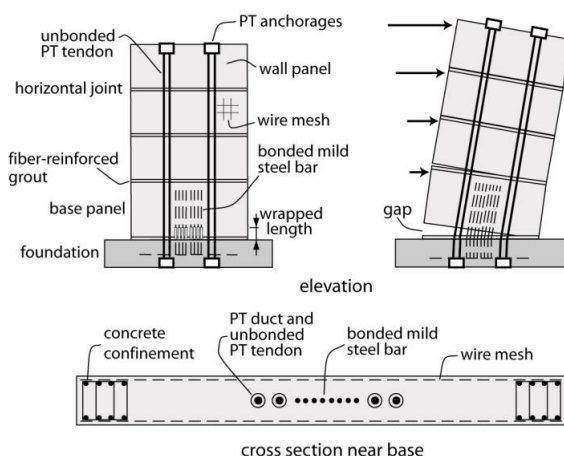


Gambar 2.15 Jointed Walls
(Sumber: Sritharan, Aaleti, dan Thomas, 2007)

2.2.3 Hybrid Walls

Hybrid walls adalah sistem dinding yang mengkombinasikan tendon *unbonded post-tensioned* dan tulangan baja konvensional pada dasar dindingnya. Tujuan dari kombinasi ini adalah untuk mengatasi kelemahan dari sistem *self-centering* biasa yaitu besarnya simpangan yang dapat terjadi. Ketika dibebani gaya lateral, tendon didalam angkur tetap memanjang dan dinding akan mengalami retak pada dasar dinding yang menyebabkan terbukanya celah saat dinding berotasi. Tulangan baja pada dasar dinding akan mengalami leleh yang dapat menahan momen pada dasar dinding dan mendisipasi energi. Tulangan baja tersebut kemudian dimasukkan ke dalam

pondasi menggunakan *grouted duct*, tetapi pada panjang tertentu, tulangan dibiarkan *unbonded* untuk mencegah kerusakan pada tulangan baja ketika terkena beban gempa, seperti pada Gambar 2.12. Perilaku *self-centering* dapat terjadi hanya apabila kontribusi momen tendon *unbonded post-tensioned* lebih besar dari tulangan konvensional. (Smith dan Kurama, 2008)

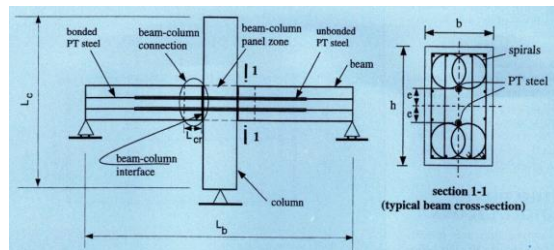


Gambar 2. 16 Hybrid Walls
(Sumber: Smith dan Kurama, 2008)

2.3 Hubungan Balok Kolom *Self-Centering*

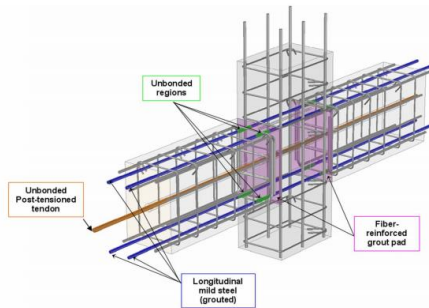
Pada frame yang menggunakan sistem *self-centering*, frame didesain dengan prinsip daktail, dimana deformasi non-linear/inelastis hanya terjadi pada hubungan balok kolom. Tidak seperti hubungan balok-kolom monolit, pada hubungan balok-kolom *self-centering*, retak tidak akan terjadi pada balok karena balok dan kolom tidak menyatu secara monolit, melainkan ada “celah” kecil diantara

keduanya. Untuk mengatasi tegangan yang kemungkinan terjadi pada hubungan balok-kolom, maka perlu dipasang tulangan spiral pada balok untuk mengatasi tekanan yang besar disekitar hubungan balok-kolom, seperti pada gambar dibawah ini (El-Sheikh dkk, 1999).



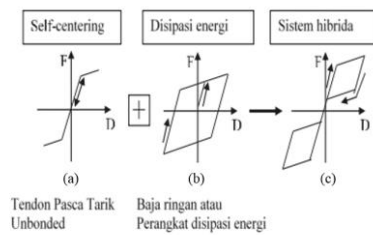
Gambar 2. 17 Hubungan Balok-Kolom *Self-Centering*
(Sumber: El-Sheikh dkk, 1999)

Hubungan balok kolom yang menggunakan sistem *self-centering* dengan tambahan elemen peredam disipasi sering disebut juga dengan hubungan balok kolom *hybrid*. Pada balok kolom digunakan tendon pasca tarik dan tulangan baja konvensional pada bagian atas dan bawah balok sebagai disipator energi sehingga simpangan yang terjadi tidak terlalu besar. (Porco, Raffaele, dan Uva, 2013)



Gambar 2. 18 Skema Hubungan Balok Kolom Hybrid
(Sumber: Porco, Raffaele, dan Uva, 2013)

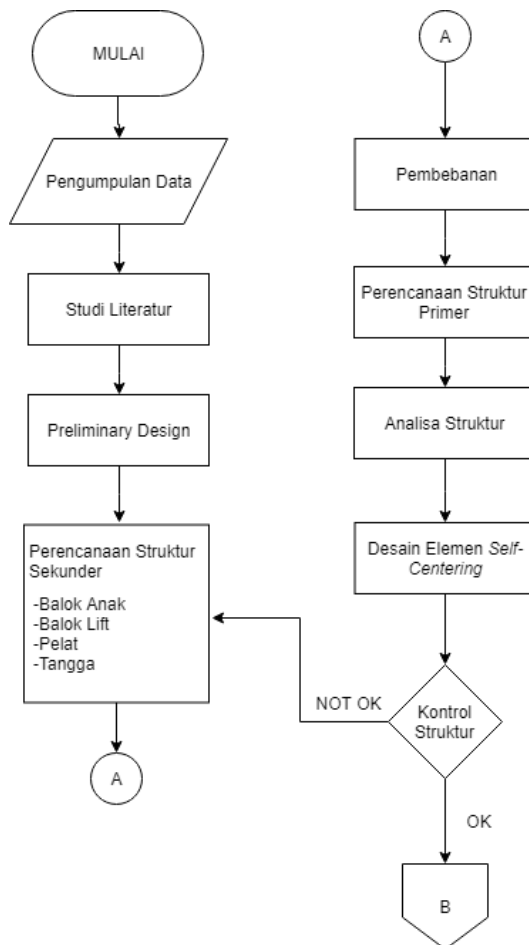
Efek dari tulangan konvensional sebagai disipator energi dapat dilihat pada Gambar 2.17 dibawah ini. Gambar 2.17(a) menunjukkan kurva berbentuk bi-linear yang merupakan respons tipikal dari sistem elastik yang hanya menggunakan tendon *unbonded post-tensioned*. Pada kurva tersebut, tidak ada energi yang didisipasi. Gambar 2.17(b) menunjukkan siklus histeresis ideal dari sistem elasto-plastis yang dapat mendisipasi energi. Gabungan dari kedua kurva ini menghasilkan Gambar 2.17(c), yaitu lup histeresis berbentuk bendera.

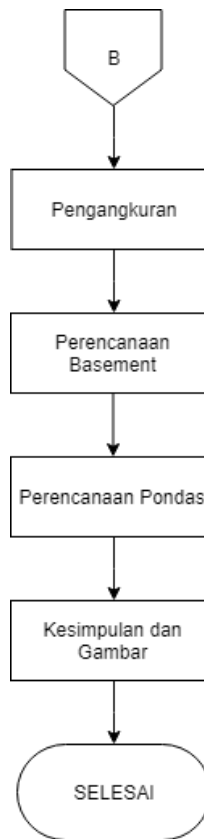


Gambar 2. 19 Lup Histeresis Sistem Hybrid
(Sumber: Yudi, 2018)

BAB III METODOLOGI

3.1 Bagan Alir Penyusunan Tugas Akhir





Gambar 3. 1 Bagan Alir Penyusunan Tugas Akhir

3.2 Pengumpulan Data

Data bangunan yang akan digunakan dalam perencanaan modifikasi ini adalah:

Tipe Bangunan : Gedung Perkantoran

Lokasi : Jln. Mayjend Sungkono, Surabaya

Jumlah Lantai : 37 lantai & 3 lantai *basement*

Ketinggian Lantai

Basement (B1) : 4,00 m
Basement (B2) : 3,00 m
Basement (B3) : 3,60 m
 Lantai GF, 2, 37: 6,00 m
 Lantai 1 : 4,80 m
 Lantai 3 : 7,00 m
 Lantai 5 : 5,00 m
 Lantai 6 : 5,50 m
 Lantai 7 : 6,50 m
 Lantai 8-36 : 4,20 m
 Lantai 20 : 4,60 m

Tinggi Total Bangunan: 160,60 m

Luas Bangunan : $\pm 289.840 \text{ m}^2$

Mutu Beton : 25 MPa (balok dan pelat) & 45 MPa (kolom dan dinding geser)

Mutu Baja : 240 MPa & 500 MPa

Bangunan gedung tersebut akan dimodifikasi sehingga data bangunan yang direncanakan sebagai berikut :

Tipe Bangunan : Gedung Perkantoran

Lokasi : Jln. Mayjend Sungkono, Surabaya

Jumlah Lantai : 20 lantai & 1 lantai *basement*

Ketinggian Lantai

Basement : 4,20 m
 Lantai 1-20 : 4,20 m

Tinggi Total Bangunan: 58,80

Luas Bangunan : $\pm 25.469,75 \text{ m}^2$

Mutu Beton : 25 MPa (pelat) dan 45 MPa (balok, kolom, dan dinding geser)

Mutu Baja : 420 MPa

3.3 Pedoman Perencanaan

Desain modifikasi gedung Office Ciputra World Surabaya 3 menggunakan beberapa buku dan peraturan yang terbaru, yaitu:

1. RSNI 2847:2018 Persyaratan Beton Struktural untuk Bangunan Gedung
2. SNI 1726:2018 Tata Cara Perencanaan Ketahanan Gempa Untuk Struktur Bangunan Gedung dan Non Gedung
3. SNI 1727:2013 Beban Minimum untuk Perancangan Bangunan Gedung dan Struktur Lain
4. Peraturan Pembebanan Indonesia untuk Gedung (PPIUG) 1983

3.4 Preliminary Design

3.4.1 Struktur Primer

3.4.1.1 Balok

Untuk menentukan dimensi balok, dapat digunakan asumsi awal sebagai berikut:

$$h_{min} = \frac{L}{16}$$

$$b = \frac{2}{3} h_{min}$$

3.4.1.2 Kolom

Untuk menentukan dimensi kolom, harus ditentukan terlebih dahulu beban yang akan membebani kolom tersebut, kemudian dikalikan dengan faktor beban. Setelah itu, luas penampang kolom dapat dicari dengan rumus berikut:

$$A = \frac{W}{\frac{1}{3}fc'}$$

Dimana:

A = Luas kolom rencana

W = Beban total terfaktor

fc' = Mutu beton (MPa)

3.4.1.3 Dinding Geser

Dalam perencanaannya, dinding geser harus memenuhi RSNI 2847:2018 pasal 11.

3.4.2 Struktur Sekunder

3.4.2.1 Plat

Langkah-langkah perhitungan dalam menentukan dimensi pelat adalah sebagai berikut:

1. Menentukan terlebih dahulu apakah pelat termasuk pelat satu arah (*one-way slab*) atau pelat dua arah (*two-way slab*)
2. Tebal minimum pelat satu arah (*one-way slab*) menggunakan rumus sesuai dengan RSNI 2847:2018 tabel 7.3.1.1. Sedangkan untuk pelat dua arah (*two-way slab*) menggunakan rumus sesuai dengan RSNI 2847:2018 tabel 8.3.1.1

Penulangan lentur minimal pada plat lantai satu arah non-prategang diatur pada RSNI 2847:2018 pasal 7.6, sementara penulangan lentur minimal pada plat lantai dua arah arah non-prategang diatur pada RSNI 2847:2018 pasal 8.6. Langkah-langkah perhitungan dalam menghitung tulangan lentur pelat adalah sebagai berikut:

- Menentukan mutu beton (f'_c), mutu baja (f_y), m ($\frac{f_y}{0.85f'_c}$), dan d (jarak as tulangan lentur ke serat tekan terluar penampang).
- Menghitung R_n (*flexural resistance factor*) dengan rumus berikut:

$$R_n = \frac{M_u}{\phi b d^2}$$

- Menghitung rasio tulangan ρ dengan rumus berikut:

$$\rho = \frac{1}{m} \left(1 - \sqrt{1 - \frac{2mR_n}{f_y}} \right)$$

- Menentukan ρ pakai dengan ketentuan sebagai berikut:
 - Apabila $\rho < \rho_{min}$, maka ρ pakai = ρ_{min}
 - Apabila $\rho_{min} < \rho < \rho_{max}$, maka ρ pakai = ρ
 - Apabila $\rho > \rho_{max}$, maka ρ pakai = ρ_{max}

3.4.2.2 Tangga

Perencanaan desain awal tangga yaitu lebar dan tinggi injakan adalah menggunakan rumus berikut:

$$60 \leq (2r+t) \leq 65$$

$$25^\circ \leq \alpha \leq 40^\circ$$

Dimana:

r = tinggi injakan

t = lebar injakan

α = sudut kemiringan tangga

Untuk penulangan tangga, perhitungan penulangan bordes dan pelat dasar tangga dilakukan sama dengan perencanaan tulangan pelat. Tangga akan dimodelkan menggunakan program SAP2000. Perencanaan tebal tangga ditentukan sesuai dengan ketentuan dalam perhitungan awal dimensi pelat

3.5 Pembebanan

Dalam melakukan analisa desain suatu struktur, perlu ada gambaran yang jelas mengenai besar beban yang bekerja pada struktur karena perilaku suatu struktur sangat dipengaruhi oleh beban-beban yang bekerja pada struktur tersebut. Menurut karakteristiknya, beban yang bekerja pada suatu struktur dibagi menjadi dua, yaitu beban statis dan beban dinamis. Berikut akan dijelaskan lebih detail mengenai pembebanan sesuai dengan ketentuan berdasarkan SNI 1727:2013, RSNI 2847:2018, SNI 1726:2018, dan PPIUG 1983.

3.5.1 Beban Statis

Beban statis adalah beban yang bekerja secara terus menerus pada struktur dan mempunyai sifat tetap. Jenis-jenis beban statis menurut PPIUG 1983 adalah sebagai berikut:

1. Beban Mati

Ketentuan beban mati dijelaskan pada PPIUG 1983

2. Beban Hidup

Ketentuan beban hidup dijelaskan pada PPIUG 1983. Pada atap gedung yang dapat dicapai dan dibebani oleh manusia, beban hidup harus diambil minimum sebesar 100 kg/m^2 bidang datar, sedangkan pada atap/bagian atap yang tidak dapat dicapai atau dibebani oleh manusia, besar beban hidup yang harus diambil adalah yang terbesar dari:

- a. Beban terbagi rata air hujan

$$W_{ah} = 40 - 0,8\alpha$$

Dimana:

α = sudut kemiringan atap (jika $\alpha > 50^\circ$, dapat diabaikan)

W_{ah} = beban air hujan (kg/m^2 , minimal W_{ah} atau $20\text{kg}/\text{m}^2$)

- b. Beban terpusat dari berat pekerja atau pemadam kebakaran dan peralatannya sebesar minimum 100 kg

3.5.2 Beban Dinamis

Beban gempa dihitung berdasarkan SNI 1726:2018 untuk daerah Surabaya. Pembebanan gravitasi struktur hanya diterima oleh *frame* saja. Perencanaan beban gempa pada struktur menggunakan metode diafragma, dimana pengaruh pada struktur dibebankan langsung ke pusat massa bangunan (*center of mass*). Pada metode analisis beban statik ekivalen, gaya geser dasar akibat gempa diperoleh dengan mengalikan berat gedung dengan faktor-faktor modifikasi yang sesuai dengan peraturan pembebanan yang ada. Untuk menentukan metode analisis yang sesuai untuk struktur yang akan direncanakan, maka harus ditentukan terlebih dahulu kategori risiko bangunan dan kategori desain seismik dari gedung yang akan direncanakan.

3.5.2.1 Karakteristik Risiko Gedung

Kategori risiko gedung dapat ditentukan pada SNI 1726:2018 tabel 3. Setelah itu ditentukan faktor keutamaan gempa seperti pada tabel 3.1

Tabel 3. 1 Faktor Keutamaan Gempa

| Kategori risiko | Faktor keutamaan gempa, I_e |
|-----------------|-------------------------------|
| I atau II | 1,0 |
| III | 1,25 |
| IV | 1,50 |

(Sumber: SNI 1726:2018)

3.5.2.2 Kelas Situs

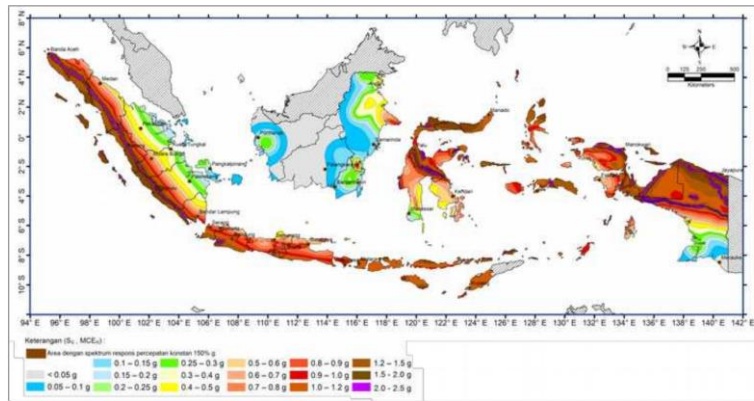
Kelas situs ditentukan berdasarkan data tanah yang didapat dari proses pengumpulan data di lokasi gedung akan dibangun. Jenis kelas situs dapat dilihat pada Tabel 5 SNI 1726:2018. Dalam perencanaan gedung, sistem struktur yang akan digunakan merupakan hal yang perlu diperhatikan. Suatu gedung diharuskan memiliki sistem struktur yang sesuai dengan faktor daya tahan terhadap gempa. Pembagian sistem struktur menurut sifat-sifat tanah pada situs dibagi menjadi sebagai berikut:

1. Situs SA dan SB (resiko gempa rendah)
Desain dapat menggunakan Sistem Rangka Pemikul Momen Biasa (SRPMB) dan dinding struktur dengan beton biasa
2. Situs SC dan SD (resiko gempa sedang)
Desain dapat menggunakan Sistem Rangka Pemikul Momen Menengah (SRPMM) atau Sistem Dinding Struktur Biasa (SDSB) dengan beton tanpa detailing khusus
3. Situs SD, SE, dan SF (resiko gempa tinggi)
Desain harus menggunakan Sistem Rangka Pemikul Momen Khusus (SRPMK) atau Sistem Rangka-Dinding Geser (*dual system*)

3.5.2.3 Parameter Respons Spektral

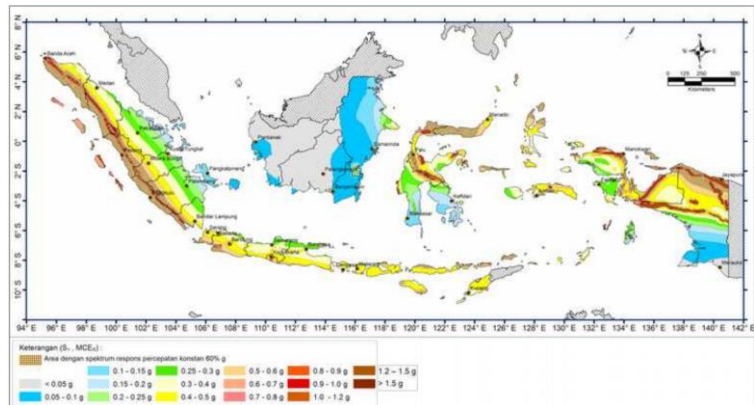
Parameter S_s (percepatan batuan dasar pada periode pendek) dan S_1 (percepatan batuan dasar pada periode 1 detik) harus ditetapkan masing-masing dari respons spektral percepatan 0,2 detik dan 1 detik dalam peta gerak tanah seismik pada Gambar 3.2 dan 3.3 dengan kemungkinan 2 persen terlampaui dalam 50 tahun (MCE_R , 2 persen dalam 50 tahun), dan

dinyatakan dalam bilangan desimal terhadap percepatan gravitasi



Gambar 3. 2 Parameter gerak tanah S_s, gempa maksium yang dipertimbangkan risiko-tertarget (MCER) wilayah Indonesia untuk spektrum respons 0,2-detik (redaman kritis 5%), pada kelas situs BC (SBC)

(Sumber: SNI 1726:2018)



Gambar 3. 3 Parameter gerak tanah, S1, gempa maksimum yang dipertimbangkan risiko-tertarget (MCER) wilayah Indonesia untuk spektrum respons 0,2- detik (redaman kritis 5%), pada kelas situs BC (SBC)
(Sumber: SNI 1726:2018)

Dalam menentukan respon spektral percepatan gempa MCE_R di permukaan tanah, diperlukan faktor amplitudo seismik pada periode 0,2 detik dan periode 1 detik. Faktor amplifikasi meliputi faktor amplifikasi getaran terkait percepatan pada getaran periode pendek (F_a) dan faktor amplifikasi terkait percepatan yang mewakili getaran periode 1 detik (F_v). Nilai F_a dan F_v dapat dilihat pada tabel 3.3 dan 3.4

Tabel 3. 2 Koefisien situs, Fa

| Kelas situs | Parameter respons spektral percepatan gempa (MCE_R) terpetakan pada perioda pendek, $T=0,2$ detik, S_s | | | | |
|-------------|--|-------------|--------------|-----------------|-----------------|
| | $S_s \leq 0,25$ | $S_s = 0,5$ | $S_s = 0,75$ | $S_s = 1,0$ | $S_s \geq 1,25$ |
| SA | 0,8 | 0,8 | 0,8 | 0,8 | 0,8 |
| SB | 1,0 | 1,0 | 1,0 | 1,0 | 1,0 |
| SC | 1,2 | 1,2 | 1,1 | 1,0 | 1,0 |
| SD | 1,6 | 1,4 | 1,2 | 1,1 | 1,0 |
| SE | 2,5 | 1,7 | 1,2 | 0,9 | 0,9 |
| SF | | | | SS ^b | |

CATATAN:

- (a) Untuk nilai-nilai antara S_s dapat dilakukan interpolasi linier
 (b) SS= Situs yang memerlukan investigasi geoteknik spesifik dan analisis respons situs-spesifik, lihat 6.10.1

(Sumber: SNI 1726:2018)

Tabel 3. 3 Koefisien situs, Fv

| Kelas situs | Parameter respons spektral percepatan gempa MCE_R terpetakan pada perioda 1 detik, S_1 | | | | |
|-------------|--|-------------|-------------|-----------------|----------------|
| | $S_1 \leq 0,1$ | $S_1 = 0,2$ | $S_1 = 0,3$ | $S_1 = 0,4$ | $S_1 \geq 0,5$ |
| SA | 0,8 | 0,8 | 0,8 | 0,8 | 0,8 |
| SB | 1,0 | 1,0 | 1,0 | 1,0 | 1,0 |
| SC | 1,7 | 1,6 | 1,5 | 1,4 | 1,3 |
| SD | 2,4 | 2 | 1,8 | 1,6 | 1,5 |
| SE | 3,5 | 3,2 | 2,8 | 2,4 | 2,4 |
| SF | | | | SS ^b | |

CATATAN :

- (a) Untuk nilai-nilai antara S_1 dapat dilakukan interpolasi linier
 (b) SS= Situs yang memerlukan investigasi geoteknik spesifik dan analisis respons situs-spesifik, lihat 6.10.1

(Sumber: SNI 1726:2018)

Parameter spektrum respons percepatan pada perioda pendek (S_{MS}) dan perioda 1 detik (S_{M1}) yang disesuaikan dengan pengaruh klasifikasi situs, harus ditentukan dengan perumusan berikut:

$$\begin{aligned} S_{MS} &= F_a S_s \\ S_{M1} &= F_v S_1 \end{aligned}$$

Parameter percepatan spektral desain untuk perioda pendek (S_{Ds}) dan pada perioda 1 detik (S_{D1}) harus ditentukan dengan perumusan berikut

$$S_{DS} = \frac{2}{3} S_{MS}$$

$$S_{D1} = \frac{2}{3} S_1$$

3.5.2.4 Spektrum Respons Desain

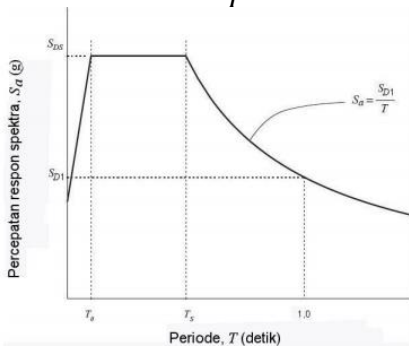
Apabila spektrum respons desain diperlukan dan prosedur gerak tanah dari spesifik-situs tidak digunakan, maka kurva spektrum respons desain (Gambar 3.4) harus dikembangkan dengan mengikuti ketentuan berikut:

- Untuk periode yang lebih kecil dari T_o , spektrum respons percepatan S_a harus diambil dari persamaan:

$$S_a = S_{DS} \left(0,4 + 0,6 \frac{T}{T_o} \right)$$

- Untuk periode lebih besar atau sama dengan T_o dan lebih kecil atau sama dengan T_s , maka spektrum respons percepatan S_a sama dengan S_{DS}
- Untuk periode lebih besar dari T_s , spektrum respons percepatan desain diambil berdasarkan persamaan:

$$S_a = \frac{S_{D1}}{T}$$



Gambar 3. 4 Spektrum Respons Desain
(Sumber: SNI 1726:2018)

3.5.2.5 Kategori Desain Seismik

Struktur harus ditetapkan memiliki suatu kategori desain seismik. Struktur dengan kategori I, II, atau III yang berlokasi dimana nilai S_1 lebih besar atau sama dengan 0,75 harus ditetapkan sebagai struktur dengan kategori desain seismik E. Struktur yang berkategori risiko IV yang berlokasi dimana nilai S_1 lebih besar atau sama dengan 0,75 harus ditetapkan sebagai struktur dengan kategori desain seismik F. Semua struktur lainnya harus ditetapkan kategori desain seismik-nya berdasarkan nilai S_{DS} dan S_1 sesuai dengan tabel 3.5 dan 3.6 dibawah ini

Tabel 3. 4 Kategori desain seismik berdasarkan parameter respons percepatan pada periode pendek (SDS)

| Nilai S_{DS} | Kategori risiko | |
|----------------------------|--------------------|----|
| | I atau II atau III | IV |
| $S_{DS} < 0,167$ | A | A |
| $0,167 \leq S_{DS} < 0,33$ | B | C |
| $0,33 \leq S_{DS} < 0,50$ | C | D |
| $0,50 \leq S_{DS}$ | D | D |

(Sumber: SNI 1726:2018)

Tabel 3. 5 Kategori desain seismik berdasarkan parameter respons percepatan pada perioda 1 detik (S1)

| Nilai S_{D1} | Kategori risiko | |
|----------------------------------|---------------------------|-----------|
| | I atau II atau III | IV |
| $S_{D1} < 0,167$ | A | A |
| $0,067 \leq S_{D1} < 0,133$ | B | C |
| $0,133 \leq S_{D1} < 0,20$ | C | D |
| $0,20 \leq S_{D1}$ | D | D |

(Sumber: SNI 1726:2018)

3.5.3 Kombinasi Pembebanan

Kombinasi pembebanan sesuai dengan RRSNI 2847:2018 pasal 5.3

Tabel 3. 6 Kombinasi Pembebanan

| Kombinasi Beban | Persamaan | Beban Utama |
|---|------------------|---------------------------------------|
| $U = 1,4D$ | (5.3.1a) | D |
| $U = 1,2D + 1,6L + 0,5(L_r \text{ atau } S \text{ atau } R)$ | (5.3.1b) | L |
| $U = 1,2D + 1,6(L_r \text{ atau } S \text{ atau } R) + (1,0L \text{ atau } 0,5W)$ | (5.3.1c) | $L_r \text{ atau } S \text{ atau } R$ |
| $U = 1,2D + 1,0W + 1,0L + 0,5(L_r \text{ atau } S \text{ atau } R)$ | (5.3.1d) | W |
| $U = 1,2D + 1,0E + 1,0L + 0,2S$ | (5.3.1e) | E |
| $U = 0,9D + 1,0W$ | (5.3.1f) | W |
| $U = 0,9D + 1,0E$ | (5.3.1g) | E |

(Sumber: RSNI 2847:2018)

3.6 Permodelan Struktur

3.6.1 Kriteria Permodelan Struktur

Berat seismik efektif struktur, W , harus menyertakan seluruh beban mati dan beban lainnya yang terdaftar dibawah ini:

1. Dalam daerah untuk penyimpanan, minimum sebesar 25 persen beban hidup lantai (beban hidup lantai di garasi publik dan struktur parkiran terbuka, serta beban penyimpanan yang tidak melebihi 5 persen dari berat seismik efektif pada suatu lantai, tidak perlu disertakan)
2. Jika ketentuan untuk partisi disyaratkan dalam desain beban lantai, maka diambil sebagai yang terbesar diantara berat partisi aktual atau berat daerah lantai minimum sebesar $0,48 \text{ kN/m}^2$
3. Berat operasional total dari peralatan yang permanen
4. Berat lansekap dan beban lainnya pada taman atap dan luasan sejenis lainnya

Model matematika struktur harus dibuat untuk tujuan penentuan gaya elemen struktur dan perpindahan struktur yang dihasilkan dari beban yang diterapkan dan semua perpindahan yang dikenakan atau pengaruh P-delta. Model harus menyertakan kekakuan dan kekuatan elemen yang signifikan terhadap distribusi gaya dan deformasi dalam struktur dan merepresentasikan distribusi massa dan kekakuan secara spasial pada seluruh struktur.

Sebagai tambahan, model tersebut harus sesuai dengan hal berikut ini:

1. Properti kekakuan elemen beton dan batu bata harus memperhitungkan pengaruh penampang retak
2. Untuk sistem rangka baja pemikul momen, kontribusi deformasi daerah panel pada simpangan antar lantai tingkat keseluruhan harus disertakan

Untuk prosedur analisis yang akan digunakan, dapat dilihat pada Tabel 3.7 dibawah ini

Tabel 3. 7 Prosedur analisis yang diizinkan

| Kategori desain seismik | Karakteristik struktur | Analisis gaya lateral ekivalen Pasal 7.8 | Analisis spektrum respons ragam Pasal 7.9 | Prosedur riwayat respons seismik Pasal 11 |
|-------------------------|--|--|---|---|
| B, C | Bangunan dengan Kategori Risiko I atau II dari konstruksi rangka ringan dengan ketinggian tidak melebihi 3 tingkat | I | I | I |
| | Bangunan lainnya dengan Kategori Risiko I atau II, dengan ketinggian tidak melebihi 2 tingkat | I | I | I |
| | Semua struktur lainnya | I | I | I |
| D, E, F | Bangunan dengan Kategori Risiko I atau II dari konstruksi rangka ringan dengan ketinggian tidak melebihi 3 tingkat | I | I | I |
| | Bangunan lainnya dengan Kategori Risiko I atau II dengan ketinggian tidak melebihi 2 tingkat | I | I | I |
| | Struktur beraturan dengan $T < 3,5T_s$ dan semua struktur dari konstruksi rangka ringan | I | I | I |
| | Struktur tidak beraturan dengan $T < 3,5T_s$ dan mempunyai hanya ketidakteraturan horizontal Tipe 2, 3, 4, atau 5 dari Tabel 10 atau ketidakteraturan vertikal Tipe 4, 5a, atau 5b dari Tabel 11 | I | I | I |
| | Semua struktur lainnya | TI | I | I |

CATATAN: Dijijinkan, TI: Tidak Dijijinkan

(Sumber: SNI 1726:2018)

3.6.2 Kontrol Permodelan Struktur

Kontrol permodelan struktur dilakukan setelah memperoleh hasil analisa struktur dari program SAP2000. Hal ini dilakukan agar desain yang dimodelkan telah sesuai dengan keadaan aslinya dan telah memenuhi standar yang terdapat dalam peraturan. Kontrol permodelan struktur yang akan dilakukan adalah sebagai berikut:

1. Melakukan pengecekan antara perhitungan manual dan perhitungan dengan program bantu SAP2000, dimana selisih keakuratan yang diizinkan adalah $\pm 5\%$

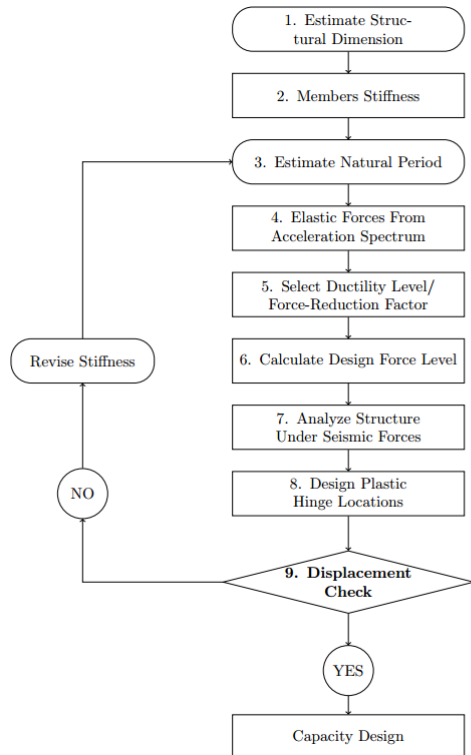
2. Menghitung partisipasi massa, dengan syarat partisipasi massa $\geq 90\%$
3. Menghitung lama waktu getar (T)
4. Melakukan pengecekan besar *base shear* yang menggunakan kombinasi respons, dimana hasilnya harus $\pm 85\%$ dari besar *base shear* dari perhitungan gaya literal ekivalen. Apabila tidak memenuhi, maka menurut SNI 1726:2018 pasal 10.1.3, besar *base shear* hasil perhitungan program SAP2000 harus dikalikan dengan $0,85 \frac{V}{V_t}$, dimana V adalah besar *base shear* dari prosedur perhitungan gaya literal ekivalen dan V_t adalah besar *base shear* dari prosedur perhitungan program SAP2000 yang menggunakan kombinasi respons.
5. Menghitung simpangan yang terjadi

3.7 Prosedur Desain Dinding Geser *Self-Centering*

Menurut Gerosa dan Meroni (2015), prosedur yang dapat digunakan untuk mendesain dinding geser yang menggunakan sistem *self-centering* adalah metode *Force-Based Design* (FBD) dan *Direct Displacement-Based Design* (DDBD). Dalam Tugas Akhir ini, desain dinding geser *self-centering* hanya menggunakan metode FBD.

3.7.1 *Force-Based Design*

Force-Based Design adalah metode yang lazim digunakan dalam mendesain struktur tahan gempa dan oleh karena itu, metode ini lebih banyak digunakan sebagai dasaran dalam peraturan-peraturan desain tahan gempa di berbagai negara. Prosedur dari metode ini adalah sebagai berikut:



Gambar 3. 5 Prosedur Force-Based Design
(Sumber: Gerosa dan Meroni, 2015)

Tetapi, menurut Priestley, Calvi, dan Kowalsky (2007), metode FBD memiliki kelemahan yaitu:

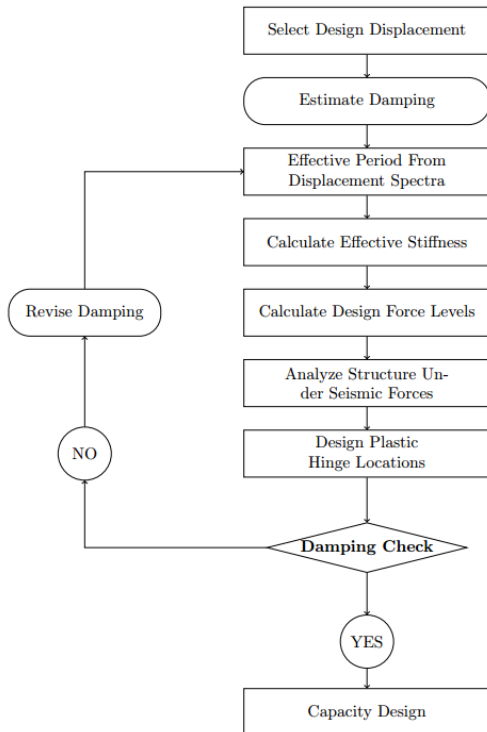
- Distribusi gaya pada elemen struktural yang berbeda didasarkan dari perkiraan awal kekakuanya. Karena kekuatan elemen adalah output terakhir dari prosedur ini dan kekakuan

adalah variabel yang tergantung oleh kekuatan elemen, maka kekakuan elemen itu sendiri tidak diketahui hingga prosedur desain selesai dilaksanakan

- Distribusi gaya gempa pada elemen yang didasarkan dari kekakuan awal mengimplikasi bahwa elemen-elemen yang berbeda dapat dipaksa untuk meleleh di saat yang bersamaan, sehingga validitasnya diragukan
- Asumsi faktor reduksi kekuatan dari metode ini dapat tidak berlaku pada struktur yang memiliki tipe khusus atau unik

3.7.2 Direct-Displacement Based Design

Direct Displacement-Based Method adalah metode yang dikembangkan oleh Priestley (2002) yang bertujuan untuk menutupi kekurangan pada metode FBD. Dalam metode ini, struktur didesain berdasarkan target desain simpangan yang telah ditentukan. Prosedur desain ini menghitung kekuatan yang dibutuhkan pada sendi plastis untuk mencapai target simpangan yang telah ditentukan. Nantinya, desain kekuatan yang didapat harus dikombinasikan dengan prosedur desain kapasitas untuk memastikan sendi plastis hanya terjadi pada lokasi yang ditentukan. Prosedur dari metode ini adalah sebagai berikut:



Gambar 3. 6 Prosedur *Direct Displacement-Based Design*
(Sumber: Gerosa dan Meroni, 2015)

3.8 Pemilihan Tendon

Pemilihan tendon harus disesuaikan dengan keadaan dimana tegangan tarik pada baja prategang tidak boleh melebihi nilai berikut:

- Tegangan izin saat penarikan (*jacking*) baja prategang = $0,94 f_{py}$ tetapi tidak lebih besar dari yang terkecil dari $0,80 f_{pu}$ dan nilai maksimum yang

- direkomendasikan oleh pembuat baja prategang / perangkat angkur
- b. Tendon pasca tarik pada perangkat angkur dan kopler (*couplers*) sesaat setelah transfer gaya = 0,70 f_{pu}

Sementara itu, tegangan ijin pada beton tidak boleh melebihi nilai-nilai yang terdapat pada RSNI 2847:2018 pasal 24.5.3.1, dimana perhitungan tegangan tekan beton pada serat terjauh setelah transfer dan sebelum terjadi kehilangan tegangan sebagai fungsi waktu, tidak boleh melebihi batasan berikut:

Tabel 3. 8 Tegangan Tekan Beton Ijin Sesaat Setelah Transfer Gaya Prategang

| Lokasi yang ditinjau | Tegangan tekan ijin |
|--|---------------------|
| Penampang ujung pada gelagar sederhana | 0.70 f_{ci}' |
| Semua penampang lain | 0.60 f_{ci}' |

(Sumber: RSNI 2847:2018)

Berdasarkan RSNI 2847:2018 pasal 24.5.3.2, perhitungan tegangan tarik beton pada serat terjauh setelah transfer, sebelum terjadi kehilangan tegangan sebagai fungsi waktu, dan tanpa penambahan tulangan di daerah tarik tidak boleh melebihi batasan berikut:

Tabel 3. 9 Tegangan Tarik Beton Ijin Sesaat Setelah Gaya Prategang

| Lokasi yang ditinjau | Tegangan tarik ijin |
|--|-----------------------|
| Penampang ujung pada gelagar sederhana | $0.50 \sqrt{f_{ci}'}$ |
| Semua penampang lain | $0.25 \sqrt{f_{ci}'}$ |

(Sumber: RSNI 2847:2018)

Berdasarkan RSNI 2847:2018 pasal 24.5.4.1, untuk komponen kelas U dan T, perhitungan tegangan tekan beton pada serat terjauh yang dihitung saat kondisi beban layan dan setelah perhitungan kehilangan tegangan tidak boleh melebihi batasan berikut:

Tabel 3. 10 Tegangan Tekan Beton Ijin Saat Beban Layan

| Kondisi pembebanan | Tegangan tekan ijin |
|---------------------------|---------------------|
| Prategang dan beban tetap | $0.45 f_c'$ |
| Prategang dan beban total | $0.60 f_c'$ |

(Sumber: RSNI 2847:2018)

3.9 Kehilangan Gaya Prategang

Kehilangan gaya pratekan adalah berkurangnya gaya pratekan pada tendon pada saat tertentu dibandingkan dengan pada saat *jacking* awal. Kehilangan pratekan dapat dikelompokkan menjadi dua kategori yaitu:

1. Kehilangan Langsung

Kehilangan langsung adalah kehilangan gaya pratekan sesaat setelah pemberian gaya pratekan pada komponen tersebut, yang terdiri dari:

a. Kehilangan akibat Pengangkuran

Perhitungan kehilangan gaya pratekan akibat pengangkuran adalah sebagai berikut:

$$\Delta = \frac{S_{rata-rata}}{\Delta \alpha}$$

$$\Delta \alpha = \frac{\sigma L}{E_s}$$

Dimana:

- Δ : kehilangan gaya pratekan
- $S_{rata-rata}$: harga rata-rata slip angkur (2,5 mm)
- $\Delta \alpha$: deformasi pada angkur
- σ : tegangan pada beton
- L : panjang kabel
- E_s : modulus elastisitas baja prategang

b. Kehilangan akibat Perpendekan Elastis

Perhitungan kehilangan gaya pratekan akibat perpendekan elastis adalah sebagai berikut:

$$ES = Kes \times n \times F_{cir}$$

Dimana:

- ES : Kehilangan gaya pratekan akibat perpendekan elastis
- K_{es} : 1 untuk komponen pratarik, 0,5 untuk pascatarik
- n : Perbandingan modulus elastisitas beton dan baja
- F_{cir} : Tegangan pada penampang beton (F_o/A)

2. Kehilangan tidak Langsung

Hilangnya gaya prategang awal terjadi secara bertahap dan dalam waktu yang relatif lama (tidak

langsung). Kehilangan tidak langsung adalah sebagai berikut:

a. Rangkak (*creep*)

Rumus untuk menghitung kehilangan gaya prategang akibat rangkak adalah:

$$CR = K_{cr} \left(\frac{E_s}{E_c} \right) [f_{cir} - f_{cds}]$$

Dimana:

K_{cr} : 2 untuk prategang, 1,69 untuk pasca tegang

f_{cir} : Tegangan beton di c.g.s akibat beban tetap (*dead load*)

f_{cds} : Tegangan beton di c.g.s akibat gaya prategang awal

b. Susut (*Shrinkage*)

Rumus untuk menghitung kehilangan gaya prategang akibat susut untuk tulangan *post-tensioned* adalah:

$$SH = 8,2 \times 10^{-6} K_{sh} E_s \left(1 - 0,06 \frac{V}{s} \right) (100 - RH)$$

Dimana:

K_{sh} : Koefisien susut beton (1 untuk *pretensioned*)

E_s : Modulus elastisitas baja

RH : Kelembaban relatif udara sekitar

Untuk tulangan *post-tensioned*, nilai K_{sh} dapat dilihat pada tabel 3.8

Tabel 3. 11 Nilai Ksh terhadap hari pemberian gaya prategang

| DAYs | 1 | 3 | 5 | 7 | 10 | 20 | 30 | 60 |
|-----------------|------|------|------|------|------|------|------|------|
| K _{sh} | 0.92 | 0.85 | 0.80 | 0.77 | 0.73 | 0.64 | 0.58 | 0.45 |

(Sumber: Post-Tensioning Institute)

c. Relaksasi baja

Rumus untuk menghitung kehilangan gaya prategang akibat relaksasi baja adalah:

$$RE = [K_{re} - J(SH + CR + ES)]xC$$

Dimana:

K_{re} : Koefisien relaksasi baja (1 untuk *pretensioned*)

J : Koefisien relaksasi

SH : Kehilangan gaya prategang akibat susut

CR : Kehilangan gaya prategang akibat rangkak

ES : Kehilangan gaya prategang akibat perpendekan elastis

C : Koefisien batang *stress-relieved*

Menurut Rahman (2000), khusus pada tendon prategang pada dinding geser pracetak, besarnya gaya prategang pada tendon setelah kehilangan akibat gempa lateral adalah sebagai berikut:

$$F_{psi} \leq F_{lp} - \frac{E_{ps}A_{ps}(d_{ps} - c)}{L_{ps}}\theta_u$$

Dimana:

F_{psi} : Gaya prategang pada tendon setelah kehilangan (N)

F_{lp} : Gaya prategang pada tendon (N)

| | |
|------------|--|
| E_{ps} | : Modulus elastisitas tendon prategang (MPa) |
| A_{ps} | : Luasan tendon (mm^2) |
| d_{ps} | : Jarak tendon terjauh dari garis netral (mm) |
| c | : Jarak serat tekan terluar dengan garis netral (mm) |
| L_{ps} | : Total panjang tendon yang tidak di-grout (<i>unbonded</i>) |
| θ_u | : Simpangan dinding pada batas runtuh (2.5%) |

3.10 Desain Hubungan Balok Kolom

El-Sheikh dkk (1999) merumuskan rumus yang dapat digunakan untuk menghitung momen dan rotasi yang terjadi pada hubungan balok-kolom *self-centering* pada tabel dibawah ini. *Linear limit state* adalah keadaan dimana hubungan balok-kolom tidak lagi bekerja secara linear dan mulai memasuki bagian non-linear. *Yield limit state* adalah keadaan dimana tegangan pada tendon *post-tensioned* mencapai batas proporsional. *Ultimate limit state* adalah keadaan dimana beton yang diberi tulangan spiral mengalami kegagalan.

Tabel 3. 12 Rumus Momen-Rotasi pada Hubungan Balok-Kolom *Self-Centering*

| Limit state | Moment | Rotation |
|----------------------|---|---|
| Linear limit state | Smaller of the following: $M_{ll} = 0.50 f_{pi} A_p h \left(1 - \frac{f_{ci} / f'_c}{0.85} \right)$ $M_{ll} = 0.42 f_{pi} A_p h$ | Smaller of the following: $\theta_{ll} = \frac{3L_{bc} f_{ci}}{2hE_c} \left(1 - \frac{f_{ci} / f'_c}{0.85} \right)$ $\theta_{ll} = \frac{2.5L_{bc} f_{ci}}{2hE_c}$ |
| Yield limit state * | $M_y = 0.5 f_{pi} A_p (h'' - a'')$ $a'' = \frac{c_l}{\alpha} \frac{f_{ci} / f'_c}{f_{pu}} \frac{b}{b''} h$ | $\theta_y = \frac{(f_{pl} - f_{pi}) L_{pu}}{(0.5h'' - a'' / \beta) E_p}$ |
| Ultimate limit state | $M_{ult} = M_y$ | $\theta_{ult} = \frac{\epsilon_{cr} \beta}{a''} L_{cr}$ |

(Sumber: El-Sheikh, 1999)

3.11 Pengangkuran

Kegagalan elemen pratekan pasca tarik bisa disebabkan oleh hancurnya bantalan beton pada daerah tepat dibelakang angkur tendon akibat tekanan yang sangat besar. Kegagalan ini diperhitungkan pada kondisi ekstrim saat transfer, yaitu saat gaya pratekan maksimum dan kekuatan beton minimum. Kuat tekan nominal beton pada daerah pengangkuran global disyaratkan oleh RSNI 2847:2018 pasal 25.9.2. Bila diperlukan, pada daerah pengangkuran dapat dipasang tulangan untuk memikul gaya pencar, belah dan pecah yang timbul akibat pengangkuran tendon sesuai RSNI 2847:2018 pasal 25.9

3.12 Perencanaan Basement

Dalam perencanaan, *basement* tidak menerima langsung tekanan tanah dan air secara horizontal dikarenakan terdapat turap yang menahan tanah dari samping *basement*.

- Penulangan Dinding *Basement*
Penulangan dinding basement dihitung sesuai dengan yang telah diatur dalam RSNI 2847:2018.
- Kontrol Ketebalan Dinding *Basement*
Ketebalan dinding basement dikontrol sesuai dengan yang telah diatur dalam RSNI 2847:2018 pasal 11.3
- Penulangan Pelat Lantai *Basement*
Elevasi air tanah diasumsikan pada kondisi yang paling berbahaya, yaitu sama dengan permukaan tanah. Penulangan pelat lantai basement dihitung sesuai dengan yang telah diatur dalam RSNI 2847:2018.

3.13 Perencanaan Pondasi

Untuk merencanakan pondasi diperlukan perhitungan beban struktur atas secara keseluruhan, lalu diteruskan beban tersebut ke struktur bawah (pondasi). Perencanaan pondasi mengacu pada RSNI 2847:2018 pasal 13. Langkah-langkah pengjerjaannya adalah:

- a. Menghitung beban total dari struktur atas,
- b. Mencari daya dukung tanah,
- c. Menentukan jenis pondasi yang akan digunakan (tiang pancang),
- d. Menentukan efisiensi dari pondasi grup tiang pancang serta jumlah tiang pondasi,
- e. Merencanakan pile cap.

3.14 Output Gambar

Hasil analisa baik dari struktur sekunder, struktur utama non pratekan dan struktur utama pratekan dituangkan

dalam gambar teknik yang mampu menjelaskan secara nyata hasil perhitungan dengan menggunakan software bantu sipil AutoCAD sesuai standar yang ada.

BAB IV

PEMBAHASAN

4.1 Preliminary Design

Preliminary design adalah proses perencanaan awal yang akan digunakan untuk merencanakan dimensi struktur gedung. Perencanaan awal dilakukan menurut peraturan yang ada. *Preliminary design* yang dilakukan terhadap komponen struktur antara lain balok induk, balok pratekan, pelat, kolom, dan dinding geser. Sebelum melakukan preliminary baiknya dilakukan penentuan data perencanaan dan beban yang akan diterima oleh struktur gedung.

4.1.1 Data Perencanaan

| | | |
|-----------------------|---|---|
| Nama Gedung | : | Gedung Office Ciputra World |
| Lokasi | : | Jln. Mayjend Sungkono, Surabaya |
| Jumlah Lantai | : | 20 lantai & 1 lantai <i>basement</i> |
| Ketinggian Lantai | | |
| <i>Basement</i> | : | 4,20 m |
| Lantai 1-20 | : | 4,20 m |
| Tinggi Total Bangunan | : | 79.80 |
| Luas Bangunan | : | $\pm 25.469,75 \text{ m}^2$ |
| Mutu Beton | : | 25 MPa (pelat) dan 45 MPa (balok, kolom, dan dinding geser) |
| Mutu Baja | : | 420 MPa |
| Data Tanah | : | Terlampir |

4.1.2 Pembebanan

- Beban Mati
 - Berat beton bertulang : 2400 kg/m^3
 - Adukan finishing : 21 kg/m^3
 - Tegel : 24 kg/m^2
 - Dinding batu bata : 250 kg/m^2

- Plafond : 18 kg/m²
- Penggantung : 7 kg/m²
- Plumbing + ducting : 30 kg/m²

- Beban Hidup
 - Lantai atap : 100 kg/m²
 - Lantai kantor : 240 kg/m²

- Beban Gempa
Perencanaan dan perhitungan struktur terhadap beban gempa mengikuti peraturan SNI 1726:2018

4.1.3 Perencanaan Balok

Penentuan tinggi minimum balok non-prategang (h.min) dihitung berdasarkan RSNI 2847:2018 pasal 9.3.1.1. Untuk balok prategang, karena direncanakan gaya prategang pada balok tidak memikul beban gravitasi, maka tinggi minimum balok prategang juga menggunakan perhitungan berdasarkan RSNI 2847:2018 pasal 9.3.1.1.

Tabel 4. 1 Tinggi Minimum Balok Non-Prategang

| Kondisi perlekatan | Minimum $h^{[1]}$ |
|----------------------|-------------------|
| Perlekatan sederhana | $\ell/16$ |
| Menerus satu sisi | $\ell/18,5$ |
| Menerus dua sisi | $\ell/21$ |
| Kantilever | $\ell/8$ |

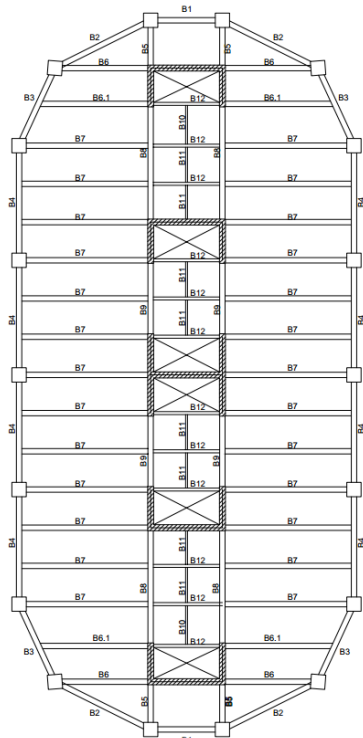
(Sumber: RSNI 2847:2018)

Untuk menentukan lebar balok, digunakan persamaan berikut:

$$b = \frac{2}{3} h_{min}$$

Dimana:

b : lebar balok
 h_{min} : tinggi minimum balok



Gambar 4. 1 Denah Pembalokan

Diperoleh dimensi balok sebagai berikut

Tabel 4. 2 Rekapitulasi Dimensi Balok

| Label | Jumlah | Bentang (m) | HITUNGAN | | PAKAI | |
|-------|--------|-------------|----------|--------|--------|--------|
| | | | b (mm) | h (mm) | b (mm) | h (mm) |
| 1 | 2 | 6.00 | 250 | 375 | 450 | 700 |
| 2 | 4 | 8.94 | 372.68 | 559.02 | | |
| 3 | 4 | 7.16 | 298.29 | 447.43 | | |
| 4 | 8 | 9.60 | 400 | 600 | | |
| 5 | 4 | 4.00 | 166.67 | 250 | 450 | 700 |
| 6 | 4 | 8.00 | 333.33 | 500 | | |
| 6.1 | 4 | 9.38 | 391.03 | 586.54 | | |
| 7 | 26 | 11.00 | 458.33 | 687.5 | | |
| 8 | 4 | 9.90 | 412.5 | 618.75 | 450 | 700 |
| 9 | 4 | 6.40 | 266.67 | 400 | | |
| 10 | 2 | 3.50 | 145.83 | 218.75 | 250 | 400 |
| 11 | 8 | 3.20 | 133.33 | 200 | | |
| 12 | 12 | 6.00 | 250 | 375 | 350 | 500 |

4.1.4 Perencanaan Tebal Pelat

Perencanaan ini menggunakan perhitungan yang dibagi dalam dua jenis yaitu :

- Pelat satu arah, yaitu pelat yang rasio panjang dan lebarnya lebih dari atau sama dengan 2. Pada pelat satu arah, pembebanan yang diterima akan diteruskan pada balok-balok (pemikul bagian yang lebih panjang) dan hanya sebagian kecil saja yang akan diteruskan pada gelagar pemikul bagian yang lebih pendek.
- Pelat dua arah, yaitu pelat yang rasio panjang dan lebarnya kurang dari 2, sehingga besar pembebanan yang diterima diteruskan pada keseluruhan pemikul di sekeliling panel pelat tersebut.

Perhitungan dimensi pelat berdasarkan syarat lendutan, ketebalan minimum dari pelat harus memenuhi persyaratan RSNI 2847:2018 pasal 8.3.1.2.

- Untuk $\alpha_m \leq 0.2$ menggunakan tabel 8.3.1.2.
- Untuk $0.2 < \alpha_m < 2$ ketebalan minimum pelat harus memenuhi

$$h1 = \frac{\ln x (0.8 + \frac{f_y}{1500})}{36 + 5\beta (\alpha_m - 0.2)} \text{ dan tidak boleh kurang dari } 125 \text{ mm}$$

- Untuk $\alpha_m \geq 2$ ketebalan minimum pelat harus memenuhi

$$h2 = \frac{\ln x (0.8 + \frac{f_y}{1400})}{36 + 9\beta} \text{ dan tidak boleh kurang dari } 90 \text{ mm}$$

L_n = Panjang bentang bersih

S_n = Lebar bentang bersih

F_y = Tegangan leleh baja

β = Rasio bentang bersih dalam arah memanjang terhadap arah memendek dari pelat 2 arah

α_m = Nilai rata-rata α untuk semua balok pada tepi-tepi dari suatu panel

Harga α_m didapat dari:

$$\alpha = \frac{E_{balok} I_{balok}}{E_{balok} I_{pelat}}$$

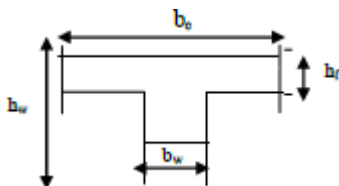
$$I_{balok} = 1/12 \times K \times b \times h^3$$

$$\beta = \ln / S_n$$

$$I_{pelat} = L_y \times h f^3 / 12$$

$$K = \frac{1 + \left(\frac{be}{bw} - 1 \right) \left(\frac{hf}{hw} \right) \left[4 - 6 \left(\frac{hf}{hw} \right) + 4 \left(\frac{hf}{hw} \right)^2 + \left(\frac{be}{bw} - 1 \right) \left(\frac{hf}{hw} \right)^3 \right]}{1 + \left(\frac{be}{bw} - 1 \right) \left(\frac{hf}{hw} \right)}$$

Balok tengah:



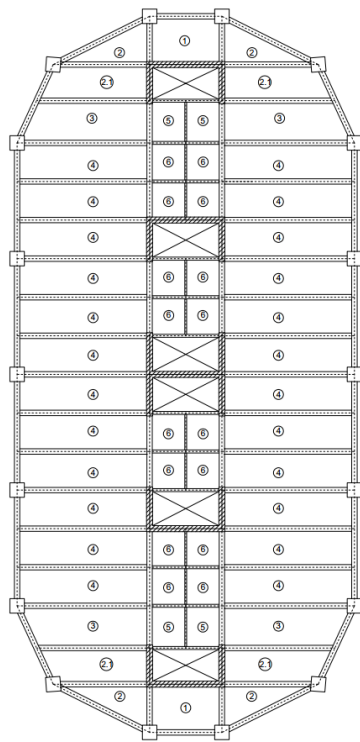
$$\begin{aligned} \text{Nilai } b_e &= \frac{1}{4} \times L \\ b_e &= b_w + 8t \\ b_e &= b_w + \frac{1}{2} S \end{aligned}$$

Dari ketiga nilai b_e tersebut diambil yang terkecil.

4.1.4.1 Data Perencanaan Tebal Pelat

Pelat yang direncanakan memiliki spesifikasi sebagai berikut:

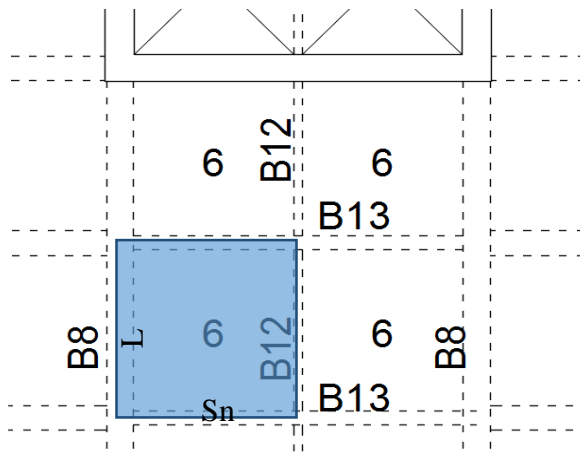
- Mutu beton : 25 MPa
- Mutu baja : 420 MPa
- Decking : 4 cm
- Rencana tebal pelat lantai : 12 cm
- Rencana tebal pelat atap : 12 cm



Gambar 4. 2 Variasi Pelat

4.1.4.2 Contoh Perhitungan Tebal Pelat

Contoh perhitungan menggunakan pelat tipe 6 yang memiliki dimensi 320 x 300 cm



Gambar 4. 3 Denah Pelat Tipe 6 Dimensi 320 x 300 cm

Tabel 4. 3 Dimensi Balok yang Mengapit Pelat Tipe 6

| Tipe Balok | bw (mm) | h (mm) |
|------------|---------|--------|
| B8 | 450 | 700 |
| B12 | 150 | 200 |
| B13 | 250 | 400 |

Direncanakan $hf = 12 \text{ cm}$

$$Ln = 3200 - ((250+250)/2) = 2950 \text{ mm}$$

$$Sn = 3000 - ((450+150)/2) = 2700 \text{ mm}$$

$$\beta = Ln/Sn = 2950/2700 = 1,09 < 2 \text{ (pelat dua arah)}$$

- Balok B8
 - Menghitung lebar efektif
 1. $be = bw + 2 \times (h - hf)$
 $be = 450 + 2 \times (700 - 120) = 1610 \text{ mm}$
 2. $be = bw + 8 \times hf$
 $be = 450 + 8 \times 120 = 1410 \text{ mm}$

$$3. \text{ } be = \frac{1}{4} \times L$$

$$be = \frac{1}{4} \times L = \frac{1}{4} \times 2950 = 737.5 \text{ mm (menentukan)}$$

- Menghitung k

$$k := \frac{1 + \left(\frac{be}{bw} - 1 \right) \left(\frac{hf}{h} \right)}{1 + \left(\frac{be}{bw} - 1 \right) \left(\frac{hf}{h} \right)} \left[4 - 6 \left(\frac{hf}{h} \right) + 4 \left(\frac{hf}{h} \right)^2 + \left(\frac{be}{bw} - 1 \right) \left(\frac{hf}{h} \right)^2 \right]$$

$$k = 1.208$$

- Menghitung αm balok

$$I \text{ balok} = \frac{1}{12} \times k \times b \times h^3$$

$$I \text{ balok} = \frac{1}{12} \times 1,208 \times 450 \times 700^3$$

$$I \text{ balok} = 15518940773 \text{ mm}^4$$

$$I \text{ pelat} = \frac{1}{12} \times bp \times hf^3$$

$$I \text{ pelat} = \frac{1}{12} \times \frac{(300 + 320)}{2} \times 120^3$$

$$I \text{ pelat} = 446400000 \text{ mm}^4$$

$$\alpha m = \frac{I \text{ balok}}{I \text{ pelat}} = 34,76$$

- Balok B12

- Menghitung lebar efektif

$$1. \text{ } be = bw + 2 \times (h - hf)$$

$$be = 150 + 2 \times (200 - 120) = 310 \text{ mm}$$

(menentukan)

$$2. be = bw + 8 \times hf$$

$$be = 150 + 8 \times 120 = 1110 \text{ mm}$$

$$3. be = \frac{1}{4} \times L$$

$$be = \frac{1}{4} \times L = \frac{1}{4} \times 2950 = 737.5 \text{ mm}$$

- Menghitung k

$$k := \frac{1 + \left(\frac{be}{bw} - 1 \right) \left(\frac{hf}{h} \right) \left[4 - 6 \left(\frac{hf}{h} \right) + 4 \left(\frac{hf}{h} \right)^2 + \left(\frac{be}{bw} - 1 \right) \left(\frac{hf}{h} \right)^2 \right]}{1 + \left(\frac{be}{bw} - 1 \right) \left(\frac{hf}{h} \right)}$$

$$k = 1.478$$

- Menghitung αm balok

$$I_{balok} = \frac{1}{12} \times k \times b \times h^3$$

$$I_{balok} = \frac{1}{12} \times 1,478 \times 150 \times 200^3$$

$$I_{balok} = 141771707,3 \text{ mm}^4$$

$$I_{pelat} = \frac{1}{12} \times bp \times hf^3$$

$$I_{pelat} = \frac{1}{12} \times \frac{(300 + 320)}{2} \times 120^3$$

$$I_{pelat} = 446400000 \text{ mm}^4$$

$$\alpha m = \frac{I_{balok}}{I_{pelat}} = 0,317$$

- Balok B13
- Menghitung lebar efektif
 - 1. $be = bw + 2 \times (h - hf)$

$$be = 250 + 2 \times (400 - 120) = 810 \text{ mm}$$

$$2. be = bw + 8 \times hf$$

$$be = 250 + 8 \times 120 = 1210 \text{ mm}$$

$$3. be = \frac{1}{4} \times L$$

$$be = \frac{1}{4} \times L = \frac{1}{4} \times 2700 = 675 \text{ mm (menentukan)}$$

- Menghitung k

$$k := \frac{1 + \left(\frac{be}{bw} - 1 \right) \left(\frac{hf}{h} \right)}{1 + \left(\frac{be}{bw} - 1 \right) \left(\frac{hf}{h} \right)} \left[4 - 6 \left(\frac{hf}{h} \right) + 4 \left(\frac{hf}{h} \right)^2 + \left(\frac{be}{bw} - 1 \right) \left(\frac{hf}{h} \right)^2 \right]$$

$$k = 1.579$$

- Menghitung αm balok

$$I_{balok} = \frac{1}{12} \times k \times b \times h^3$$

$$I_{balok} = \frac{1}{12} \times 1,579 \times 250 \times 400^3 \\ I_{balok} = 2056520088 \text{ mm}^4$$

$$I_{pelat} = \frac{1}{12} \times bp \times hf^3$$

$$I_{pelat} = \frac{1}{12} \times \frac{(300 + 320)}{2} \times 120^3 \\ I_{pelat} = 446400000 \text{ mm}^4$$

$$\alpha m = \frac{I_{balok}}{I_{pelat}} = 4,6$$

- Menghitung αm rata-rata (αfm)

$$\alpha_{fm} = \frac{\alpha B8 + \alpha B12 + 2 \times \alpha B13}{4} = 11.07 > 2$$

Karena α_{fm} lebih besar dari 2, maka h minimum pelat adalah yang terkecil dari:

- $\frac{Ln x (0.8 + \frac{f_y}{1400})}{36 + 9\beta} = 70.8 \text{ mm}$
- 90 mm

Maka digunakan h minimum = 120 mm = 12 cm

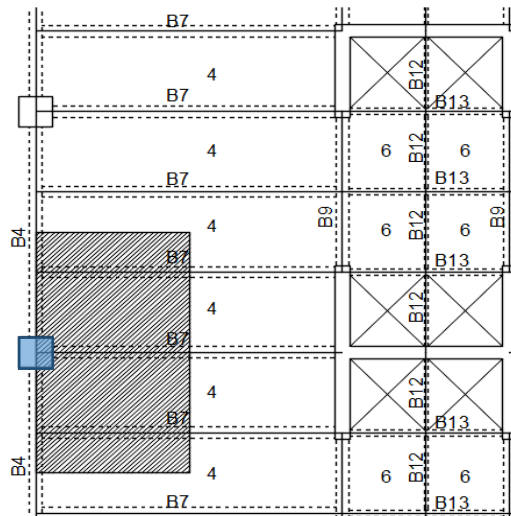
Dari cara perhitungan tersebut, maka didapat tebal pelat sebagai berikut

Tabel 4. 4 Rekapitulasi Tebal Pelat

| Tipe Pelat | Jenis Pelat | Tebal Min (mm) | Tebal Pakai (mm) |
|------------|-------------|----------------|------------------|
| 1 | dua arah | 120 | 120 |
| 2 | dua arah | 120 | 120 |
| 2.1 | satu arah | 130 | 120 |
| 3 | satu arah | 150 | 120 |
| 4 | satu arah | 150 | 120 |
| 5 | dua arah | 120 | 120 |
| 6 | dua arah | 120 | 120 |

4.1.5 Perencanaan Kolom

Kolom yang direncanakan harus mampu memikul beban aksial terfaktor yang bekerja pada semua lantai atau atap dan momen maksimum dari beban terfaktor pada satu bentang terdekat dari lantai atau atap yang ditinjau.



Gambar 4. 4 Kolom yang Akan Ditinjau

Pada gambar diatas, terlihat kolom memikul beban pada pelat 4 yang memiliki luasan 1100×320 cm.

Direncanakan:

- Tebal pelat : 12 cm
- Mutu kolom : 45 MPa
- Mutu pelat : 25 MPa
- Tinggi kolom : 4.2 m

Pembebanan pada kolom berdasarkan SNI 1727:2013 untuk beban mati dan SNI 1727:2013 untuk beban hidup, yang diberikan di tiap lantai sebagai perencanaan pembebanan kolom.

Berdasarkan SNI 1727:2013 pasal 4.7 dan 4.8, beban hidup kolom diijinkan menggunakan beban hidup tereduksi

dengan syarat komponen struktur yang memiliki $K_{LL} \cdot A_T \geq 37.16 \text{ m}^2$ dapat dihitung dengan cara sebagai berikut:

$$A_T = 11 \text{ m} \times 3.2 \text{ m} = 35.2 \text{ m}^2$$

$$K_{LL} = 4 \text{ (Tabel 4-2 SNI 1727:2013)}$$

$$K_{LL} \times A_T = 4 \times 35.2 \text{ m}^2 = 140.8 \text{ m}^2 \geq 37.16 \text{ m}^2 \text{ (OK)}$$

- Reduksi beban hidup lantai kantor

$$L_o = 2.4 \text{ kN/m}^2$$

$$L = 2.4 \left(0.25 + \frac{4.57}{\sqrt{K_{LL} \times A_T}} \right) \geq 0.4 \times L_o$$

$$L = 1.92 \left(0.25 + \frac{4.57}{\sqrt{336}} \right) \geq 0.4 \times L_o$$

$$L = 1.5243 \text{ kN/m}^2 \geq 0.96 \text{ kN/m}^2$$

$$\text{Maka dipakai } L = 1.5243 \text{ kN/m}^2 = 152.43 \text{ kg/m}^2$$

- Reduksi beban hidup lantai atap

$$R_1 = 0.6 \text{ (untuk } A_T \geq 55,74 \text{ m}^2)$$

$$R_2 = 1$$

$$L_r = L_o \cdot R_1 \cdot R_2 = 0.576 \text{ kN/m}^2$$

$$\text{Syarat } 0.58 \leq L_r \leq 0.96$$

$$\text{Maka dipakai } L_r = 0.58 \text{ kN/m}^2 = 58 \text{ kg/m}^2$$

Tabel 4. 5 Perhitungan Beban Lantai Kantor pada Kolom

| Lantai Kantor (1-18) | | | |
|----------------------|----------|---------|----------|
| Beban Mati | | | |
| Beban | γ | Volume | W (kg) |
| 1 B4 | 2400 | 24.192 | 1045094 |
| 1.5 B7 | 2400 | 135.135 | 5837832 |
| Plat 4 | 2400 | 6.336 | 273715.2 |
| Finishing | 21 | 6.336 | 2395.008 |
| Tegel | 24 | 6.336 | 2737.152 |
| Plumbing | 30 | 6.336 | 3421.44 |
| Plafond | 11 | 6.336 | 1254.528 |
| Penggantung Plafond | 7 | 6.336 | 798.336 |

| | | | |
|--------------------|----------|----------|----------|
| Dinding | 250 | 99.36742 | 447153.4 |
| | | W DL | 7614401 |
| Beban Hidup | | | |
| Beban | γ | Volume | W (kg) |
| Lantai Kantor | 152.4328 | 6.336 | 17384.66 |
| | | W LL | 17384.66 |

Tabel 4. 6 Perhitungan Beban Lantai Atap pada Kolom

| Lantai Atap | | | |
|------------------------|----------|---------|----------|
| Beban Mati | | | |
| Beban | γ | Volume | W (kg) |
| 1 B4 | 2400 | 24.192 | 58060.8 |
| 1.5 B7 | 2400 | 135.135 | 324324 |
| Plat 4 | 2400 | 6.336 | 15206.4 |
| Finishing | 21 | 6.336 | 133.056 |
| Plumbing | 30 | 6.336 | 190.08 |
| Plafond | 11 | 6.336 | 69.696 |
| Penggantung Plafond | 7 | 6.336 | 44.352 |
| | | W DL | 398028.4 |
| Beban Hidup | | | |
| Beban | γ | Volume | W (kg) |
| Lantai Atap | 58 | 6.336 | 367.488 |
| | | W LL | 367.488 |

Berat yang diterima kolom

$$W = (1,2 \text{ DL} + 1,6 \text{ LL}) = 2533139.24 \text{ kg}$$

$$\text{Mutu Beton} = 45 \text{ MPa} = 450 \text{ Kg/cm}^2 \quad (1 \text{ Mpa} = 10 \text{ Kg/cm}^2)$$

$$\text{Dimensi: } A = 2/3 \times P / F_c' = 2/3 \times (2533139.24 / 450)$$

$$\text{Didapat } A = 3752.8 \text{ cm}^2$$

Direncanakan kolom persegi sehingga:

Panjang tiap sisi kolom (s) = $\sqrt{A} = 61.26$ cm

Diambil $s = 70$ cm

4.1.6 Perencanaan Dinding Geser

Menurut RSNI 2847:2018 pasal 11.3.1, ketebalan dinding bukan tumpuan tidak boleh kurang dari 1/30 tinggi atau panjang bentang, yang lebih pendek atau kurang dari 100 mm. Direncanakan:

- Tebal dinding geser : 50 cm
- Panjang bentang (L) : 600 cm
- Tinggi dinding geser (H) : 420 cm

$$50 \text{ cm} \geq H / 30 = 420 / 30 = 12 \text{ cm (OK!)}$$

$$50 \text{ cm} \geq L / 30 = 600 / 30 = 20 \text{ cm (OK!)}$$

Jadi, tebal shearwall sebesar 50 cm telah memenuhi syarat RSNI 2847:2018 pasal 11.3.1.

4.2 Perencanaan Struktur Sekunder

Struktur gedung dibagi menjadi dua yaitu struktur utama (primer) dan struktur sekunder. Struktur sekunder tidak menahan beban secara keseluruhan, namun tetap mengalami tegangan akibat pembebahan yang bekerja secara langsung pada bagian tersebut, maupun perubahan bentuk dari struktur primer. Bagian dari struktur sekunder antara lain meliputi tangga, pelat lantai, dan balok penumpu lift. Pada sub bab ini akan dibahas mengenai perancangan struktur sekunder.

4.2.1 Perencanaan Pelat

Data perencanaan pelat meliputi mutu bahan dan tulangan yang akan direncanakan, dimensi dan pembebahan yang terjadi di area pelat baik untuk pelat atap ataupun pelat lantai. Pelat

direncanakan cor in situ. Mutu bahan yang digunakan untuk perencanaan pelat sesuai dengan *preliminary design* sebagai berikut:

- Mutu beton : 25 MPa
- Mutu baja : 420 Mpa
- Tebal pelat atap : 12 cm
- Tebal pelat lantai : 12 cm
- Diameter tulangan rencana : 13 cm

4.2.1.1 Pembebanan Pelat

Pembebanan pada pelat dibagi menjadi dua yaitu pembebanan pada pelat atap dan pembebanan pada pelat lantai. Hal ini dikarenakan beban yang bekerja pada pelat atap berbeda dari pelat lantai. Oleh karena itu perhitungan pembebanan dan penulangan dibedakan.

1. Pelat Atap

- Beban Mati
 - Pelat atap = $0.12 \times 2400 = 288 \text{ kg/m}^2$
 - Penggantung plafond = 7 kg/m^2
 - Plafond = 11 kg/m^2
 - Spesi ($t = 2 \text{ cm}$) = 21 kg/m^2
 - Plumbing & Ducting = 30 kg/m^2
$$\begin{array}{rcl} & & + \\ q_D & = 357 \text{ kg/m}^2 & \end{array}$$

• Beban Hidup

- Pelat Atap = 96 kg/m^2
 - Hujan = 40 kg/m^2
- $$\begin{array}{rcl} q_L & = 136 \text{ kg/m}^2 & + \end{array}$$

$$\bullet \quad \text{Kombinasi Beban} = 1.2 q_D + 1.6 q_L = 647.8 \text{ kg/m}^2$$

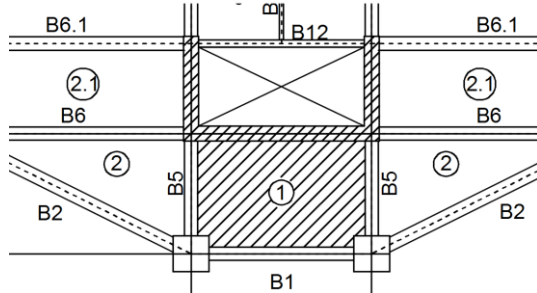
2. Pelat Lantai Kantor

- Beban Mati

- Pelat lantai kantor = $0.12 \times 2400 = 288 \text{ kg/m}^2$
- Penggantung plafond = 7 kg/m^2
- Plafond = 11 kg/m^2
- Spesi ($t = 2 \text{ cm}$) = 21 kg/m^2
- Tegel = 24 kg/m^2
- Plumbing & Ducting = 30 kg/m^2
-
- $q_D = 381 \text{ kg/m}^2$ +
- Beban Hidup
 - Pelat lantai kantor = 240 kg/m^2
-
- $q_L = 240 \text{ kg/m}^2$ +
- Kombinasi Beban = $1.2 q_D + 1.6 q_L = 841.2 \text{ kg/m}^2$

4.2.1.2 Penulangan Pelat

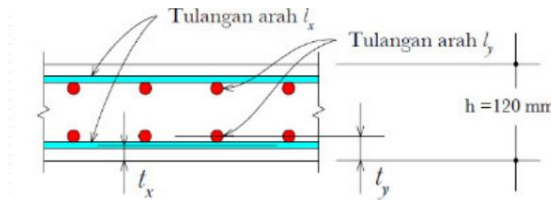
1. Contoh Perhitungan Penulangan Pelat Lantai Kantor Tipe 1



Gambar 4. 5 Tampak Atas Pelat Lantai Kantor Tipe 1

Data-data perancangan untuk penulangan pelat lantai:

- Dimensi pelat $400 \times 600 \text{ cm}$
- Tebal Pelat 120 mm
- Tebal selimut beton 40 mm
- Diameter tulangan rencana (D) 13 mm ($A_s = 132.73 \text{ mm}^2$)
- $\beta_1 = 0.85$



Gambar 4. 6 Potongan Pelat Rencana

$$\begin{aligned}
 dx &= 120 - 40 - \frac{1}{2}(13) = 73.5 \text{ mm} \\
 dy &= 120 - 40 - 13 - \frac{1}{2}(13) = 60.5 \text{ mm} \\
 Lx &= 4000 - 450 = 3550 \text{ mm} \\
 Ly &= 6000 - 450 = 5550 \text{ mm} \\
 \beta &= Ly/Lx = 5550 / 3550 = 1.56 < 2 \text{ (2 arah)} \\
 q_u &= 1,2 \text{ DL} + 1,6 \text{ LL} = 841.2 \text{ kg/m}^2
 \end{aligned}$$

Berdasarkan RSNI 2847:2018 pasal 8.6.1.1, untuk tulangan dengan mutu ≥ 420 MPa, luas minimum tulangan lentur harus diambil yang paling besar dari:

- $\frac{0.0018 x f_y}{420} Ag = \frac{0.0018 x 420}{420} = 0.0018Ag$
- $0.0014Ag$

Maka diambil $As_{min} = 0.0018 x 1000 x 120 = 216 \text{ mm}^2$

Untuk mencari besar momen yang bekerja pada pelat, digunakan koefisien momen PBI 1971 tabel 13.3.1 sehingga didapat persamaan momen sebagai berikut: ($Ly/Lx = 1.56$)

$$\begin{aligned}
 M_{lx} &= 0.001 \cdot qu \cdot Lx^2 \cdot X ; X = 56 \\
 M_{tx} &= -0.001 \cdot qu \cdot Lx^2 \cdot X ; X = 56 \\
 M_{ly} &= 0.001 \cdot qu \cdot Lx^2 \cdot X ; X = 37 \\
 M_{ty} &= -0.001 \cdot qu \cdot Lx^2 \cdot X ; X = 37
 \end{aligned}$$

Dimana: M_{lx} = Momen lapangan arah x

M_{ly} = Momen lapangan arah y

M_{tx} = Momen tumpuan arah x

M_{ty} = Momen tumpuan arah y
 X = Nilai konstanta dari perbandingan
 L_y/L_x

- **Penulangan Arah X**

- Tumpuan

$$M_{tx} = -7537.152 \text{ Nm}$$

$$R_n = \frac{Mu}{\varphi bd^2} = \frac{7537.152 \times 1000}{0.9 \times 1000 \times 73.5^2} = 1.55$$

$$\rho = \frac{1}{m} \left(1 - \sqrt{1 - \frac{2 \times m \times R_n}{f_y}} \right)$$

$$= \frac{1}{19.76} \left(1 - \sqrt{1 - \frac{2 \times 19.76 \times 1.55}{420}} \right)$$

$$= 0.003836$$

$$As \text{ perlu} = 0.003836 \times 1000 \times 73.5 = 281.977 \text{ mm}^2$$

As perlu > As min (OK)

$$n \text{ tul perlu} = \frac{As \text{ perlu}}{As (13)} = \frac{281.977}{132.73} \approx 3 \text{ bar/m}$$

$$s \text{ perlu} = \frac{1000}{n \text{ perlu}} = \frac{1000}{3} = 333.33 \text{ mm}$$

Maka dipasang tulangan **D13-200**

$$As \text{ pakai} = \frac{1000}{200} \times As (13) = 663.66 \text{ mm}^2 > As \text{ perlu}$$

(OK)

- Lapangan

$$M_{lx} = 7537.152 \text{ Nm}$$

$$R_n = \frac{Mu}{\varphi bd^2} = \frac{7537.152 \times 1000}{0.9 \times 1000 \times 73.5^2} = 1.55$$

$$\rho = \frac{1}{m} \left(1 - \sqrt{1 - \frac{2 \times m \times R}{f_y}} \right)$$

$$= \frac{1}{19.76} \left(1 - \sqrt{1 - \frac{2 \times 19.76 \times 1.55}{420}} \right)$$

$$= 0.003836$$

$$As \text{ perlu} = 0.003836 \times 1000 \times 73.5 = 281.977 \text{ mm}^2$$

As perlu < As min, gunakan As min

$$n_{tul\ perlu} = \frac{As\ perlu}{As\ (13)} = \frac{281.977}{132.73} \approx 3\ bar/m$$

$$s_{perlu} = \frac{1000}{n_{perlu}} = \frac{1000}{3} = 333.33\ mm$$

Maka dipasang tulangan **D13-200**

$$As\ pakai = \frac{1000}{200} \times As\ (13) = 663.66\ mm^2 > As\ perlu$$

(OK)

- **Penulangan Arah Y**

- Tumpuan

$$M_{tx} = -11204.784\ Nm$$

$$R_n = \frac{Mu}{\varphi bd^2} = \frac{11204.784 \times 1000}{0.9 \times 1000 \times 60.5^2} = 3.4$$

$$\rho = \frac{1}{m} \left(1 - \sqrt{1 - \frac{2 \times m \times R_n}{f_y}} \right)$$

$$= \frac{1}{19.76} \left(1 - \sqrt{1 - \frac{2 \times 19.76 \times 3.4}{420}} \right)$$

$$= 0.00887$$

$$As\ perlu = 0.00887 \times 1000 \times 60.5 = 537.072\ mm^2$$

As perlu > As min (OK)

$$n_{tul\ perlu} = \frac{As\ perlu}{As\ (13)} = \frac{537.072}{132.73} \approx 5\ bar/m$$

$$s_{perlu} = \frac{1000}{n_{perlu}} = \frac{1000}{5} = 200\ mm$$

Maka dipasang tulangan **D13-200**

$$As\ pakai = \frac{1000}{200} \times As\ (13) = 663.66\ mm^2 > As\ perlu$$

(OK)

- Lapangan

$$M_{tx} = 11204.784\ Nm$$

$$R_n = \frac{Mu}{\varphi bd^2} = \frac{5148.14 \times 1000}{0.9 \times 1000 \times 60.5^2} = 3.4$$

$$\begin{aligned}
 \rho &= \frac{1}{m} \left(1 - \sqrt{1 - \frac{2 \times m \times R}{f_y}}\right) \\
 &= \frac{1}{19.76} \left(1 - \sqrt{1 - \frac{2 \times 19.76 \times 3.4}{420}}\right) \\
 &= 0.00887
 \end{aligned}$$

$$\text{As perlu} = 0.00887 \times 1000 \times 60.5 = 537.072 \text{ mm}^2$$

As perlu > As min (OK)

$$n \text{ tul perlu} = \frac{\text{As perlu}}{\text{As (13)}} = \frac{537.072}{132.73} \approx 5 \text{ bar/m}$$

$$s \text{ perlu} = \frac{1000}{n \text{ perlu}} = \frac{1000}{5} = 200 \text{ mm}$$

Maka dipasang tulangan **D13-200**

$$\text{As pakai} = \frac{1000}{200} \times \text{As (13)} = 663.66 \text{ mm}^2 > \text{As perlu}$$

(OK)

Dengan cara yang sama untuk penulangan pelat tipe lainnya, termasuk pelat atap, maka didapatkan jumlah tulangan seperti pada Tabel 4.9. Untuk perhitungan penulangan pelat satu arah seperti pelat bordes/tangga.

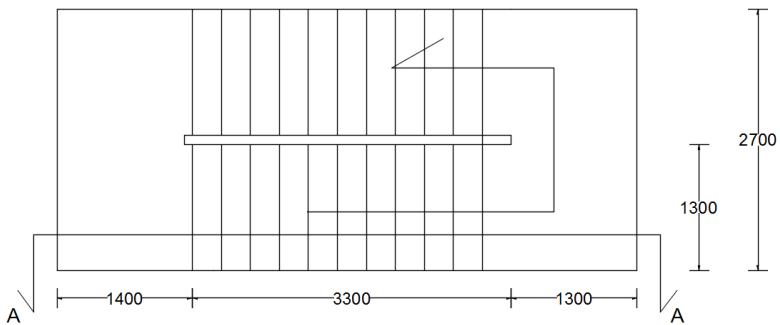
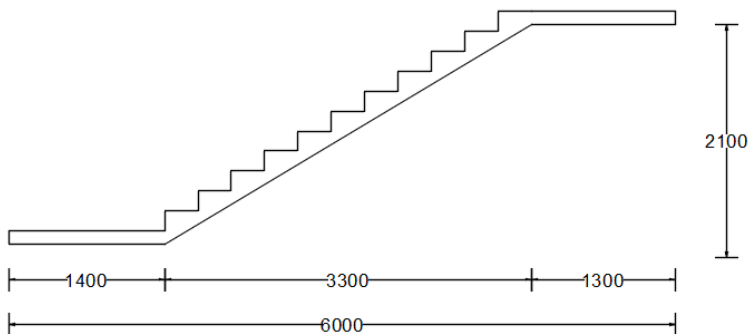
Tabel 4.7 Rekapitulasi Penulangan Pelat Lantai dan Atap

| Tipe | Jenis | Tebal (mm) | Lantai Atap | |
|------|-----------|---------------|-------------|---------|
| | | | Tulangan | |
| | | | X | Y |
| 1 | dua arah | 120 | D13-200 | D13-200 |
| 2 | dua arah | 120 | D13-200 | D13-200 |
| 2.1 | satu arah | 120 | D13-200 | D13-250 |
| 3 | satu arah | 120 | D13-200 | D13-250 |
| 4 | satu arah | 120 | D13-200 | D13-250 |
| 5 | dua arah | 120 | D13-200 | D13-200 |
| 6 | dua arah | 120 | D13-200 | D13-200 |

| Tipe | Jenis | Tebal (mm) | Lantai Kantor | |
|------|-----------|---------------|---------------|---------|
| | | | Tulangan | |
| | | | X | Y |
| 1 | dua arah | 120 | D13-200 | D13-200 |
| 2 | dua arah | 120 | D13-200 | D13-200 |
| 2.1 | satu arah | 120 | D13-200 | D13-250 |
| 3 | satu arah | 120 | D13-200 | D13-250 |
| 4 | satu arah | 120 | D13-200 | D13-250 |
| 5 | dua arah | 120 | D13-200 | D13-200 |
| 6 | dua arah | 120 | D13-200 | D13-200 |

4.2.2 Perencanaan Tangga

- Lebar tangga (b) = 1300 mm
- Tebal waist slab (h) = 180 mm
- Tebal bordes = 180 mm
- Lebar pijakan (tread) = 280 mm
- Tinggi pijakan (riser) = 180 mm
- Panjang landing bawah (X) = 1400 mm
- Panjang going (G) = 3300 mm
- Panjang bordes (Y) = 1300 mm
- Panjang tangga efektif (L) = $X + G + Y = 6000$ mm

**Gambar 4. 7 Denah Tangga****Gambar 4. 8 Potongan A-A Tangga****Cek Syarat**

- $60 \leq (2r + t) \leq 65$
 $60 \leq (2 \times 18 + 28) \leq 65$
 $60 \leq 64 \leq 65$ (OK)
- $25^\circ \leq \alpha \leq 40^\circ$
 $25^\circ \leq 31^\circ \leq 40^\circ$ (OK)

4.2.2.1 Pembebanan Tangga dan Bordes

a. Pembebanan Tangga

- Beban Mati

$$\text{Anak tangga : } \gamma_{\text{beton}} \times \left[\frac{\frac{1}{2} \times \text{tread} \times \text{riser}}{\text{tread}} \right] = 360 \text{ kg/m}^2$$

$$\text{Pelat tangga : } \gamma_{\text{beton}} \times \left[\frac{\frac{\text{tb waist slab}}{\text{tread}}}{\sqrt{\text{tread}^2 + \text{riser}^2}} \right] = 209.91 \text{ kg/m}^2$$

Spesi + Tegel : 90 kg/m²

Total Beban Mati Tangga = 659.91 kg/m²

- Beban Hidup Tangga = 479 kg/m²
- Beban Tangga Terfaktor = 1.2D+1.6L = 1558.3 kg/m²

b. Pembebanan Bordes

- Beban Mati

Pelat bordes : $\gamma_{\text{beton}} \times \text{tebal bordes} = 432 \text{ kg/m}^2$

Spesi + Tegel : 90 kg/m²

Total Beban Mati Bordes = 522 kg/m²

- Beban Hidup Bordes = 479 kg/m²
- Beban Bordes Terfaktor = 1.2D+1.6L = 1392.8 kg/m²

4.2.2.2 Perhitungan Gaya pada Tangga

Pada proses analisa struktur tangga, perhitungan dengan menggunakan mekanika teknik statis dengan permisalan sendi-rol, dengan pembebanan tangga dan output seperti pada gambar dibawah ini. Karena beban yang bekerja per meter lari, maka beban yang bekerja adalah sebagai berikut:

a. Beban Tangga

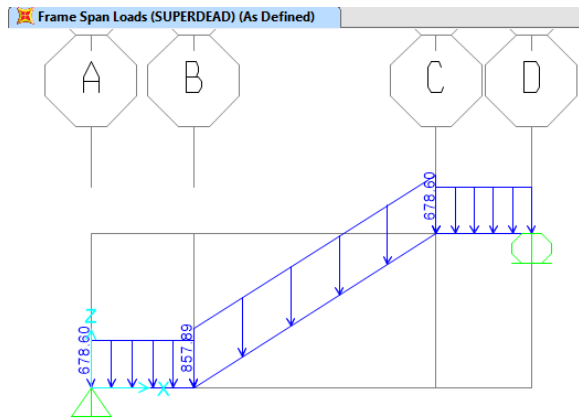
$$q_{DL} = 659.91 \times 1.3 \text{ m} = 857.89 \text{ kg/m}$$

$$q_{LL} = 479 \times 1.3 \text{ m} = 622.70 \text{ kg/m}$$

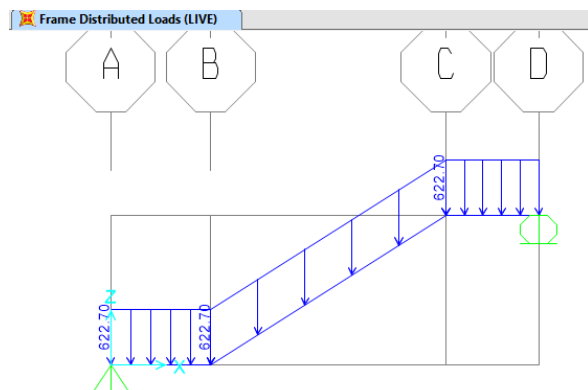
b. Beban Bordes

$$q_{DL} = 522 \times 1.3 \text{ m} = 678.60 \text{ kg/m}$$

$$q_{LL} = 479 \times 1.3 \text{ m} = 622.70 \text{ kg/m}$$

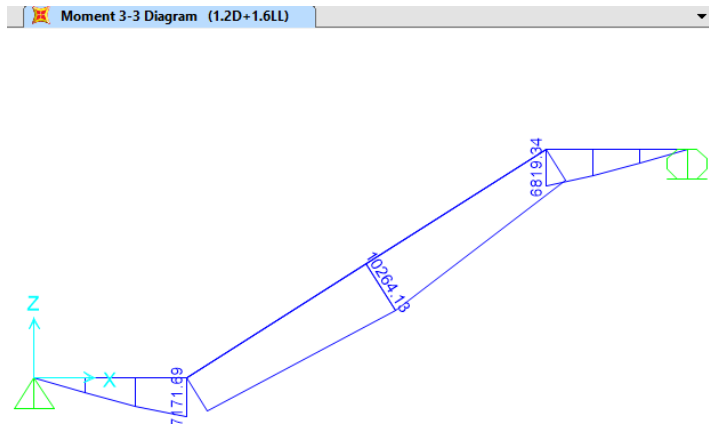


Gambar 4. 9 Pembebanan Beban Mati pada Tangga dan Bordes

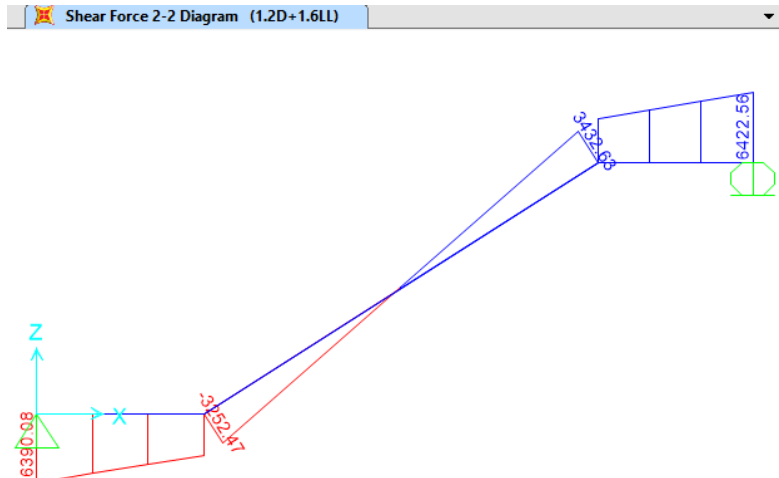


Gambar 4. 10 Pembebanan Beban Hidup pada Tangga dan Bordes

Output dari pembebasan tangga dan bordes adalah diagram momen dan gaya normal seperti pada gambar dibawah ini



Gambar 4. 11 Diagram Momen pada Tangga dan Bordes



Gambar 4. 12 Diagram Gaya Geser pada Tangga dan Bordes

4.2.2.3 Penulangan Tangga dan Bordes

Data perencanaan penulangan tangga sebagai berikut

- f'_c : 45 MPa
- f_y : 420 MPa
- Diameter tulangan : 16 mm
- Decking : 20 mm
- d_x : $180 - 20 - 16/2 = 152$ mm
- $m (f_y/0.85f'_c)$: 10.98

a. Tangga

- Penulangan Lentur

$$\begin{aligned} R_n &= \frac{Mu}{\varphi bd^2} = \frac{102641300}{0.9 \times 1000 \times 152^2} = 4.93 \\ \rho &= \frac{1}{m} \left(1 - \sqrt{1 - \frac{2 \times m \times R_n}{f_y}}\right) \\ &= \frac{1}{10.98} \left(1 - \sqrt{1 - \frac{2 \times 10.98 \times 4.93}{420}}\right) \\ &= 0.0126 \end{aligned}$$

As perlu = $\rho \times b \times d$

$$\begin{aligned} &= 0.0126 \times 1000 \times 152 \\ &= 1919.52 \text{ mm}^2 \end{aligned}$$

As (D16) = $\frac{1}{4} \pi \times D^2$

$$\begin{aligned} &= \frac{1}{4} \pi \times 16^2 \\ &= 201.12 \text{ mm}^2 \end{aligned}$$

$$\begin{aligned} n \text{ Tulangan} &= \frac{\text{As Perlu}}{\text{As (D16)}} \\ &= \frac{1919.52 \text{ mm}^2}{201.12 \text{ mm}^2} \\ &\approx 10 \text{ buah} \end{aligned}$$

$$S = \frac{1000}{10} = 100 \text{ mm}$$

Digunakan tulangan lentur **D16-100 mm**

- Penulangan Bagi

$$\begin{aligned} \text{As perlu} &= 20\% \text{ As tul lentur} \\ &= 20\% \times 10 \times 201.12 \\ &= 402.12 \text{ mm}^2 \end{aligned}$$

$$\begin{aligned} \text{As (D10)} &= \frac{1}{4} \pi \times D^2 \\ &= \frac{1}{4} \pi \times 10^2 \\ &= 78.54 \text{ mm}^2 \end{aligned}$$

$$\begin{aligned} n \text{ Tulangan} &= \frac{\text{As Perlu}}{\text{As (D10)}} \\ &= \frac{402.12 \text{ mm}^2}{78.54 \text{ mm}^2} \\ &\approx 6 \text{ buah} \end{aligned}$$

$$S = \frac{1000}{6} = 166.67 \text{ mm}$$

Digunakan tulangan bagi **D10-150 mm**

- Penulangan Geser

Butuh tulangan geser apabila $V_u \geq 0.5 \cdot \phi \cdot V_c$

$$V_u = 34326.3 \text{ N}$$

$$\begin{aligned} V_c &= 0,17 \times \sqrt{f_c'} \times b \times w \times d \\ &= 0,17 \times \sqrt{45} \times 1000 \times 152 = 173339.9 \text{ N} \end{aligned}$$

$$0.5\phi V_c = 65002.49 \text{ N} \geq V_u$$

Tidak butuh tulangan geser

- Penulangan Susut

Berdasarkan RSNI 2847:2018 tabel 24.4.3.2, untuk mutu tulangan $\geq 420 \text{ MPa}$, maka rasio tulangan susut diambil yang terbesar dari:

$$a. \frac{0.0018 \times f_y}{420} = \frac{0.0018 \times 420}{420} = 0.0018$$

b. 0.0014

Maka ρ pakai = 0.0018

$$\text{As perlu} = 0.0018 \times 1000 \times 152 = 324 \text{ mm}^2$$

$$\begin{aligned} \text{As (D10)} &= \frac{1}{4} \pi \times D^2 \\ &= \frac{1}{4} \pi \times 10^2 \end{aligned}$$

$$= 78.54 \text{ mm}^2$$

$$\begin{aligned} n \text{ Tulangan} &= \frac{\text{As Perlu}}{\text{As (D10)}} \\ &= \frac{324 \text{ mm}^2}{78.54 \text{ mm}^2} \\ &\approx 5 \text{ buah} \end{aligned}$$

$$S = \frac{1000}{5} = 200 \text{ mm}$$

Digunakan tulangan susut **D10-200 mm**

b. Bordes

- Penulangan Lentur

$$R_n = \frac{Mu}{\varphi bd^2} = \frac{71716900}{0.9 \times 1000 \times 152^2} = 3.45$$

$$\begin{aligned} \rho &= \frac{1}{m} \left(1 - \sqrt{1 - \frac{2 \times m \times R_n}{f_y}} \right) \\ &= \frac{1}{10.98} \left(1 - \sqrt{1 - \frac{2 \times 10.98 \times 3.45}{420}} \right) \\ &= 0.0086 \end{aligned}$$

$$\begin{aligned} \text{As perlu} &= \rho \times b \times d \\ &= 0.0086 \times 1000 \times 152 \\ &= 1310.21 \text{ mm}^2 \end{aligned}$$

$$\begin{aligned} \text{As (D16)} &= \frac{1}{4} \pi \times D^2 \\ &= \frac{1}{4} \pi \times 16^2 \\ &= 201.12 \text{ mm}^2 \end{aligned}$$

$$\begin{aligned} n \text{ Tulangan} &= \frac{\text{As Perlu}}{\text{As (D16)}} \\ &= \frac{1310.12 \text{ mm}^2}{201.12 \text{ mm}^2} \\ &\approx 7 \text{ buah} \end{aligned}$$

$$S = \frac{1000}{7} = 142.85 \text{ mm}$$

Digunakan tulangan lentur **D16-100 mm**

- Penulangan Bagi

$$\begin{aligned} \text{As perlu} &= 20\% \text{ As tul lentur} \\ &= 20\% \times 10 \times 201.12 \\ &= 402.12 \text{ mm}^2 \end{aligned}$$

$$\begin{aligned} \text{As (D10)} &= \frac{1}{4} \pi \times D^2 \\ &= \frac{1}{4} \pi \times 10^2 \\ &= 78.54 \text{ mm}^2 \end{aligned}$$

$$\begin{aligned} n \text{ Tulangan} &= \frac{\text{As Perlu}}{\text{As (D10)}} \\ &= \frac{402.12 \text{ mm}^2}{78.54 \text{ mm}^2} \\ &\approx 6 \text{ buah} \end{aligned}$$

$$S = \frac{1000}{6} = 166.67 \text{ mm}$$

Digunakan tulangan bagi **D10-150 mm**

- Penulangan Geser

Butuh tulangan geser apabila $V_u \geq 0.5 \cdot \phi \cdot V_c$

$$V_u = 63900.8 \text{ N}$$

$$\begin{aligned} V_c &= 0,17 \times \sqrt{f'_c} \times b \times w \times d \\ &= 0,17 \times \sqrt{45} \times 1000 \times 152 = 173339.9 \text{ N} \end{aligned}$$

$$0.5\phi V_c = 65002.49 \text{ N} \geq V_u$$

Tidak butuh tulangan geser

- Penulangan Susut

Berdasarkan RSNI 2847:2018 tabel 24.4.3.2, untuk mutu tulangan $\geq 420 \text{ MPa}$, maka rasio tulangan susut diambil yang terbesar dari:

$$a. \frac{0.0018 \times f_y}{420} = \frac{0.0018 \times 420}{420} = 0.0018$$

b. 0.0014

Maka ρ pakai = 0.0018

$$\text{As perlu} = 0.0018 \times 1000 \times 152 = 324 \text{ mm}^2$$

$$\begin{aligned} \text{As (D10)} &= \frac{1}{4} \pi \times D^2 \\ &= \frac{1}{4} \pi \times 10^2 \end{aligned}$$

$$\begin{aligned}
 &= 78.54 \text{ mm}^2 \\
 n \text{ Tulangan} &= \frac{\text{As Perlu}}{\text{As (D10)}} \\
 &= \frac{324 \text{ mm}^2}{78.54 \text{ mm}^2} \\
 &\approx 5 \text{ buah} \\
 S &= \frac{1000}{5} = 200 \text{ mm}
 \end{aligned}$$

Digunakan tulangan susut **D10-200 mm**

Rekapitulasi penulangan tangga dan bordes adalah sebagai berikut:

Tabel 4. 8 Rekapitulasi Penulangan Tangga dan Bordes

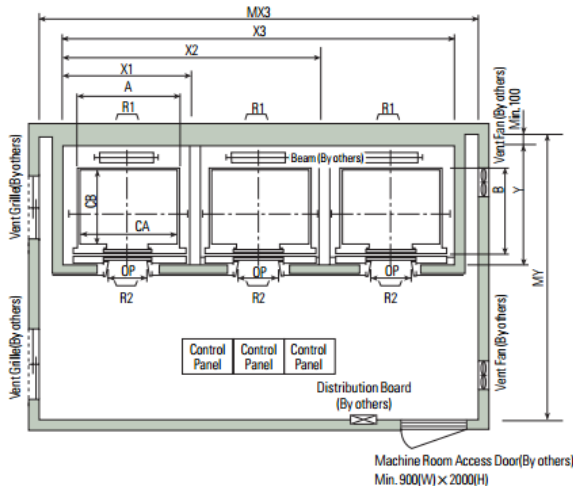
| Tulangan | Tangga | Bordes |
|----------|---------|--------|
| Lentur | D16-100 | |
| Bagi | D10-150 | |
| Geser | - | |
| Susut | D10-200 | |

4.2.3 Perencanaan Balok Lift

Pada bangunan ini menggunakan lift penumpang dengan data-data sebagai berikut (untuk lebih jelasnya lihat lampiran brosur lift):

- Tipe lift : PassengerElevators
- Merek : HYUNDAI
- Kapasitas : 11 Orang / 750 kg
- Lebar pintu (opening width) : 800 mm
- Hoistway Size (3 cars) : 5600 x 1930 mm²
- Dimensi sangkar (Car size)
 - Internal : 1400 x 1350 mm²
 - Eksternal : 1460 x 1505 mm²
- Dimensi ruang mesin (3 Cars): 6000 x 3700 mm²
- Beban reaksi pit :

$$\begin{aligned} R1 &= 4550 \text{ kg} \\ R2 &= 2800 \text{ kg} \end{aligned}$$

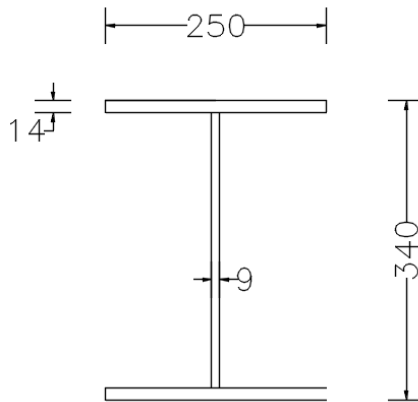


Gambar 4. 13 Spesifikasi Lift
(Sumber: Hyundai Elevators Co., Ltd.)

Dikarenakan balok penggantung lift menggunakan profil WF 350 x 250 x 9 x 14 (BJ 41) dengan data-data sebagai berikut:

| | | | |
|------------|-----------------|---------------|-----------------|
| W : 79.7 | kg/m | Zx : 1360 | cm ³ |
| As : 101.5 | cm ² | Zy : 444 | cm ³ |
| d : 340 | mm | Sx : 1280 | cm ³ |
| bf : 250 | mm | Sy : 292 | cm ³ |
| tw : 9 | mm | MPa | |
| tf : 14 | mm | fu : 410 | MPa |
| r : 20 | mm | E : 200000 | MPa |
| ix : 14.6 | cm | h : d+2(tf+r) | |
| iy : 6 | cm | | : 340-2(14+20) |

$$\begin{array}{lll} I_x & : & 21700 \text{ cm}^4 \\ I_y & : & 3650 \text{ cm}^4 \end{array} \quad \left| \quad \begin{array}{ll} L & : 272 \text{ mm} \\ & : 6 \text{ m} \end{array} \right.$$



Gambar 4. 14 Profil WF 350 x 250 x 9 x 14

a. Pembebanan Balok Lift

Balok lift menerima pembebanan sebagai berikut

1. Beban Merata

Beban merata yang diterima terdiri dari berat profil sendiri dan berat sambungan

$$W \text{ profil} : 79.7 \text{ kg/m}$$

$$\text{Sambungan (10\% W)} : 7.97 \text{ kg/m}$$

$$qD : 87.67 \text{ kg/m}$$

$$quD : 1.2 \times 87.67 = 105.2 \text{ kg/m}$$

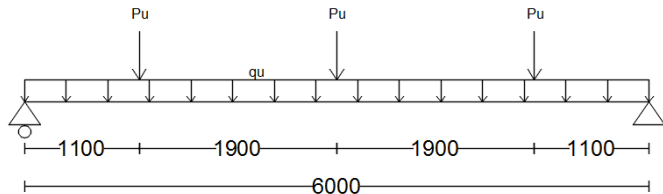
2. Beban Terpusat

Menurut SNI 1727:2013 pasal 4.6.3, berat unit mesin yang bergerak maju mundur atau unit tenaga-driven harus ditingkatkan sebesar 50%

$$R1 = 4550 \times (1+50\%) = 6825 \text{ kg}$$

$$R2 = 2800 \times (1+50\%) = 4200 \text{ kg}$$

Pu ambil terbesar = 6825 kg



Gambar 4. 15 Skema Pembebanan Balok Lift

- b. Perhitungan momen dan gaya geser

$$V_u = \frac{1}{2} q_u L + \frac{3P_u}{2}$$

$$V_u = \frac{1}{2} \times 105.2 \times 6 + \frac{3 \times 6825}{2}$$

$$V_u = 10553.11 \text{ kg}$$

$$M_u = V_u \times \frac{L}{2} - \frac{1}{2} q_u \left(\frac{L}{2}\right)^2 - P_u \cdot x$$

$$M_u = 10553.11 \times \frac{6}{2} - \frac{1}{2} \times 105.2 \times \left(\frac{6}{2}\right)^2 - 6825 \times 1.9$$

$$M_u = 18218.42 \text{ kgm}$$

- c. Kontrol Balok Lift

Karena balok lift menggunakan profil balok baja, maka diperlukan kontrol kapasitas

1. Kontrol terhadap gaya lentur

- Kontrol tekuk lokal

Pelat Sayap

$$\lambda = bf/2tf = 8.93$$

$$\lambda_p = 0.38 \sqrt{\frac{E}{f_y}} = 0.38 \sqrt{\frac{200000}{250}} = 10.75 > \lambda$$

Penampang kompak

Pelat Badan

$$\lambda = h/tw = 30.22$$

$$\lambda_p = 3.76 \sqrt{\frac{E}{f_y}} = 3.76 \sqrt{\frac{200000}{250}} = 106.35 > \lambda$$

Penampang kompak

Karena penampang kompak, $M_n = M_p$

$$M_p = Z_x \cdot F_y = 1360 \times 2500 = 34000 \text{ kgm}$$

$$\phi M_n = 0.9 \times 3400 = 30600 \text{ kgm} > M_u (\text{OK})$$

- Kontrol tekuk lateral

$$L = L_b = 600 \text{ cm}$$

$$L_p = 233.231 \text{ cm}$$

$$L_r = 602.746 \text{ cm}$$

$L_r < L_b < L_p$, bentang menengah

$$M_{max} = 18218.42 \text{ kgm}$$

$$M_a = 12981.31 \text{ kgm}$$

$$M_b = 18218.42 \text{ kgm}$$

$$M_c = 12981.31 \text{ kgm}$$

$$C_b = \frac{12.5 M_{max}}{2.5 M_{max} + 3 M_a + 4 M_b + 3 M_c} \leq 2.3$$

$$C_b = 1.16 \leq 2.3$$

Dipakai $C_b = 1.16$

$$M_n = C_b \left[M_p - (M_p - 0.7 F_y S_x) \left(\frac{L_b - L_p}{L_r - L_p} \right) \right] < M_p$$

$$M_n = 25792.42 \text{ kgm} < M_p = 34000 \text{ kgm}$$

$$M_n = 25792.42 \text{ kgm}$$

$$\phi M_n = 0.9 \times 25792.42 = 23213.18 \text{ kgm} > M_u (\text{OK})$$

2. Kontrol terhadap gaya geser

$$\lambda = h/tw = 30.22$$

$$\lambda_p = 2.24 \sqrt{\frac{E}{f_y}} = 2.24 \sqrt{\frac{200000}{250}} = 63.35 > \lambda$$

$$V_n = 0.6 f_y A_w$$

$$A_w = 27.2 \text{ cm}^2$$

$$\varphi V_n = 0.75 \times (0.6 \times 2500 \times 27.2) = 30600 \text{ kg} > V_u (\text{OK})$$

3. Kontrol lendutan

$$L = 600 \text{ cm}$$

$$\Delta_{ijin} = L/360 = 1.67 \text{ cm}$$

$$\Delta \text{ akibat } qu = \frac{5}{384} \chi \frac{q_D L^4}{EI\chi} = 0.041 \text{ cm}$$

$$\Delta \text{ akibat } Pu1 = \frac{Pa^2 b^2}{3EI} = 0.253 \text{ cm}$$

$$\Delta \text{ akibat } Pu2 = \frac{PL^3}{48EI} = 0.707 \text{ cm}$$

$$\Delta \text{ akibat } Pu3 = \frac{Pa^2 b^2}{3EI} = 0.253 \text{ cm}$$

$$\Delta \text{ total} = 1.25 \text{ cm} < \Delta_{ijin} (\text{OK})$$

4.2.4 Perencanaan Balok Anak

Pada perencanaan penulangan balok anak ini akan dicontohkan melalui perhitungan balok anak sumbu X (B12)

a. Data perencanaan:

$$L = 6000 \text{ mm}$$

$$M_u \text{ tumpuan} = -409955000 \text{ Nmm}$$

$$M_u \text{ lapangan} = 309071350 \text{ Nmm}$$

$$V_u = 177193.32 \text{ N}$$

$$F'_c = 45 \text{ Mpa}$$

$$F_y = 420 \text{ Mpa}$$

$$\text{Tul. lentur (D)} = 25 \text{ mm}$$

$$A_s \text{ tulangan} = 490.87 \text{ mm}^2$$

Tul. sengkang (D)= 10 mm

$$As \text{ sengkang} = 157.08 \text{ mm}^2 \text{ (2 kaki)}$$

$$B = 350 \text{ mm}$$

$$H = 500 \text{ mm}$$

$$Decking = 40 \text{ mm}$$

$$d = h - (\text{decking} + \phi_{\text{sengkang}} + \frac{1}{2} \phi_{\text{lentur}})$$

$$= 437.5 \text{ mm}$$

b. Perhitungan tulangan negatif tumpuan

$$\rho_{\min} = \frac{0.25x\sqrt{f'c}}{fy}$$

$$= \frac{0.25x\sqrt{45}}{420} = 0.003765 \text{ (menentukan)}$$

$$\rho_{\min} = \frac{1.4}{fy} = \frac{1.4}{420} = 0.003333$$

$$m = \frac{fy}{0.85 f_{c'}} = \frac{420}{0.85 \times 45} = 10.98$$

$$R_n = \frac{Mn}{bd^2} = \frac{409955000}{0.9 \times 350 \times 437.5^2} = 6.78 \text{ MPa}$$

$$\rho = \frac{1}{m} \left(1 - \sqrt{1 - \frac{2mR_n}{fy}} \right)$$

$$= \frac{1}{10.98} \left(1 - \sqrt{1 - \frac{2 \times 10.98 \times 6.78}{420}} \right)$$

$$\rho = 0.0179$$

Maka dipakai $\rho = 0.0179$

$$As \text{ perlu} = \rho \cdot b \cdot d$$

$$= 0.0179 \times 350 \times 437.5 = 2750.112 \text{ mm}^2$$

$$n \text{ perlu} = \frac{As \text{ perlu}}{As \text{ tulangan}}$$

$$= \frac{2750.112}{490.87} = 5.6 \approx 6 \text{ buah}$$

Dipakai 6D25

c. Perhitungan tulangan positif tumpuan

$$As.\min = \frac{1}{2} \times As = \frac{1}{2} \times 2750.112$$

$$As \text{ min} = 1375.056 \text{ mm}^2$$

$$\begin{aligned}
 n (\text{jumlah}) &= \frac{As \text{ perlu}}{As \text{ tulangan}} \\
 &= \frac{1375.056}{490.87} = 2.8 \approx 3 \text{ buah}
 \end{aligned}$$

Dipakai 3D25

d. Perhitungan tulangan positif lapangan

$$\begin{aligned}
 \rho_{\min} &= \frac{0.25x\sqrt{f'c}}{fy} \\
 &= \frac{0.25x\sqrt{45}}{420} = 0.003765 \text{ (menentukan)} \\
 \rho_{\min} &= \frac{1.4}{fy} = \frac{1.4}{420} = 0.003333 \\
 m &= \frac{fy}{0.85 f_{c'}} = \frac{420}{0.85 \times 45} = 10.98 \\
 R_n &= \frac{Mn}{bd^2} = \frac{309071350}{0.9 \times 350 \times 437.5^2} = 5.126 \text{ MPa} \\
 \rho &= \frac{1}{m} \left(1 - \sqrt{1 - \frac{2mR_n}{fy}}\right) \\
 &= \frac{1}{10.98} \left(1 - \sqrt{1 - \frac{2 \times 10.98 \times 5.126}{420}}\right) \\
 \rho &= 0.0131
 \end{aligned}$$

Maka dipakai $\rho = 0.0131$

$$\begin{aligned}
 As \text{ perlu} &= \rho \cdot b \cdot d \\
 &= 0.0131 \times 350 \times 437.5 = 2014.402 \text{ mm}^2 \\
 n \text{ perlu} &= \frac{As \text{ perlu}}{As \text{ tulangan}} \\
 &= \frac{2014.402}{490.87} = 4.1 \approx 5 \text{ buah}
 \end{aligned}$$

Dipakai 5D25

e. Perhitungan tulangan negatif lapangan

$$\begin{aligned}
 As.\min &= \frac{1}{2} \times As = \frac{1}{2} \times 2014.402 \\
 As \text{ min} &= 1007.201 \text{ mm}^2 \\
 n (\text{jumlah}) &= \frac{As \text{ perlu}}{As \text{ tulangan}}
 \end{aligned}$$

$$= \frac{1007.201}{490.87} = 2.051 \approx 3 \text{ buah}$$

Dipakai 3D25

f. Perhitungan tulangan geser

- Menghitung V_c

Nilai V_c dihitung menggunakan rumus berikut:

$$V_c = 0.17\lambda\sqrt{f'_c bwd} = 0.17 \times 1 \times \sqrt{45} \times 350 \times 437.5$$

$$V_c = 174622.93 \text{ N}$$

- Cek Persyaratan

- Syarat 1

Balok tidak butuh tulangan geser apabila $0.5\phi V_c > V_u$

$$V_u = 177193.32 \text{ N}$$

$$0.5\phi V_c = 0.5 \times 0.75 \times 174622.93 = 65483.6 \text{ N} < V_u$$

Tidak memenuhi Syarat 1

- Syarat 2

Balok butuh tulangan geser minimum apabila

$$0.5\phi V_c < V_u < \phi V_c$$

$$65483.6 < 177193.32 > 130967.2$$

Tidak memenuhi Syarat 2

- Syarat 3

Balok butuh tulangan geser minimum apabila

$$\phi V_c < V_u < \phi(V_c + V_{s,min}), \text{ dimana } V_{s,min} = \frac{1}{16}\sqrt{f'_c bwd}$$

$$130967.2 < 177193.32 > 179116.9$$

Tidak memenuhi Syarat 3

- Syarat 4

Balok butuh *stirrup* apabila

$$\phi(V_c + V_{s,min}) < V_u < \phi(V_c + V_{s'}), \text{ dimana } V_{s'} = 0.5\phi V_c$$

$$= \frac{1}{3}\sqrt{f'_c bwd}$$

$$\phi(V_c + V_{s,min}) < V_u < \phi(V_c + V_{s'})$$

$$179116.9 < 177193.32 < 387765.632$$

Memenuhi Syarat 4, butuh *stirrup*

Desain *stirrup* dengan data perencanaan sebagai berikut:

- $d_{stirrup} = 10 \text{ mm}$
- $A_v = 157.08 \text{ mm}^2$ (dua kaki)
- $f_y = 420 \text{ MPa}$

Spasi minimum *stirrup* pada daerah $<2h$ adalah yang terkecil dari:

- $d/4 = 437.5/4 = 109.375 \text{ mm}$
- $6db = 6 \times 25 = 150 \text{ mm}$
- 150 mm

Dipakai spasi minimum 100 mm

Direncanakan *stirrup* D10-100 pada daerah $<2h$ dan D10-200 pada daerah $>2h$

$$V_{s_{<2h}} = \frac{A_v \times f_y \times d}{s} = \frac{157.08 \times 420 \times 437.5}{100} = 463256.75 \text{ N}$$

$$V_{s_{>2h}} = \frac{A_v \times f_y \times d}{s} = \frac{157.08 \times 420 \times 437.5}{200} = 318939.84 \text{ N}$$

Cek $0.33\sqrt{f'c'bwd} = 0.33\sqrt{45} \times 350 \times 437.5 = 338973.93 \text{ N}$

$$V_{s_{<2h}} < 0.33\sqrt{f'c'bwd}, V_{s_{>2h}} < 0.33\sqrt{f'c'bwd}$$

Maka berdasarkan RSNI 2847:2018 tabel 9.7.6.2.2,
 $s_{max} = 3h/4 = 3 \times 500 / 4 = 375 \text{ mm (OK)}$

$$\text{Kontrol } \varphi V_n = \varphi(V_s + V_c) > V_u$$

$$\begin{aligned} \text{Daerah } <2h, \varphi V_n &= 0.75(463256.75) > 177193.32 \text{ N} \\ &= 455653.4 \text{ N} > 177193.32 \text{ N (OK)} \end{aligned}$$

$$\begin{aligned} \text{Daerah } >2h, \varphi V_n &= 0.75(318939.84) > 177193.32 \text{ N} \\ &= 350508.22 \text{ N} > 177193.32 \text{ N (OK)} \end{aligned}$$

Dengan cara yang sama dilakukan perhitungan balok anak sumbu Y (B11) sehingga didapat rekapitulasi penulangan balok anak sebagai berikut

Tabel 4. 9 Rekapitulasi Penulangan Balok Anak

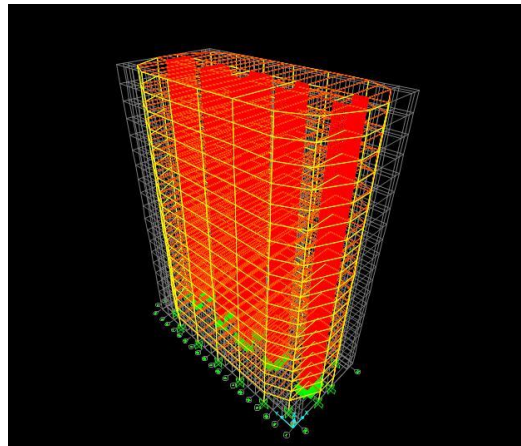
| Balok Anak | | | | | |
|------------|---------|---------|----------|---------|----------|
| Tipe Balok | Tumpuan | | Lapangan | | Sengkang |
| | Negatif | Positif | Negatif | Positif | |
| B11 | 6D16 | 3D16 | 2D16 | 3D16 | D10-150 |
| B12 | 6D25 | 3D25 | 3D25 | 5D25 | D10-150 |

4.3 Pembebanan dan Analisa Struktur

Dalam perencanaan gedung bertingkat perlu dilakukan adanya perencanaan pembebanan gravitasi maupun pembelaan gempa. Hal ini bertujuan agar struktur gedung tersebut mampu untuk memikul beban yang terjadi.

4.3.1 Permodelan Struktur

Dikarenakan Gedung Office Ciputra World Surabaya memiliki bentuk yang tidak beraturan, maka pada analisa struktur harus menggunakan analisa respon dinamik. Struktur Gedung Office Ciputra World Surabaya ini memiliki 20 lantai dengan 1 lantai basement. Tinggi total gedung adalah ±79,8 meter.



Gambar 4. 16 Permodelan pada SAP2000

4.3.2 Pembebanan Gravitasi

Data-data perencanaan pembebatan Gedung Office Ciputra World Surabaya adalah sebagai berikut:

- Input beban sendiri:

| | |
|-------------------------|-----------------------|
| Mutu beton (F'c) | : 45 Mpa |
| Mutu baja (Fy) | : 420 Mpa |
| Ketinggian lantai | : |
| - Basement - Lt. 1 | : 4.2 m |
| - Lt. 1 - 20 | : 4.2 m (tiap lantai) |
| Dimensi Balok Pratekan: | 25/40; 35/50; 45/70 |
| Tebal Pelat | : 12 cm |
| Dimensi Kolom: | 70/70 |
| Faktor keutamaan | : I (gedung kantor) |

- Input beban hidup:

| | |
|---------------|-------------------------|
| Lantai Kantor | : 240 kg/m ² |
| Lantai Atap | : 100 kg/m ² |

- Input beban mati (superdead):
 - Penggantung : 7 kg/m²
 - Plafond : 11 kg/m²
 - Spesi (t = 2 cm) : 21 kg/m²
 - Tegel (t = 1 cm) : 24 kg/m²
 - Ducting & Plumbing : 30 kg/m²

*berat sendiri elemen dikalkulasi oleh SAP2000

Sehingga didapatkan rekap pembebanan gravitasi secara manual sebagai berikut:

Tabel 4. 10 Rekapitulasi Pembebanan Satu Lantai Kantor

| Pembebanan Lantai Kantor (1 Lantai) | | | |
|--|----------|----------|------------|
| Beban Mati | | | |
| Beban | γ | Volume | W (kg) |
| Balok 45/70 | 2400 | 185.83 | 446003.11 |
| Balok 25/40 | 2400 | 7.20 | 17280.00 |
| Balok 15/20 | 2400 | 1.54 | 3700.80 |
| Plat 12 cm | 2400 | 29.23 | 70156.80 |
| Plat 16 cm | 2400 | 138.70 | 332871.84 |
| Liuvel | 2400 | 16.55 | 39712.74 |
| Finishing | 21 | 1399.41 | 29387.51 |
| Tegel | 24 | 1399.41 | 33585.72 |
| Plumbing & Ducting | 30 | 1399.41 | 41982.15 |
| Plafond | 11 | 1399.41 | 15393.46 |
| Penggantung Plafond | 7 | 1399.41 | 9795.84 |
| Dinding pas bata merah | 250 | 2996.08 | 749018.76 |
| W DL | | | 1788888.71 |
| Beban Hidup | | | |
| Beban | γ | Volume | W (kg) |
| Lantai Kantor | 240 | 1399.405 | 335857.2 |
| W LL | | | 335857.2 |

Tabel 4. 11 Rekapitulasi Pembebanan Lantai Atap

| Pembebanan Lantai Atap | | | |
|-------------------------------|----------|---------|-----------|
| Beban Mati | | | |
| Beban | γ | Volume | W (kg) |
| Balok 45/70 | 2400 | 185.83 | 446003.11 |
| Balok 25/40 | 2400 | 7.20 | 17280.00 |
| Balok 15/20 | 2400 | 1.54 | 3700.80 |
| Plat 12 cm | 2400 | 29.23 | 70156.80 |
| Plat 16 cm | 2400 | 138.70 | 332871.84 |
| Finishing | 21 | 1399.41 | 29387.51 |
| Plumbing & Ducting | 30 | 1399.41 | 41982.15 |
| Plafond | 11 | 1399.41 | 15393.46 |
| Penggantung Plafond | 7 | 1399.41 | 9795.84 |
| | | W DL | 966571.49 |
| Beban Hidup | | | |
| Beban | γ | Volume | W (kg) |
| Lantai Atap | 96 | 1399.41 | 134342.88 |
| Hujan | 40 | 1399.41 | 55976.20 |
| | | W LL | 190319.08 |

Pembebanan yang diinput pada SAP2000 harus mendekati perhitungan manual ($\pm 5\%$) agar pembebanan pada SAP2000 dapat dinyatakan benar. Berikut merupakan rasio selisih pembebanan gravitasi yang didapat dari SAP2000 dan Manual

Tabel 4. 12 Selisih Perhitungan SAP2000 dan Manual

| | | |
|---------|------------|----|
| SAP2000 | 47357643.9 | kg |
| Manual | 47564899.4 | kg |
| Selisih | 207255.455 | kg |
| Rasio | 0.438% | |

Dari tabel *base reaction* hasil analisa program bantu SAP2000, berat total struktur adalah sebesar 47357643.9 kg. Sedangkan hasil perhitungan secara manual adalah sebesar 47564899.4 kg. Sehingga didapatkan rasio selisih sebagai berikut:

$$\begin{aligned} \text{Rasio} &= (\text{Wmanual}/\text{WSAP2000}) - 1 \\ &= (47564899.4/47357643.9) - 1 \\ &= 0.00438 = 0.438 \% < 5\% \end{aligned}$$

Jadi dapat disimpulkan bahwa pembebanan gravitasi pada SAP2000 sudah benar dan sesuai dengan persyaratan.

4.3.3 Pembebanan Gempa Dinamis

Pembebanan gempa dinamis mengacu kepada SNI 1726:2018, yang di dalamnya terdapat ketentuan dan persyaratan perhitungan beban gempa.

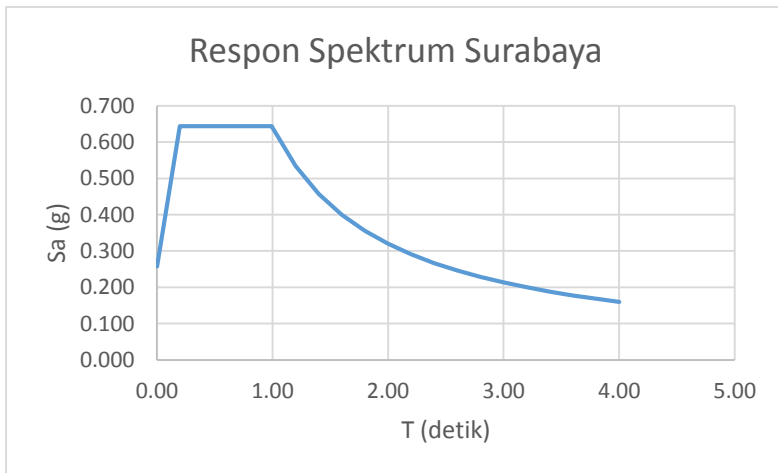
- Faktor Keutamaan Gempa
Kategori resiko untuk gedung perkantoran yaitu II dengan faktor keutamaan gempa (I_e) = 1
- Kelas Situs
Proyek Gedung Office Ciputra World Surabaya terletak pada lokasi dengan tanah yang memiliki nilai N_{ch} (tes NSPT) = 14.12 ($N_{ch}<15$), sehingga termasuk dalam kelas situs SE (Tanah Lunak).
- Parameter Respons Spektral dan Percepatan Spektral Desain

Sebagai input data untuk beban gempa dinamis pada program SAP2000, diperlukan data Percepatan Respon Spektrum (MCE). Data percepatan respon spektrum didapat dengan mengikuti langkah berikut ini:

1. Menentukan parameter S_s dan S_1 dari peta gempa SNI 1726:2018
2. Menentukan parameter F_a dan F_v menggunakan Tabel 6 dan Tabel 7 SNI 1726:2018
3. Menentukan parameter S_{MS} dan S_{M1} berdasarkan rumus pada SNI 1726:2018 pasal 6.2
4. Menentukan parameter S_{DS} dan S_{D1} berdasarkan rumus pada SNI 1726:2018 pasal 6.3
5. Membuat grafik spektrum respons desain berdasarkan SNI 1726:2018 pasal 6.4

Tabel 4. 13 Parameter Respon Spektral

| Tanah Lunak (SE) | |
|------------------|-------|
| Variabel | Nilai |
| S_s | 0.70 |
| S_1 | 0.40 |
| F_a | 1.38 |
| F_v | 2.40 |
| S_{MS} | 0.97 |
| S_{M1} | 0.96 |
| S_{DS} | 0.64 |
| S_{D1} | 0.64 |



Gambar 4. 17 Grafik Respon Spektrum Desain

Tabel 4. 14 Nilai Periode Fundamental (T) dan Respon Spektral (S_a)

| T | Sa |
|------|-------|
| 0.00 | 0.258 |
| 0.20 | 0.644 |
| 0.99 | 0.644 |
| 1.00 | 0.640 |
| 1.20 | 0.533 |
| 1.40 | 0.457 |
| 1.60 | 0.400 |
| 1.80 | 0.356 |
| 2.00 | 0.320 |
| 2.20 | 0.291 |

| | |
|------|-------|
| 2.40 | 0.267 |
| 2.60 | 0.246 |
| 2.80 | 0.229 |
| 3.00 | 0.213 |
| 3.20 | 0.200 |
| 3.40 | 0.188 |
| 3.60 | 0.178 |
| 3.80 | 0.168 |
| 4.00 | 0.160 |

Menurut SNI 1726:2018 pasal 6.5, setiap struktur harus memiliki suatu kategori desain seismik. Maka berdasarkan nilai S_{DS} , struktur termasuk kategori desain seismik D sedangkan berdasarkan nilai S_{DI} , struktur termasuk kategori desain seismik D.

- Kontrol Waktu Getar Alami

Menurut SNI 1726:2018 pasal 7.8.2, nilai dari periode fundamental struktur (T) adalah:

$$T = T_a \times C_u$$

Berdasarkan SNI 1726:2018 pasal 7.8.2.1, nilai perioda fundamental pendekatan (T_a) adalah:

$$T_a = C_t \times h^n$$

Nilai C_t dan n didapatkan dari tabel 18 SNI 1726:2018.

Pada arah X dan Y:

$$\begin{aligned} T_a &= C_t \times h^n = 0.0466 \times 79.8^{0.9} \\ &= 2.399 \text{ detik} \end{aligned}$$

Periода fundamental struktur, T , tidak boleh melebihi hasil koefisien untuk batasan atas pada perioda yang dihitung (C_u) dari tabel 17 SNI 1726:2018.

($T_a < T < C_u \cdot T_a$)

Dari nilai $S_{D1} = 0.64$, didapatkan koefisien Cu = 1.4. Maka nilai Cu.Ta dapat dihitung sebagai berikut:

$$\begin{aligned} \text{Cu.Ta} &= 1.4 \times 2.399 \\ &= 3.359 \text{ s} \end{aligned}$$

Nilai T yang didapat dari program bantu SAP2000 adalah 2.059 detik seperti pada gambar dibawah ini

Tabel 4. 15 Periode dan Frekuensi Modal

| OutputCase | StepNum | Period | Frequency |
|------------|----------|-----------------|-----------|
| Text | Unitless | Sec | Cyc/sec |
| MODAL | 1 | 2.059506 | 0.48555 |
| MODAL | 2 | 1.962289 | 0.50961 |
| MODAL | 3 | 1.660231 | 0.60233 |
| MODAL | 4 | 0.850829 | 1.1753 |
| MODAL | 5 | 0.79863 | 1.2521 |
| MODAL | 6 | 0.754197 | 1.3259 |
| MODAL | 7 | 0.64913 | 1.5405 |
| MODAL | 8 | 0.619282 | 1.6148 |
| MODAL | 9 | 0.578774 | 1.7278 |
| MODAL | 10 | 0.558067 | 1.7919 |

$$\begin{aligned} \text{Ta} &< \text{T} < \text{Cu.Ta} \\ 2.399 &> 2.059 < 3.359 \text{ (NOT OK!)} \end{aligned}$$

Dikarenakan $\text{T} < \text{Ta}$ maka diambil nilai perioda fundamental struktur $\text{T} = \text{Ta} = 2.399$ detik

- Kontrol Gaya Geser Dasar
Koefisien respons seismik, C_s , harus ditentukan sesuai dengan SNI 1726:2018 pasal 7.8.1.1. Nilai R yang dipakai yaitu R untuk Sistem Rangka Pemikul Momen Khusus yaitu 8 (SNI 1726:2018 Tabel 12)

$$C_s = \frac{S_{DS}}{\left(\frac{R}{I_e}\right)}$$

Dimana:

$$S_{DS} = 0.644$$

$$I_e = 1$$

$$R = 8$$

$$C_s = \frac{0.644}{\left(\frac{8}{1}\right)} = 0.0805$$

Dan nilai Cs tidak lebih dari:

$$C_s = \frac{SD1}{T \left(\frac{R}{I_e}\right)}$$

Dimana:

$$SD1 = 0,64$$

$$I_e = 1$$

$$R = 8$$

$$T = 2,399$$

$$C_s = \frac{0,64}{2,399 \left(\frac{8}{1}\right)} = 0.0333$$

Dan nilai Cs tidak kurang dari:

$$Cs = 0,044. S_{DS} . I_e \geq 0.01$$

$$Cs = 0,044 . 0,644 . 1 = 0,0283 \geq 0.01$$

Maka nilai Cs diambil **0.0333**

Untuk perhitungan gempa, faktor reduksi beban hidup gedung Office Ciputra World Surabaya sebesar 0,5 (SNI 1726:2018), sehingga didapatkan berat seismik efektif bangunan (W) dari SAP2000 sebagai berikut

Tabel 4. 16 Berat Bangunan Hasil Perhitungan SAP2000

| Load Case | W (kg) |
|-----------|----------|
| D+0.5L | 44334929 |

Gaya geser dasar seismik (V) didapatkan menggunakan SNI 1726:2018 pasal 7.8.1 yaitu

$$V = Cs \cdot W$$

Dimana:

$$Cs = 0,0333$$

$$W = 44334929 \text{ kg}$$

$$V = Cs \times W$$

$$= 0,0333 \times 44334929 = 1477908.295 \text{ kg}$$

Jika kombinasi respons untuk geser dasar ragam (Vt) lebih kecil 100% dari geser dasar yang dihitung (V) menggunakan prosedur gaya lateral ekivalen, maka gaya harus dikalikan dengan V/Vt (SNI 1726:2018 Pasal 7.9.1.4.1). Dari hasil analisa struktur menggunakan program bantu SAP2000 didapatkan gaya geser dasar ragam (Vt) sebagai berikut

Tabel 4. 17 Gaya Geser Dasar Hasil Perhitungan SAP2000

| Beban | Fx (kg) | Fy (kg) |
|--------------|----------|----------|
| Gempa Arah X | 638143.6 | 190025.6 |
| Gempa Arah Y | 191443.1 | 633418.7 |

$$V = 1477908.295 \text{ kg}$$

$$V_{xt} = 638143.6 \text{ kg}$$

$$V_{yt} = 633418.7 \text{ kg}$$

Maka untuk arah x,

$$V_{xt} > V$$

$638143.6 \text{ kg} > 1477908.295 \text{ kg}$ (Not OK!)

Maka untuk arah y,

$$V_{xt} > V$$

$633418.7 \text{ kg} > 1477908.295 \text{ kg}$ (Not OK!)

Oleh karena itu, untuk memenuhi persyaratan SNI 1726:2018 Pasal 7.9.1.4.1, maka gaya geser tingkat nominal akibat gempa rencana struktur gedung hasil analisis harus dikalikan dengan faktor skala V/V_t .

Arah x:

$$\frac{V}{v_{xt}} = \frac{1477908.295}{638143.6} = 2.316$$

Arah y:

$$\frac{V}{v_{yt}} = \frac{1477908.295}{633418.7} = 2.334$$

Setelah didapatkan faktor skala untuk masing-masing arah pembebanan, selanjutnya dilakukan analisa ulang struktur dengan mengalikan skala faktor yang diperoleh di atas pada *scale factor* untuk *Define Respons Spectra*. Kemudian dilakukan *running* ulang pada program analisis. Hasil dari running ulang tersebut adalah sebagai berikut:

Tabel 4. 18 Gaya Geser Dasar Hasil Perhitungan SAP2000 setelah Penskalaan Gaya

| Beban | Fx (kg) | Fy (kg) |
|--------------|----------|---------|
| Gempa Arah X | 1477941 | 440226 |
| Gempa Arah Y | 446700.5 | 1478399 |

$$V = 1477908.295 \text{ kg}$$

$$V_x = 1477941 \text{ kg}$$

$$V_y = 1478399 \text{ kg}$$

Maka untuk arah x,

$$V_x > V$$

$$1477941 \text{ kg} > 1477908.295 \text{ kg (OK!)}$$

Maka untuk arah y,

$$\begin{aligned} Vy &> V \\ 1478399 \text{ kg} &> 1477908.295 \text{ kg (OK!)} \end{aligned}$$

Selanjutnya geser dasar ragam hasil *running* ulang tersebut akan digunakan sebagai beban gempa desain.

- Sistem Struktur dalam Analisis Gempa
Berdasarkan Tabel 4 yang berisi Faktor Keutamaan gempa (Ie), gedung yang direncanakan ini tergolong kategori risiko I atau II dengan nilai Ie = 1,0. Menurut Tabel 8 dan 9 pada SNI 1726:2018, gedung ini tergolong dalam kategori desain seismik D. Sistem penahan gaya seismik yang digunakan dalam analisa struktur gedung ini adalah D.4, yaitu Sistem Ganda dengan Rangka Pemikul Momen Khusus dengan subklasifikasi Dinding Geser Beton Bertulang Khusus. Hal ini dikarenakan Sesuai dengan Tabel 12 SNI 1726:2018, nilai faktor untuk sistem penahan gaya seismik tersebut adalah sebagai berikut.
 - Koefisien modifikasi respons (R) : 7
 - Faktor kuat-lebih sistem (Ω_0) : 2.5
 - Faktor pembesaran defelksi (C_d) : 5.5
- Kontrol Partisipasi Massa
Sesuai dengan SNI 1726:2018 pasal 11.2.3.1, perhitungan respons dinamik struktur harus sedemikian rupa sehingga partisipasi massa dalam menghasilkan respon total sekurang kurangnya adalah 90%. Besar partisipasi massa struktur pada jumlah *modal case* = 80 adalah sebagai berikut

Tabel 4. 19 Rasio Partisipasi Massa

| OutputCase | ItemType | Item | Static | Dynamic |
|-------------------|-----------------|-------------|---------------|----------------|
| Text | Text | Text | Percent | Percent |
| MODAL | Acceleration | UX | 99.9492 | 91.3293 |
| MODAL | Acceleration | UY | 99.9718 | 92.2991 |
| MODAL | Acceleration | UZ | 56.1495 | 29.4018 |

Dari tabel diatas didapatkan bahwa dalam penjumlahan respon ragam menghasilkan respon total telah mencapai 90% untuk arah X dan arah Y. maka ketentuan menurut SNI 1726:2018 pasal 11.2.3.1 terpenuhi.

- **Kontrol Batas Simpangan**

Pembatasan simpangan antar lantai suatu struktur bertujuan untuk mencegah kerusakan non-struktur dan ketidaknyamanan penghuni. Perhitungan simpangan antar lantai (Δ) harus dihitung sebagai perbedaan defleksi pada pusat massa di tingkat teratas dan terbawah yang ditinjau. Apabila pusat massa tidak terletak segaris dalam arah vertikal, diijinkan untuk menghitung defleksi didasar tingkat berdasarkan proyeksi vertikal dari pusat massa tingkat diatasnya.

Δ dihitung sebagai selisih terbesar dari defleksi titik di atas dan di bawah tingkat yang letaknya segaris secara vertikal. Menurut SNI 1726:2018 pasal 7.8.6, defleksi pusat massa di tingkat x (\square_x) ditentukan sesuai dengan persamaan berikut.

$$\delta_x = \frac{C_d \delta_{xe}}{I_e} \leq \Delta_a$$

Keterangan:

δ_{xe} = defleksi pada lantai ke-x yang ditentukan dengan analisis estatis

C_d = faktor pembesaran defleksi (5.5)

I_e = faktor keutamaan gedung (1)

Dari tabel 20 SNI 1726-2018 untuk sistem struktur yang lain simpangan antar tingkat ijinnya adalah sebagai berikut.

$$\Delta_a = 0.02 \times h_{sx}$$

Di mana h_{sx} adalah tinggi tingkat di bawah tingkat x.

Untuk tinggi tingkat 4.2 m, simpangan ijinnya adalah:

$$\Delta_a = 0.02 \times 4200 \text{ m} = 84 \text{ mm}$$

Dari analisis akibat beban lateral (beban gempa) dengan program SAP2000, diperoleh nilai simpangan yang terjadi pada struktur yaitu ditampilkan pada tabel-tabel berikut.

Tabel 4. 20 Kontrol Simpangan akibat Beban Gempa Arah X

| Lantai | Arah X | | | | |
|--------|-------------|---------------------------|-----------------|-----------------|-----------|
| | $\Delta(m)$ | $\delta_2 - \delta_1 (m)$ | $\delta_x (mm)$ | $\Delta_a (mm)$ | OK/NOT OK |
| ROOF | 0.112752 | 0.005237 | 15.711 | 84 | OK |
| 18 | 0.107515 | 0.006222 | 18.666 | 84 | OK |
| 17 | 0.101293 | 0.006760 | 20.280 | 84 | OK |
| 16 | 0.094533 | 0.006963 | 20.889 | 84 | OK |
| 15 | 0.087570 | 0.007084 | 21.252 | 84 | OK |
| 14 | 0.080486 | 0.007164 | 21.492 | 84 | OK |
| 13 | 0.073322 | 0.007225 | 21.675 | 84 | OK |
| 12 | 0.066097 | 0.007246 | 21.738 | 84 | OK |
| 11 | 0.058851 | 0.007220 | 21.660 | 84 | OK |
| 10 | 0.051631 | 0.007138 | 21.414 | 84 | OK |
| 9 | 0.044493 | 0.006991 | 20.973 | 84 | OK |
| 8 | 0.037502 | 0.006769 | 20.307 | 84 | OK |
| 7 | 0.030733 | 0.006454 | 19.362 | 84 | OK |
| 6 | 0.024279 | 0.006018 | 18.054 | 84 | OK |
| 5 | 0.018261 | 0.005448 | 16.344 | 84 | OK |
| 4 | 0.012813 | 0.004744 | 14.232 | 84 | OK |
| 3 | 0.008069 | 0.003922 | 11.766 | 84 | OK |
| 2 | 0.004147 | 0.002926 | 8.778 | 84 | OK |
| 1 | 0.001221 | 0.001221 | 3.663 | 84 | OK |

Tabel 4. 21 Kontrol Simpangan akibat Beban Gempa Arah Y

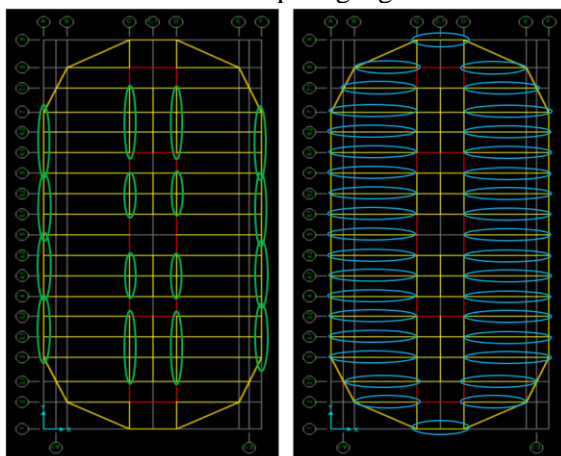
| Lantai | Arah Y | | | | |
|--------|-------------|---------------------------|-----------------|-----------------|-----------|
| | $\Delta(m)$ | $\delta_2 - \delta_1 (m)$ | $\delta_x (mm)$ | $\Delta_a (mm)$ | OK/NOT OK |
| ROOF | 0.109051 | 0.004337 | 13.011 | 84 | OK |
| 18 | 0.104714 | 0.004597 | 13.791 | 84 | OK |
| 17 | 0.100117 | 0.004904 | 14.712 | 84 | OK |
| 16 | 0.095213 | 0.005268 | 15.804 | 84 | OK |
| 15 | 0.089945 | 0.00566 | 16.98 | 84 | OK |
| 14 | 0.084285 | 0.006053 | 18.159 | 84 | OK |
| 13 | 0.078232 | 0.006425 | 19.275 | 84 | OK |
| 12 | 0.071807 | 0.006763 | 20.289 | 84 | OK |
| 11 | 0.065044 | 0.007047 | 21.141 | 84 | OK |
| 10 | 0.057997 | 0.00726 | 21.78 | 84 | OK |
| 9 | 0.050737 | 0.007386 | 22.158 | 84 | OK |
| 8 | 0.043351 | 0.007404 | 22.212 | 84 | OK |
| 7 | 0.035947 | 0.007287 | 21.861 | 84 | OK |
| 6 | 0.02866 | 0.007007 | 21.021 | 84 | OK |
| 5 | 0.021653 | 0.006522 | 19.566 | 84 | OK |
| 4 | 0.015131 | 0.005785 | 17.355 | 84 | OK |
| 3 | 0.009346 | 0.004732 | 14.196 | 84 | OK |
| 2 | 0.004614 | 0.003266 | 9.798 | 84 | OK |
| 1 | 0.001348 | 0.001348 | 4.044 | 84 | OK |

Maka, dari hasil kontrol simpangan pada Tabel diatas simpangan arah X dan Y didapatkan hasil analisis memenuhi persyaratan sesuai SNI 1726:2018.

4.4 Perencanaan Struktur Primer

4.4.1 Balok Induk Prategang

Balok direncanakan menggunakan beton *precast* dan diberikan gaya prategang *post-tensioned* dengan tendon lurus. Tujuan dari tendon ini adalah untuk memberikan kemampuan *re-centering* pada balok dan menahan beban gempa sehingga ketika struktur terkena beban gempa, tendon berfungsi sebagai pegas yang dapat mengembalikan struktur ke posisi semula. Balok-balok yang akan diberikan gaya prategang dapat dilihat pada gambar dibawah ini. Balok prategang dibagi menjadi dua jenis, yaitu balok prategang sumbu Y dan balok prategang sumbu X. Letak balok prategang sumbu Y dan X dapat dilihat pada gambar dibawah ini, dimana balok prategang sumbu X dilingkari warna biru dan balok prategang sumbu Y warna hijau



Gambar 4. 18 Letak Balok Prategang

Pada desain balok, dilakukan dua jenis permodelan. Permodelan pertama yaitu dilakukan *frame-release* pada setiap hubungan balok kolom. Beban yang bekerja adalah kombinasi

dari beban mati dan beban hidup. Tujuan dari permodelan ini adalah untuk menghitung jumlah tulangan lunak yang dibutuhkan. Sedangkan pada permodelan kedua, hubungan balok-kolom tidak di-*framerelease* tetapi beban yang bekerja hanyalah kombinasi beban gempa. Tujuan dari permodelan ini adalah untuk menghitung besar gaya prategang yang dibutuhkan pada tendon.

Momen negatif yang terjadi pada hubungan balok-kolom tidak dipikul oleh kolom melainkan oleh tendon prategang pada balok dikarenakan hubungan balok-kolom yang tidak monolit.

4.4.1.1 Desain Tendon Prategang

Sebagai contoh perhitungan, akan dilakukan perhitungan pada salah satu balok yang searah sumbu Y dengan data perencanaan sebagai berikut:

- Bentang : 9 m
- b : 45 cm
- h : 70 cm
- $f_{c'}$: 45 MPa
- f_{ci} : 45 MPa (karena beton *precast*)
- f_y : 420 MPa

4.4.1.1.1 Mencari Lebar Efektif

Lebar efektif sayap balok T tidak boleh melebihi seperempat bentang balok, dan lebar efektif sayap dari masing-masing sisi badan balok tidak boleh melebihi:

- Delapan kali tebal pelat
- Setengah jarak bersih antara balok-balok yang bersebelahan

Sedangkan untuk balok yang terletak diujung, lebar efektif tidak boleh melebihi seperduabelas bentang balok dan lebar efektif sayap dari masing-masing sisi badan balok tidak boleh melebihi:

- Enam kali tebal pelat

- Seperempat jarak bersih antara balok-balok yang bersebelahan

Karena balok eksterior merupakan balok ujung, maka perhitungan lebar efektif balok adalah sebagai berikut:

- $b_{eff} = bw + \text{clear trans. span}/2 = 0.4 + 10.55/2 = 5.725 \text{ m}$
- $b_{eff} = bw + (6 \times tf) = 0.4 + (6 \times 0.12) = 1.17 \text{ m}$
- $b_{eff} = bw + L/12 = 0.4 + 9.6/12 = 1.25 \text{ m}$

Maka lebar efektif balok adalah 1.17 m

4.4.1.1.2 Tegangan Ijin Beton

Dikarenakan balok direncanakan akan dikelompokkan menjadi kelas C, maka tegangan tarik ijin beton pada serat terjauh akibat beban layan adalah $f_t > 1.0 \sqrt{f_c'}$. Rekapitulasi tegangan ijin yang bekerja pada balok adalah sebagai berikut:

- a) Pada saat transfer prategang

- Tengah bentang
 - Tekan ijin = $0.6f_{ci}' = -27 \text{ MPa}$
 - Tarik ijin = $0.25\sqrt{f_{ci}'} = 1.68 \text{ MPa}$
- Tumpuan
 - Tekan ijin = $0.45f_{ci}' = -31.5 \text{ MPa}$
 - Tarik ijin = $0.5\sqrt{f_{ci}'} = 3.35 \text{ MPa}$

- b) Pada saat beban layan

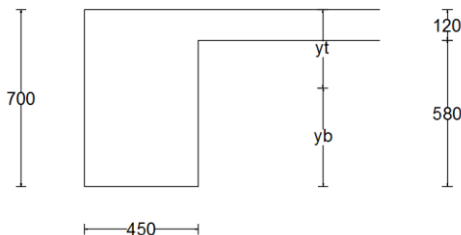
- Tengah bentang
 - Tekan ijin = $0.45f_{ci}' = -20.25 \text{ MPa}$
 - Tarik ijin = $1.0\sqrt{f_{ci}'} = 6.71 \text{ MPa}$
- Tumpuan
 - Tekan ijin = $0.45f_{ci}' = -20.25 \text{ MPa}$
 - Tarik ijin = $1.0\sqrt{f_{ci}'} = 6.71 \text{ MPa}$

4.4.1.1.3 Analisa Penampang Global

Penampang balok pratekan menjadi penampang balok T dikarenakan adanya pelat lantai. Dalam contoh perhitungan ini, balok eksterior menjadi balok T ujung. Perhitungan dapat menggunakan perumusan dibawah ini:

$$\begin{aligned} Epelat &= 4700\sqrt{f'c} = 4700\sqrt{25} = 23500 \text{ Mpa} \\ Ebalok &= 4700\sqrt{f'c} = 4700\sqrt{45} = 31528.55 \text{ Mpa} \\ n &= Ebalok/Epelat = 31528.55 / 23500 = 1.34 \end{aligned}$$

$\overbrace{\hspace{10em}}^{be=1170}$



Gambar 4. 19 Potongan Penampang Tengah Bentang Balok Eksterior

Untuk mengetahui letak titik pusat penampang, perlu dihitung nilai y_b dan y_t dengan melalui perhitungan sebagai berikut

Luas penampang balok pratekan didapat dengan perhitungan:

$$A_{pelat} = \frac{be \times tf}{n} = \frac{1.17 \times 0.12}{1.34} = 0.104 \text{ m}^2$$

$$A_{balok} = b \times (h-tf) = 0.45 \times (0.7-0.12) = 0.207 \text{ m}^2 \quad +$$

$$A_{tot} = 0.311 \text{ m}^2$$

$$Y_b \text{ komposit} = \frac{Apelat \times Y_b \text{ pelat} + Abalok \times Y_b \text{ balok}}{Apelat + Abalok}$$

$$= 0.41 \text{ m}$$

$$Y_t \text{ komposit} = (h_{tot} - y_{b \text{ komposit}}) = 0.29 \text{ m}$$

$$I_{balok} = \frac{1}{12} \times b \times \text{balok} \times (h \text{ balok})^3 + A \text{ balok} \times d^2$$

$$= 0.01017 \text{ m}^4$$

$$I_{pelat} = \frac{1}{12} \times b \times \text{pelat} \times (h \text{ pelat})^3 + A \text{ pelat} \times d^2$$

$$= 0.00582 \text{ m}^4$$

$$I_{komp} = I_{balok} + I_{pelat} = 0.016 \text{ m}^4$$

$$W_{t \text{ komp}} = \frac{I_{komposit}}{Y_t \text{ komposit}} = 0.0547 \text{ m}^3$$

$$Wb_{komp} = \frac{I \text{ komposit}}{Yb \text{ komposit}} = 0.0392 \text{ m}^3$$

4.4.1.1.4 Mencari Gaya Prategang Awal (Fo)

Eksentrisitas rencana:

- Eksentrisitas pada tengah bentang (e) = 0.1 m
- Eksentrisitas pada tumpuan (e) = 0.1 m

Besar gaya prategang yang dibutuhkan diambil berdasarkan beberapa persamaan, yaitu persamaan pada serat atas dan bawah tengah bentang saat transfer dan saat beban layan. Besar gaya prategang dihitung berdasarkan gaya gempa yang terjadi menggunakan output dari SAP2000. Gaya prategang ini memiliki peran yang penting dalam sistem *self-centering*, dimana gaya prategang berfungsi mengembalikan balok ke posisi semula setelah mengalami simpangan

Output dari SAP2000 dengan kombinasi 1D untuk pembebanan saat transfer prategang adalah sebagai berikut

| | |
|----------------|-----------------|
| Momen tumpuan | = 0 Nmm |
| Momen lapangan | = 580932500 Nmm |

Output dari SAP2000 dengan kombinasi *envelope* beban gempa untuk pembebanan saat beban layan adalah sebagai berikut

| | |
|----------------|-----------------|
| Momen tumpuan | = 0 Nmm |
| Momen lapangan | = 828406900 Nmm |

Kondisi saat transfer gaya prategang (Tengah Bentang)

- Serat atas:

$$\sigma_t \geq -\frac{Fo}{A} + \frac{Fo \times e}{Wt} - \frac{Mlapangan}{Wt}$$

$$Fo = -8905.32 \text{ kN}$$

- Serat bawah:

$$\sigma_b \leq -\frac{Fo}{A} - \frac{Fo \times e}{Wb} + \frac{Mlapangan}{Wb}$$

$$F_o = 7261.66 \text{ kN}$$

Kondisi saat transfer gaya prategang (Tumpuan)

- Serat atas:

$$\sigma_t \leq -\frac{F_o}{A} + \frac{F_o \times e}{Wt} - \frac{M_{lapangan}}{Wt}$$

$$F_o = 16425.57 \text{ kN}$$

- Serat bawah:

$$\sigma_b \geq -\frac{F_o}{A} - \frac{F_o \times e}{Wb} + \frac{M_{lapangan}}{Wb}$$

$$F_o = 1552.4 \text{ kN}$$

Kondisi saat beban layan (Tengah Bentang)

- Serat atas:

$$\sigma_t \geq -\frac{Fe}{A} + \frac{Fe \times e}{Wt} - \frac{M_{lapangan}}{Wt}$$

$$Fe = 14151.07 \text{ kN} \text{ (asumsi kehilangan prategang 20\%)}$$

$$F_o = 16981.30 \text{ kN}$$

- Serat bawah:

$$\sigma_b \leq -\frac{Fe}{A} - \frac{Fe \times e}{Wb} + \frac{M_{lapangan}}{Wb}$$

$$Fe = 14151.07 \text{ kN} \text{ (asumsi kehilangan prategang 20\%)}$$

$$F_o = 16981.30 \text{ kN}$$

Kondisi saat beban layan (Tumpuan)

- Serat atas:

$$\sigma_t \leq -\frac{Fe}{A} + \frac{Fe \times e}{Wt} - \frac{M_{lapangan}}{Wt}$$

$$Fe = -11245.85 \text{ kN} \text{ (asumsi kehilangan prategang 20\%)}$$

$$F_o = -13495.03 \text{ kN}$$

- Serat bawah:

$$\sigma_b \geq -\frac{Fe}{A} - \frac{Fe \times e}{Wb} + \frac{M_{lapangan}}{Wb}$$

$$Fe = 5653.33 \text{ kN} \text{ (asumsi kehilangan prategang 20\%)}$$

$$F_o = 6783.99 \text{ kN}$$

Sehingga ditentukan nilai F_o dan Fe sebagai berikut

$$F_o = 3500 \text{ kN}$$

$$Fe = 2800 \text{ kN} \text{ (Asumsi kehilangan prategang 20\%)}$$

4.4.1.1.5 Kontrol Gaya Prategang

Kontrol gaya prategang dilakukan dengan memasukkan satu persatu F_o dan F_e pada semua kondisi sehingga tegangan yang terjadi tidak melebihi tegangan ijinnya baik tarik maupun tekan.

Kondisi saat transfer gaya prategang (Tengah Bentang)

- Serat atas:

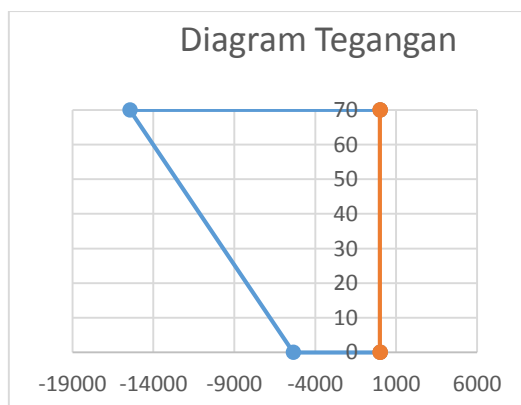
$$\sigma_t \geq -\frac{F_o}{A} + \frac{F_o \times e}{Wt} - \frac{M_{lapangan}}{Wt}$$

$$\sigma_t = -15451.99 \text{ kN/m}^2 < \text{tegangan tekan ijin} = -27000 \text{ kN/m}^2$$

- Serat bawah:

$$\sigma_b \leq -\frac{F_o}{A} - \frac{F_o \times e}{Wb} + \frac{M_{lapangan}}{Wb}$$

$$\sigma_b = -5348.66 \text{ kN/m}^2 < \text{tegangan tarik ijin} = 1677.05 \text{ kN/m}^2$$



Gambar 4. 20 Diagram Tegangan (F_o) Saat Transfer
Tegangan pada Tengah Bentang

Kondisi saat transfer gaya prategang (Tumpuan)

- Serat atas:

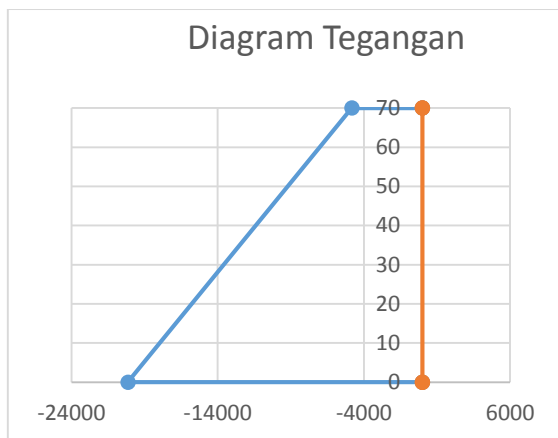
$$\sigma_t \leq -\frac{F_o}{A} + \frac{F_o \times e}{Wt} - \frac{M_{lapangan}}{Wt}$$

$$\sigma_t = -4832.73 \text{ kN/m}^2 < \text{tegangan tarik ijin} = 3354.10 \text{ kN/m}^2$$

- Serat bawah:

$$\sigma_b \geq -\frac{F_o}{A} - \frac{F_o \times e}{W_b} + \frac{M_{lapangan}}{W_b}$$

$$\sigma_b = -20145.28 \text{ kN/m}^2 < \text{tegangan tekan ijin} = -31500 \text{ kN/m}^2$$



Gambar 4. 21 Diagram Tegangan Saat (F_o) Transfer
Tegangan pada Tumpuan

Kondisi saat beban layan (Tengah Bentang)

- Serat atas:

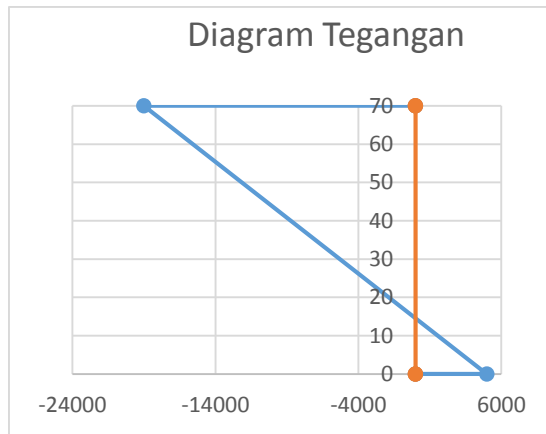
$$\sigma_t \geq -\frac{F_e}{A} + \frac{F_e \times e}{W_t} - \frac{M_{lapangan}}{W_t}$$

$$\sigma_t = -19009.19 \text{ kN/m}^2 > \text{tegangan tekan ijin} = -20250 \text{ kN/m}^2$$

- Serat bawah:

$$\sigma_b \leq -\frac{F_e}{A} - \frac{F_e \times e}{W_b} + \frac{M_{lapangan}}{W_b}$$

$$\sigma_b = 4983.68 \text{ kN/m}^2 < \text{tegangan tarik ijin} = 6708.2 \text{ kN/m}^2$$



Gambar 4. 22 Diagram Tegangan (Fo) Saat Beban Layan pada Tengah Bentang

Kondisi saat beban layan (Tumpuan)

- Serat atas:

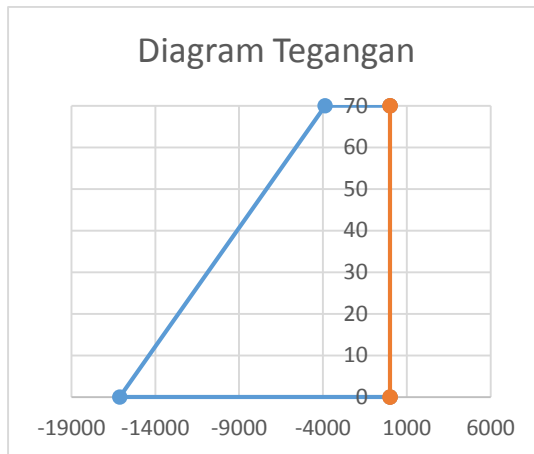
$$\sigma_t \leq -\frac{Fe}{A} + \frac{Fe \times e}{Wt} - \frac{M_{lapangan}}{Wt}$$

$$\sigma_t = -3866.18 \text{ kN/m}^2 < \text{tegangan tarik ijin} = 6708.20 \text{ kN/m}^2$$

- Serat bawah:

$$\sigma_b \geq -\frac{Fe}{A} - \frac{Fe \times e}{Wb} + \frac{M_{lapangan}}{Wb}$$

$$\sigma_b = -16116.22 \text{ kN} > \text{tegangan tekan ijin} = -20250 \text{ kN/m}^2$$



Gambar 4. 23 Diagram Tegangan (F_o) Saat Beban Layan pada Tumpuan

4.4.1.1.6 Pemilihan Tendon

Dipilih tipe baja prategang dengan nilai $f_{pu} = 1860$ MPa (*normal-relaxation*). Berdasarkan ASTM-416, besar tegangan leleh (f_{py}) dan regangan leleh (ϵ_{py}) adalah sebagai berikut

$$f_{py} = 0.85f_{pu} = 0.85 \times 1860 = 1581 \text{ MPa}$$

$$\epsilon_{py} = 0.01$$

Luas tendon yang diperlukan adalah:

$$A_{\text{perlu}} = \frac{F_o}{f_{py}} = \frac{3500000}{1581} = 2213.78 \text{ mm}^2$$

Tendon baja yang digunakan ialah spesifikasi dari *7-wire strand post-tensioning*, dengan spesifikasi sebagai berikut:

Nominal diameter : 12.70 mm

Nominal Steel Area : 98.71 mm²

Minimum Breaking Load : 183.7 kN

Min. load at 1% extension (F_y) : 156.1 kN

Modulus Elastisitas : 186000 MPa (ASTM 416)

Jumlah tendon : 1

Jumlah strand yang akan dipakai:

$$n \text{ strand} = \frac{F_o}{F_y} = \frac{3500000}{156100} = 22.42 \approx 23 \text{ buah}$$

Maka luas tendon yang digunakan adalah

$$\begin{aligned} A_{\text{pakai}} &= \text{nominal steel area} \times n = 98.71 \times 23 \\ &= 2270.1 \text{ mm}^2 > A_{\text{perlu}} (\text{OK}) \end{aligned}$$

Nilai tegangan pakai:

$$f_{\text{pakai}} = \frac{F_o}{A_{\text{pakai}}} = \frac{3500000}{2270.1} = 1541.78 \text{ Mpa}$$

4.4.1.1.7 Kehilangan Prategang

Kehilangan prategang adalah berkurangnya gaya prategang dalam tendon dibandingkan gaya prategang pada saat *jacking*. Kehilangan prategang dapat dikelompokkan ke dalam dua kategori, yaitu:

1. Kehilangan Langsung

- a. Akibat Perpendekan Elastis

Dikarenakan jumlah tendon yang digunakan hanya berjumlah 1 buah, proses *jacking* hanya dilakukan sekali dan tidak bertahap sehingga kehilangan gaya pratekan akibat perpendekan elastis tidak mempengaruhi.

- b. Akibat Gesek

Perhitungan kehilangan pratekan diakibatkan oleh gesekan antara material beton dan tendon saat proses pemberian gaya prategang. Kehilangan pratekan akibat gesekan (*wobble effect*) dihitung dengan perumusan sebagai berikut:

$$P_f = F \times e^{-\mu\alpha-KL}$$

Dengan ketentuan sebagai berikut:

$$\mu = 0.25 \text{ (7-wire strand tendon)}$$

$$K = 0.0066 \text{ (7-wire strand tendon)}$$

$$\begin{aligned}\alpha &= \text{sudut kelengkungan tendon } \left(\frac{8f}{L}\right) = 0 \\ L &= 9 \text{ m} \\ e &= 2.7183 \text{ (bilangan natural)}\end{aligned}$$

Maka Pf:

$$\begin{aligned}Pf &= 3500 \times (2.7183^{-(0.25 \times 0 - 0.0066 \times 9)}) \\ &= 3707.9 \text{ kN} \\ \Delta F_{pf} &= 3500 - F_{pf} \\ &= 3500 - 3707.9 = 91.58 \text{ kN}\end{aligned}$$

c. Akibat Slip Angkur

Kehilangan akibat pengangkuran/slip angkur terjadi saat tendon baja dilepas setelah mengalami penarikan dan gaya pratekan dialihkan ke angkur.

Rumus perhitungan kehilangan pratekan akibat pengangkuran adalah sebagai berikut:

$$x = \sqrt{\frac{E_s \times g}{f_{perekai} \times (\mu \frac{\alpha}{L} + K)}}$$

Cek apakah kehilangan pratekan akibat pengangkuran berpengaruh sampai ke tengah bentang:

$$\begin{aligned}E_s &= 186000 \text{ Mpa} \\ g &= 2.5 \text{ mm} \\ f_{perekai} &= 1473.70 \text{ Mpa} \\ \mu &= 0.25 \text{ (wire strand tendon)} \\ K &= 0,0066 \text{ (7-wire strand tendon)} \\ f &= 0 \\ \alpha &= \text{sudut kelengkungan tendon } \left(\frac{8f}{L}\right) = 0 \\ L &= 9 \text{ m}\end{aligned}$$

Maka x:

$$x = \sqrt{\frac{186000 \times 2,5}{1473.70 \times (0.25 \frac{0}{9600} + 0,0066)}} = 213.77 \text{ mm}$$

Karena nilai $x < L/2 = 3600$ mm, maka kehilangan akibat pengangkuran tidak mempengaruhi

d. Akibat Kekangan Kolom

Konstruksi beton pratekan dengan desain cor monolit perlu diperhitungkan kehilangan pratekan akibat kekangan kolom. Hal ini terjadi karena saat dilakukan jacking beton terkekang oleh kekauan kolom. Gaya perlawanan yang diberikan oleh kolom menahan reaksi perpendekan beton akibat gaya jacking yang terjadi. Gaya perlawanan kolom ini menyebabkan berkurangnya gaya pratekan karena sebagian gaya pratekan yang diberikan digunakan mengatasi perlawanan gaya kolom.

Dikarenakan balok dan kolom tidak dicor monolit, maka kehilangan akibat kekangan kolom tidak ada.

2. Kehilangan Tidak Langsung

a. Akibat Rangkak (*Creep*)

Rumus perhitungan kehilangan gaya prategang akibat rangkak pada *unbonded* tendon adalah sebagai berikut:

$$CR = Kcr.(Es/Ec).fcpa$$

Dimana:

$$Kcr = 2 \text{ untuk metode pra-tarik}$$

$$= 1,6 \text{ untuk metode pasca-tarik}$$

$$fcpa = \text{tegangan beton rata-rata disepanjang tendon di daerah cgs}$$

$$fcpa = 13.418 \text{ MPa}$$

$$Es/Ec = \frac{186000}{31528.55} = 5.89 \text{ Mpa}$$

$$CR = Kcr.(Es/Ec).[fcir-fcds]$$

$$= 1.6 \times 5.89 \times 13.418$$

$$= 126.65 \text{ Mpa}$$

b. Akibat Susut (*Shrinkage*)

Rumus perhitungan kehilangan gaya prategang akibat susut adalah sebagai berikut:

$$SH = 8,2 \times 10^{-6} \cdot Ksh \cdot Es \cdot (1 - 0,0236V/S) \times (100 - RH)$$

*koef 0.0236, karena perbandingan v/s dalam cm

$$RH = 70\% \text{ (untuk kota Surabaya)}$$

$$Ksh = 0,77 \text{ (7 hari)}$$

$$\frac{V}{S} = \frac{\text{luas penampang beton}}{\text{keliling penampang beton}}$$

$$= \frac{0,3116 \times 10000}{350}$$

$$= 8,9 \text{ cm}$$

$$SH$$

$$= 8,2 \times 10^{-6} \times 0,77 \times 186000 \times (1 - 0,0236 \times 8,9) \times (100 - 70)$$

$$= 0,28 \text{ Mpa}$$

c. Akibat Relaksasi Baja

Rumus perhitungan kehilangan pratekan akibat relaksasi baja.

$$RE = [Kre - J(SH + CR + ES)]C$$

Perumusan yang digunakan ini ialah perumusan yang digunakan oleh komisi PCI untuk menyelesaikan serangkaian permasalahan akibat relaksasi baja

$$Kre = 20000 \text{ psi} = 138 \text{ Mpa}$$

$$J = 0,15$$

$$\frac{fpi}{fpu} = \frac{1541,78}{1860} = 0,83$$

$$C = 0,73$$

$$RE = (138 - 0,15 \times (0,28 + 29,43 + 0)) \times 0,73$$

$$= 86,841 \text{ Mpa}$$

Tabel 4. 22 Rekapitulasi Kehilangan Gaya Prategang

| Kehilangan Gaya Prategang | f (MPa) | % |
|---------------------------|-------------------------------------|--------------|
| Kehilangan Langsung | a. Elastic shortening | 0 0.00 |
| | b. Frictional Losses | 91.58 5.94 |
| | c. Anchorage Losses | 0.00 0.00 |
| | d. Kehilangan akibat kekangan kolom | 0 0.00 |
| Kehilangan Tidak Langsung | a. Creep | 126.65 8.21 |
| | b. Susut | 0.28 0.02 |
| | c. Relaksasi Baja | 86.841 5.63 |
| TOTAL | | 305.36 19.81 |

4.4.1.1.8 Kontrol Tegangan setelah Kehilangan Gaya Prategang

Besar gaya prategang setelah terjadi kehilangan prategang ialah sebagai berikut:

$$Fe = \frac{100 - 19.81}{100} \times 3500 = 2806.81 \text{ kN}$$

Kontrol Fe saat beban layan (Tengah Bentang)

- Serat atas:

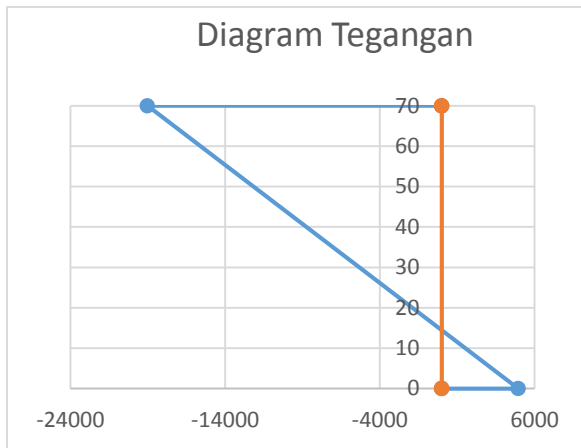
$$\sigma_t \geq -\frac{Fe}{A} + \frac{Fe \times e}{Wt} - \frac{Mlapangan}{Wt}$$

$$\sigma_t = -19018.6 \text{ kN/m}^2 > \text{tegangan tekan ijin} = -20250 \text{ kN/m}^2$$

- Serat bawah:

$$\sigma_b \leq -\frac{Fe}{A} - \frac{Fe \times e}{Wb} + \frac{Mlapangan}{Wb}$$

$$\sigma_b = 4944.47 \text{ kN/m}^2 < \text{tegangan tarik ijin} = 6708.2 \text{ kN/m}^2$$



Gambar 4. 24 Diagram Tegangan (Fe) Saat Beban Layan pada Tengah Bentang

Kontrol Fe saat beban layan (Tumpuan)

- Serat atas:

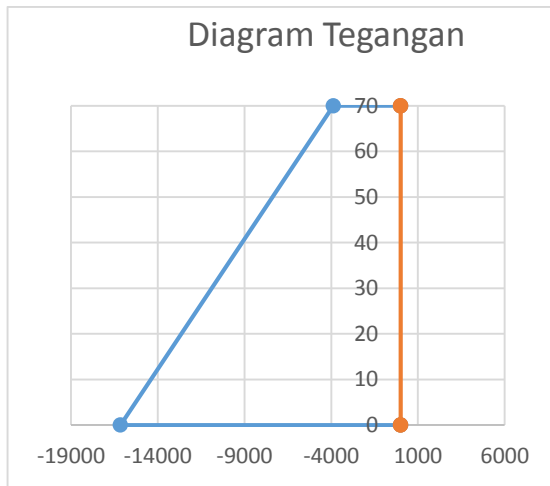
$$\sigma_t \leq -\frac{Fe}{A} + \frac{Fe \times e}{Wt} - \frac{M_{lapangan}}{Wt}$$

$$\sigma_t = -3875.59 \text{ kN/m}^2 < \text{tegangan tarik ijin} = 6708.20 \text{ kN/m}^2$$

- Serat bawah:

$$\sigma_b \geq -\frac{Fe}{A} - \frac{Fe \times e}{Wb} + \frac{M_{lapangan}}{Wb}$$

$$\sigma_b = -16155.43 \text{ kN} > \text{tegangan tekan ijin} = -20250 \text{ kN/m}^2$$



Gambar 4. 25 Diagram Tegangan (Fe) Saat Beban Layan pada Tumpuan

4.4.1.1.9 Kontrol Lendutan

Kemampuan layan struktur beton prategang ditinjau dari perilaku defleksi komponen tersebut. Batas layan yang harus dipenuhi terdapat pada RSNI 2847:2018 tabel 24.2.2

$$f_{ijin} = \frac{L}{480} = \frac{9000}{480} = 18.75 \text{ mm}$$

a. Lendutan saat jacking

1. Lendutan akibat tekanan tendon

Tekanan tendon menyebabkan balok tertekuk keatas sehingga lendutan yang terjadi berupa lendutan keatas (*camber*).

$$\begin{aligned} p' &= 8 \times F_o \times f / L^2 \\ &= 8 \times 3500000 \times 0 / (9000)^2 \\ &= 0 \text{ N/mm} \end{aligned}$$

$$\begin{aligned} \Delta p' &= 5/384 \times (p' \times l^4 / (E_c \times I)) \\ &= 5/384 \times (0 \times (9600)^4 / (31528.55 \times \\ &\quad 0.016 \times 10^{12})) \end{aligned}$$

$$\begin{aligned}
 M &= 0 \text{ mm} \\
 M &= F_o \times e_o \\
 &= 3500000 \times 100 \\
 &= 350000000 \text{ Nmm} \\
 \Delta M &= M \times L^2 / (8 \times E_c \times I) \\
 &= 1.6 \times 10^8 \times 9000^2 / (8 \times 31528.55 \times 0.016 \times \\
 &10^{12}) \\
 &= 7.025 \text{ mm } (\uparrow)
 \end{aligned}$$

Total lendutan akibat tendon sebesar:
 $0 \text{ mm} + 7.025 \text{ mm} = 7.025 \text{ mm } (\uparrow)$

2. Lendutan akibat beban sendiri

$$\begin{aligned}
 \Delta g &= 5/384 \times (g \times L^4 / (E_c \times I)) \\
 &= \frac{5}{384} \times \frac{(2400 \times 10.4 \times 0.7 \times 10^{-6}) \times 9000^4}{31528.55 \times 0.016 \times 10^{12}} \\
 &= -1.28 \text{ mm } (\downarrow)
 \end{aligned}$$

$$\Delta \text{ total} = 7.025 - 1.28 = 5.74 \text{ mm } (\uparrow) < 18.75 \text{ mm (OK)}$$

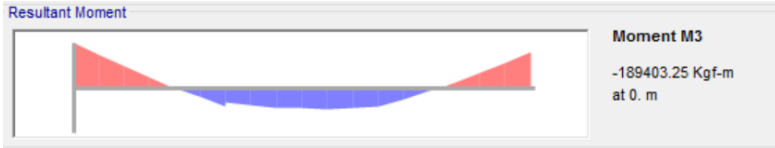
b. Lendutan setelah Fo menjadi Fe

$$\begin{aligned}
 \Delta &= \frac{F_e}{F_o} \times \Delta p' + \frac{F_e}{F_o} \times \Delta M - \Delta g \\
 &= \frac{2806.81}{3500} \times 0 + \frac{2806.81}{3500} \times 7.025 - 1.28 \\
 &= 4.61 \text{ mm } (\uparrow) < 20 \text{ mm (OK)}
 \end{aligned}$$

$$\begin{aligned}
 \Delta \text{ pengaruh rangkak} &= 4.6 \text{ mm} \times 1.8 \\
 &= 8.28 \text{ mm } (\uparrow) < 20 \text{ mm (OK)}
 \end{aligned}$$

4.4.1.2 Penulangan Lentur

Momen yang didapat dari gaya luar (kombinasi beban mati dan beban hidup) adalah sebagai berikut:



Gambar 4. 26 Diagram Momen Hasil Perhitungan SAP2000

$$\text{Mu (+)} = 95824.92 \text{ kgm}$$

$$\text{Mu (-)} = -189403.25 \text{ kgm}$$

Direncanakan tulangan lentur positif (lapangan bawah) sebagai berikut:

- Diameter tulangan : 25 mm
- Diameter sengkang : 13 mm
- Cover : 40 mm
- d : $700-40-13-25/2=634.5 \text{ mm}$

$$\rho_{\min} = \frac{0.25x\sqrt{f'c}}{fy} = \frac{0.25x\sqrt{45}}{420} = 0.0039$$

$$R_n = \frac{Mu}{\varphi bd^2} = \frac{95824.92 \times 10^4}{0.9 \times 400 \times 637.5^2} = 5.87 \text{ MPa}$$

$$m = \frac{fy}{0.85f_{c'}} = \frac{420}{0.85 \times 45} = 10.98$$

$$\rho = \frac{1}{m} \left(1 - \sqrt{1 - \frac{2mRn}{fy}}\right) = \frac{1}{10.98} \left(1 - \sqrt{1 - \frac{2 \times 10.98 \times 5.82}{420}}\right)$$

$$\rho = 0.0152$$

$$\rho \text{ pakai} = 0.0152$$

$$\text{As perlu} = \rho bd = 0.0151 \times 400 \times 637.5 = 4361.05 \text{ mm}^2$$

Maka digunakan tulangan lentur positif 9D25 (As=4417.86 mm² > As perlu)

Direncanakan tulangan lentur negatif (tumpuan atas) sebagai berikut:

- Diameter tulangan : 36 mm
- Diameter sengkang : 13 mm
- Cover : 40 mm
- d : $700 - 40 - 13 - 36 / 2 = 629$ mm

$$\rho_{\min} = \frac{0.25x\sqrt{f'c}}{fy} = \frac{0.25x\sqrt{45}}{420} = 0.0039$$

$$R_n = \frac{Mu}{\varphi bd^2} = \frac{189403.25 \times 10^4}{0.9 \times 400 \times 629^2} = 11.82 \text{ MPa}$$

$$m = \frac{fy}{0.85fc'} = \frac{420}{0.85 \times 45} = 10.98$$

$$\rho = \frac{1}{m} \left(1 - \sqrt{1 - \frac{2mR_n}{fy}}\right) = \frac{1}{10.98} \left(1 - \sqrt{1 - \frac{2 \times 10.98 \times 11.82}{420}}\right)$$

$$\rho = 0.0347$$

$$\rho_{\text{pakai}} = 0.0347$$

$$\text{As perlu} = \rho bd = 0.0347 \times 400 \times 637.5 = 9846.74 \text{ mm}^2$$

Maka digunakan tulangan lentur negatif 10D36 (As=10178.76 mm² > As perlu)

Untuk desain tulangan lapangan atas, digunakan setengah dari tulangan lentur positif

$$\text{As perlu} = 0.5 \times 4417.86 = 2208.93 \text{ mm}^2$$

Maka digunakan tulangan lentur tumpuan 3D36 (As= 2454.36 mm² > As perlu)

Untuk desain tulangan negatif, dikarenakan tidak adanya momen negatif yang bekerja pada balok, maka dipasang 2D25 (As = 1017.88 mm² > As perlu)

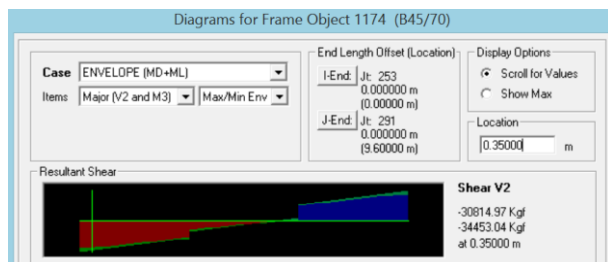
4.4.1.3 Penulangan Geser

Berdasarkan RSNI 2847:2018 pasal 9.4.3.2, penampang diantara muka tumpuan dan suatu penampang kritis sejarak d

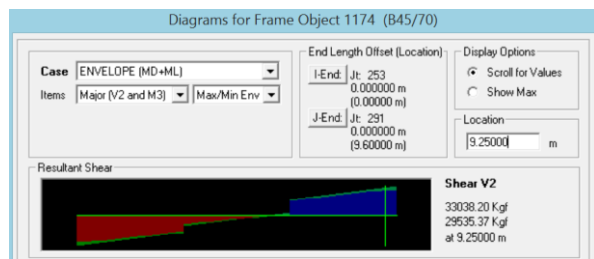
dari muka tumpuan untuk balok non-prategang dan $h/2$ untuk dari muka tumpuan untuk balok prategang, diijinkan untuk direncanakan untuk V_u apabila syarat-syarat dibawah ini terpenuhi:

- a. Reaksi perletakan, kearah bekerjanya geser, menyebabkan tekan di daerah ujung balok
- b. Beban-beban dikerjakan pada atau dekat sisi atas balok
- c. Tidak ada beban terpusat yang bekerja diantara muka perletakan dan penampang kritis

Gaya geser yang didapat dari gaya luar (kombinasi beban mati dan beban hidup) adalah sebagai berikut:



Gambar 4. 27 Diagram Gaya Geser 0.35 m Dari Perletakan



Gambar 4. 28 Diagram Gaya Geser 9.25 m Dari Perletakan

$$V_u (-) = 34453.04 \text{ kg}$$

$$V_u (+) = 33038.20 \text{ kg}$$

Sehingga diambil V_u pada penampang kritis 34453.04 kg

- Menghitung V_c

Nilai V_c dihitung menggunakan rumus berikut:

$$V_c = 0.17 \lambda \sqrt{f'_c bwd} = 0.17 \times 1 \times \sqrt{45} \times 450 \times 637.5$$

$$V_c = 327150.72 \text{ N}$$

- Cek Persyaratan

- Syarat 1

Balok tidak butuh tulangan geser apabila $0.5\phi V_c > V_u$

$$V_u = 344530.4 \text{ N}$$

$$0.5\phi V_c = 0.5 \times 0.75 \times 327150.72 = 122681.52 \text{ N} < V_u$$

Tidak memenuhi Syarat 1

- Syarat 2

Balok butuh tulangan geser minimum apabila

$$0.5\phi V_c < V_u < \phi V_c$$

$$122681.52 < 344530.4 > 245363.04$$

Tidak memenuhi Syarat 2

- Syarat 3

Balok butuh tulangan geser minimum apabila

$$\phi V_c < V_u < \phi(V_c + V_{s,min}), \text{ dimana } V_{s,min} = \frac{1}{16} \sqrt{f'_c bwd}$$

$$245363.04 < 344530.4 > 335570.04$$

Tidak memenuhi Syarat 3

- Syarat 4

Balok butuh *stirrup* apabila

$$\phi(V_c + V_{s,min}) < V_u < \phi(V_c + V_{s'}), \text{ dimana } V_{s'} = 0.5\phi V_c$$

$$= \frac{1}{3} \sqrt{f'_c bwd}$$

$$\phi(V_c + V_{s,min}) < V_u < \phi(V_c + V_{s'})$$

$$335570.04 < 344530.4 < 726467.0412$$

Memenuhi Syarat 4

Desain *stirrup* dengan data perencanaan sebagai berikut:

- $d_{stirrup} = 13 \text{ mm}$

- $A_v = 265.46 \text{ mm}^2 (\text{dua kaki})$

- $f_y = 420 \text{ MPa}$

Spasi minimum *stirrup* pada daerah $<2h$ adalah yang terkecil dari:

- $d/4 = 637.5/4 = 159.375 \text{ mm}$
- $6\text{db} = 6 \times 25 = 150 \text{ mm}$
- 150 mm

Dipakai spasi minimum 150 mm

Spasi maksimum *stirrup* dihitung berdasarkan tabel dibawah ini

Tabel 4. 23 Spasi Maksimum Tulangan Geser

| V_s | Maksimum s , mm | |
|------------------------------|---------------------|-----------------|
| | Balok non-prategang | Balok prategang |
| $\leq 0,33\sqrt{f'_c b_w d}$ | Yang terkecil dari: | $d/2$ |
| | | $3h/4$ |
| $> 0,33\sqrt{f'_c b_w d}$ | Yang terkecil dari: | 600 |
| | | $d/4$ |
| | | $3h/8$ |
| | | 300 |

(Sumber: RSNI 2847:2018)

Direncanakan *stirrup* D13-150 pada daerah $<2h$ dan D13-200 pada daerah $>2h$

$$Vs_{<2h} = \frac{Av \times f_y \times d}{s} = \frac{265.46 \times 420 \times 637.5}{150} = 462333.11 \text{ N}$$

$$Vs_{>2h} = \frac{Av \times f_y \times d}{s} = \frac{157.08 \times 420 \times 637.5}{300} = 140193.57 \text{ N}$$

$$\text{Cek } 0.33\sqrt{f'_c bwd} = 0.33\sqrt{45} \times 450 \times 637.5 = 641472 \text{ N}$$

$$Vs_{<2h} < 0.33\sqrt{f'_c bwd}, Vs_{>2h} < 0.33\sqrt{f'_c bwd}$$

$$\text{Maka } s \text{ max} = 3h/4 = 3 \times 700 / 4 = 525 \text{ mm}$$

$$\text{Kontrol } \phi V_n = \phi(V_s + V_c) > V_u$$

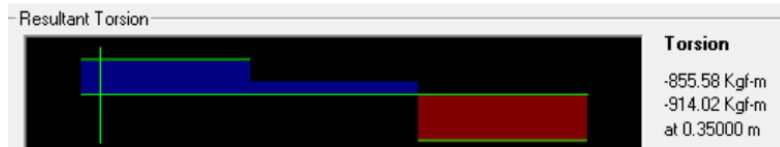
$$\text{Daerah } <2h, \phi V_n = 0.75(607537.8649) > 344530.4 \text{ N} \\ = 455653.4 \text{ N} > 344530.4 \text{ N (OK)}$$

$$\text{Daerah } >2h, \phi V_n = 0.75(467344.2927) > 344530.4 \text{ N} \\ = 350508.22 \text{ N} > 344530.4 \text{ N (OK)}$$

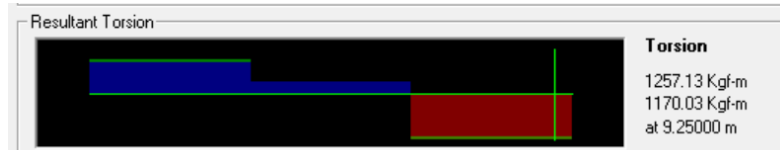
4.4.1.4 Penulangan Torsi

Berdasarkan RSNI 2847:2018 pasal 9.4.4.3, penampang diantara muka kolom dan penampang kritis sejarak d dari muka tumpuan untuk balok-balok non-prategang atau $h/2$ dari muka tumpuan untuk balok-balok prategang diijinkan untuk direncanakan untuk Tu pada penampang kritis kecuali suatu momen torsi terpusat terjadi diantara jarak ini.

Gaya torsi yang didapat dari gaya luar (kombinasi beban mati dan beban hidup) adalah sebagai berikut:



Gambar 4. 29 Diagram Torsi 0.35 m dari Perletakan



Gambar 4. 30 Diagram Torsi 9.25 m dari Perletakan

$$Tu (-) = 914.02 \text{ kgm} = 9140200 \text{ Nmm}$$

$$Tu (+) = 1257.13 \text{ kgm} = 12571300 \text{ Nmm}$$

Maka diambil Tu pada penampang kritis yaitu 12571300 Nmm

Menurut RSNI 2847:2018 pasal 22.7.1.1, pengaruh torsi dapat diabaikan apabila $Tu < \varphi T_{th}$, dimana T_{th} adalah ambang batas torsi.

Berdasarkan RSNI 2847:2018 pasal 22.7.4.1, nilai T_{th} untuk penampang *solid* dapat dihitung dengan tabel berikut:

Tabel 4. 24 Ambang Batas Torsi untuk Penampang Solid

| Jenis komponen | T_{th} | |
|--|---|-----|
| Komponen non prategang | $0.083\lambda\sqrt{f'_c} \left(\frac{A_{cp}^2}{p_{cp}} \right)$ | (a) |
| Komponen prategang | $0.083\lambda\sqrt{f'_c} \left(\frac{A_{cp}^2}{p_{cp}} \right) \sqrt{1 + \frac{f_{pc}}{0.33\lambda\sqrt{f'_c}}}$ | (b) |
| Komponen non prategang menerima beban aksial | $0.083\lambda\sqrt{f'_c} \left(\frac{A_{cp}^2}{p_{cp}} \right) \sqrt{1 + \frac{N_u}{0.33A_g\lambda\sqrt{f'_c}}}$ | (c) |

(Sumber: RSNI 2847:2018)

$$f_{cp} = 3.5 \text{ (RSNI 2847:2018 pasal 22.6.5.5)}$$

$$A_{cp} = b \times h = 450 \times 700 = 315000 \text{ mm}^2$$

$$P_{cp} = 2 \times (b+h) = 2 \times (450+700) = 2300 \text{ mm}$$

Sehingga nilai T_{th} adalah

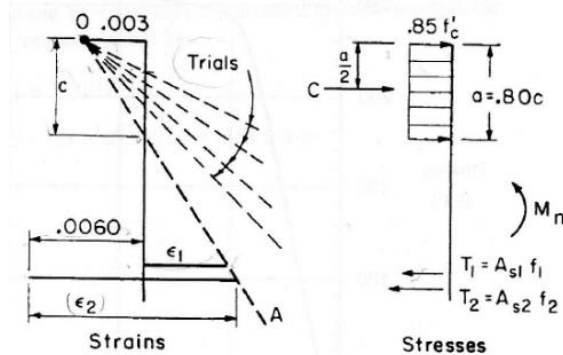
$$T_{th} = 0.083 \times 1 \times \sqrt{45} \times \left(\frac{315000^2}{230} \right) \times \sqrt{1 + \frac{3.5}{0.33 \times 1 \times \sqrt{45}}}$$

$$T_{th} = 38590154.45 \text{ Nmm}$$

$$\varphi T_{th} = 0.75 \times 38590154.45 = 28942615.83 \text{ Nmm} > Tu \\ \text{Balok tidak butuh tulangan torsi}$$

4.4.1.5 Kontrol Momen Nominal

Nilai momen nominal dapat dihitung dengan menggunakan cara dari ACI Notes, dimana nilai a balok didapat dari iterasi, dimana nilai c dimisalkan terlebih dahulu dan nilai C sama dengan $T_1 + T_2$. Dari hasil iterasi didapat nilai a = 225.85 mm



Gambar 4. 31 Diagram Equilibrium Kekuatan Nominal Beton
 (Sumber: ACI Notes)

Karena nilai $a > hf = 120$ mm, maka momen nominal dihitung menggunakan dasar balok T dengan rumus berikut

$$M_n = M_{nf} + M_{nw}$$

Dimana:

M_{nf} : Momen nominal *flange* (sayap)

M_{nw} : Momen nominal *web* (badan)

Nilai M_{nf} dapat dihitung dengan rumus berikut

$$M_{nf} = 0.85 f'_c (be - bw) hf \left(d - \frac{hf}{2} \right)$$

$$M_{nf} = 0.85 \times 45 \times (1170 - 450) \times 120 \times \left(637.5 - \frac{120}{2} \right)$$

$$M_{nf} = 1857297600 \text{ Nmm}$$

Sedangkan nilai M_{nw} dihitung dengan rumus berikut

$$M_{nw} = 0.85 f'_c bwa \left(d - \frac{a}{2} \right)$$

$$M_{nw} = 0.85 \times 45 \times 450 \times 225.85 \times \left(637.5 - \frac{225.85}{2} \right)$$

$$M_{nf} = 5145526915 \text{ Nmm}$$

Sehingga nilai Mn

$$Mn = 1857297600 + 5145526915 = 7002824515 \text{ Nmm}$$

- Kontrol Momen Nominal Lapangan
 $Mu = 0 \text{ Nmm}$
 $\phi Mn = 0.9 \times 7002824515 = 6302542064 > Mu (\text{OK})$
- Kontrol Momen Nominal Tumpuan
 $Mu = 482496000 \text{ Nmm}$
 $\phi Mn = 0.9 \times 7002824515 = 6302542064 > Mu (\text{OK})$

4.4.1.6 Kontrol Momen Retak

Perhitungan kuat *ultimate* dari beton pratekan harus cukup untuk menghasilkan beban terfaktor paling sedikit 1.2 beban retak yang terjadi berdasarkan nilai modulus retak (fr) sebesar $0,62 \sqrt{f_c} c$ sehingga didapatkan $\phi Mn > 1.2 Mcr$

a. Tumpuan

$$F = 2806.81 \text{ kN}$$

$$e = 0.1 \text{ m}$$

$$kb = 0.175 \text{ m}$$

$$Wt = 54705582 \text{ m}^3$$

$$fr = 0.62 \times \sqrt{f_c} c = 0.62 \sqrt{45} = 4.16 \text{ MPa}$$

$$\begin{aligned} Mcr &= F(e+kb)+fr \times Wt \\ &= 2806.81 \times 0.275 \times 10^6 + 4.16 \times 54705582 \\ &= 227.52 \text{ kNm} \end{aligned}$$

Syarat:

$$\phi Mn > 1.2 Mcr$$

$$6302.54 \text{ kNm} > 1.2 \times 227.52$$

$$6302.54 \text{ kNm} < 273.03 \text{ kNm} (\text{OK})$$

b. Lapangan

$$F = 2806.81 \text{ kN}$$

$$e = 0.1 \text{ m}$$

$$kt = 0.126 \text{ m}$$

$$W_b = 54705582 \text{ m}^3$$

$$f_r = 0.62 \times \sqrt{f_c} = 0.62 \sqrt{45} = 4.16 \text{ Mpa}$$

$$M_{cr} = F(e+kt) + f_r \times W_b$$

$$= 2806.81 \times 0.226 \times 10^6 + 4.16 \times 54705582$$

$$= 797.57 \text{ kNm}$$

Syarat:

$$\phi M_n > 1.2 M_{cr}$$

$$6302.54 \text{ kNm} > 1.2 \times 797.57$$

$$6302.54 \text{ kNm} > 957.09 \text{ kNm (OK)}$$

4.4.1.7 Pengangkuran Balok Prategang

Balok pratekan pasca tarik, kegagalan bisa disebabkan oleh hancurnya bantalan beton pada daerah tepat dibelakang angkur tendon akibat tekanan yang sangat besar. Kegagalan ini diperhitungkan pada kondisi ekstrim saat transfer, yaitu saat gaya pratekan maksimum dan kekuatan beton minimum. Kuat tekan nominal beton pada daerah pengangkuran global diisyaratkan oleh RSNI 2847:2018 pasal 25.9.2. Bila diperlukan, pada daerah pengangkuran dapat dipasang tulangan untuk memikul gaya pencar, pengelupasan dan gaya tarik tepi longitudinal yang timbul akibat pengangkuran tendon sesuai pasal 25.9

Dalam studi ini digunakan angkur hidup. Hal ini dikarenakan metode pemberian gaya pratekan dengan sistem pasca tarik. Penulangan pengekangan di seluruh pengangkuran harus sedemikian rupa hingga mencegah pembelahan dan bursting yang merupakan hasil dari gaya tekan terpusat besar yang disalurkan melalui alat angkur. Metode perhitungan perencanaan daerah pengangkuran global sesuai dengan RSNI 2847:2018 pasal 25.9.2

$$P_u = 1.2 \times P$$

$$P = 3500 \text{ kN} = 3500000 \text{ N}$$

$$P_u = 1.2 \times 3500000 = 4200000 \text{ N}$$

$$\begin{aligned} T_{\text{pencar}} &= 0.25 \times P_u (1 - a/h) \\ d_{\text{pencar}} &= 0.5 (h - 2e) \end{aligned}$$

Dimana:

- P_u = Jumlah gaya tendon terfaktor total untuk pengaturan penarikan tendon yang ditinjau
- a = Tinggi angkur atau kelompok angkur yang berdekatan pada arah yang ditinjau
- e = Eksentrisitas angkur atau kelompok angkur yang berdekatan terhadap sumbu berat penampang
- h = Tinggi Penampang pada arah yang ditinjau

Diperoleh:

- a = 315 mm (angkur strand 5-27, tabel VSL)
- e = 100 mm
- h = 700 mm

Maka:

$$\begin{aligned} T_{\text{pencar}} &= 0.25 \times 3500000 (1 - 315/700) = 577500 \text{ N} \\ d_{\text{pencar}} &= 0.5 (700 - 2 \times 100) = 250 \text{ mm} \\ A_{\text{vp}} &= (T_{\text{pencar}})/f_y = 577500/420 = 1375 \text{ mm}^2 \end{aligned}$$

Digunakan tulangan D16 ($A_v = 402.12 \text{ mm}^2$, 2 kaki), maka kebutuhan tulangan ialah sebanyak

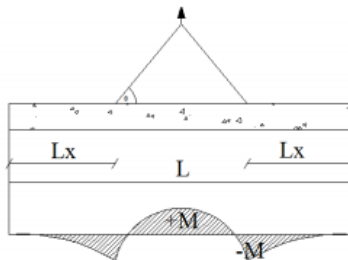
$$n = 1375/402.12 \approx 4 \text{ buah}$$

Spasi antar sengkang dihitung dengan cara sebagai berikut

$$S = (d_{\text{pencar}})/n = 250/4 = 62.5 \text{ mm} \approx 50 \text{ mm}$$

4.4.1.8 Pengangkatan Balok Prategang

Balok prategang direncanakan menggunakan beton *precast* sehingga perlu dihitung tulangan angkat yang diperlukan untuk mengangkat balok *precast*. Contoh perhitungan akan menggunakan balok prategang sumbu Y.



Gambar 4. 32 Titik Angkat Balok

$$\begin{aligned} \text{Berat balok (P)} &= b \times h \times l \times \gamma \\ &= 0.45 \times 0.7 \times 9 \times 2400 \\ &= 6804 \text{ kg} \end{aligned}$$

$$k = 1.2$$

$$Pu = k \times P = 1.2 \times 6804 = 9797.76 \text{ kg}$$

Sehingga gaya angkat tiap tulangan adalah $Pu/2 = 4898.88 \text{ kg}$

$$\text{Tegangan tarik ijin} = \frac{f_y}{1.5} = \frac{420}{1.5} = 2800 \text{ kg/cm}^2$$

Maka diameter tulangan angkat:

$$\varnothing_{\text{tul angkat}} = \sqrt{\frac{4 \times Pu/2}{\pi \times \sigma}} = \sqrt{\frac{4 \times 4898.88}{\pi \times 2800}} = 0.74 \text{ cm}$$

Digunakan tulangan angkat diameter 10 mm

Perhitungan momen yang terjadi saat pengangkatan dapat menggunakan rumus berikut

$$\begin{aligned} M(+) &= \frac{WL^2}{8} \left(1 - 4X + \frac{4Yc}{L \times \tan \theta} \right) \\ M(-) &= \frac{WL^2 X^2}{2} \end{aligned}$$

Dimana nilai X dapat dihitung dengan rumus berikut

$$X = -\frac{1 + \frac{4Yc}{Lx \operatorname{tg}\theta}}{2(1 + \sqrt{1 + \frac{Yt}{Yb} \left(1 + \frac{4Yc}{Lx \operatorname{tg}\theta}\right)})}$$

Diketahui:

$$W = 2400 \times 0.45 \times 0.7 = 756 \text{ kgm}$$

$$Yb = 40.75 \text{ cm}$$

$$Yt = 29.25 \text{ cm}$$

$$Yc = Yt + 5\text{cm} = 34.25 \text{ cm}$$

$$L = 900 \text{ cm}$$

$$Wt = 0.0547 \text{ m}^3$$

$$X = \frac{1 + \frac{4x34.25}{900x \operatorname{tg}45^\circ}}{2(1 + \sqrt{1 + \frac{29.25}{40.75} \left(1 + \frac{4x34.25}{900x \operatorname{tg}45^\circ}\right)})} = 0.245$$

Nilai momen-momen yang terjadi saat pengangkatan adalah sebagai berikut

$$M (+) = \frac{756 \times 9^2}{8} (1 - 4 \times 0.245 + \frac{4 \times 0.3425}{9 \times \operatorname{tg}45^\circ}) = 1318.78 \text{ kgm}$$

$$M (-) = \frac{756 \times 9^2 \times 0.245^2}{2} = 1837.55 \text{ kgm}$$

Sehingga tegangan yang terjadi pada balok saat pengangkatan adalah sebagai berikut

$$f_{\text{lapangan}} (+) = M(+)/Wt = 1318.78/0.0547 = 24106.83 \text{ kg/m}^2$$

$$f_{\text{lapangan}} (+) = 0.241 \text{ MPa} < f'c_{\text{precast}} = 45 \text{ MPa} (\text{OK})$$

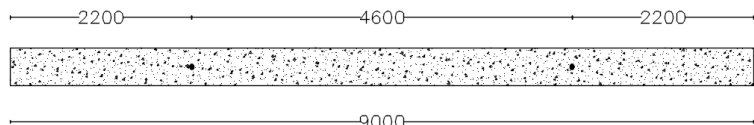
$$f_{\text{tumpuan}} (-) = M(-)/Wt = 1837.55/0.0547 = 33589.9 \text{ kg/m}^2$$

$$f_{\text{tumpuan}} (-) = 0.336 \text{ MPa} < f'c_{\text{precast}} = 45 \text{ MPa} (\text{OK})$$

Letak titik pengangkatan adalah sebagai berikut

$$Lx = L \times X = 9000 \times 0.245 \approx 2200 \text{ mm}$$

$$L - 2Lx = 9000 - 2 \times 2200 = 4600 \text{ mm}$$



Gambar 4. 33 Letak Titik Pengangkatan Balok Prategang Sumbu Y

4.4.1.9 Rekapitulasi

Dengan cara yang sama dengan perhitungan balok prategang sumbu Y, maka dihitung juga balok prategang sumbu X sehingga didapatkan detail penulangan balok prategang sebagai berikut

Tabel 4. 25 Rekapitulasi Penulangan Balok Prategang

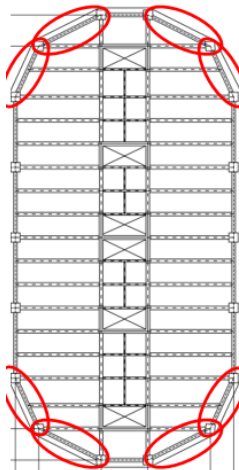
| BALOK PRATEGANG | SUMBU Y | SUMBU X |
|--------------------------|---------|---------|
| PROPERTIES | | |
| b (mm) | 450 | 450 |
| h (mm) | 700 | 700 |
| L (m) | 9 | 11 |
| PRESTRESS | | |
| Fo (kN) | 3500 | 2000 |
| Fe (kN) | 2806.81 | 1581.14 |
| Kehilangan Prategang (%) | 19.81 | 20.94 |
| e lapangan (mm) | 100 | 0 |
| e tumpuan (mm) | 100 | 0 |
| n tendon | 1 | 1 |
| n strand | 23 | 13 |
| Lendutan (mm) ↑ | 4.61 | 1.76 |
| TUL LUNAK | | |
| Tul Lentur Positif | Lap | 9D25 |
| | | 7D25 |

| | | | |
|--------------------|------|---------|---------|
| | Tump | 5D25 | 5D25 |
| Tul Lentur Negatif | Lap | 3D36 | 2D36 |
| | Tump | 10D36 | 10D36 |
| Tul Geser | <2h | D13-150 | D13-150 |
| | >2h | D13-200 | D13-300 |
| Tul Torsi | - | | D13-150 |

4.4.2 Balok Induk Non-Prategang

Selain balok induk prategang juga terdapat balok induk non-prategang yang letaknya ditunjukkan pada gambar dibawah ini. Data perencanaan balok non-prategang adalah sebagai berikut

- Bentang : 8.94 m
- b : 45 cm
- h : 70 cm
- f_c' : 45 MPa
- f_{ci} : 45 MPa (karena beton *precast*)
- f_y : 420 MPa
- D tulangan : 36 mm
- A_s tulangan : 1017.87 mm^2
- Cover : 40 mm
- D sengkang : 13 mm
- A_s sengkang : 132.73 mm^2
- d : $h - (\text{decking} + \text{Øsengkang} + \frac{1}{2} \text{ Ølentur})$
: 629 mm



Gambar 4. 34 Letak Balok Induk Non-Prategang

4.4.2.1 Penulangan Lentur



Gambar 4. 35 Diagram Momen Balok Induk Non-Prategang

$$\text{Mu (+)} = 971298891 \text{ Nmm}$$

$$\text{Mu (-)} = -3008646166 \text{ Nmm}$$

a. Penulangan Tumpuan Negatif (Atas)

$$\begin{aligned} \rho_{\min} &= \frac{0.25x\sqrt{f'y}}{f_y} \\ &= \frac{0.25x\sqrt{45}}{420} = 0.003765 \text{ (menentukan)} \\ \rho_{\min} &= \frac{1.4}{f_y} = \frac{1.4}{420} = 0.003333 \end{aligned}$$

$$\begin{aligned}
 m &= \frac{fy}{0.85 f_{cr}} = \frac{420}{0.85 \times 45} = 10.98 \\
 R_n &= \frac{Mn}{bd^2} = \frac{3008646166}{0.9 \times 450 \times 629^2} = 18.77 \text{ MPa} \\
 \rho &= \frac{1}{m} \left(1 - \sqrt{1 - \frac{2mR_n}{fy}}\right) \\
 &= \frac{1}{10.98} \left(1 - \sqrt{1 - \frac{2 \times 10.98 \times 18.77}{420}}\right) \\
 \rho &= 0.0261
 \end{aligned}$$

Maka dipakai $\rho = 0.0261$

$$\begin{aligned}
 \text{As perlu} &= \rho \cdot b \cdot d \\
 &= 0.0261 \times 450 \times 629 = 7384.81 \text{ mm}^2 \\
 n \text{ perlu} &= \frac{\text{As perlu}}{\text{As tulangan}} \\
 &= \frac{7384.81}{1017.87} = 7.25 \approx 8 \text{ buah}
 \end{aligned}$$

Dipakai 8D36

b. Penulangan Tumpuan Negatif (Bawah)

$$\begin{aligned}
 \text{As.min} &= \frac{1}{2} \times \text{As} = \frac{1}{2} \times 7384.81 \\
 \text{As min} &= 3692.406 \text{ mm}^2 \\
 n \text{ (jumlah)} &= \frac{\text{As perlu}}{\text{As tulangan}} \\
 &= \frac{3692.406}{1017.87} = 3.62 \approx 4 \text{ buah}
 \end{aligned}$$

Dipakai 4D36

c. Penulangan Tumpuan Positif (Bawah)

$$\begin{aligned}
 \rho_{\min} &= \frac{0.25x\sqrt{f'c}}{fy} \\
 &= \frac{0.25x\sqrt{45}}{420} = 0.003765 \text{ (menentukan)} \\
 \rho_{\min} &= \frac{1.4}{fy} = \frac{1.4}{420} = 0.003333 \\
 m &= \frac{fy}{0.85 f_{cr}} = \frac{420}{0.85 \times 45} = 10.98
 \end{aligned}$$

$$\begin{aligned}
 R_n &= \frac{Mn}{bd^2} = \frac{971298891}{0.9 \times 450 \times 629^2} = 6.062 \text{ MPa} \\
 \rho &= \frac{1}{m} \left(1 - \sqrt{1 - \frac{2mR_n}{f_y}} \right) \\
 &= \frac{1}{10.98} \left(1 - \sqrt{1 - \frac{2 \times 10.98 \times 6.062}{420}} \right) \\
 \rho &= 0.0158
 \end{aligned}$$

Maka dipakai $\rho = 0.0158$

$$\begin{aligned}
 \text{As perlu} &= \rho \cdot b \cdot d \\
 &= 0.0158 \times 450 \times 629 = 4473.307 \text{ mm}^2 \\
 \text{n perlu} &= \frac{\text{As perlu}}{\text{As tulangan}} \\
 &= \frac{4473.307}{1017.87} = 4.4 \approx 5 \text{ buah}
 \end{aligned}$$

Dipakai 5D36

d. Penulangan Tumpuan Positif (Atas)

$$\begin{aligned}
 \text{As.min} &= \frac{1}{2} \times \text{As} = \frac{1}{2} \times 4473.307 \\
 \text{As min} &= 2236.65 \text{ mm}^2 \\
 \text{n (jumlah)} &= \frac{\text{As perlu}}{\text{As tulangan}} \\
 &= \frac{2236.65}{1017.87} = 2.19 \approx 3 \text{ buah}
 \end{aligned}$$

Dipakai 3D36

e. Penulangan Tumpuan Positif (Atas dan Bawah)

$$\begin{aligned}
 \text{As min} &= \frac{1}{4} \times \text{As tumpuan maks (8D36)} \\
 &= \frac{1}{4} \times 7384.81 \\
 &= 1846.20 \text{ mm}^2 \\
 \text{n perlu} &= \frac{\text{As perlu}}{\text{As tulangan}} \\
 &= \frac{1846.2}{1017.87} = 1.81 \approx 2 \text{ buah}
 \end{aligned}$$

Dipakai 2D36

- Kontrol Kekuatan dalam Menahan Momen Negatif
 $M_u (-) = -3008646166 \text{ Nmm}$
 $M_n = M_u/\phi = -3008646166/0.9$
 $=$
- Kontrol Kekuatan dalam Menahan Momen Positif
- Kontrol Balok T

Untuk balok yang terletak diujung, lebar efektif tidak boleh melebihi seperduabelas bentang balok dan lebar efektif sayap dari masing-masing sisi badan balok tidak boleh melebihi:

- Enam kali tebal pelat
- Seperempat jarak bersih antara balok-balok yang bersebelahan

Karena balok induk non-prategang merupakan balok ujung, maka perhitungan lebar efektif balok adalah sebagai berikut:

- $b_{eff} = bw + clear\ span/2 = 0.45 + 4/2 = 2.45 \text{ m}$
- $b_{eff} = bw + (6 \times tf) = 0.4 + (6 \times 0.12) = 1.17 \text{ m}$
- $b_{eff} = bw + L/12 = 0.4 + 8.94/12 = 1.195 \text{ m}$

Maka lebar efektif balok adalah 1.17 m

Diketahui A_s bawah terbesar = 5089.38 mm^2

$$a = \frac{Asfy}{0.85fc'be} = \frac{5089.38 \times 420}{0.85 \times 45 \times 1170}$$

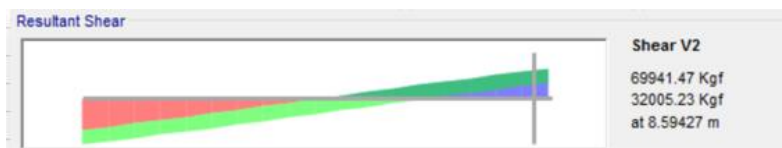
$$a = 47.76 \text{ mm} < hf = 120 \text{ mm}$$

Balok merupakan balok T semu (OK)

Tabel 4. 26 Rekapitulasi Penulangan Lentur Balok Induk Non-Prategang

| Balok Induk Non-Prategang | | | |
|---------------------------|-----------------|----------|-----------------|
| Posisi | Tumpuan Negatif | Lapangan | Tumpuan Positif |
| Atas | 8D36 | 2D36 | 3D36 |
| Bawah | 4D36 | 2D36 | 5D36 |

4.4.2.2 Penulangan Geser



Gambar 4. 36 Diagram Gaya Geser Balok Induk Non-Prategang

V_u maks = 559022.95 N

- Menghitung V_c

Nilai V_c dihitung menggunakan rumus berikut:

$$V_c = 0.17 \lambda \sqrt{f'_c} b w d = 0.17 \times 1 \times \sqrt{45} \times 450 \times 437.5 \\ V_c = 322788.71 \text{ N}$$

- Cek Persyaratan

- Syarat 1

Balok tidak butuh tulangan geser apabila $0.5\phi V_c > V_u$

$$V_u = 559022.95 \text{ N}$$

$$0.5\phi V_c = 0.5 \times 0.75 \times 322788.71 = 121045.76 \text{ N} < V_u$$

Tidak memenuhi Syarat 1

- Syarat 2

Balok butuh tulangan geser minimum apabila $0.5\phi V_c < V_u < \phi V_c$

$$121045.76 < 559022.95 > 242091.53$$

Tidak memenuhi Syarat 2

- Syarat 3

Balok butuh tulangan geser minimum apabila $\phi V_c < V_u < \phi(V_c + V_{s,\min})$, dimana $V_{s,\min} = \frac{1}{16} \sqrt{f'_c b w d}$

$$242091.53 < 559022.95 > 331095.77$$

Tidak memenuhi Syarat 3

- Syarat 4

Balok butuh *stirrup* apabila $\phi(V_c + V_{s,\min}) < V_u < \phi(V_c + V_{s'})$, dimana $V_{s'} = 0.5\phi V_c = \frac{1}{3} \sqrt{f'_c b w d}$

$$\phi(V_c + V_{s,\min}) < V_u < \phi(V_c + V_{s'})$$

$$331095.77 < 559022.95 < 716780.814$$

Memenuhi Syarat 4, butuh *stirrup*

Desain *stirrup* dengan data perencanaan sebagai berikut:

- $d_{stirrup} = 13 \text{ mm}$
- $A_v = 265.46 \text{ mm}^2$ (dua kaki)
- $f_y = 420 \text{ MPa}$

Spasi minimum *stirrup* pada daerah $<2h$ adalah yang terkecil dari:

- $d/4 = 629/4 = 314.5 \text{ mm}$
- $6db = 6 \times 25 = 150 \text{ mm}$
- 150 mm

Dipakai spasi minimum 150 mm

Direncanakan *stirrup* D13-150 pada daerah $<2h$ dan daerah $>2h$

$$V_{s,<2h} = \frac{A_v \times f_y \times d}{s} = \frac{157.08 \times 420 \times 629}{150} = 467536.21 \text{ N}$$

$$V_{s,>2h} = \frac{A_v \times f_y \times d}{s} = \frac{157.08 \times 420 \times 629}{150} = 467536.21 \text{ N}$$

$$\text{Cek } 0.33\sqrt{f'_c b w d} = 0.33\sqrt{45} \times 450 \times 629 = 626589.85 \text{ N}$$

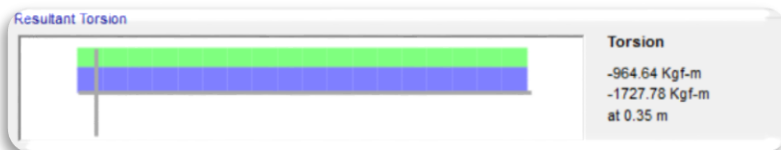
$$V_{s<2h} < 0.33\sqrt{fc'} bwd, V_{s>2h} < 0.33\sqrt{fc'} bwd$$

Maka berdasarkan RSNI 2847:2018 tabel 9.7.6.2.2,
 $s_{max} = d/2 = 629 / 2 = 375 \text{ mm (OK)}$

$$\text{Kontrol } \varphi V_n = \varphi(V_s + V_c) > V_u$$

$$\begin{aligned} \text{Daerah } < 2h, \varphi V_n &= 0.75(790324.92) > 559022.95 \text{ N} \\ &= 592743.69 \text{ N} > 559022.95 \text{ N (OK)} \\ \text{Daerah } > 2h, \varphi V_n &= 0.75(790324.92) > 559022.95 \text{ N} \\ &= 592743.69 \text{ N} > 559022.95 \text{ N (OK)} \end{aligned}$$

4.4.2.3 Penulangan Torsi



Gambar 4. 37 Diagram Torsi Balok Induk Non-Prategang
 $T_u = 16949521.8 \text{ Nmm}$

Menurut RSNI 2847:2018 pasal 22.7.1.1, pengaruh torsi dapat diabaikan apabila $T_u < \varphi T_{th}$, dimana T_{th} adalah ambang batas torsi.

Berdasarkan RSNI 2847:2018 pasal 22.7.4.1, nilai T_{th} untuk penampang *solid* dapat dihitung dengan tabel 22.7.4.1. Rumus menghitung T_{th} untuk penampang non-prategang adalah

$$T_{th} = 0.083 \lambda \sqrt{fc'} x \left(\frac{A_{cp}^2}{P_{cp}} \right)$$

Diketahui:

$$A_{cp} = b \times h = 450 \times 700 = 315000 \text{ mm}^2$$

$$P_{cp} = 2 \times (b+h) = 2 \times (450+700) = 2300 \text{ mm}$$

Sehingga nilai T_{th} adalah

$$T_{th} = 0.083 \times 1 \times \sqrt{45} \times \left(\frac{315000^2}{230} \right)$$

$$T_{th} = 24020255.4 \text{ Nmm}$$

$$\varphi T_{th} = 0.75 \times 24020255.4 = 18015191.55 \text{ Nmm} > T_u$$

Balok tidak butuh tulangan torsi

4.4.3 Kolom

Kolom merupakan struktur utama yang berfungsi memikul seluruh beban yang diterima struktur, baik dari struktur sekunder maupun balok induk, dan berfungsi meneruskan beban yang diterima ke pondasi. Data dari perencanaan kolom adalah sebagai berikut:

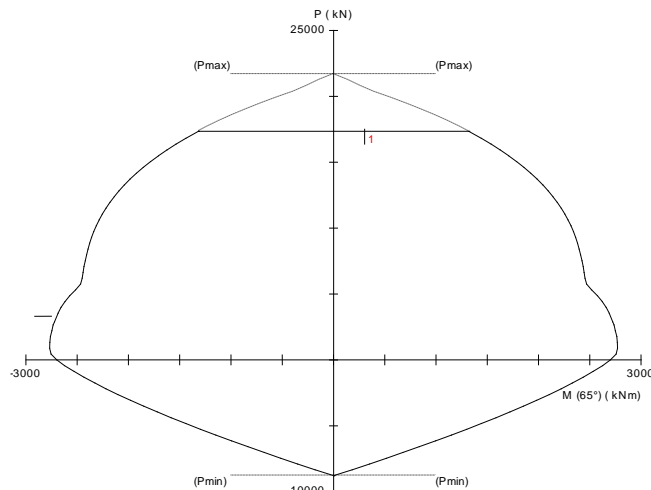
- Dimensi kolom : 70/70 cm
- Tebal decking (d'): 40 mm
- Mutu tulangan (f_y): 420 MPa
- Mutu beton (f'_c) : 45 Mpa

4.4.3.1 Penulangan Longitudinal Kolom

Untuk penulangan kolom dibagi 3 bagian, yaitu kolom lantai 1-5, lantai 6-10, dan lantai 11-20. Pada perhitungan kali ini akan dicontohkan perhitungan kebutuhan penulangan kolom pada lantai 1-5. Dengan program SAP2000, didapat beban luar terbesar yang bekerja pada kolom sebagai berikut:

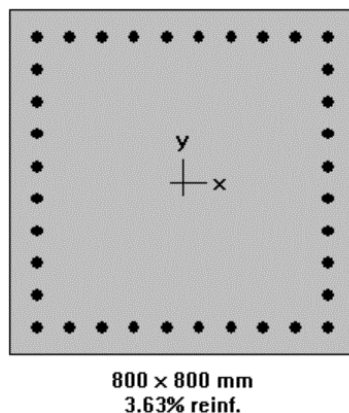
| | |
|--------------|----------------|
| $P_{u,\max}$ | : -16935.71 kN |
| $V_{u,\max}$ | : 129.58 kN |
| $T_{u,\max}$ | : 22.66 kN.m |
| M_x | : 128.40 kN.m |
| M_y | : 273.79 kN.m |

Dari beban aksial dan momen yang terjadi, kemudian dilakukan perhitungan penulangan memanjang kolom menggunakan program bantu spColumn, didapatkan diagram interaksi antara aksial dan momen pada kolom, yaitu sebagai berikut. Dikarenakan beban aksial yang besar, maka dimensi kolom diperbesar menjadi 80/80 cm.



Gambar 4. 38 Output spColumn Design Biaxial Kolom 80/80

Dari hasil spColumn Design diatas, didapatkan tulangan longitudinal yang dapat dipakai adalah **36D29**



Gambar 4. 39 Output tulangan spColumn Kolom 80/80

Grafik Interaksi Aksial dan Momen Pada Kolom
 $\bar{\Omega}M_{Nx} = 599.85 \text{ kN.m} > M_{ux} = 270.4252 \text{ kN.m}$ (OK)
 $\bar{\Omega}M_{Ny} = 1279.06 \text{ kN.m} > M_{uy} = 351.3725 \text{ kN.m}$ (OK)

4.4.3.2 Kontrol Rasio Tulangan Longitudinal Kolom

Berdasarkan RSNI 2847:2018 pasal 10.6.1.1, luas tulangan longitudinal harus sekurang-kurangnya $0,01A_g$ namun tidak boleh melebihi $0,08A_g$ untuk kolom non-prategang. Dari perhitungan sebelumnya, didapat tulangan longitudinal 28D36

$$0,01 < A_s 36D29 < 0,08A_g \\ 6400 \text{ mm}^2 < 23778.71 \text{ mm}^2 < 51200 \text{ mm}^2 \text{ (OK)}$$

4.4.3.3 Kontrol Kapasitas Beban Aksial Kolom

Menurut RSNI 2847:2018 pasal 22.4.2.1, kuat tekan aksial nominal P_n tidak boleh melebihi $P_{n,max}$ sesuai tabel dibawah ini

Tabel 4. 27 Kuat Aksial Maksimum

| Komponen | Tulangan transversal | $P_{n,max}$ | |
|------------------------------|--|-------------|-----|
| Non-prategang | Sengkang persegi sesuai Pasal 22.4.2.4 | $0.80P_o$ | (a) |
| | Sengkang spiral sesuai Pasal 22.4.2.5 | $0.85P_o$ | (b) |
| Prategang | Sengkang persegi | $0.80P_o$ | (c) |
| | Sengkang spiral | $0.85P_o$ | (d) |
| Kolom komposit sesuai Bab 10 | Semua | $0.85P_o$ | (e) |

(Sumber: RSNI 2847:2018)

Berdasarkan RSNI 2847:2018 pasal 22.4.2.2, untuk komponen non-prategang, nilai Po dihitung dengan persamaan

$$Po = 0.85fc'(Ag - Ast) + fy.Ast$$

Dimana:

fc' : Mutu beton kolom (MPa)

fy : Mutu tulangan longitudinal (MPa)

Ag : Luas bruto penampang kolom (mm^2)

Ast : Luas tulangan longitudinal kolom (mm^2)

Sehingga didapat nilai Po dan Pn sebagai berikut

$$Po = 0.85 \times 45(640000 - 23778.71) + 420 \times 23778.71$$

$$Po = 33557524.37 \text{ N}$$

$$Pn = 0.80Po = 0.80 \times 33557524.37$$

$$Pn = 26846.02 \text{ kN}$$

Cek $\varphi Pn > Pu$

$$\Phi Pn = 0.90 \times 26846.02 = 24161.42 \text{ kN} > Pu = 18603.95 \text{ kN}$$

(OK)

4.4.3.4 Kontrol Kapasitas Geser Kolom

Menurut RSNI 2847:2018 pasal 22.5.1.2, ukuran dimensi untuk desain penampang harus memenuhi persamaan berikut:

$$Vu \leq \varphi(Vc + 0.066\sqrt{fc'.bw.d})$$

Dimana nilai Vc untuk komponen non-prategang dengan gaya aksial tekan dapat dihitung menggunakan rumus pada RSNI 2847:2018 pasal 22.5.6.1

$$Vc = 0.17 \left(1 + \frac{Nu}{1.4Ag} \right) \lambda \sqrt{fc'}.bw.d$$

Direncanakan tulangan transversal dengan diameter 10 mm
 $d = 800-40-10-29/2 = 735.5 \text{ mm}$

$$Vc = 0.17 \left(1 + \frac{16935.71}{1.4 \times 640000} \right) 1 \times \sqrt{45} \times 800 \times 735.5$$

$$V_c = 1939311.79 \text{ N} = 1939.31 \text{ kN}$$

$$V_u \leq \varphi(Vc + 0.066\sqrt{f'_c \cdot bw \cdot d})$$

$$90.12 \text{ kN} \leq 0.75 \times (1939.31 + \frac{0.066}{1000} \sqrt{45 \times 800 \times 735.5})$$

$$90.12 \text{ kN} \leq 1454.74 \text{ kN} (\text{OK})$$

4.4.3.5 Penulangan Geser Kolom

Berdasarkan RSNI 2847:2018 pasal 10.6.2.1, luas minimum tulangan geser ($A_{v,min}$) harus disediakan di semua wilayah dimana $V_u > 0.5\varphi V_c$

$$0.5\varphi V_c = 0.5 \times 0.75 \times 1939.31 = 727.24 \text{ kN} > V_u = 90.12 \text{ kN}$$

Maka digunakan luas tulangan geser minimum pada seluruh wilayah kolom.

Menurut RSNI 2847:2018, spasi maksimum tulangan geser harus sesuai dengan tabel dibawah ini

Tabel 4. 28 Persyaratan Spasi Maksimum Tulangan Geser

| V_s | Spasi maksimum, s , mm | | |
|------------------------------|--------------------------|--------------------|-----------------|
| | | Kolom nonprategang | Kolom prategang |
| $\leq 0.33\sqrt{f'_c b_w d}$ | Terkecil dari: | $d/2$ | $3h/4$ |
| | | 600 | |
| $> 0.33\sqrt{f'_c b_w d}$ | Terkecil dari: | $d/4$ | $3h/8$ |
| | | 300 | |

(Sumber: RSNI 2847:2018)

Spasi minimum tulangan geser adalah yang terkecil dari:

- $6 \text{ db} = 6 \times 36 = 216 \text{ mm}$
- 150 mm (menentukan)

Direncanakan tulangan geser 4 kaki ($A_v = 4A_{sh}$)

$$d \text{ tulangan} = 10 \text{ mm}$$

$$A_{sh} = 78.5 \text{ mm}^2$$

$$f_{yt} = 420 \text{ MPa}$$

$$s = 150 \text{ mm}$$

$$d = 732 \text{ mm}$$

$$V_s = \frac{A_v \times f_{yt} \times d}{s} = \frac{(4 \times 78.5) \times 420 \times 732}{150}$$

$$V_s = 643900.83 \text{ N}$$

Cek nilai V_s terhadap $0.33\sqrt{f_c' b w d}$

$$0.33\sqrt{f_c' b w d} = 0.33 \times \sqrt{45 \times 800 \times 732} = 1296346.9 \text{ N} > V_s$$

Maka spasi maksimum adalah yang terkecil dari

- $d/2 = 366 \text{ mm}$ (menentukan)

- 600 mm

s pakai $< s$ maksimum (OK)

Cek V_n terhadap V_u

$$V_n = V_s + V_c = 643900.83 + 2054422.42 = 2698.32 \text{ kN} < V_u \\ (\text{OK})$$

Untuk $s = 300 \text{ mm}$, didapat $V_s = 321950.4 \text{ N}$

$$V_n = V_s + V_c = 321950.4 + 2054422.42 = 2376.37 \text{ kN} < V_u \\ (\text{OK})$$

Pada daerah $< l_o$, digunakan tulangan geser **4D10-150** mm

Pada daerah $> l_o$, digunakan tulangan geser **4D10-300** mm

Panjang l_o adalah yang terbesar dari

a. S kolom = 800 mm

b. $L_c = (\text{Tinggi kolom} - s \text{ kolom})/6 = (4200-800)/6 = 566.67 \text{ mm}$

c. 450 mm

Sehingga panjang lo adalah 800 mm

Karena pada sistem *self-centering* hubungan balok kolom tidak bersifat monolit, maka tidak menggunakan prinsip *Strong Column Weak Beam*.

4.4.3.6 Kontrol Torsi Kolom

Berdasarkan RSNI 2847:2018 pasal 10.5.4.1, jika $T_u > T_{th}$, maka tulangan torsi diperlukan. Nilai T_{th} dapat dihitung menggunakan rumus dari tabel dibawah ini

Tabel 4. 29 Ambang Batas Torsi untuk Penampang Solid

| Jenis komponen | T_{th} | |
|--|---|-----|
| Komponen non prategang | $0.083\lambda\sqrt{f'_c} \left(\frac{A_{cp}^2}{p_{cp}} \right)$ | (a) |
| Komponen prategang | $0.083\lambda\sqrt{f'_c} \left(\frac{A_{cp}^2}{p_{cp}} \right) \sqrt{1 + \frac{f_{pc}}{0.33\lambda\sqrt{f'_c}}}$ | (b) |
| Komponen non prategang menerima beban aksial | $0.083\lambda\sqrt{f'_c} \left(\frac{A_{cp}^2}{p_{cp}} \right) \sqrt{1 + \frac{N_u}{0.33A_g\lambda\sqrt{f'_c}}}$ | (c) |

(Sumber: RSNI 2847:2018)

Dimana:

A_{cp} = Luas yang dibatasi oleh keliling luar penampang beton

P_{cp} = Keliling luar penampang beton

T_{th}

$$0.083 \times 1 \times \sqrt{45} \times \left(\frac{(800 \times 800)^2}{4 \times 800} \right) \sqrt{1 + \frac{18603.95}{0.33 \times (800 \times 800) \times 1 \times \sqrt{45}}} =$$

$$T_{th} = 267907053.2 \text{ Nm}$$

$$\Phi T_{th} = 0.75 \times 267907053.2 = 200930289.9 \text{ Nm} > T_u (\text{OK})$$

Maka kolom tidak membutuhkan tulangan torsi

4.4.3.7 Panjang Penyaluran Tekan

Berdasarkan RSNI 2847:2018 pasal 25.4.9.1, panjang penyaluran tekan (l_{dc}) diambil yang terbesar dari 200 mm dan hasil perhitungan rumus berikut

$$l_{dc} = \left(\frac{0.24 f_y \Psi r}{\lambda \sqrt{f' c}} \right) d_b$$

$$l_{dc} = 0.043 f_y \Psi r d_b$$

Nilai Ψr dapat dilihat pada RSNI 2847:2018 tabel 25.4.9.3, sehingga didapatkan nilai $\Psi r = 1$

$$l_{dc} = \left(\frac{0.24 \times 420 \times 1}{1 \times \sqrt{45}} \right) \times 29 = 435.76 \text{ mm}$$

$$l_{dc} = 0.043 \times 420 \times 29 = 523.74 \text{ mm}$$

Sehingga diambil panjang penyaluran tekan 550 mm

4.4.3.8 Rekapitulasi Penulangan Kolom

Dengan cara yang sama, dilakukan perhitungan pada kolom lantai 6-10 dan lantai 11-20 sehingga didapatkan penulangan kolom sebagai berikut. Gambar penulangan kolom dapat dilihat pada Lampiran.

Tabel 4. 30 Rekapitulasi Penulangan Kolom

| Lantai | Tul Longitudinal | Tul Geser | | Tul Torsi | l _{dc} (mm) |
|--------|------------------|-----------|---------|--------------|-------------------------|
| | | <Lo | >Lo | | |
| 1-5 | 36D29 | D10-150 | D10-300 | - | 550 |
| 6-10 | 28D29 | D10-150 | D10-300 | - | 550 |
| 11-20 | 12D29 | D10-150 | D10-300 | - | 550 |

4.4.4 Hubungan Balok Kolom

Dalam desain gedung dengan sistem *self-centering*, balok dan kolom tidak dicor monolit. Adanya tendon *unbonded post-tensioned* pada sambungan akan membuat terjadinya bukaan (*gap opening*) pada sambungan sehingga hubungan balok-kolom dianggap tidak kaku. Sambungan balok kolom akan dicor menggunakan *dry grout*.

Hubungan balok-kolom *self-centering* akan dihitung pada akan dihitung pada *yield limit state*. Momen yang terjadi pada hubungan balok-kolom *self-centering* dapat dihitung dengan rumus berikut. Apabila momen yang terjadi menimbulkan tegangan yang besar melebihi batas tegangan ijin maksimum, maka tulangan spiral dibutuhkan sebagai tulangan tambahan

$$My = 0.5f_{pi}A_p(h'' - a'')$$

$$a'' = \frac{c_l}{\alpha} \frac{f_{ci}/f'_{cc}}{f_{pi}/f_{pu}} \frac{b}{b''} h$$

Dimana:

a'' : compression stress block depth measured from inside spirals confinement

a : 0.85

b'' : lebar balok dihitung dari dalam tulangan spiral

c_l : f_{pl}/f_{pu}

f_{pl} : tegangan tendon saat leleh

f_{ci} : tegangan awal beton (45 MPa karena *precast*)

f'_{cc} : kuat tekan maksimum beton (45 MPa)

f_{pi} : tegangan awal tendon (1541.78 MPa)

f_{pu} : tegangan ultimit tendon (1860 MPa)

A_p : luas penampang tendon (2270.1 MPa)

h'' : tinggi balok dihitung dari dalam tulangan spiral

$$b'' = 450 - 2 \times 40 = 370 \text{ mm}$$

$$h'' = 700 - 2 \times 40 = 620 \text{ mm}$$

$$\begin{aligned}f_{pl} &= 0.7 f_{py} = 0.7 \times 1581 = 1106.7 \text{ MPa} \\c_l &= 1106.7 / 1860 = 0.595\end{aligned}$$

$$a'' = \frac{0.595}{0.85} \frac{45/45}{1541.78/1860} \frac{350}{370} 620 = 719 \text{ mm}$$

$$\begin{aligned}My &= 0.5 \times 1541.78 \times (620 - 719) \\&= -173156909.5 \text{ Nmm}\end{aligned}$$

Diketahui

$$\begin{aligned}W_t &= 54705581.52 \text{ mm}^3 \\W_b &= 39261162.05 \text{ mm}^3\end{aligned}$$

Tegangan yang terjadi pada serat atas dan bawah adalah
 $\sigma_{top} = M/W_t = -3.17 \text{ MPa}$
 $\sigma_{bottom} = M/W_b = -3.75 \text{ MPa}$

Sedangkan tegangan yang terjadi pada balok saat beban layan adalah
 $\sigma_{top} = -3.875 \text{ MPa}$
 $\sigma_{bottom} = -16.155 \text{ MPa}$

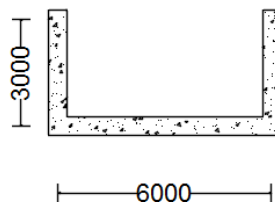
Sehingga tegangan total yang akan terjadi pada hubungan balok kolom *self-centering* adalah
 $\sigma_{top} = -3.875 + -3.17 = 7.045 \text{ MPa} < \text{tegangan ijin} = -20.25 \text{ MPa (OK)}$
 $\sigma_{bottom} = -16.155 + -3.75 = -19.90 \text{ MPa} < \text{tegangan ijin} = -20.25 \text{ MPa (OK)}$

4.4.5 Dinding Geser

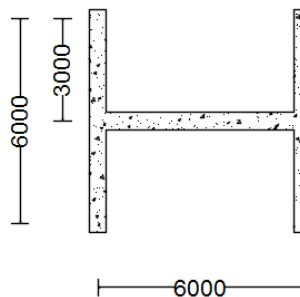
Dinding geser direncanakan menggunakan beton *precast* dan diberikan tendon prategang *post-tensioned* sepanjang tinggi

total dinding geser. Tujuan dari tendon ini adalah untuk memberikan kemampuan *recentering* pada dinding geser sehingga ketika struktur terkena beban lateral, tendon berfungsi sebagai pegas yang dapat mengembalikan dinding geser ke posisi semula. Semua dinding geser direncanakan akan diberi tendon prategang.

Terdapat dua tipe dinding geser yaitu Tipe 1 dan Tipe 2. Kedua tipe akan didesain menggunakan konsep *self-centering*



Gambar 4. 40 Dinding Geser Tipe 1



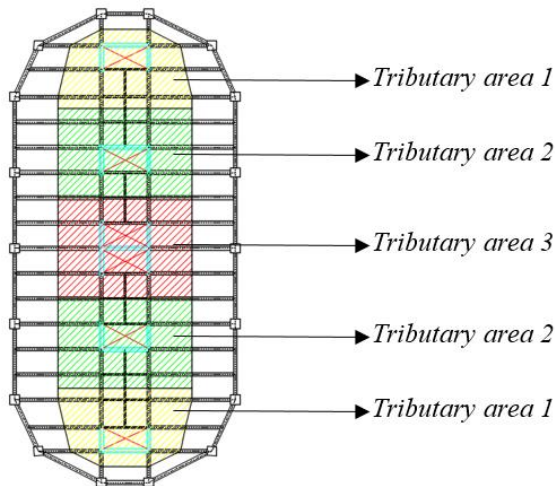
Gambar 4. 41 Dinding Geser Tipe 2

4.4.5.1 Pembebanan Dinding Geser

4.4.5.1.1 Beban Gravitasi

Pada saat permodelan, selain beban sendiri, pada model dinding geser juga bekerja beban mati dan beban hidup dari *tributary*

area di sekitar dinding geser. Beban *tributary area* yang bekerja pada dinding geser adalah sebagai berikut:



Gambar 4. 42 Pembagian Pembebanan Tiap Dinding Geser

- *Tributary Area 1*

$$\begin{aligned} \text{Luas area yang diarsir (A)} &= 140990384.6 \text{ mm}^2 \\ &= 140.99 \text{ m}^2 \end{aligned}$$

$$\text{Tebal pelat} = 0.12 \text{ m}$$

$$\text{Berat pelat} = 2400 \times \text{tb pelat} \times A = 40605.23 \text{ kg}$$

Tabel 4. 31 Rekapitulasi Balok Tributary Area 1

| Label | L (m) | n | b (m) | h (m) | Berat (kg) |
|-------|-------|-----|-------|-------|------------|
| B5 | 4 | 1 | 0.45 | 0.70 | 3024.00 |
| B6 | 8 | 1 | 0.45 | 0.70 | 6048.00 |
| B6.1 | 9.38 | 1 | 0.45 | 0.70 | 7094.77 |
| B7 | 11 | 1 | 0.45 | 0.70 | 8316.00 |
| B8 | 9.5 | 1 | 0.45 | 0.70 | 7182.00 |
| B10 | 3.5 | 1 | 0.35 | 0.50 | 1470.00 |
| B11 | 3 | 0.5 | 0.35 | 0.50 | 630.00 |
| B12 | 6 | 2 | 0.25 | 0.40 | 2880.00 |
| Total | 54.38 | | | Total | 36644.77 |

Berat *superdead*

- Finishing : 21 kg/m²
- Tegel : 24 kg/m²
- Plumbing & Ducting : 30 kg/m²
- Plafond : 11 kg/m²
- Penggantung Plafond : 7 kg/m²
- Total : 93 kg/m²

$$\text{Berat } \textit{superdead} : 93 \times 140.99 = 48359.7 \text{ kg}$$

$$\text{Panjang dinding} = 54.38 \text{ m}$$

$$\text{Berat dinding} = 250 \text{ kg/m}^2$$

$$\text{Tinggi dinding} = 4.2 \text{ m}$$

$$\text{Berat dinding} = 54.38 \times 250 \times 4.2 = 57103.85 \text{ kg}$$

Total beban mati = 1.2 x berat pelat x berat balok x berat *superdead* x berat dinding

$$\text{Total beban mati} = 1.2 \times 40605.23 \times 36644.77 \times 48359.7 \\ \times 57103.85$$

$$\text{Total beban mati} = 108434.53 \text{ kg}$$

Dikarenakan dinding geser pada *tributary area* 1 memiliki 4 joint titik pondasi pada SAP2000, maka beban mati tiap joint = $108434.53/4 = 27108.63 \text{ kg}$

Beban hidup kantor = 250 kg/m^2 (PPIUG 1983)

Total beban hidup = $1.6 \times 250 \times A = 54140.3 \text{ kg}$

Dikarenakan dinding geser pada *tributary area* 1 memiliki 4 joint titik pondasi pada SAP2000, maka beban hidup tiap joint = $54140.3/4 = 13535.07\text{kg}$

- *Tributary Area 2*

$$\begin{aligned}\text{Luas area yang diarsir (A)} &= 182750000 \text{ mm}^2 \\ &= 182.75 \text{ m}^2\end{aligned}$$

$$\text{Tebal pelat} = 0.12 \text{ m}$$

$$\text{Berat pelat} = 2400 \times \text{tb pelat} \times A = 52632 \text{ kg}$$

Tabel 4. 32 Rekapitulasi Balok Tributary Area 2

| Label | L (m) | n | b (m) | h (m) | Berat (kg) |
|-------|-------|------|-------|-------|------------|
| B7 | 11.00 | 3.50 | 0.45 | 0.70 | 29106.00 |
| B8 | 9.50 | 1.00 | 0.45 | 0.70 | 7182.00 |
| B9 | 6.00 | 1.00 | 0.45 | 0.70 | 4536.00 |
| B11 | 3.00 | 2.00 | 0.25 | 0.40 | 1440.00 |
| B12 | 6.00 | 2.50 | 0.35 | 0.40 | 5040.00 |
| Total | 35.50 | | | SUM | 47304.00 |

Berat *superdead*

- Finishing : 21 kg/m^2
- Tegel : 24 kg/m^2
- Plumbing & Ducting : 30 kg/m^2
- Plafond : 11 kg/m^2
- Penggantung Plafond : 7 kg/m^2

- Total : 93 kg/m^2
 Berat *superdead* : $93 \times 182.75 = 48359.7 \text{ kg}$

| | |
|-----------------|---|
| Panjang dinding | = 35.5 m |
| Berat dinding | = 250 kg/m^2 |
| Tinggi dinding | = 4.2 m |
| Berat dinding | = $35.5 \times 250 \times 4.2 = 37275 \text{ kg}$ |

Total beban mati = $1.2 \times \text{berat pelat} \times \text{berat balok} \times \text{berat superdead} \times \text{berat dinding}$

Total beban mati = 180387.73 kg

Dikarenakan dinding geser pada *tributary area* 2 memiliki 4 joint titik pondasi pada SAP2000, maka beban mati tiap joint = $135657.73 / 4 = 45096.93 \text{ kg}$

Beban hidup kantor = 250 kg/m^2 (PPIUG 1983)

Total beban hidup = $1.6 \times 250 \times A = 43860 \text{ kg}$

Dikarenakan dinding geser pada *tributary area* 2 memiliki 4 joint titik pondasi pada SAP2000, maka beban hidup tiap joint = $54140.3/4 = 10965 \text{ kg}$

- *Tributary Area 3*

Luas area yang diarsir (A) = 204000000 mm^2
 $= 204 \text{ m}^2$

| | |
|-------------|---|
| Tebal pelat | = 0.12 m |
| Berat pelat | = $2400 \times \text{tb pelat} \times A = 58752 \text{ kg}$ |

Tabel 4. 33Rekapitulasi Balok Tributary Area 3

| Label | L (m) | n | b (m) | h (m) | Berat (kg) |
|-------|-------|---|-------|-------|------------|
| B7 | 11 | 4 | 0.450 | 0.700 | 33264.00 |
| B9 | 6 | 2 | 0.450 | 0.700 | 9072.00 |
| B11 | 3 | 2 | 0.250 | 0.400 | 1440.00 |
| B12 | 6 | 1 | 0.350 | 0.400 | 2016.00 |
| Total | 26.00 | | | SUM | 45792.00 |

Berat *superdead*

- Finishing : 21 kg/m²
- Tegel : 24 kg/m²
- Plumbing & Ducting : 30 kg/m²
- Plafond : 11 kg/m²
- Penggantung Plafond : 7 kg/m²
- Total : 93 kg/m²

$$\text{Berat } \textit{superdead} : 93 \times 204 = 13112.10 \text{ kg}$$

$$\text{Panjang dinding} = 26 \text{ m}$$

$$\text{Berat dinding} = 250 \text{ kg/m}^2$$

$$\text{Tinggi dinding} = 4.2 \text{ m}$$

$$\text{Berat dinding} = 26 \times 250 \times 4.2 = 27300 \text{ kg}$$

$$\text{Total beban mati} = 1.2 \times \text{berat pelat} \times \text{berat balok} \times \text{berat } \textit{superdead} \times \text{berat dinding}$$

$$\text{Total beban mati} = 173947.33 \text{ kg}$$

Dikarenakan dinding geser pada *tributary area* 3 memiliki 6 joint titik pondasi pada SAP2000, maka beban mati tiap joint = $135657.73 / 6 = 28991.22 \text{ kg}$

$$\text{Beban hidup kantor} = 250 \text{ kg/m}^2 \text{ (PPIUG 1983)}$$

$$\text{Total beban hidup} = 1.6 \times 250 \times A = 48960 \text{ kg}$$

Dikarenakan dinding geser pada *tributary area* 3 memiliki 6 joint titik pondasi pada SAP2000, maka beban hidup tiap joint = $54140.3/6 = 8160$ kg



Gambar 4. 43 Pembebaan Beban Gravitasi pada Dinding Geser

4.4.5.1.2 Beban Gempa

Untuk pembebaan gempa, gaya gempa diambil dari hasil *running model* menggunakan program SAP2000. Khusus untuk pembebaan gempa pada dinding geser, variabel R (koefisien modifikasi respons) yang digunakan berubah dari 7 menjadi 3, dimana sistem rangka yang awalnya Sistem Ganda dengan Dinding Geser Beton Bertulang Khusus berubah menjadi Sistem Rangka Beton Bertulang Pemikul Momen Biasa. Hal ini dilakukan dengan pertimbangan dinding geser didesain untuk selalu elastis sehingga sifat *self-centering* dinding geser

berfungsi. Perubahan faktor penskalaan gaya gempa dapat dilihat pada tabel dibawah ini

Tabel 4. 34 Faktor Pembesaran Gaya Gempa untuk R=7 dan R=3

| | R=7 | R=3 |
|----|------|------|
| Ux | 2.32 | 5.07 |
| Uy | 2.33 | 5.14 |

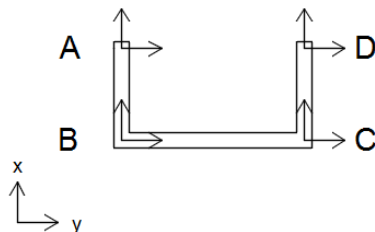
Setelah model di-*run* dengan nilai R yang baru, maka akan didapatkan reaksi gaya gempa yang bekerja pada tiap joint titik pondasi pada dinding geser. Reaksi gaya gempa ini kemudian digunakan sebagai beban gempa pada permodelan dinding geser *self-centering*. *Load case* yang digunakan adalah *envelope* dari kombinasi-kombinasi beban yang beban utamanya adalah gaya gempa sesuai dengan RSNI 2847:2018 pasal 5.3.1. Kombinasi yang digunakan adalah:

- $U = 1.2 D + 1 Q_x + 1 L$
- $U = 1.2 D + 1 Q_y + 1 L$
- $U = 0.9 D + 1 Q_x$
- $U = 0.9 D + 1 Q_y$

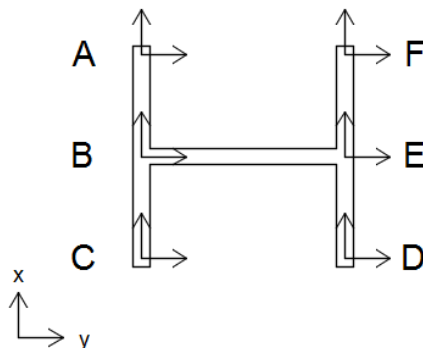
Reaksi gaya gempa yang didapatkan dari *running* model gedung dapat dilihat dibawah ini. Untuk dinding geser tipe 1, diambil reaksi gaya gempa pada joint titik pondasi dinding geser yang terletak pada *tributary area* 2. Hal ini dikarenakan beban mati pada area 2 lebih besar daripada area 1.

Tabel 4. 35 Reaksi Gaya Gempa Dinding Geser Tipe 1

| Titik | Fx (kg) | Fx (kg) |
|-------|------------|------------|
| A | 10661.49 | 1906778.81 |
| B | 2008192.74 | 1542634.99 |
| C | 2008192.74 | 1542634.99 |
| D | 10661.49 | 1906778.81 |

**Gambar 4. 44** Letak Titik Joint Pondasi Dinding Geser Tipe 1**Tabel 4. 36** Reaksi Gaya Gempa Dinding Geser Tipe 2

| Titik | Fx (kg) | Fy (kg) |
|-------|-----------|------------|
| A | 41337.17 | 358675.71 |
| B | 906689.75 | 1007944.40 |
| C | 41337.17 | 358675.71 |
| D | 41337.17 | 358675.69 |
| C | 906689.75 | 1007944.38 |
| D | 41337.17 | 358675.69 |



Gambar 4.45 Letak Titik Joint Pondasi Dinding Geser Tipe 2

Reaksi gaya gempa ini kemudian diolah dengan didistribusikan ke tiap lantai menggunakan rumus distribusi vertikal gaya gempa sesuai dengan SNI 1726:2018 pasal 7.8.3. Rumus tersebut adalah sebagai berikut

$$Fx = C_{vx} x V$$

Dan

$$C_{vx} = \frac{w_x h_x^k}{\sum_{i=1}^n w_i h_i^k}$$

Dimana:

- C_{vx} : Faktor distribusi vertikal
- V : Gaya lateral desain
- w_i dan w_x : Bagian berat seismik efektif total struktur pada tingkat i atau x
- k : Eksponen yang terkait dengan perioda struktur dimana apabila:
 - $T \leq 0.5$, k=1
 - $T \geq 2.5$, k=2
 - $0.5 < T < 2.5$, k interpolasi linier

Nilai perioda struktur (T) model = 2.399 detik, sehingga nilai k dihitung dengan interpolasi linier. Didapat k = 0.95

Gaya lateral tiap lantai nantinya akan dikenakan pada sumbu netral tiap dinding geser. Dikarenakan bentuknya yang tidak simetris pada sumbu Y, maka sumbu Y netral dinding geser Tipe 1 perlu dihitung

$$Lx = 6 \text{ m}$$

$$Ly = 3 \text{ m}$$

$$tw = 0.5 \text{ m}$$

$$A1 = 0.5 \times 3 = 1.5 \text{ m}^2$$

$$A2 = 0.5 \times (6 - 2 \times 0.5) = 2.5 \text{ m}^2$$

$$A \text{ total} = 2A1 + A2 = 2 \times 1.5 + 2.5 = 5.5 \text{ m}^2$$

$$Y1 = 1.5 \text{ m}$$

$$Y2 = 0.25 \text{ m}$$

$$Yc = \frac{\frac{A1Y1 + A2Y2}{A \text{ total}}}{\frac{1.5 \times 1.5 + 2.5 \times 0.25}{5.5}}$$

$$Yc = 0.932 \text{ m}$$

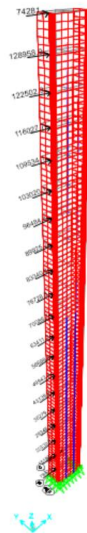
Maka, gaya gempa nantinya akan dikenakan pada sumbu X = 3 m dan Y = 0.932 m untuk dinding geser Tipe 1, sedangkan untuk dinding geser Tipe 2 gaya gempa akan dikenakan pada sumbu X = 3 m dan Y = 3 m. Distribusi vertikal gaya gempa dapat dilihat pada tabel dibawah ini

Tabel 4. 37 Distribusi Vertikal Gaya Gempa pada Dinding Geser Tipe 1

| Lantai | wx (kg) | hx (m) | hx^k | wx.hx^k | Cvx | Fx (kg) | Fy (kg) |
|----------|-----------|--------|-------|--------------|-------|----------|----------|
| 20 | 1045862.2 | 84.0 | 67.31 | 70394674.0 | 0.053 | 74281.0 | 164273.0 |
| 19 | 1906386.1 | 79.8 | 64.11 | 122211932.7 | 0.092 | 128958.9 | 285193.7 |
| 18 | 1906386.1 | 75.6 | 60.90 | 116093143.6 | 0.088 | 122502.3 | 270914.9 |
| 17 | 1906386.1 | 71.4 | 57.68 | 109957325.2 | 0.083 | 116027.7 | 256596.4 |
| 16 | 1906386.1 | 67.2 | 54.45 | 103803423.0 | 0.079 | 109534.1 | 242235.6 |
| 15 | 1906386.1 | 63.0 | 51.21 | 97630246.9 | 0.074 | 103020.1 | 227829.9 |
| 14 | 1906386.1 | 58.8 | 47.96 | 91436443.5 | 0.069 | 96484.4 | 213376.0 |
| 13 | 1906386.1 | 54.6 | 44.70 | 85220460.4 | 0.064 | 89925.2 | 198870.4 |
| 12 | 1906386.1 | 50.4 | 41.43 | 78980499.3 | 0.060 | 83340.8 | 184308.9 |
| 11 | 1906386.1 | 46.2 | 38.14 | 72714453.1 | 0.055 | 76728.8 | 169686.4 |
| 10 | 1906386.1 | 42.0 | 34.84 | 66419819.5 | 0.050 | 70086.7 | 154997.3 |
| 9 | 1906386.1 | 37.8 | 31.52 | 60093579.7 | 0.045 | 63411.2 | 140234.4 |
| 8 | 1906386.1 | 33.6 | 28.19 | 53732021.4 | 0.041 | 56698.4 | 125389.0 |
| 7 | 1906386.1 | 29.4 | 24.83 | 47330471.3 | 0.036 | 49943.4 | 110450.4 |
| 6 | 1906386.1 | 25.2 | 21.45 | 40882870.3 | 0.031 | 43139.9 | 95404.2 |
| 5 | 1906386.1 | 21.0 | 18.03 | 34381054.7 | 0.026 | 36279.1 | 80231.6 |
| 4 | 1906386.1 | 16.8 | 14.59 | 27813438.5 | 0.021 | 29348.9 | 64905.4 |
| 3 | 1906386.1 | 12.6 | 11.10 | 21162300.8 | 0.016 | 22330.6 | 49384.3 |
| 2 | 1906386.1 | 8.4 | 7.55 | 14397138.7 | 0.011 | 15192.0 | 33597.2 |
| 1 | 1906386.1 | 4.2 | 3.91 | 7452426.3 | 0.006 | 7863.9 | 17391.0 |
| Basement | 1906386.1 | 0.0 | 0.00 | 0.0 | 0.000 | 0.0 | 0.0 |
| | | | SUM | 1322107722.9 | 1.0 | | |

Tabel 4. 38 Distribusi Vertikal Gaya Gempa pada Dinding Geser Tipe 2

| Lantai | wx (kg) | hx (m) | hx^k | wx.hx^k | Cvx | Fx (kg) | Fy (kg) |
|----------|-----------|--------|-------|--------------|-------|---------|----------|
| 20 | 1045862.2 | 84.0 | 67.31 | 70394674.0 | 0.053 | 50477.0 | 107334.5 |
| 19 | 1906386.1 | 79.8 | 64.11 | 122211932.7 | 0.092 | 87633.0 | 186343.1 |
| 18 | 1906386.1 | 75.6 | 60.90 | 116093143.6 | 0.088 | 83245.4 | 177013.5 |
| 17 | 1906386.1 | 71.4 | 57.68 | 109957325.2 | 0.083 | 78845.7 | 167657.9 |
| 16 | 1906386.1 | 67.2 | 54.45 | 103803423.0 | 0.079 | 74433.0 | 158274.7 |
| 15 | 1906386.1 | 63.0 | 51.21 | 97630246.9 | 0.074 | 70006.5 | 148862.1 |
| 14 | 1906386.1 | 58.8 | 47.96 | 91436443.5 | 0.069 | 65565.2 | 139418.1 |
| 13 | 1906386.1 | 54.6 | 44.70 | 85220460.4 | 0.064 | 61107.9 | 129940.2 |
| 12 | 1906386.1 | 50.4 | 41.43 | 78980499.3 | 0.060 | 56633.5 | 120425.8 |
| 11 | 1906386.1 | 46.2 | 38.14 | 72714453.1 | 0.055 | 52140.4 | 110871.6 |
| 10 | 1906386.1 | 42.0 | 34.84 | 66419819.5 | 0.050 | 47626.8 | 101273.9 |
| 9 | 1906386.1 | 37.8 | 31.52 | 60093579.7 | 0.045 | 43090.5 | 91627.9 |
| 8 | 1906386.1 | 33.6 | 28.19 | 53732021.4 | 0.041 | 38528.9 | 81928.1 |
| 7 | 1906386.1 | 29.4 | 24.83 | 47330471.3 | 0.036 | 33938.7 | 72167.3 |
| 6 | 1906386.1 | 25.2 | 21.45 | 40882870.3 | 0.031 | 29315.4 | 62336.3 |
| 5 | 1906386.1 | 21.0 | 18.03 | 34381054.7 | 0.026 | 24653.2 | 52422.6 |
| 4 | 1906386.1 | 16.8 | 14.59 | 27813438.5 | 0.021 | 19943.8 | 42408.6 |
| 3 | 1906386.1 | 12.6 | 11.10 | 21162300.8 | 0.016 | 15174.6 | 32267.3 |
| 2 | 1906386.1 | 8.4 | 7.55 | 14397138.7 | 0.011 | 10323.6 | 21952.1 |
| 1 | 1906386.1 | 4.2 | 3.91 | 7452426.3 | 0.006 | 5343.8 | 11363.1 |
| Basement | 0.0 | 0.0 | 0.00 | 0.0 | 0.000 | 0.0 | 0.0 |
| | | | SUM | 1322107722.9 | 1.0 | | |



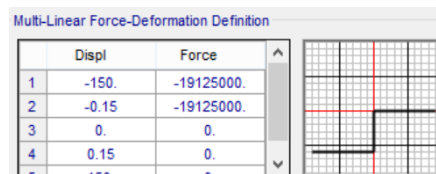
Gambar 4. 46 Pembebaan Beban Gempa Arah X pada Dinding Geser Tipe 1

4.4.5.2 Permodelan Dinding Geser

Permodelan dinding geser *self-centering* pada program SAP2000 dilakukan secara non-linear, dikarenakan respon struktur yang juga berbentuk non-linear yang disebabkan oleh terbentuknya *gap opening* di dasar dinding geser. Untuk memodelkan *gap opening* ini maka digunakan *link element multilinear elastic* sebagai *link* pondasi. Dengan *link element* ini, dinding geser dapat terhubung dengan pondasi dan di saat bersamaan dapat menyimulasikan *uplift* tanpa membuat dinding geser terdeformasi. *Properties* dari *link* pondasi ini adalah sebagai berikut

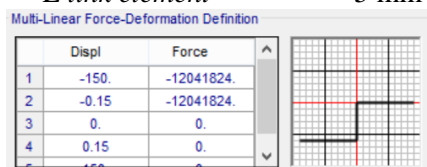
- U1 *Directional Properties*
 - tw = 500 mm
 - L *mesh shear wall* = 1000 mm

- A mesh shear wall $= L \times tw = 500000 \text{ mm}^2$
- $\sigma = 0.85fc' = 38.25 \text{ MPa}$
- $P = \sigma \times A = 19125000 \text{ N}$
- $\epsilon = 0.003$
- L link element $= 5 \text{ mm}$
- $\Delta L = 0.15 \text{ mm}$

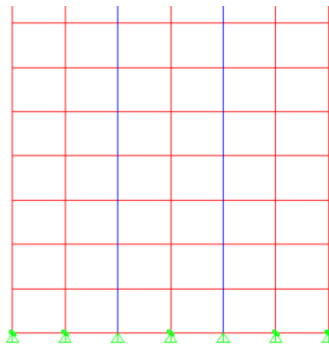


Gambar 4.47 Properties Link Element Arah U1

- U2 Directional Properties
- A mesh shear wall $= L \times tw = 500000 \text{ mm}^2$
- $c = 2 \text{ MPa}$
- $\phi = 30^\circ$
- $\sigma = 0.85fc' = 38.25 \text{ MPa}$
- $\tau (c + \sigma \tan\phi) = 24.08 \text{ MPa}$
- $P = \sigma \times A = 12041823.9 \text{ N}$
- $E = 31528.55 \text{ MPa}$
- $v = 0.2$
- $G (E/2(1+v)) = 12126.36 \text{ MPa}$
- $E (\tau/G) = 0.002$
- L link element $= 5 \text{ mm}$



Gambar 4.48 Properties Link Element Arah U2 dan U3



Gambar 4. 49 *Link Element* Sebagai *Link Pondasi*

Untuk memodelkan tendon, digunakan *frame section*. *Frame* kemudian diberi *compression limit* dengan $\sigma = 0$ untuk tekan. *Frame* berbentuk lingkaran dengan luas disesuaikan dengan jumlah strand didalam tendon. Misalkan jumlah strand adalah 5 dengan luas satu strand 12.7 mm, maka

$$A \text{ tendon} = 12.7 \times 5 = 493.55 \text{ mm}^2$$

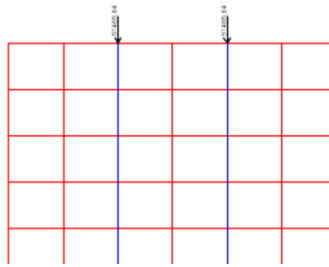
Menurut Gerosa dan Meroni (2015), tegangan awal tendon prategang (fpi) harus berkisar antara 55-65% fpu untuk menghindari terjadinya pelehan (*yielding*) tendon.

$$f_{pu} = 1860 \text{ MPa}$$

$$f_{pi} = 55\% \times 1860 = 1023 \text{ MPa}$$

$$F_i = 1023 \times 493.55 = 504901.65 \text{ N}$$

Sehingga pada permodelan, *frame* sebagai tendon diberi gaya terpusat pada ujung atasnya searah gravitasi seperti pada gambar dibawah ini



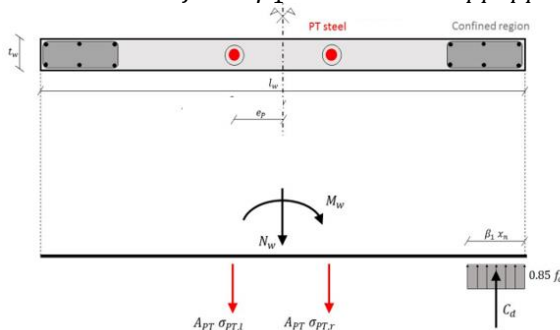
Gambar 4. 50 Permodelan Gaya pada Tendon

4.4.5.3 Desain Dinding Geser

4.4.5.3.1 Tendon

Untuk menentukan luas tendon yang diperlukan dalam dinding geser *self-centering* dapat digunakan persamaan equilibrium dimana

$$Cd = 0.85fc'tw\beta_1xn = Nu + 2A_{PT}\sigma_{PT}$$



Gambar 4. 51 Visualisasi Persamaan Equilibrium

Dimana

fc' : kuat tekan beton

tw : tebal dinding geser

β_1 : 0.729 (RSNI 2847:2018 tabel 22.2.2.4.3)

xn : panjang dinding geser yang mengalami tekan

Nu : gaya aksial rencana

- A_{PT} : luas tendon
 σ_{PT} : tegangan pada tendon

Dengan cara coba-coba, didapat jumlah strand paling ideal adalah 5 untuk tiap tendon pada setiap dinding geser. Contoh perhitungan sebagai berikut

- Gaya aksial rencana pada tiap dinding geser menggunakan *load case envelope* kombinasi dimana gempa sebagai beban utamanya

$$Nu SW 1 = 1312898.46 \text{ N}$$

$$Nu SW 2 = 1805991.24 \text{ N}$$

- σ_{PT} pada tiap dinding geser (n strand = 5, $A_{PT} = 493.55 \text{ mm}^2$)

$$\sigma_{PT} SW 1 = \sigma_{PT} SW 2 = f_{pi}$$

$$f_{pu} = 1860 \text{ MPa}$$

$$f_{pi} = 55\% f_{pu}$$

$$\sigma_{PT} = 55\% \times 1860 \text{ MPa} = 1023 \text{ MPa}$$

Sehingga dengan menggunakan persamaan equilibrium didapat xn sebagai berikut

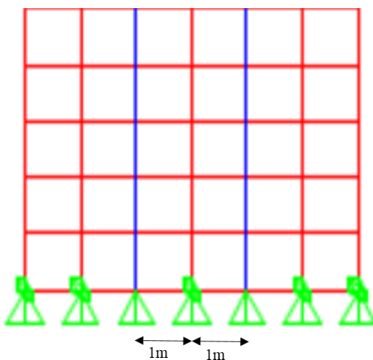
$$xn SW1 = \frac{Nu SW1 + 2A_{PT}\sigma_{PT} SW1}{0.85f'c'tw\beta_1} = \frac{1312898.46 + 2 \times 493.55 \times 1023}{0.85 \times 45 \times 50 \times 0.729}$$

$$xn SW1 = 996.8 \text{ mm} \approx 1000 \text{ mm}$$

$$xn SW2 = \frac{Nu SW2 + 2A_{PT}\sigma_{PT} SW2}{0.85f'c'tw\beta_1} = \frac{1805991.24 + 2 \times 493.55 \times 1023}{0.85 \times 45 \times 50 \times 0.729}$$

$$xn SW2 = 1343.95 \text{ mm} \approx 1400 \text{ mm}$$

Tendon harus dipasang diluar xn . Oleh karena itu, pada kedua tipe dinding geser direncanakan tendon terletak berjarak 1 m dari sumbu netral

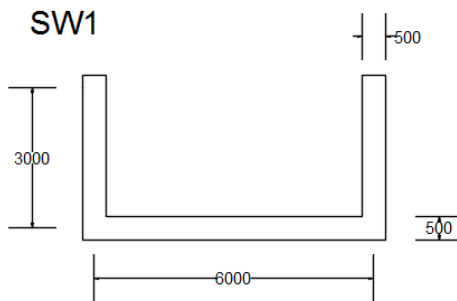


Gambar 4. 52 Eksentrisitas Tendon terhadap Sumbu Netral Dinding Geser

4.4.5.3.2 Tulangan Lunak

Sebagai contoh perhitungan, akan didesain tulangan dinding geser Tipe 1 menggunakan sistem *self-centering*. Data perencanaan dari dinding geser Tipe 1 adalah sebagai berikut

- f'_c : 45 MPa
- f_y : 420 MPa
- f_{pu} : 1860 MPa
- l_x : 6000 mm
- l_y : 3000 mm
- tebal (h) : 500 mm
- β_1 : 0.728 (RSNI 2847:2018 pasal 22.2.2.4.3)
- $d_x = 0.8 l_x$: 4800 mm (RSNI 2847:2018 ps 11.5.4.2)
- $d_y = 0.8 l_y$: 2400 mm (RSNI 2847:2018 ps 11.5.4.2)



Gambar 4. 53 Dinding Geser Tipe 1

Menggunakan *load case envelope* kombinasi yang menggunakan beban mati dan beban hidup sebagai beban utamanya, didapat gaya sebagai berikut:

$$P_u : 67112694.52 \text{ N}$$

$$V_{ux} : 5939392.66 \text{ N}$$

$$V_{uy} : 6634086.33 \text{ N}$$

$$M_{ux} : -282059586 \text{ Nmm}$$

$$M_{uy} : 548169957 \text{ Nmm}$$

Nilai V_c dihitung berdasarkan rumus pada RSNI 2847:2018 pasal 11.5.4.6. Contoh perhitungan menggunakan gaya geser sebidang pada sumbu X

$$V_c = 0.17 \lambda \sqrt{f'c'} h d$$

$$V_c = 0.17 \times 1 \times \sqrt{45} \times 500 \times 4800$$

$$V_c = 2736947.204 \text{ N}$$

$$0.5\phi V_c = 0.5 \times 0.75 \times 2736947.204 = 1026355.20 \text{ N} < V_{ux}$$

Karena $V_u > 0.5\phi V_c$, maka kriteria berikut harus dipenuhi:

- ρ_t tidak boleh kurang dari 0.0025
- ρ_l diambil yang terbesar dari persamaan berikut

$$\rho_l \geq 0.0025 + 0.5(2.5 - hw/lw)(\rho_t - 0.0025)$$

dan 0.0025, tapi tidak melebihi nilai ρ_t

Direncanakan tulangan melintang

$$D_{tul} = 29 \text{ mm}$$

$$Av \text{ (2 lapis)} = 1321.04 \text{ mm}^2$$

$$Cover = 40 \text{ mm}$$

$$d' = 500 - 40 - 29/2 = 445.5 \text{ mm}$$

Menurut RSNI 2847:2018 pasal 11.7.3.2, spasi tulangan melintang pada dinding *precast*, apabila tulangan geser dibutuhkan, tidak boleh melebihi yang terkecil dari

- $3h = 3 \times 500 = 1500 \text{ mm}$
- 450 mm
- $Lw/5 = 6000/5 = 1200 \text{ mm}$

Diambil spasi maksimum 450 mm

Misal digunakan spasi antar tulangan 150 mm, maka rasio tulangan transversal adalah

$$\rho_t = \frac{Av}{d' \times s} = \frac{1321.04}{445.5 \times 150} = 0.0197 > 0.0025 \text{ (OK)}$$

Direncanakan tulangan longitudinal

$$\rho_l \geq 0.0025 + 0.5(2.5 - 4.2/6)(0.0197 - 0.0025)$$

$$\rho_l \geq 0.0180 < \rho_t \text{ (OK)}$$

$$D_{tul} = 29 \text{ mm}$$

$$Av \text{ (2 lapis)} = 1321.04 \text{ mm}^2$$

$$Cover = 40 \text{ mm}$$

$$d' = 500 - 40 - 29/2 = 445.5 \text{ mm}$$

Menurut RSNI 2847:2018 pasal 11.7.2.2, spasi tulangan longitudinal pada dinding *precast*, apabila tulangan geser dibutuhkan, tidak boleh melebihi yang terkecil dari

- $3h = 3 \times 500 = 1500 \text{ mm}$
- 450 mm
- $Lw/3 = 6000/3 = 2000 \text{ mm}$

Diambil spasi maksimum 450 mm

Misal digunakan spasi antar tulangan 150 mm, maka rasio tulangan longitudinal adalah

$$\rho_l = \frac{Av}{d'x s} = \frac{1321.04}{445.5 \times 150} = 0.0197 > 0.018 \text{ (OK)}$$

Menurut SNI 18.10.4.1, V_n dinding struktur tidak boleh melebihi rumus berikut

$$V_n \leq Acv(\alpha_c \lambda \sqrt{fc'} + \rho_t f_y)$$

$$hw/lw = 4200/6000 = 0.7 \leq 1.5, \alpha_c = 0.25$$

Acv = luas bruto penampang dinding geser pada bidang searah

$$Acv = 6000 \times 500 = 3000000 \text{ mm}^2$$

$$V_n \leq Acv(\alpha_c \lambda \sqrt{fc'} + \rho_t f_y)$$

$$V_n \leq 3000000(0.25 \times 1 \times \sqrt{45} + 0.0197 \times 420)$$

$$V_n \leq 29939645.81 \text{ N}$$

$$V_s = \frac{Av \times f_y \times d'}{s} = \frac{1321.04 \times 420 \times 445.5}{150} = 17754773.71 \text{ N}$$

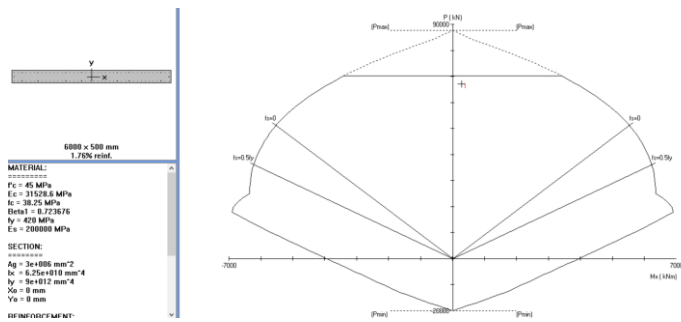
$$V_n = V_c + V_s = 2736947.2 + 17754773.71$$

$$V_n = 20491720.92 \text{ N} < 29939645.81 \text{ N (OK)}$$

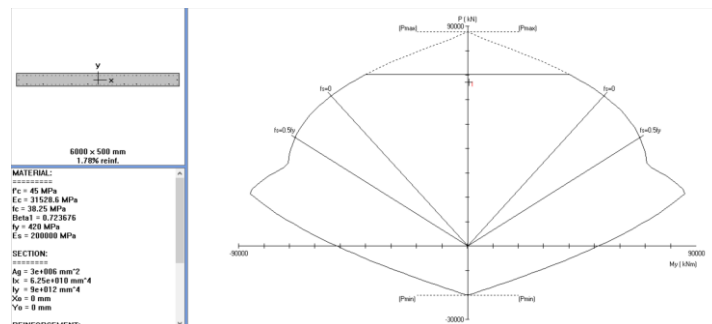
$$\phi V_n = 0.75 \times 20491720.92 = 15368790.69 \text{ N} < V_{ux} \text{ (OK)}$$

Dengan cara yang sama, dihitung tulangan transversal dan longitudinal pada sumbu Y dan didapat tulangan transversal dan longitudinal D29-150 mm.

Dinding geser kemudian dicek menggunakan spColumn untuk mengecek kapasitas aksial lenturnya. Hasil dari pengecekan pada bidang sumbu X adalah sebagai berikut

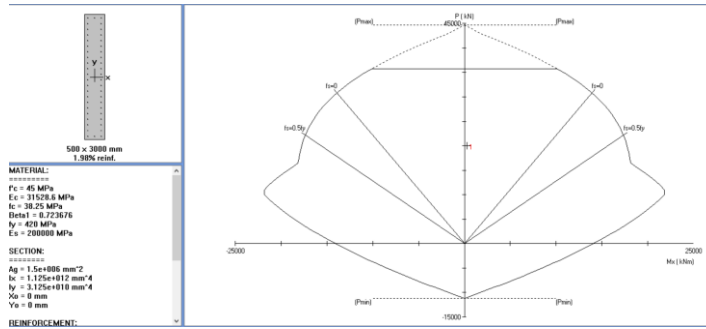


Gambar 4. 54 Output spColumn Dinding Geser Tipe 1 Bidang X Gaya X

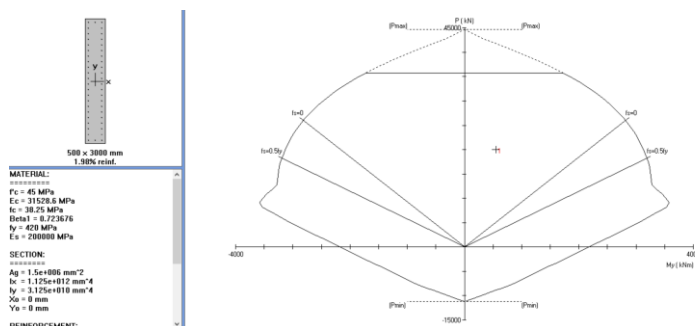


Gambar 4. 55 Output spColumn Dinding Geser Tipe 1 Bidang X Gaya Y

Dari output spColumn didapat
 $\varphi M_n = 3870.41 \text{ kNm} = 3870410000 \text{ Nmm} > M_{uX} (\text{OK})$
 $C (\text{NA depth}) = 539 \text{ mm}$



Gambar 4.56 Output spColumn Dinding Geser Tipe 1
Bidang Y Gaya X



Gambar 4.57 Output spColumn Dinding Geser Tipe 1
Bidang Y Gaya Y

Dari output spColumn didapat

$$\varphi M_n = 3131.27 \text{ kNm} = 3131270000 \text{ Nmm} > M_u (\text{OK})$$

Cc 330 mm

Maka untuk dinding geser Tipe 1, digunakan tulangan transversal dan longitudinal D29-150 mm pada bidang sumbu X. Dengan cara yang sama, dihitung keperluan tulangan transversal dan longitudinal pada sumbu Y dan didapat tulangan transversal dan longitudinal D29-150 mm.

Untuk penulangan elemen *boundary*, maka harus dicek tegangan tekan pada ujung dinding geser, dimana apabila tegangan melebihi $0.2f'_c$ maka ujung dinding geser harus diberi tulangan khusus pada tiap ujungnya. Sebagai contoh, ditinjau dinding geser Tipe 1

- Bidang X

$$\frac{Mu}{W} + \frac{Pu}{Ac} > 0.2 f'_c$$

$$\frac{282059586}{\frac{1}{6} \times 500 \times 6000^2} + \frac{67112694.52}{500 \times 6000} > 0.2 \times 45$$

$22.46 \text{ MPa} > 9 \text{ MPa}$ (**Butuh Komponen Batas**)

Nilai δu adalah nilai displacement pada lantai tertinggi pada masing-masing arah.

$$c > \frac{lw}{600(\frac{\delta u}{hw})} ; \quad \frac{\delta u}{hw} > 0.007$$

$$\frac{\delta u}{hw} = \frac{0.112572}{79.8} = 0.00141 < 0.007$$

$\frac{\delta u}{hw}$ pakai = 0.007

$$C > \frac{lw}{600(\frac{\delta u}{hw})} = \frac{6000}{600(0.007)} = 1428.57 \text{ mm} \approx 1500 \text{ mm}$$

Dari spColumn didapat $C = 539 \text{ mm}$

Dari persamaan equilibrium *self-centering* didapat $C = 1000 \text{ mm}$

Maka digunakan $C = 1500 \text{ mm}$

- Bidang Y

$$\frac{Mu}{W} + \frac{Pu}{Ac} > 0.2 f'_c$$

$$\frac{\frac{548169957}{1/6 \times 500 \times 3000^2}}{500 \times 3000} + \frac{29949292}{500 \times 3000} > 0.2 \times 45$$

20.69 MPa > 9 MPa (Butuh Komponen Batas)

Nilai δu adalah nilai displacement pada lantai tertinggi pada masing-masing arah.

$$c > \frac{lw}{600(\frac{\delta u}{hw})} ; \quad \frac{\delta u}{hw} > 0.007$$

$$\frac{\delta u}{hw} = \frac{0.109}{79.8} = 0.00136 < 0.007$$

$$\frac{\delta u}{hw} \text{ pakai} = 0.007$$

$$C > \frac{lw}{600(\frac{\delta u}{hw})} = \frac{3000}{600(0.007)} = 714.28 \text{ mm} \approx 800 \text{ mm}$$

Dari spColumn didapat $C = 330 \text{ mm}$

Dari persamaan equilibrium *self-centering* didapat $C = 1000 \text{ mm}$

Maka digunakan $C = 1000 \text{ mm}$

Sebagai contoh akan didesain tulangan *confinement* pada komponen batas untuk dinding geser tipe 2 dimana panjang komponen batas adalah 1500 mm. Luas tulangan yang dibutuhkan adalah

$$A_{sh\ perlu} = \frac{0.09 sb_c f'_c}{f_y t}$$

Dimana $bc = \text{dimensi inti diukur dari sumbu ke sumbu tulangan transversal}$

Ketentuan spasi maksimum adalah diambil yang terkecil dari

- a. $\frac{1}{4} lx$
- b. $6db$

c. $100 + \frac{350-hx}{3}$ dimana hx adalah spasi tulangan longitudinal

$$\text{a. } \frac{1}{4}lx = \frac{1}{4} \times 3000 = 750 \text{ mm}$$

$$\text{b. } 6db = 6 \times 29 = 174 \text{ mm}$$

$$\text{c. } 100 + \frac{350-150}{3} = 166.67$$

Direncanakan tulangan transversal D22 ($As = 380.13 \text{ mm}^2$) dengan $s = 150 \text{ mm}$

$$Ash \text{ perlu} = \frac{0.09 \times 150 \times 1500 \times 45}{420} = 2169.64 \text{ mm}^2$$

$$n \text{ perlu} = \frac{As \text{ perlu}}{As \text{ D22}} = \frac{2169.64}{380.13} \approx 7$$

Maka untuk komponen batas C=1500 mm, dipasang 7D22

4.4.5.3.3 Tulangan Pengangkuran

Penulangan pengekangan di seluruh pengangkuran harus sedemikian rupa hingga mencegah pembelahan dan bursting yang merupakan hasil dari gaya tekan terpusat besar yang disalurkan melalui alat angkur. Metode perhitungan perencanaan daerah pengangkuran global sesuai dengan RSNI 2847:2018 pasal 25.9.2

$$Pu = 1.2 \times P$$

$$P = 504901.65 \text{ N}$$

$$Pu = 1.2 \times 504901.65 = 605881.98 \text{ N}$$

$$Tpencar = 0.25 \times Pu (1 - a/h)$$

$$dpencar = 0.5 (h - 2e)$$

Dimana:

Pu = Jumlah gaya tendon terfaktor total untuk pengaturan penarikan tendon yang ditinjau

a = Tinggi angkur atau kelompok angkur yang berdekatan pada arah yang ditinjau

- e = Eksentrisitas angkur atau kelompok angkur yang berdekatan terhadap sumbu berat penampang
 h = Tinggi Penampang pada arah yang ditinjau

Diperoleh:

$$a = 150 \text{ mm (angkur strand 5-27, tabel VSL)}$$

$$e = 1000 \text{ mm}$$

$$h = 4800 \text{ mm}$$

Maka:

$$Tpencar = 0.25 \times 605881.98 (1 - 150/4800) = 146737.04 \text{ N}$$

$$dpencar = 0.5 (4800 - 2 \times 1000) = 1400 \text{ mm}$$

$$Avp = (T pencar)/fy = 146737.04/420 = 349.37 \text{ mm}^2$$

Digunakan tulangan spiral D13 ($Av = 132.73 \text{ mm}^2$, 2 kaki), maka kebutuhan tulangan ialah sebanyak

$$n = 349.73/132.73 \approx 3 \text{ buah}$$

Spasi antar sengkang dihitung dengan cara sebagai berikut

$$S = (d pencar)/n = 1400/3 = 466.67 \text{ mm}$$

Dikarenakan panjang dpencar yang tidak mencukupi, maka spasi antar tulangan diperkecil menjadi 50 mm agar dpencar dapat dikurangi menjadi 700 mm

4.4.5.4 Hasil Permodelan

Dari permodelan menggunakan program SAP2000, didapatkan hasil sebagai berikut

- SW 1

| | |
|---------------|------------|
| Gap opening | = 0.0616 m |
| Roof Drift | = 2.879 m |
| $\delta PT 1$ | = 0.0099 m |
| $\delta PT 2$ | = 0.0011 m |

Diketahui

$$E \text{ tendon} = 186000 \text{ MPa}$$

Tinggi dinding geser total (+basement) = 84 m

$$fpy = 0.85 \text{ fpu} = 1581 \text{ MPa}$$

$$\epsilon \text{ PT 1} = \frac{\delta}{84} + \frac{0.74fpu}{Eps} = \frac{0.0099}{84} + \frac{0.74 \times 1860}{186000} = 0.00751$$

$$\epsilon \text{ PT 2} = \frac{\delta}{84} + \frac{0.74fpu}{Eps} = \frac{0.0011}{84} + \frac{0.74 \times 1860}{186000} = 0.00741$$

$$\sigma \text{ PT 1} = E \times \epsilon = 186000 \times 0.00751 = 1398.32 \text{ MPa} < fpy$$

$$\sigma \text{ PT 2} = E \times \epsilon = 186000 \times 0.00741 = 1378.83 \text{ MPa} < fpy$$

- SW 2

$$\text{Gap opening} = 0.0222 \text{ m}$$

$$\text{Roof Drift} = 0.8354 \text{ m}$$

$$\delta_{PT 1} = 0.0022 \text{ m}$$

$$\delta_{PT 2} = 0.0005 \text{ m}$$

Diketahui

$$E \text{ tendon} = 186000 \text{ MPa}$$

Tinggi dinding geser total (+basement) = 84 m

$$fpy = 0.85 \text{ fpu} = 1581 \text{ MPa}$$

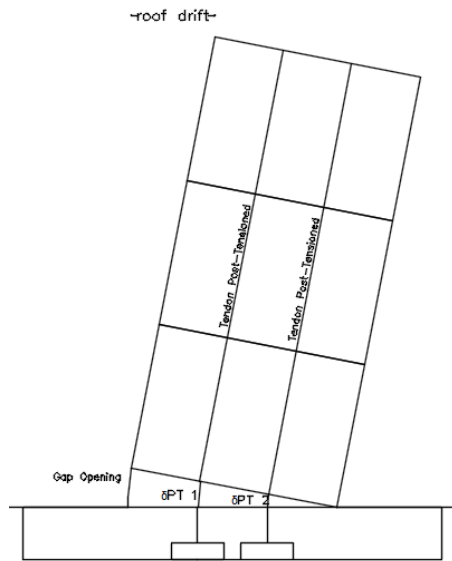
$$\epsilon \text{ PT 1} = \frac{\delta}{84} + \frac{0.74fpu}{Eps} = \frac{0.0022}{84} + \frac{0.74 \times 1860}{186000} = 0.00742$$

$$\epsilon \text{ PT 2} = \frac{\delta}{84} + \frac{0.74fpu}{Eps} = \frac{0.0005}{84} + \frac{0.74 \times 1860}{186000} = 0.00740$$

$$\sigma \text{ PT 1} = E \times \epsilon = 186000 \times 0.00742 = 1381.27 \text{ MPa} < fpy$$

$$\sigma \text{ PT 2} = E \times \epsilon = 186000 \times 0.00740 = 1377.51 \text{ MPa} < fpy$$

Apabila tegangan tendon < fpy, maka tendon bersifat elastis dan sifat *self-centering* akan terjadi, sehingga dinding geser akan kembali ke posisi semula setelah terkena beban gempa



Gambar 4. 58 Visualisasi Reaksi Linear Dinding Geser *Self-Centering*

4.4.5.5 Perencanaan *Shear Key*

Shear key digunakan untuk menghubungkan antar elemen dinding geser *precast*. Untuk itu perlu dilakukan perhitungan agar *shear key* mampu menahan gaya geser yang akan terjadi. Dibawah ini adalah contoh perhitungan kebutuhan *shear key* untuk dinding geser tipe 1

Data perencanaan *shear key*

Panjang = 500 mm

Tinggi = 50 mm

Data perencanaan dinding geser

$$\begin{aligned}
 bw &= 6000 \text{ mm} \\
 d &= 500 \\
 Nu &= 1312898.46 \text{ N} \\
 Ag &= 5500000 \text{ mm}^2
 \end{aligned}$$

Kuat geser dinding akibat beban aksial dapat dihitung dengan rumus SNI 2847:2018 pasal 22.5.6.1 sebagai berikut

$$Vc = 0.17 \left(1 + \frac{Nu}{14Ag} \right) \lambda \sqrt{fc'} bwd$$

$$Vc = 0.17 \left(1 + \frac{1312898.46}{14 \times 5500000} \right) \times 1 \times \sqrt{45} \times 6000 \times 500$$

$$Vc = 3479517.34 \text{ N}$$

Kuat geser dinding akibat *shear key* dapat dihitung dengan rumus berikut

$$\text{Luas } shear key = 500 \times 50 = 25000 \text{ mm}^2$$

$$v = \sqrt{fc'} = 6.78 \text{ MPa} \text{ (SNI 2847:2018 pasal 22.5.3)}$$

$$\begin{aligned}
 Vc &= A \text{ } shear key \times v \\
 &= 167705.09 \text{ N}
 \end{aligned}$$

Diambil Vc terkecil

$$Vc = 167705.09 \text{ N}$$

$$\phi Vc = 0.75 \times 167705.09 = 125778.82 \text{ N}$$

Dari output SAP2000 didapat gaya geser terbesar adalah

$$Vu = 1830715 \text{ N}$$

$$n \text{ gigi } shear key = \frac{1830715}{125778.82} = 14.55 \approx 15$$

4.5 Perencanaan Pondasi

Beban struktur menentukan bagaimana perencanaan pondasi yang akan dilakukan. Beban struktur disalurkan melalui kolom atau dinding geser kemudian ke tiang pancang.

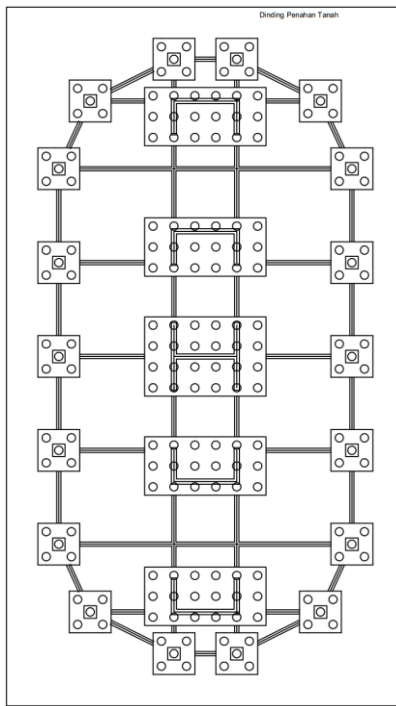
Beban yang bekerja pada pondasi dihitung menggunakan kombinasi pembebanan dasar yang terdapat pada SNI 1726:2018 pasal 4.2.3.1 untuk metoda tegangan ijin. Kombinasi beban-beban dibawah ini adalah kombinasi beban untuk menghitung tiang pancang dengan desain tegangan ijin.

1. 1D
2. 1D + 1L
3. 1D + 1Lr
4. 1D + 0,75L + 0,75Lr
5. 1D + 0,7E
6. 1D + 0,75 (0,7E) + 0,75L + 0,75Lr
7. 0,6D + 0,7E

dimana menurut SNI 1726:2018 pasal 7.4.2, E pada kombinasi 5 dan 6 sama dengan Eh+Ev dan E pada kombinasi 7 sama dengan Eh- Ev

Dari kombinasi beban di atas dilakukan kontrol dari masing-masing kombinasi untuk menentukan perhitungan jumlah tiang pancang, defleksi dan momen yang terjadi pada reaksi perletakan.

Dalam Tugas Akhir ini, terdapat tiga jenis pondasi dimana pondasi Tipe 1 memikul kolom dan pondasi Tipe 2 dan 3 memikul dinding geser. Gambar dari denah pondasi dan tipe-tipe pondasi dapat dilihat pada gambar dibawah ini



Gambar 4. 59 Denah Pondasi

4.5.1 Spesifikasi Tiang Pancang

Pada perencanaan pondasi gedung ini, digunakan pondasi tiang pancang jenis *Prestressed Concrete Spun Piles* Produk dari PT. Wika Beton.

1. Tiang pancang beton pracetak (*precast concrete pile*) dengan bentuk penampang bulat.
2. Mutu beton tiang pancang $f_c' = 52 \text{ Mpa}$ (*concrete cube compressive strength is } 600 \text{ kg/cm}^2 \text{ at 28 days}*).

Berikut ini, spesifikasi tiang pancang yang akan digunakan,

- Diameter tiang : 800 mm
- Tebal tiang : 120 mm
- *Concrete cross section* : 2563.54 cm²
- Berat : 641 kg/m
- Panjang : 6 – 22 m
- *Bending moment crack* : 40 t.m
- *Bending momen ultimate* : 60 t.m
- *Allowable axial load* (Pn) : 415 ton

4.5.3 Data Tanah

Data tanah yang digunakan dalam perencanaan ini merupakan data tanah yang diambil dari lokasi gedung Office Ciputra World Surabaya 3. Data tanah tersebut yaitu penyelidikan tanah hasil uji Standard Penetration Test (SPT) yang dapat dilihat pada bagian lampiran.

Daya dukung pada pondasi tiang pancang ditentukan oleh dua aspek, yaitu daya dukung perlawanan tanah dari unsur dasar tiang pondasi (Q_p) dan daya dukung tanah dari unsur lekatan lateral tanah (Q_s). Sehingga daya dukung total dari tanah dapat dirumuskan sebagai berikut.

$$Q_u = Q_s + Q_p$$

Disamping peninjauan berdasarkan kekuatan tanah tempat pondasi tiang pancang di tanam, daya dukung suatu tiang juga harus ditinjau berdasarkan kekuatan bahan tiang pancang tersebut. Hasil daya dukung yang menentukan yang dipakai sebagai daya dukung ijin tiang.

Daya dukung SPT dari lapangan harus dikoreksi terlebih dahulu terhadap data SPT asli. Metode perhitungan menggunakan cara dari Terzaghi Bazaraa 1960, adapun perhitungannya adalah sebagai berikut:

- Koreksi terhadap muka air tanah

Khusus untuk tanah berpasir halus, pasir berlanau, dan pasir berlempung, yang berada dibawah muka air tanah dan hanya bila $N > 15$.

a. $N_1 = 15 + \frac{1}{2}(N-15)$

b. $N_1 = 0.6 N$

Kemudian pilih nilai N_1 yang terkecil.

- Koreksi terhadap overburden pressure dari tanah
Dari harga N_1 dikoreksi lagi untuk pengaruh tekanan tanah vertical.

$$N_2 = \frac{4N_1}{(1+0.4p_o)} \text{ untuk } p_o < 7,5 \text{ ton/m}^2$$

atau

$$N_2 = \frac{4N_1}{(3,25+0,1p_o)} \text{ untuk } p_o > 7,5 \text{ ton/m}^2$$

Dengan p_o sebagai tekanan tanah vertikal efektif pada lapisan atau kedalaman yang ditinjau.

4.5.4 Perhitungan Daya Dukung Satu Tiang Pancang

Perhitungan daya dukung tiang pancang ini dilakukan berdasarkan hasil uji Standard Penetration Test (SPT) dengan rumus sebagai berikut.

$$Q_u = Q_p + Q_s$$

$$Q_p = Cn \times A_{ujung} = 40\tilde{N} \times A_{ujung}$$

$$Q_s = \sum C_{li} \times A_{si}$$

Keterangan:

\tilde{N} = Harga rata – rata N2 4D dibawah ujung sampai dengan 8D diatas ujung tiang

C_{li} = $N/2$ untuk tanah lempung atau lanau dan $N/5$ untuk tanah pasir

A_{si} = Luas selimut tiang pada segmen $i = O_i \times h_i$ O_i = Keliling tiang

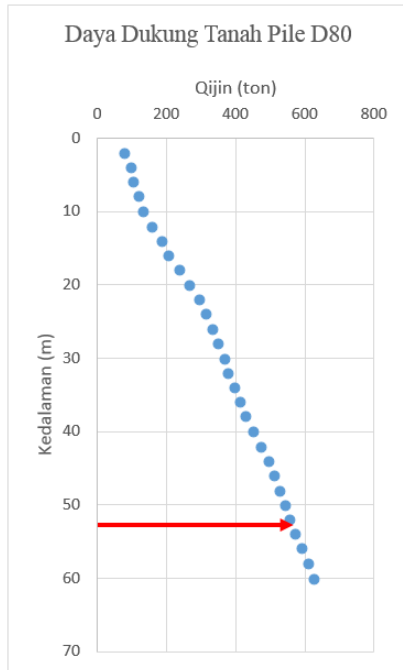
Daya dukung ijin dari satu tiang pancang yang berdiri sendiri adalah daya dukung tiang total dibagi dengan suatu angka keamanan.

$$P_{ijin\ 1\ tiang} = \frac{Q_{ult}}{SF}$$

Dalam perencanaan tiang pancang ini digunakan SF = 3.

Tabel 4. 39 Daya Dukung Tanah untuk *Pile* D80 pada Kedalaman 2 - 60 m

| Kedalaman (m) | N (blow) | Q _p ton | Q _s ton | Q _{ult} ton | Q _{ijin} ton |
|------------------|-------------|-----------------------|-----------------------|-------------------------|--------------------------|
| 2 | 4 | 134.80 | 20.11 | 154.90 | 51.63 |
| 4 | 3 | 157.57 | 33.33 | 190.91 | 63.64 |
| 6 | 5 | 157.83 | 50.55 | 208.38 | 69.46 |
| 8 | 10 | 166.55 | 78.79 | 245.34 | 81.78 |
| 10 | 8 | 176.55 | 98.65 | 275.19 | 91.73 |
| 12 | 11 | 203.30 | 124.91 | 328.21 | 109.40 |
| 14 | 12 | 231.79 | 152.52 | 384.31 | 128.10 |
| 16 | 15 | 249.41 | 185.81 | 435.22 | 145.07 |
| 18 | 18 | 276.44 | 224.39 | 500.83 | 166.94 |
| 20 | 20 | 298.46 | 265.85 | 564.31 | 188.10 |
| 22 | 20 | 316.98 | 305.98 | 622.96 | 207.65 |
| 24 | 22 | 321.43 | 348.76 | 670.18 | 223.39 |
| 26 | 22 | 326.92 | 390.25 | 717.17 | 239.06 |
| 28 | 20 | 324.71 | 426.88 | 751.58 | 250.53 |
| 30 | 24 | 327.33 | 469.58 | 796.91 | 265.64 |
| 32 | 23 | 314.02 | 509.38 | 823.40 | 274.47 |
| 34 | 25 | 316.23 | 551.47 | 867.71 | 289.24 |
| 36 | 20 | 321.43 | 584.27 | 905.71 | 301.90 |
| 38 | 27 | 323.30 | 627.43 | 950.73 | 316.91 |
| 40 | 26 | 329.64 | 667.95 | 997.59 | 332.53 |
| 42 | 29 | 335.40 | 712.06 | 1047.46 | 349.15 |
| 44 | 30 | 342.72 | 756.61 | 1099.32 | 366.44 |
| 46 | 32 | 336.95 | 803.03 | 1139.97 | 379.99 |
| 48 | 27 | 338.99 | 841.31 | 1180.30 | 393.43 |
| 50 | 28 | 336.84 | 880.14 | 1216.98 | 405.66 |
| 52 | 31 | 327.73 | 922.19 | 1249.93 | 416.64 |
| 54 | 32 | 323.60 | 964.69 | 1288.29 | 429.43 |
| 56 | 29 | 329.17 | 1002.41 | 1331.57 | 443.86 |
| 58 | 34 | 332.88 | 1045.73 | 1378.61 | 459.54 |
| 60 | 34 | 331.99 | 1088.19 | 1420.17 | 473.39 |



Gambar 4. 60 Grafik Daya Dukung Tanah untuk Tiang Pancang Diameter 80 cm

Dari tabel dan grafik diatas, didapat Qijin untuk satu tiang pancang = 416.64 ton.

Karena Qijin > P pile dari spesifikasi WIKA Beton, maka yang Pijin yang menentukan adalah P pile yang sebesar 415 ton. Beban maksimum yang bekerja pada satu tiang dalam tiang kelompok dihitung berdasarkan gaya aksial dan momen yang bekerja. Rumus yang digunakan untuk menghitung beban maksimum tiap tiang adalah sebagai berikut

$$P_{max} = \frac{P}{n} \pm \frac{My \cdot x_{max}}{\sum x^2} \pm \frac{Mx \cdot y_{max}}{\sum y^2}$$

Sebagai contoh perhitungan, akan dihitung Pmax pada masing-masing tiang pancang pada pondasi Tipe 1. Pembebanan pada pondasi Tipe 1 dapat dilihat pada tabel dibawah ini

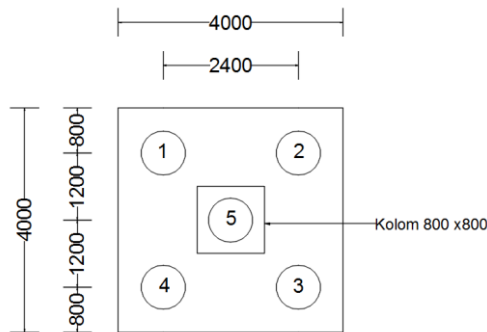
Tabel 4. 40 Pembebanan Pondasi Tipe 1

| Kombinasi | F3 (kg) | F1 (kg) | F2 (kg) | M1 (kgm) | M2 (kgm) | n Pile |
|--|-----------|----------|----------|-----------|----------|--------|
| 1D | 1242956.1 | 3956.27 | 669.32 | -1565.38 | 5816.96 | 3.54 |
| 1D+1L | 1446557.7 | 3842.71 | 770.72 | -1810.47 | 5704.57 | 4.13 |
| 1D+1L _r | 1242956.1 | 3956.27 | 669.32 | -1565.38 | 5816.96 | 3.54 |
| 1D+0.75L+0.75L _r | 1395657.3 | 3871.1 | 745.37 | -1749.2 | 5732.67 | 3.98 |
| 1D+0.7E MAX | 1522107.5 | 10334.6 | 13982.87 | 49008.2 | 34727.48 | 4.34 |
| 1D+0.7E MIN | 963804.8 | -2422.03 | -12644.2 | -52138.97 | -23093.6 | 2.75 |
| 1D+0.75(0.7E)+0.75L+0.75L _r MAX | 1542211.8 | 7219.7 | 7734.98 | 24801.94 | 20910.69 | 4.40 |
| 1D+0.75(0.7E)+0.75L+0.75L _r MIN | 1249102.9 | 522.49 | -6244.25 | -28300.33 | -9445.35 | 3.56 |
| 0.6D+0.7E MAX | 941179.62 | 6838.57 | 9721.07 | 34462.28 | 23727.54 | 2.68 |
| 0.6D+0.7E MIN | 550367.75 | -2091.05 | -8917.89 | -36340.74 | -16747.2 | 1.57 |

Dari hasil tersebut, diambil F3 maksimum sebagai Pu. Jumlah tiang pancang yang dibutuhkan dapat dihitung dengan rumus berikut

$$N \text{ tiang} = \frac{1.05Pu}{Pn \text{ pile}} = \frac{1.05 \times 1542211.8}{415 \times 1000} = 4.40 \approx 5 \text{ tiang}$$

Desain dari pilecap pondasi tipe 1 dapat dilihat pada gambar dibawah ini.



Gambar 4. 61 Pondasi Tipe 1

$$\text{P kolom} = 1542211.77 \text{ kg}$$

| | |
|------------|---|
| N | = 5 tiang |
| tb pilecap | = 1500 mm |
| Hx | = 7219.7 kg |
| Hy | = 7734.98 kg |
| Mx | = $24801.96 + (Hx \times tb) = 35631.49$ kgm |
| My | = $20910.69 + (Hy \times tb) = 32513.16$ kgm |
| ex | = 0 (eksentrisitas P kolom ke sumbu netral X) |
| ey | = 0 (eksentrisitas P kolom ke sumbu netral Y) |

Tabel 4. 41 Eksentrisitas Tiang Pancang Pondasi Tipe 1

| Pile | x | x^2 | y | y^2 |
|----------|----------------|-------|----------------|-------|
| P1 | -1.2 | 1.44 | 1.2 | 1.44 |
| P2 | 1.2 | 1.44 | 1.2 | 1.44 |
| P3 | 1.2 | 1.44 | -1.2 | 1.44 |
| P4 | -1.2 | 1.44 | -1.2 | 1.44 |
| P5 | 0 | 0 | 0 | 0 |
| satuan m | $\Sigma x^2 =$ | 5.76 | $\Sigma y^2 =$ | 5.76 |

Sehingga didapatkan P tiap tiang pancang sebagai berikut

$$P_1 = \frac{1542211.77}{5} \pm \frac{32513.16 \times -1.2}{5.76} \pm \frac{35631.49 \times 1.2}{5.76} = 320612 \text{ kg}$$

$$P_2 = \frac{1542211.77}{5} \pm \frac{32513.16 \times 1.2}{5.76} \pm \frac{35631.49 \times 1.2}{5.76} = 334159.15 \text{ kg}$$

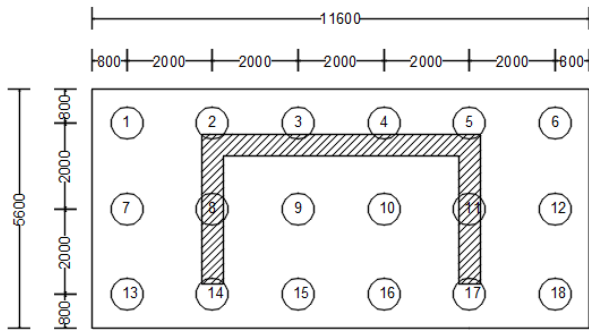
$$P_3 = \frac{1542211.77}{5} \pm \frac{32513.16 \times 1.2}{5.76} \pm \frac{35631.49 \times -1.2}{5.76} = 319312.70 \text{ kg}$$

$$P_4 = \frac{1542211.77}{5} \pm \frac{32513.16 \times -1.2}{5.76} \pm \frac{35631.49 \times -1.2}{5.76} = 305765.5 \text{ kg}$$

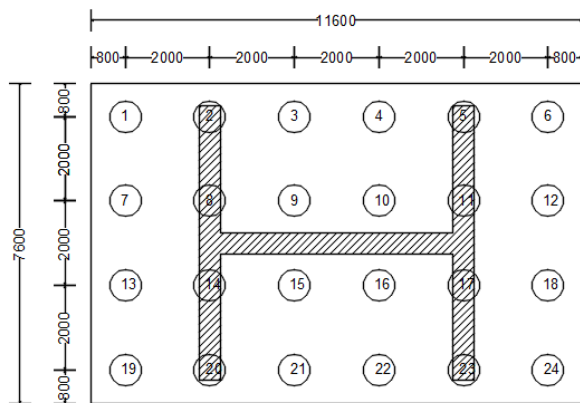
$$P_5 = \frac{1542211.77}{5} \pm \frac{32513.16 \times 0}{5.76} \pm \frac{35631.49 \times 0}{5.76} = 319962.35 \text{ kg}$$

Dari hasil diatas, didapat P terbesar (P_{max}) = 334159.15 kg
 $334159.15 \text{ kg} < P_{jin} = 415000 \text{ kg (OK)}$

Dengan cara yang sama, dihitung daya dukung tiap tiang pancang pada pondasi tipe 2 dan 3. Didapat hasil sebagai berikut



Gambar 4. 62 Pondasi Tipe 2



Gambar 4. 63 Pondasi Tipe 3

Tabel 4. 42 Kontrol Daya Dukung Satu Tiang Pancang pada Pondasi Tipe 2

| PILE | x | x2 | y | y2 | Pmax (kg) | Pmax (ton) | Pjin | Kontrol |
|----------|-------------|-----|-------------|----|-----------|------------|------|---------|
| P1 | -5 | 25 | 2 | 4 | 313601 | 313.60 | 415 | OK |
| P2 | -3 | 9 | 2 | 4 | 330616 | 330.62 | 415 | OK |
| P3 | -1 | 1 | 2 | 4 | 347630 | 347.63 | 415 | OK |
| P4 | 1 | 1 | 2 | 4 | 364645 | 364.64 | 415 | OK |
| P5 | 3 | 9 | 2 | 4 | 381659 | 381.66 | 415 | OK |
| P6 | 5 | 25 | 2 | 4 | 398674 | 398.67 | 415 | OK |
| P7 | -5 | 25 | 0 | 0 | 223905 | 223.90 | 415 | OK |
| P8 | -3 | 9 | 0 | 0 | 240919 | 240.92 | 415 | OK |
| P9 | -1 | 1 | 0 | 0 | 257934 | 257.93 | 415 | OK |
| P10 | 1 | 1 | 0 | 0 | 274948 | 274.95 | 415 | OK |
| P11 | 3 | 9 | 0 | 0 | 291963 | 291.96 | 415 | OK |
| P12 | 5 | 25 | 0 | 0 | 308977 | 308.98 | 415 | OK |
| P13 | -5 | 25 | -2 | 4 | 134209 | 134.21 | 415 | OK |
| P14 | -3 | 9 | -2 | 4 | 151223 | 151.22 | 415 | OK |
| P15 | -1 | 1 | -2 | 4 | 168238 | 168.24 | 415 | OK |
| P16 | 1 | 1 | -2 | 4 | 185252 | 185.25 | 415 | OK |
| P17 | 3 | 9 | -2 | 4 | 202267 | 202.27 | 415 | OK |
| P18 | 5 | 25 | -2 | 4 | 219281 | 219.28 | 415 | OK |
| satuan m | $\Sigma x2$ | 210 | $\Sigma y2$ | 48 | | | | |

Tabel 4. 43 Kontrol Daya Dukung Satu Tiang Pancang pada Pondasi Tipe 3

| PILE | x | x2 | y | y2 | Pmax (ton) | P ijin (ton) | KONTROL |
|----------|-------------|-----|-------------|-----|------------|--------------|---------|
| P1 | -5 | 25 | 3 | 9 | 352.43 | 415 | OK |
| P2 | -3 | 9 | 3 | 9 | 364.65 | 415 | OK |
| P3 | -1 | 1 | 3 | 9 | 376.87 | 415 | OK |
| P4 | 1 | 1 | 3 | 9 | 389.09 | 415 | OK |
| P5 | 3 | 9 | 3 | 9 | 401.31 | 415 | OK |
| P6 | 5 | 25 | 3 | 9 | 413.53 | 415 | OK |
| P7 | -5 | 25 | 1 | 1 | 327.71 | 415 | OK |
| P8 | -3 | 9 | 1 | 1 | 339.93 | 415 | OK |
| P9 | -1 | 1 | 1 | 1 | 352.15 | 415 | OK |
| P10 | 1 | 1 | 1 | 1 | 364.37 | 415 | OK |
| P11 | 3 | 9 | 1 | 1 | 376.59 | 415 | OK |
| P12 | 5 | 25 | 1 | 1 | 388.81 | 415 | OK |
| P13 | -5 | 25 | -1 | 1 | 302.99 | 415 | OK |
| P14 | -3 | 9 | -1 | 1 | 315.21 | 415 | OK |
| P15 | -1 | 1 | -1 | 1 | 327.43 | 415 | OK |
| P16 | 1 | 1 | -1 | 1 | 339.65 | 415 | OK |
| P17 | 3 | 9 | -1 | 1 | 351.87 | 415 | OK |
| P18 | 5 | 25 | -1 | 1 | 364.09 | 415 | OK |
| P19 | -5 | 25 | -3 | 9 | 278.27 | 415 | OK |
| P20 | -3 | 9 | -3 | 9 | 290.49 | 415 | OK |
| P21 | -1 | 1 | -3 | 9 | 302.71 | 415 | OK |
| P22 | 1 | 1 | -3 | 9 | 314.93 | 415 | OK |
| P23 | 3 | 9 | -3 | 9 | 327.15 | 415 | OK |
| P24 | 5 | 25 | -3 | 9 | 339.37 | 415 | OK |
| satuan m | $\Sigma x2$ | 280 | $\Sigma y2$ | 120 | | | |

4.5.5 Perhitungan Daya Dukung Tiang Pancang Kelompok
 Perhitungan daya dukung tiang pancang kelompok untuk daya dukung pondasi kelompok harus dikoreksi terlebih dahulu dengan koefisien efisiensi (η) menurut Seiler-Keeney Formula.

$$\eta = \left(1 - \frac{36S(m+n-2)}{(75S^2-7)(m+n-1)} \right) + \frac{0.3}{m+n}$$

Dimana:

D = diameter tiang pancang

S = Jarak antar tiang pancang

m = Jumlah baris tiang pancang dalam grup

n = Jumlah kolom tiang pancang dalam grup

Untuk contoh perhitungan, digunakan Pondasi tipe P2 dengan keterangan sebagai berikut.

D = 0.8 m

m = 3

n = 6

S = 2 m

Maka, nilai koefisien efisiensi:

$$\eta = \left(1 - \frac{36 \times 2(3+6-2)}{(75(2)^2-7)(3+6-1)} \right) + \frac{0.3}{3+6} = 0.961$$

Besar Q_{ijin} daya dukung tanah untuk satu tiang pancang adalah 415 ton. Nilai tersebut perlu dikalikan dengan koefisien efisiensi sehingga daya dukung tanah tiang dalam kelompok pada Pondasi tipe P1 adalah sebagai berikut.

$$Q_{ijin(grup)} = Q_{ijin(tunggal)} \times \eta = 415 \text{ ton} \times 0.861 = 399.45 \text{ ton}$$

$$P_{max} \text{ pondasi Tipe 2} = 398.67 \text{ ton} < Q_{ijin} (\text{grup}) \text{ OK}$$

Tabel 4. 44 Kontrol Daya Dukung Kelompok Pondasi Tipe 1

| Pile | P 1 tiang (ton) | η | Pijin grup (ton) | Pijin group>P 1 tiang |
|------|-----------------|--------|------------------|-----------------------|
| P1 | 299.40 | 0.934 | 387.54 | OK |
| P2 | 312.05 | 0.934 | 387.54 | OK |
| P3 | 298.18 | 0.934 | 387.54 | OK |
| P4 | 285.53 | 0.934 | 387.54 | OK |
| P5 | 298.79 | 0.934 | 387.54 | OK |

Tabel 4.45 Kontrol Daya Dukung Kelompok Pondasi Tipe 2

| Pile | P 1 tiang (ton) | η | Pijin (ton) | Pijin group>P 1 tiang |
|------|-----------------|--------|-------------|-----------------------|
| P1 | 313.60 | 0.961 | 398.82 | OK |
| P2 | 330.62 | 0.961 | 398.82 | OK |
| P3 | 347.63 | 0.961 | 398.82 | OK |
| P4 | 364.64 | 0.961 | 398.82 | OK |
| P5 | 381.66 | 0.961 | 398.82 | OK |
| P6 | 398.67 | 0.961 | 398.82 | OK |
| P7 | 223.90 | 0.961 | 398.82 | OK |
| P8 | 240.92 | 0.961 | 398.82 | OK |
| P9 | 257.93 | 0.961 | 398.82 | OK |
| P10 | 274.95 | 0.961 | 398.82 | OK |
| P11 | 291.96 | 0.961 | 398.82 | OK |
| P12 | 308.98 | 0.961 | 398.82 | OK |
| P13 | 134.21 | 0.961 | 398.82 | OK |
| P14 | 151.22 | 0.961 | 398.82 | OK |
| P15 | 168.24 | 0.961 | 398.82 | OK |
| P16 | 185.25 | 0.961 | 398.82 | OK |

Tabel 4. 46 Kontrol Daya Dukung Kelompok Pondasi Tipe 3

| Pile | P 1 tiang | η | Pijin (ton) | Pijin group>P 1 tiang |
|------|-----------|--------|-------------|-----------------------|
| P1 | 352.43 | 0.973 | 403.80 | OK |
| P2 | 364.65 | 0.973 | 403.80 | OK |
| P3 | 376.87 | 0.973 | 403.80 | OK |
| P4 | 389.09 | 0.973 | 403.80 | OK |
| P5 | 401.31 | 0.973 | 403.80 | OK |
| P6 | 403.53 | 0.973 | 403.80 | OK |
| P7 | 327.71 | 0.973 | 403.80 | OK |
| P8 | 339.93 | 0.973 | 403.80 | OK |
| P9 | 352.15 | 0.973 | 403.80 | OK |
| P10 | 364.37 | 0.973 | 403.80 | OK |
| P11 | 376.59 | 0.973 | 403.80 | OK |
| P12 | 388.81 | 0.973 | 403.80 | OK |
| P13 | 302.99 | 0.973 | 403.80 | OK |
| P14 | 315.21 | 0.973 | 403.80 | OK |
| P15 | 327.43 | 0.973 | 403.80 | OK |
| P16 | 339.65 | 0.973 | 403.80 | OK |
| P17 | 351.87 | 0.973 | 403.80 | OK |
| P18 | 364.09 | 0.973 | 403.80 | OK |
| P19 | 278.27 | 0.973 | 403.80 | OK |
| P20 | 290.49 | 0.973 | 403.80 | OK |
| P21 | 302.71 | 0.973 | 403.80 | OK |
| P22 | 314.93 | 0.973 | 403.80 | OK |
| P23 | 327.15 | 0.973 | 403.80 | OK |
| P24 | 339.37 | 0.973 | 403.80 | OK |

4.5.6 Kontrol Momen Lateral pada Tiang Pancang

Perumusan yang dipakai menggunakan metode dari Philiponat untuk kategori tanah multilayer.

$$M_{max} = \frac{H}{n} \times Z$$

$$Z = 3D + D_{pc}$$

Keterangan:

H = Lateral Load (kg)

Z = jarak antara lateral load (H) dengan muka tanah (m)

D_{pc} = Tebal poer (m)

n = jumlah tiang pancang

Maka,

$$\begin{aligned} Z &= 3D + D_{pc} \\ &= (3 \times 0.8) + 0.12 \\ &= 2.52 \text{ m} \end{aligned}$$

Untuk diameter 800 mm kelas A1 pada brosur, momen tidak diperkenankan melebihi $M_{crack} = 40$ ton.m.

Rekapitulasi kontrol terhadap momen setiap tipe pondasi dapat dilihat pada tabel-tabel berikut.

Tabel 4. 47 Kontrol Momen Tiang Pancang Pondasi Tipe P1

| Kombinasi | n pile | H1 (kg) | H2 (kg) | H/n (kg) | Z (m) | Mmax (ton.m) | M crack (ton.m) | Kontrol |
|--------------------------------|--------|----------|-----------|----------|-------|--------------|-----------------|---------|
| 1D | 5 | 3956.27 | 669.32 | 791.25 | 2.52 | 1.994 | 40 | OK |
| 1D+1L | 5 | 3842.71 | 770.72 | 768.54 | 2.52 | 1.937 | 40 | OK |
| 1D+1Lr | 5 | 3956.27 | 669.32 | 791.25 | 2.52 | 1.994 | 40 | OK |
| 1D+0.75L+0.75Lr | 5 | 3871.10 | 745.37 | 774.22 | 2.52 | 1.951 | 40 | OK |
| 1D+0.7E MAX | 5 | 10334.56 | 13982.87 | 2796.57 | 2.52 | 7.047 | 40 | OK |
| 1D+0.7E MIN | 5 | -2422.03 | -12644.23 | -2528.85 | 2.52 | -6.373 | 40 | OK |
| 1D+0.75(0.7E)+0.75L+0.75Lr MAX | 5 | 7219.70 | 7734.98 | 1547.00 | 2.52 | 3.898 | 40 | OK |
| 1D+0.75(0.7E)+0.75L+0.75Lr MIN | 5 | 522.49 | -6244.25 | -1248.85 | 2.52 | -3.147 | 40 | OK |
| 0.6D+0.7E MAX | 5 | 6838.57 | 9721.07 | 1944.21 | 2.52 | 4.899 | 40 | OK |
| 0.6D+0.7E MIN | 5 | -2091.05 | -8917.89 | -1783.58 | 2.52 | -4.495 | 40 | OK |

Tabel 4. 48 Kontrol Momen Tiang Pancang Pondasi Tipe P2

| Kombinasi | n pile | H1 (kg) | H2 (kg) | H/n (kg) | Z (m) | Mmax (ton.m) | M crack (ton.m) | Kontrol |
|--------------------------------|--------|------------|------------|-----------|-------|--------------|-----------------|---------|
| 1D | 18 | -175149.06 | -179468.44 | -9970.47 | 2.52 | -25.126 | 40 | OK |
| 1D+1L | 18 | -202635.74 | -206384.61 | -11465.81 | 2.52 | -28.894 | 40 | OK |
| 1D+1Lr | 18 | -175149.06 | -179468.44 | -9970.47 | 2.52 | -25.126 | 40 | OK |
| 1D+0.75L+0.75Lr | 18 | -195764.07 | -199655.57 | -11091.98 | 2.52 | -27.952 | 40 | OK |
| 1D+0.7E MAX | 18 | 476673.71 | 454865.00 | 13240.94 | 2.52 | 33.367 | 40 | OK |
| 1D+0.7E MIN | 18 | -476673.55 | -361193.09 | -13240.93 | 2.52 | -33.367 | 40 | OK |
| 1D+0.75(0.7E)+0.75L+0.75Lr MAX | 18 | 354064.51 | 327386.74 | 14752.69 | 2.52 | 37.177 | 40 | OK |
| 1D+0.75(0.7E)+0.75L+0.75Lr MIN | 18 | -354064.43 | -295061.01 | -14752.68 | 2.52 | -37.177 | 40 | OK |
| 0.6D+0.7E MAX | 18 | 316156.69 | 303347.34 | 13173.20 | 2.52 | 33.196 | 40 | OK |
| 0.6D+0.7E MIN | 18 | -316156.58 | -234888.32 | -13173.19 | 2.52 | -33.196 | 40 | OK |

Tabel 4. 49 Kontrol Momen Tiang Pancang Pondasi Tipe P3

| Kombinasi | n pile | H1 (kg) | H2 (kg) | H/n (kg) | Z (m) | Mmax (ton.m) | M crack (ton.m) | Kontrol |
|--------------------------------|--------|-----------|------------|----------|-------|--------------|-----------------|---------|
| 1D | 24 | 97719.75 | -162882.66 | -6786.78 | 2.52 | -17.103 | 40 | OK |
| 1D+1L | 24 | 111434.03 | -185676.10 | -7736.50 | 2.52 | -19.496 | 40 | OK |
| 1D+1Lf | 24 | 97719.75 | -162882.66 | -6786.78 | 2.52 | -17.103 | 40 | OK |
| 1D+0.75L+0.75Lr | 24 | 108005.46 | -179977.74 | -7499.07 | 2.52 | -18.898 | 40 | OK |
| 1D+0.7E MAX | 24 | 213615.84 | 366468.23 | 5089.84 | 2.52 | 12.826 | 40 | OK |
| 1D+0.7E MIN | 24 | -18176.35 | -366468.24 | -5089.84 | 2.52 | -12.826 | 40 | OK |
| 1D+0.75(0.7E)+0.75L+0.75Lr MAX | 24 | 168850.91 | 286860.16 | 3984.17 | 2.52 | 10.040 | 40 | OK |
| 1D+0.75(0.7E)+0.75L+0.75Lr MIN | 24 | 47160.01 | -286860.17 | -3984.17 | 2.52 | -10.040 | 40 | OK |
| 0.6D+0.7E MAX | 24 | 139759.12 | 240239.50 | 3336.66 | 2.52 | 8.408 | 40 | OK |
| 0.6D+0.7E MIN | 24 | -22495.42 | -240239.50 | -3336.66 | 2.52 | -8.408 | 40 | OK |

4.5.7 Perencanaan Pilecap

- Sebagai contoh perhitungan, direncanakan pilecap jenis P1 dengan spesifikasi data perencanaan sebagai berikut:

$$\begin{aligned}
 P_u \text{ column} &= 1542.21 \text{ ton} \\
 P_{\max} \text{ (1 tiang)} &= 334.16 \text{ ton} \\
 N \text{ pile} &= 5 \text{ buah} \\
 \text{Dimensi poer} &= 4 \text{ m} \times 4 \text{ m} \times 1,5 \text{ m} \\
 \text{Mutu beton (fc')} &= 40 \text{ MPa} \\
 \text{Mutu baja (fy)} &= 420 \text{ MPa} \\
 \text{Diameter tulangan} &= 29 \text{ mm} \\
 \text{Selimut beton} &= 70 \text{ mm} \\
 \lambda &= 1 \text{ (beton normal)}
 \end{aligned}$$

Tinggi efektif (d)

$$d_x = 1500 - 70 - \frac{1}{2} 29 = 1417.5 \text{ mm}$$

4.5.8.1 Kontrol Geser Ponds Pondasi Tipe 1

1. Akibat Kolom

Poer harus mampu menyebarkan beban dari kolom ke pondasi, sehingga perlu dilakukan kontrol kekuatan geser pons untuk memastikan bahwa kekuatan geser nominal beton harus lebih besar dari geser pons yang terjadi. Perencanaan geser pons pada poer tersebut berdasarkan ketentuan SNI 2847-2018 pasal 22.6.5.2

Untuk pondasi tapak non-prategang (V_c) ditentukan berdasarkan tabel dari RSNI 2847:2018 pasal 22.6.5.2

| | v_c | |
|--|--|-----|
| Nilai terkecil dari (a), (b), dan (c): | $0.33\lambda\sqrt{f'_c}$ | (a) |
| | $0.1\left(1 + \frac{2}{\beta}\right)\lambda\sqrt{f'_c}$ | (b) |
| | $0.083\left(2 + \frac{\alpha_s d}{b_o}\right)\lambda\sqrt{f'_c}$ | (c) |

Dimana:

β = rasio sisi panjang kolom terhadap sisi pendek kolom

$$\beta = 800/800 = 1$$

α_s = 30 (kolom pinggir)

$$\begin{aligned} b_o &= \text{keliling penampang kritis} \\ &= 4(s \text{ kolom}+d) = 8862 \text{ mm} \end{aligned}$$

Maka dihitung V_c

$$V_c (a)=0.33\lambda\sqrt{f'c}b_w d = 0.33 \times 1 \times \sqrt{45} \times 4000 \times 1417.5$$

$$V_c (a)= 25817178.63 \text{ N}$$

$$V_c (b)=0.1\left(1 + \frac{2}{\beta}\right)\lambda\sqrt{f'c}b_w d$$

$$V_c (b)= 0.1\left(1 + \frac{2}{1}\right) \times 1 \times \sqrt{45} \times 4000 \times 1417.5$$

$$V_c (b)= 24896646.8 \text{ N}$$

$$V_c (c)= 0.083\left(2 + \frac{\alpha_s d}{b_o}\right)\lambda\sqrt{f'c}b_w d$$

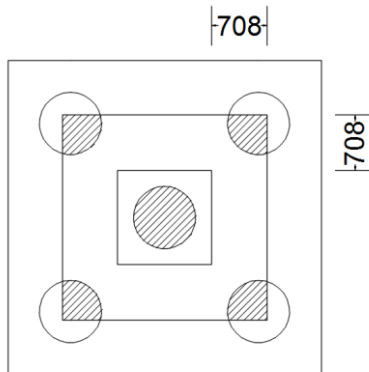
$$V_c (c)= 0.083\left(2 + \frac{30 \times 1417.5}{8862}\right)\lambda\sqrt{45} \times 4000 \times 1417.5$$

$$V_c (c)= 45329757.24 \text{ N}$$

$$\text{Diambil } V_c = V_c \text{ terkecil} = 24896646.8 \text{ N}$$

$$\varphi V_c = 0.75 \times 24896646.8 = 18672485.1 \text{ N}$$

Untuk menentukan besar P_u pons yang bekerja pada pilecap, maka perlu dihitung luasan tiang pancang yang berada di dalam area kritis pilecap, yaitu sepanjang $d/2=707.75$ dari tiap sisi kolom



$$\text{Luas arsiran} = 1392333.34 \text{ mm}^2 \text{ (AutoCAD)}$$

$$\text{Luas total tiang} = 2513274.12 \text{ mm}^2$$

$$U (\text{keliling arsir}) = 10462 \text{ mm}^2$$

$$\lambda = \frac{\text{Luas arsiran}}{\text{Luas total tiang}} = \frac{1392333.34}{2513274.12}$$

$$\lambda = 0.554$$

$$W_u \text{ pilecap} = 1.2 (4 \times 4 \times 1.5) \times 2400$$

$$W_u \text{ pilecap} = 69120 \text{ kg}$$

$$P_{u,pons} = P_u \text{ kolom} + W_u \text{ pilecap} - \lambda P_{max} \text{ pile}$$

$$P_{u,pons} = 1817309.89 + 69120 \text{ kg} - 0.554 \times 334159.15$$

$$P_{u,pons} = 1701308.44 \text{ kg} < \phi V_c = 18672485.1 \text{ N (OK)}$$

2. Akibat Tiang Pancang

Sama seperti perhitungan geser akibat geser ponds, perencanaan geser pons pada pilecap akibat pancang juga

dilakukan berdasarkan ketentuan SNI 2847-2018 Pasal 22.5.6

Untuk pondasi tapak non-prategang (V_c) ditentukan berdasarkan tabel dari RSNI 2847:2018 pasal 22.6.5.2

| v_c | | |
|--|--|-----|
| Nilai terkecil dari (a), (b), dan (c): | $0.33\lambda\sqrt{f'_c}$ | (a) |
| | $0.1\left(1 + \frac{2}{\beta}\right)\lambda\sqrt{f'_c}$ | (b) |
| | $0.083\left(2 + \frac{\alpha_s d}{b_0}\right)\lambda\sqrt{f'_c}$ | (c) |

Dimana:

β = rasio sisi panjang kolom terhadap sisi pendek kolom

$$\beta = 800/800 = 1$$

α_s = 30 (kolom pinggir)

b_0 = keliling penampang kritis
= 4(s kolom+d) = 8862 mm

Maka dihitung V_c

$$V_c (a) = 0.33\lambda\sqrt{f'_c}b_w d = 0.33 \times 1\sqrt{45} \times 4000 \times 1417.5$$

$$V_c (a) = 25817178.63 \text{ N}$$

$$V_c (b) = 0.1\left(1 + \frac{2}{\beta}\right)\lambda\sqrt{f'_c}b_w d$$

$$V_c (b) = 0.1\left(1 + \frac{2}{1}\right)\lambda\sqrt{45} \times 4000 \times 1417.5$$

$$V_c (b) = 24896646.8 \text{ N}$$

$$V_c (c) = 0.083\left(2 + \frac{\alpha_s d}{b_0}\right)\lambda\sqrt{f'_c}b_w d$$

$$V_c (c) = 0.083\left(2 + \frac{30 \times 1417.5}{8862}\right)\lambda\sqrt{45} \times 4000 \times 1417.5$$

$$V_c (c) = 45329757.24 \text{ N}$$

Diambil $V_c = V_c$ terkecil = 24896646.8 N

$$v_c = 24896646.8/bwd = 2.087 \text{ Mpa}$$

$$\phi v_c = 0.75 \times 2.087 = 1.56 \text{ Mpa}$$

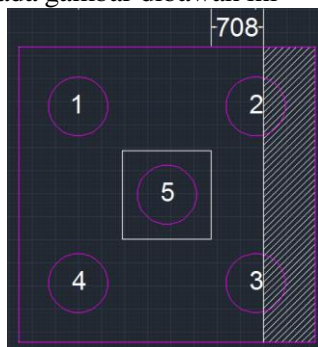
σ_u pons yang bekerja akibat tiang pancang dapat dihitung dengan rumus berikut

$$\sigma_u = \frac{P_{u \text{ max pile}}}{U \times d} = \frac{\frac{P_{u \text{ col+1.2Wpilecap}}}{n}}{U \times d}$$

$$\sigma_u = \frac{\frac{1817309.89 + 1.2 \times 57600}{5}}{10462 \times 1417.5} = 0.254 \text{ MPa} < \phi \tau c \text{ (OK)}$$

4.5.8.2 Kontrol Geser Satu Arah Pondasi Tipe 1

Diketahui daerah kritis pilecap terletak pada $d/2$ dari sisi kolom seperti pada gambar dibawah ini



Gambar 4. 64 Area Kritis Geser Satu Arah Pondasi Tipe 1

$$P_{u, \text{pile}} = (P_{\max} + 1.2W_{\text{pilecap}})/n$$

$$P_{u, \text{pile}} = \frac{1817309.89 + 1.2 \times 57600}{5} = 377285.978 \text{ kg}$$

$$\text{Luas 2 pile} = 1005309.65 \text{ mm}^2$$

$$\text{Luas pile arsir} = 166181.55 \text{ mm}^2$$

$$P_{u, \text{reduce}} = \frac{\text{Luas arsir}}{\text{Luas total}} \times P_{u, \text{pile}} = \frac{1005309.65}{166181.55} \times 377285.97$$

$$P_{u, \text{reduce}} = 55237.79 \text{ kg}$$

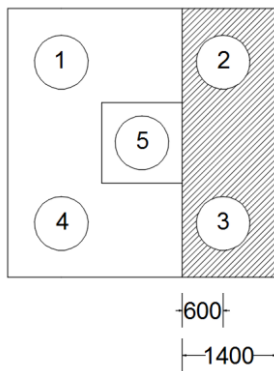
$$\begin{aligned}
 V_u &= 2P_{u,\text{reduce}} - 1.2W_{\text{pilecap}} \\
 &= 2 \times 55237.79 - 1.2(4 \times 4 \times 1.5 \times 2400) \\
 &= 405698.30 \text{ N}
 \end{aligned}$$

$$\begin{aligned}
 \phi V_c &= 0.75\sqrt{f'_c b d} = 0.75\sqrt{45} \times 8862 \times 1417.5 \\
 \phi V_c &= 59502180.14 > V_u (\text{OK})
 \end{aligned}$$

4.5.8.3 Penulangan Pilecap Tipe 1

Untuk penulangan lentur, terdapat 2 kondisi dalam analisa penulangan lentur, kondisi pertama dimana pilecap dianalisa sebagai balok kantilever dengan perletakan jepit pada tepi kolom dan beban yang berkerja adalah beban terpusat di tiang pancang yang menyebabkan reaksi pada tanah dan berat sendiri pilecap. Sedangkan, kondisi kedua dimana pilecap dianalisa dengan tiang pancang sebagai perletakannya dan beban yang bekerja adalah beban terpusat dari kolom dan berat sendiri poer.

Sebagai contoh perhitungan digunakan Pondasi tipe P1. Karena tipe P1 berbentuk persegi empat sama sisi yang sama simetris, perhitungan tulangan lentur dapat disederhanakan dengan meninjau muka kritis yaitu pada tipe kolom pilecap



Gambar 4. 65 Daerah Kritis untuk Perhitungan Tulangan Lentur

$$Mu = n.Pu.pile.X - Wu.X$$

$$Mu = 2 \times 334.16 \times 0.6 - 2.4 \times 4 \times 4 \times 1.5 \times 1.4/2$$

$$Mu = 3606.71 \text{ kNm}$$

$$Rn = \frac{Mu}{\varphi bd^2} = \frac{3606.71 \times 10^6}{0.75 \times 4000 \times 1417.5^2} = 0.6 \text{ MPa}$$

$$\rho_{min} = \frac{0.25 \times \sqrt{f_c'}}{f_y} = \frac{0.25 \times \sqrt{40}}{420} = 0.003765$$

$$\rho_{min} = \frac{1.4}{f_y} = \frac{1.4}{420} = 0.003333$$

ρ_{min} pakai = 0.003765

$$\begin{aligned} \rho_{\square\square\square} &= \frac{0.85 \times f_c'}{f_y} \left(1 - \sqrt{1 - \frac{2R_n}{0.85 \times f_c'}} \right) \\ &= \frac{0.85 \times 40}{420} \left(1 - \sqrt{1 - \frac{2 \times 0.6}{0.85 \times 40}} \right) \\ &= 0.003764 \end{aligned}$$

Dipakai $\rho = \rho_{min} = 0.003765$

$$As = \rho bd = 0.003765 \times 4000 \times 1417.5 = 5328.81 \text{ mm}^2$$

Digunakan tulangan lentur bawah D29-100 ($As = 6605.19 \text{ mm}^2 > As$ butuh OK)

Untuk tulangan lentur atas digunakan setengah dari kebutuhan tulangan lentur bawah yaitu D29-200 ($As = 3302.6 \text{ mm}^2$)

- Sebagai contoh perhitungan, direncanakan pilecap jenis P2 dengan spesifikasi data perencanaan sebagai berikut:

| | |
|---------------------------|--------------------------|
| P_u shearwall | = 11489.55 ton |
| P_{\max} (1 tiang) | = 398.67 ton |
| N pile | = 18 buah |
| Dimensi poer | = 5.6 m x 11.6 m x 1,5 m |
| Mutu beton (f'_c) | = 40 MPa |
| Mutu baja (f_y) | = 420 MPa |
| Diameter tulangan = 32 mm | |
| Selimut beton | = 70 mm |
| λ | = 1 (beton normal) |

Tinggi efektif (d)

$$d_x = 1500 - 70 - \frac{1}{2} 32 = 1414 \text{ mm}$$

4.5.8.4 Kontrol Geser Ponds Pondasi Tipe 2

1. Akibat Dinding Geser

Karena pengaruh dinding geser sangat besar dalam mengurangi V_u pons, maka geser pons akibat dinding geser dapat diabaikan

2. Akibat Tiang Pancang

Sama seperti perhitungan geser akibat kolom, perencanaan geser pons pada pilecap akibat pancang juga dilakukan berdasarkan ketentuan SNI 2847-2018 Pasal 22.5.6

Maka dihitung v_c

$$v_c = 0.33 \lambda \sqrt{f'_c c} = 0.33 \times 1 \times \sqrt{45}$$

$$v_c = 2.087 \text{ Mpa}$$

$$\phi_{vc} = 0.75 \times 2.087 = 1.56 \text{ MPa}$$

v_u pons yang bekerja akibat tiang pancang dapat dihitung dengan rumus berikut

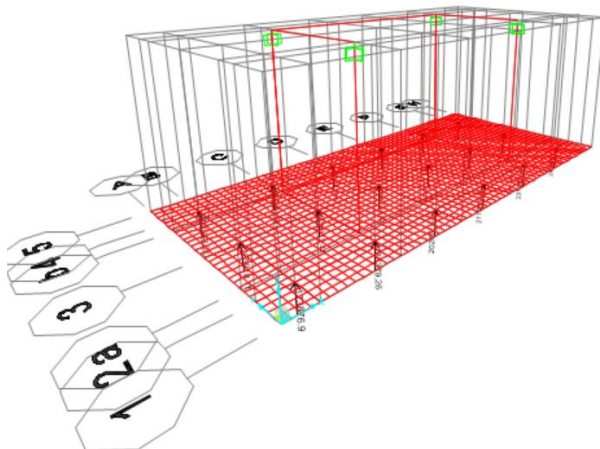
$$U = 6955.49 \text{ mm (AutoCAD)}$$

$$v_u = \frac{P_{u \max \text{ pile}}}{n} = \frac{\frac{11489.55 + 1.2W_{pilecap}}{U \times d}}{143.53 + 1.2 \times (2.4 \times 11.6 \times 5.6 \times 1.5)}$$

$$v_u = \frac{18}{6855.49 \times 1414} = 0.397 \text{ MPa} < \phi_{vc} (\text{OK})$$

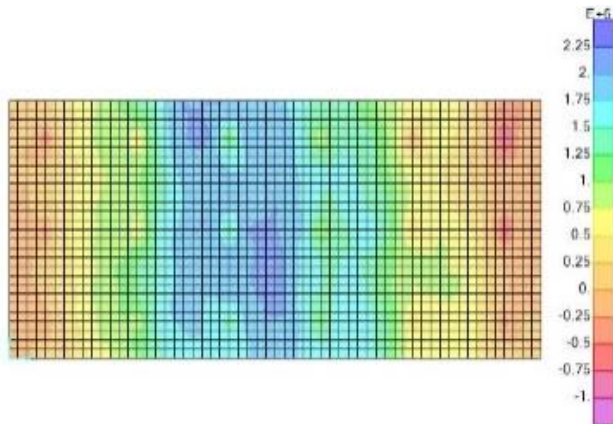
4.5.8.5 Penulangan Pilecap Tipe 2

Karena pilecap tipe 2 menopang dinding geser, maka momen lentur yang bekerja pada pilecap harus dianalisa menggunakan program SAP2000. Pilecap dimodelkan menggunakan *Shell-thick* dengan dinding geser sebagai penyangganya. Gaya yang bekerja adalah P_{\max} tiap tiang pancang yang arahnya melawan gravitasi seperti pada gambar dibawah ini



Gambar 4. 66 Permodelan Pilecap Tipe 2

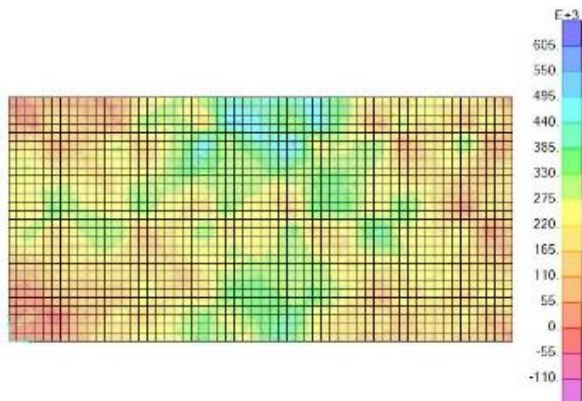
Dari permodelan diatas, didapat momen arah X dan Y sebagai berikut



Gambar 4. 67 Momen Arah X Pondasi Tipe 2

$$M_x (+) = 2179452.41 \text{ Nmm}$$

$$M_x (-) = -1201866.05 \text{ Nmm}$$



Gambar 4. 68 Momen Arah Y Pondasi Tipe 2

$$\begin{aligned} M_x (+) &= 622375.57 \text{ Nmm} \\ M_x (-) &= -113382.65 \text{ Nmm} \end{aligned}$$

- Penulangan Arah X

1. Tulangan Positif

$$R_n = \frac{Mu}{\phi bd^2} = \frac{2179452.41}{0.9 \times 1000 \times 1414^2} = 0.00121$$

$$\rho_{\min} = \frac{0.25 \times \sqrt{f'_c}}{f_y} = \frac{0.25 \times \sqrt{40}}{420} = 0.003765$$

$$\rho_{\min} = \frac{1.4}{f_y} = \frac{1.4}{420} = 0.003333$$

ρ_{\min} pakai = 0.003765

$$\begin{aligned} \rho_{\min} &= \frac{0.85 \times f'_c}{f_y} \left(1 - \sqrt{1 - \frac{2R_n}{0.85 \times f_{cr}}} \right) \\ &= \frac{0.85 \times 40}{420} \left(1 - \sqrt{1 - \frac{2 \times 0.00121}{0.85 \times 40}} \right) \\ &= 0.00000288 \end{aligned}$$

Dipakai $\rho = \rho_{\min} = 0.003765$

$$A_s = \rho b d = 0.003765 \times 1000 \times 1414 = 5323.16 \text{ mm}^2$$

Dipakai D32-125 mm (A_s pakai = 6433.98 mm^2 > A_s perlu)

2. Tulangan Negatif

$$R_n = \frac{Mu}{\phi bd^2} = \frac{1201866.05}{0.9 \times 1000 \times 1414^2} = 0.000667$$

$$\rho_{\min} = \frac{0.25 \times \sqrt{f'_c}}{f_y} = \frac{0.25 \times \sqrt{40}}{420} = 0.003765$$

$$\rho_{\min} = \frac{1.4}{f_y} = \frac{1.4}{420} = 0.003333$$

ρ_{\min} pakai = 0.003765

$$\begin{aligned} \rho_{\min} &= \frac{0.85 \times f'_c}{f_y} \left(1 - \sqrt{1 - \frac{2R_n}{0.85 \times f_{cr}}} \right) \\ &= \frac{0.85 \times 40}{420} \left(1 - \sqrt{1 - \frac{2 \times 0.000667}{0.85 \times 40}} \right) \end{aligned}$$

$$= 0.00000159$$

Dipakai $\rho = \rho_{\min} = 0.003765$

$$As = \rho bd = 0.003765 \times 1000 \times 1414 = 5323.16 \text{ mm}^2$$

Dipakai D32-125 mm (As pakai = 6433.98 mm² > As perlu)

- Penulangan Arah Y

1. Tulangan Positif

$$R_n = \frac{Mu}{\phi bd^2} = \frac{622375.57}{0.9 \times 1000 \times 1414^2} = 0.000362$$

$$\rho_{\min} = \frac{0.25 \times \sqrt{f'_c}}{f_y} = \frac{0.25 \times \sqrt{40}}{420} = 0.003765$$

$$\rho_{\min} = \frac{1.4}{f_y} = \frac{1.4}{420} = 0.003333$$

$$\rho_{\min} \text{ pakai} = 0.003765$$

$$\begin{aligned} \rho_{\min} &= \frac{0.85 \times f'_c}{f_y} \left(1 - \sqrt{1 - \frac{2R_n}{0.85 \times f'_c}} \right) \\ &= \frac{0.85 \times 40}{420} \left(1 - \sqrt{1 - \frac{2 \times 0.000362}{0.85 \times 40}} \right) \\ &= 0.000000862 \end{aligned}$$

Dipakai $\rho = \rho_{\min} = 0.003765$

$$As = \rho bd = 0.003765 \times 1000 \times 1414 = 5323.16 \text{ mm}^2$$

Dipakai D32-125 mm (As pakai = 6433.98 mm² > As perlu)

. 2. Tulangan Negatif

$$R_n = \frac{Mu}{\phi bd^2} = \frac{113382.65}{0.9 \times 1000 \times 1414^2} = 0.000660$$

$$\rho_{\min} = \frac{0.25 \times \sqrt{f'_c}}{f_y} = \frac{0.25 \times \sqrt{40}}{420} = 0.003765$$

$$\rho_{\min} = \frac{1.4}{f_y} = \frac{1.4}{420} = 0.003333$$

$$\rho_{\min} \text{ pakai} = 0.003765$$

$$\rho_{\min} = \frac{0.85 \times f'_c}{f_y} \left(1 - \sqrt{1 - \frac{2R_n}{0.85 \times f'_c}} \right)$$

$$\begin{aligned}
 &= \frac{0,85 \times 40}{420} \left(1 - \sqrt{1 - \frac{2 \times 0,000660}{0,85 \times 40}} \right) \\
 &= 0,000000157
 \end{aligned}$$

Dipakai $\rho = \rho_{\min} = 0.003765$

$$As = \rho bd = 0.003765 \times 1000 \times 1414 = 5323.16 \text{ mm}^2$$

Dipakai D32-125 mm (As pakai = 6433.98 mm² > As perlu)

4.5.8 Penulangan Tiang Pancang

Sebagai contoh perhitungan akan dihitung penulangan longitudinal dan spiral pada tiang pancang pondasi tipe P1

Diketahui data perencanaan tiang pancang sebagai berikut:

$$D = 800 - (2 \times 120) = 720 \text{ mm}$$

$$f_c' = 52 \text{ MPa}$$

$$E_c = 33892.22 \text{ MPa}$$

$$\beta_1 = 0.729$$

$$f_y = 420 \text{ MPa}$$

$$d_b = D29$$

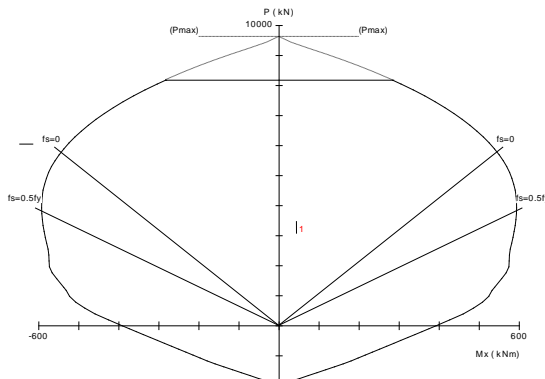
$$c_c = 50 \text{ mm}$$

Beban yang diterima tiang pancang adalah sebagai berikut.

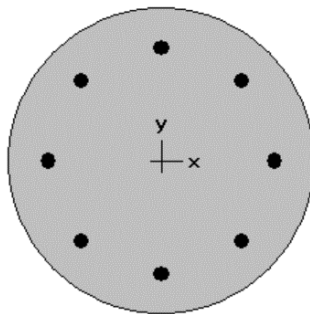
$$P_u = 334159.15 \text{ kg}$$

$$M_u = 43373157.63 \text{ Nmm}$$

Dari spColumn diperoleh diagram interaksi aksial-momen tiang pancang seperti gambar berikut



Gambar 4. 69 Diagram Interaksi Tiang Pancang



560 mm diam.
2.10% reinf.

Gambar 4. 70 Hasil Penulangan Tiang Pancang oleh
spColumn

Dari hasil analisis spColumn diperoleh penulangan nilai $\rho = 0.021$ dan digunakan tulangan 8D29 ($A_s = 5284.16 \text{ mm}^2$)

Berdasarkan RSNI 2847:2018 pasal 25.7.3.3, tulangan spiral direncanakan berdasarkan rumus berikut.

$$\rho_s = 0.45 \left(\frac{A_g}{A_{ch}} - 1 \right) \frac{f_c'}{f_{yt}}$$

Ket:

ρ_s = rasio tulangan spiral

A_g = luas bruto penampang (mm^2)

A_{ch} = luas penampang sampai tepi terluar tulangan spiral (mm^2)

f_c' = mutu beton (MPa)

f_{yt} = mutu tulangan spiral (MPa)

Berikut data perhitungan yang akan digunakan:

D spiral = 13 mm

A_g = 256354 mm^2

A_{ch} = 246301 mm^2

f_c' = 52 MPa

f_{yt} = 420 MPa

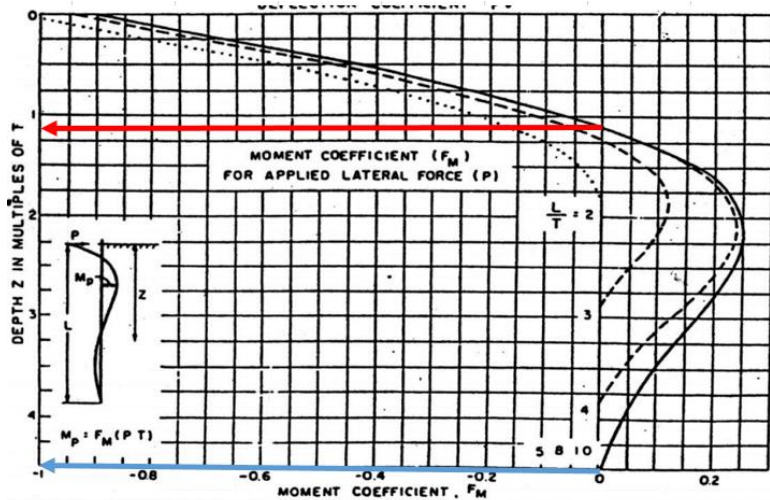
$$\begin{aligned}\rho_s &= 0.45 \left(\frac{A_g}{A_{ch}} - 1 \right) \frac{f_c'}{f_{yt}} \\ &= 0.45 \times \left(\frac{256354}{246301} - 1 \right) \frac{52}{420} \\ &= 0.00227\end{aligned}$$

$$A_{s \text{ perlu}} = \rho_s A_g = 0.00227 \times 256354 = 582.96 \text{ mm}^2$$

$$n \text{ perlu} = \frac{0.25\pi x \emptyset^2}{Asperlu} = \frac{0.25\pi x 13^2}{582.96} = 4.4 \approx 5$$

Sehingga digunakan tulangan spiral D13-200 mm.

Untuk menghitung panjang tulangan longitudinal yang akan dipasang didalam tiang pancang (tusuk konde) dapat digunakan grafik berikut ini

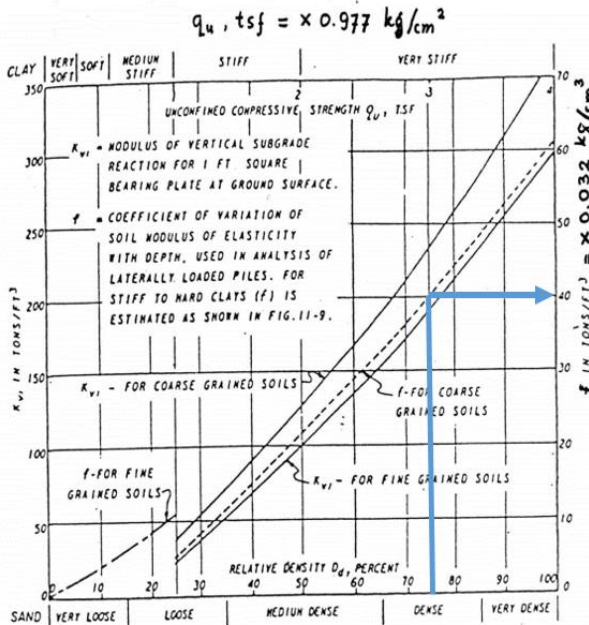


Untuk faktor $FM = 0$, didapat

$$Z (+) = 4.5 \text{ T}$$

$$Z (-) = 1.15 \text{ T}$$

Untuk menghitung nilai T (faktor kekakuan relatif) maka perlu dicari nilai faktor f dari grafik dibawah ini. Diketahui N SPT Tanah = 31 pada kedalaman 52 m, sehingga tanah termasuk dalam kategori Dense



Dari grafik didapat

$$f = 40 \text{ ton/ft}^3 = 40 \times 0.032 = 1.28 \text{ kg/cm}^3$$

Diketahui

$$E_c \text{ pile} = 338921.82 \text{ kg/cm}^2$$

$$I \text{ pile} = 1527869.6 \text{ cm}^4 \text{ (brosur WIKA spun pile)}$$

Sehingga nilai T dapat dihitung dengan rumus berikut

$$t = \left(\frac{EI}{f} \right)^{1/5} = \left(\frac{338921.82 \times 1527869.6}{1.28} \right)^{1/5} = 1.32 \text{ m}$$

Sehingga panjang tusuk konde yang tertanam didalam pile diambil nilai yang terbesar

$$Z = 4.5 \text{ T} = 4.5 \times 1.32 = 5.95 \text{ m} \approx 6 \text{ m}$$

4.5.9 Perencanaan Sloof Pondasi

Sloof adalah balok yang berfungsi untuk menjaga agar penurunan yang terjadi pada pondasi (pilecap) bergerak bersama-sama, dengan kata lain balok sloof merupakan pengaku yang menghubungkan antar pondasi (pilecap). Adapun beban-beban yang ditimpakan ke sloof meliputi berat sloof sendiri, beban aksial tekan atau tarik yang berasal dari 20% beban aksial kolom.

Berikut data perencanaan sloof pondasi.

| | |
|-------------------|---|
| Dimensi sloof | $= 400 \text{ mm} \times 600 \text{ mm}$ |
| Mutu beton | $= 35 \text{ MPa}$ |
| Mutu baja | $= 420 \text{ MPa}$ |
| Diameter tulangan | $= D16$ |
| Diameter Sengkang | $= D10$ |
| Selimut beton | $= 50 \text{ mm}$ |
| Bentang | $= 9 \text{ m}$ |
| Gaya aksial kolom | $= 1542.212 \text{ ton}$ |
| Pu sloof | $= 20\% \times 1542.212 = 308.44 \text{ ton}$ |

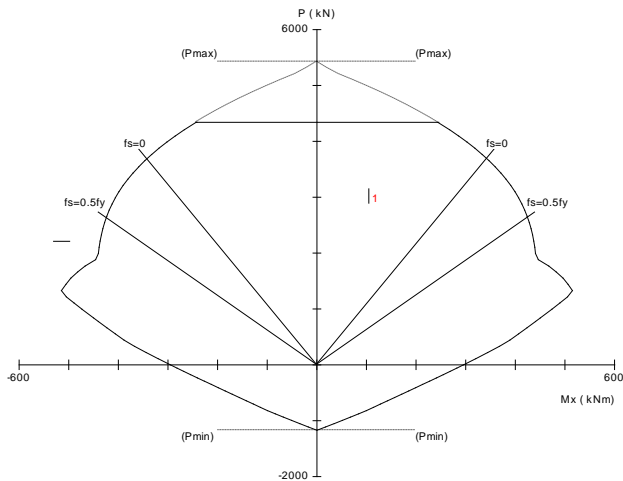
Penulangan sloof didasarkan pada kondisi pembebahan dimana beban yang diterima adalah beban aksial dan lentur sehingga penulangannya seperti penulangan pada kolom.

$$q_d = 0,4 \times 0,6 \times 2400 = 576 \text{ kg/m}$$

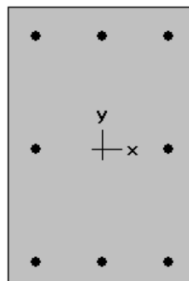
$$q_u = 1,2 \times 576 = 691,2 \text{ kg/m}$$

$$\begin{aligned} M_{u \text{ tumpuan}} &= \frac{1}{8} \times q_u \times l^2 \\ &= \frac{1}{8} \times 691,2 \times 9^2 \\ &= 6998,4 \text{ kgm} \end{aligned}$$

$$P_{u \text{ sloof}} = 308442,4 \text{ kg}$$



Gambar 4. 71 Diagram Interaksi Sloof



Gambar 4. 72 Hasil Penulangan Sloof dengan spColumn

Dari hasil analisa spColumn didapat $\rho = 0.0129$
 $As = \rho b d = 0.0129 \times 400 \times 527.5 = 2721.9 \text{ mm}^2$
 Digunakan tulangan 8D25 (dua lapis)

Berdasarkan SNI 2847-2018 Pasal 22.5.6, penentuan kekuatan geser beton yang terbebani aksial tekan ditentukan dengan perumusan berikut:

$$A_g = 400 \times 600 = 240.000 \text{ mm}^2$$

$$D = 600 - 50 - 10 - \frac{1}{2}25 = 527.5 \text{ mm}$$

$$V_c = 0,17 \left(1 + \frac{P_u}{14 A_g} \right) \lambda \sqrt{f'c} \times bw \times d$$

$$= 0,17 \left(1 + \frac{302298,264}{14 \times 240.000} \right) 1\sqrt{35} \times 400 \times 527,5$$

$$= 423291,05 \text{ N}$$

$$\phi V_c = 0,75 \times 423291,05 = 317468,3 \text{ N} = 31746,83 \text{ kg}$$

$$V_u = \frac{1}{2} qu \cdot l = \frac{1}{2} 691,2 \times 11 = 3801,6 \text{ kg}$$

$$\phi V_c > V_u$$

$31746,83 \text{ kg} > 3801,6 \text{ kg}$ (tidak perlu tulangan geser)

Jarak antara tulangan transversal pada sloof tidak boleh kurang dari berikut ini:

- $\frac{d}{2} = \frac{527,5}{2} = 263,75 \text{ mm}$

- $s = 300 \text{ mm}$

Dipasang sengkang 2D10 – 250 mm.

4.6 Perencanaan Basement

Dalam perencanaan gedung ini terdapat 1 lantai basement yang akan dikelilingi oleh dinding penahan tanah dengan jarak sebesar 5 m dari rencana basement. Dinding basement direncanakan menggunakan beton bertulang dengan data-data sebagai berikut.

Tebal dinding basement : 45 cm

Tinggi dinding basement : 4,2 m

Mutu beton (f'_c) : 35 MPa

Diameter tulangan : D16

| | |
|---------------------|-----------|
| Mutu baja tulangan | : 420 MPa |
| Tebal selimut beton | : 50 mm |

Beban yang bekerja berupa tekanan tanah aktif dan direncanakan dengan kondisi muka air tertinggi dengan adanya *surcharge load* beban kendaraan sebesar $q = 0,8 \text{ t/m}^2$.

Data tanah

$$\gamma = 1,8 \text{ t/m}^3$$

$$c = 0,72 \text{ t/m}^2$$

$$\phi = 0$$

4.5.7.1 Perhitungan Tekanan Tanah Aktif

$$K_a = \tan^2 \left(45 - \frac{\phi}{2} \right) = \tan^2 \left(45 - \frac{0}{2} \right) = 1$$

$$\gamma_{\text{air}} = 1 \text{ t/m}^3$$

$$\gamma_{\text{sat}} = 1,8 - 1 = 0,8 \text{ t/m}^3$$

Tekanan tanah aktif akibat overburden:

Pada $Z = 0 \text{ m}$

$$\begin{aligned} \gamma_v' &= qK_a + \gamma'hK_a - 2c_u\sqrt{K_a} \\ &= 0,8 \times 1 + 0 - 2 \times 0,6 \times \sqrt{1} \\ &= -0,4 \text{ t/m}^2 \\ &= 0 \text{ t}^2 \end{aligned}$$

Pada $Z = 4,2 \text{ m}$

$$\begin{aligned} \gamma_v' &= qK_a + \gamma'hK_a - 2c_u\sqrt{K_a} \\ &= 0,8 \times 1 + 0,8 \times 4,2 \times 1 - 2 \times 0,72 \times \sqrt{1} \\ &= 2,72 \text{ t/m}^2 \end{aligned}$$

4.5.7.2 Perhitungan Tekanan Akibat Air

Pada $Z = 4,2 \text{ m}$

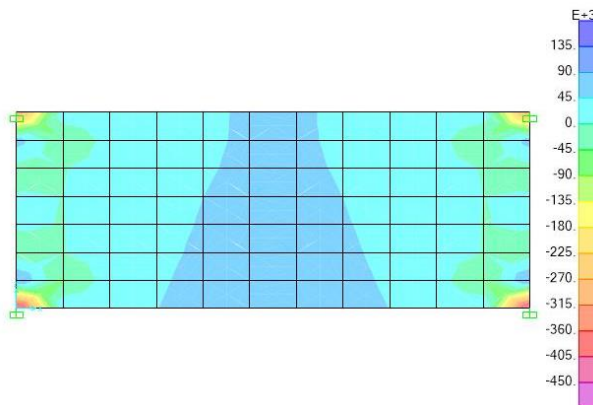
$$\gamma_{\text{air}} = \gamma_{\text{air}} h = 1 \times 4,2 = 4,2 \text{ t/m}^2$$

Sehingga jumlah beban yang diterima dinding dapat dihitung sebagai berikut.

Pada $z = 0 \text{ m}$, $\sigma = 0 \text{ kg/m}^2$.

Pada $z = 4,2 \text{ m}$, $\sigma = \sigma_v + \sigma_{\text{air}} = 2,72 + 4,2 = 6,92 \text{ t/m}^2$.

Dinding basement tersebut dimodelkan di program SAP2000 dengan tipe model Shell-Thin seperti pada gambar berikut.



Gambar 4. 73 Hasil Permodelan Dinding Basement Menggunakan SAP2000

4.5.7.3 Penulangan Dinding Basement

Perhitungan kebutuhan tulangan lentur berdasarkan momen yang terjadi pada dinding penahan tanah.

Direncanakan tulangan diameter 36 mm

$$M_u = 103330.9 \text{ kgm}$$

$$\begin{aligned} d &= h - c_c - \frac{1}{2}D \\ &= 450 - 50 - \frac{1}{2}36 \end{aligned}$$

$$\begin{aligned}
 &= 382 \text{ mm} \\
 R_n &= \frac{M_u}{0,9 \times b d^2} = \frac{103330,9 \times 10^4}{0,9 \times 1.000 \times 382^2} = 7,86 \text{ MPa} \\
 \rho_{\min} &= \frac{0,25 \times \sqrt{f'_c}}{f_y} = \frac{0,25 \times \sqrt{35}}{420} = 0,00352 \\
 \rho_{\min} &= \frac{1,4}{f_y} = \frac{1,4}{420} = 0,00333 \\
 \rho &= \frac{0,85 \times f'_c}{f_y} \left(1 - \sqrt{1 - \frac{2R_n}{0,85 \times f'_c}} \right) \\
 &= \frac{0,85 \times 35}{420} \left(1 - \sqrt{1 - \frac{2 \times 7,86}{0,85 \times 35}} \right) \\
 &= 0,0295
 \end{aligned}$$

Maka, $\rho = 0,0206$

$$\begin{aligned}
 A_{\text{Spelu}} &= \rho b d = 0,0206 \times 1000 \times 382 = 7891,324 \text{ mm}^2 \\
 s &= \frac{0,25 \pi \pi \varnothing^2 \times 1000}{A_{\text{Spelu}}} = \frac{0,25 \pi \pi 36^2 \times 1.000}{8487,11} = 128,98 \text{ mm}
 \end{aligned}$$

Sehingga digunakan tulangan lentur D36-125 mm.

4.5.7.4 Perencanaan Pelat Dasar Basement

Data perencanaan pelat lantai *basement*:

Tebal pelat = 300 mm

Tebal selimut = 50 mm

D tulangan = 13 mm

L_x = 400 cm

L_y = 600 cm

β = $\frac{L_y}{L_x} = 1,5 < 2$ (pelat dua arah)

Mutu beton = 35 Mpa

Mutu tulangan = 420 MPa

Pada pelat dasar *basement* terdapat dua kondisi maksimum yang terjadi yaitu pada saat musim hujan terjadi dan tidak ada kendaraan yang parkir sehingga gaya yang terjadi yaitu

uplift akibat air serta pada saat musim kemarau yang menyebabkan muka air tanah dibawah elevasi *basement* serta terdapat kendaraan yang parkir sehingga gaya yang terjadi yaitu akibat beban parkir kendaraan.

1) Akibat gaya uplift air

$$\begin{aligned}
 d_x &= h - c_c - \frac{1}{2}D \\
 &= 300 - 50 - \frac{1}{2}13 \\
 &= 243.5 \text{ mm} \\
 d_y &= h - c_c - \frac{1}{2}D - D \\
 &= 300 - 50 - \frac{1}{2}13 - 13 \\
 &= 230.5 \text{ mm} \\
 q_{air} &= h \times \square_{air} \\
 &= 4.2 \text{ m} \times 1000 \text{ kg/m}^3 \\
 &= 4200 \text{ kg/m}^2 \\
 w_c &= tb \text{ basement} \times \square_c \\
 &= 0.3 \times 2400 \\
 &= 720 \text{ kg/m}^2 \\
 q_{uplift} &= q_{air} - q_{beton} \\
 &= 4200 - 720 \\
 &= 3480 \text{ kg/m}^2
 \end{aligned}$$

Karena $\frac{L_y}{L_x} = 1,5 < 2$, maka menurut PBI 1971, momen yang terjadi pada tumpuan dan lapangan basement adalah sebagai berikut.

$$\begin{aligned}
 M_{Ix} &= 0.001 \times q \times L_x^2 \times 36 \\
 &= 0.001 \times 3480 \times 4^2 \times 36 \\
 &= 2004.48 \text{ kgm} \\
 M_{Iy} &= 0.001 \times q \times L_y^2 \times 17 \\
 &= 0.001 \times 3480 \times 6^2 \times 17 \\
 &= 2129.76 \text{ kgm} \\
 M_{tx} &= -0.001 \times q \times L_x^2 \times 76 \\
 &= -0.001 \times 3480 \times 4^2 \times 76
 \end{aligned}$$

$$\begin{aligned}
 &= -4231.68 \text{ kgm} \\
 M_{ty} &= -0.001 \times q \times L_y^2 \times 57 \\
 &= -0.001 \times 3480 \times 6^2 \times 57 \\
 &= -7140.96 \text{ kgm} \\
 \rho_{\min} &= \frac{1.4}{f_y} = \frac{1.4}{420} = 0.0033
 \end{aligned}$$

atau

$$\rho_{\min} = \frac{0.25\sqrt{f'_c}}{f_y} = \frac{0.25\sqrt{35}}{400} = 0.0035$$

Maka, $\rho_{\min} = 0.0035$

Perhitungan tulangan tumpuan dan lapangan arah X

Lapangan arah X:

$$\begin{aligned}
 R_n &= \frac{M_u}{0.9 \times bd^2} = \frac{2004.48 \times 1000}{0.9 \times 1000 \times 243.5^2} = 0.376 \text{ MPa} \\
 \rho &= \frac{0.85 \times f'_c}{f_y} \left(1 - \sqrt{1 - \frac{2R_n}{0.85 \times f'_c}} \right) \\
 &= \frac{0.85 \times 35}{420} \left(1 - \sqrt{1 - \frac{2 \times 0.376}{0.85 \times 35}} \right) \\
 &= 0.0009
 \end{aligned}$$

Maka, $\rho = 0.0035$

$$\begin{aligned}
 A_{Sperlu} &= \rho bd = 0.0035 \times 1000 \times 243.5 = 857.48 \text{ mm}^2 \\
 s &= \frac{0.25 \times \pi \times \theta^2 \times 1000}{A_{Sperlu}} = \frac{0.25 \times \pi \times 13^2 \times 1000}{857.48} = 154.8 \text{ mm}
 \end{aligned}$$

Sehingga digunakan tulangan lentur D13-150 mm.

Tumpuan arah X:

$$\begin{aligned}
 R_n &= \frac{M_u}{0.9 \times bd^2} = \frac{4231.68 \times 10000}{0.9 \times 1.000 \times 243.5^2} = 0.793 \text{ MPa} \\
 \rho &= \frac{0.85 \times f'_c}{f_y} \left(1 - \sqrt{1 - \frac{2R_n}{0.85 \times f'_c}} \right) \\
 &= \frac{0.85 \times 35}{420} \left(1 - \sqrt{1 - \frac{2 \times 0.793}{0.85 \times 35}} \right) \\
 &= 0.00186
 \end{aligned}$$

Maka, $\rho = 0.0035$.

$$A_{\text{Spelru}} = \rho bd = 0.0035 \times 1000 \times 243.5 = 857.48 \text{ mm}^2$$

$$s = \frac{0.25 \times \pi \times \emptyset^2 \times 1000}{Asperlu} = \frac{0.25 \times \pi \times 13^2 \times 1000}{857.48} = 154.8 \text{ mm}$$

Sehingga digunakan tulangan lentur D13-150 mm.

Perhitungan tulangan tumpuan dan lapangan arah Y

Lapangan arah Y:

$$R_n = \frac{M_u}{0.9 \times bd^2} = \frac{2129.76 \times 10000}{0.9 \times 1.000 \times 230.5^2} = 0.445 \text{ MPa}$$

$$\begin{aligned} \rho &= \frac{0.85 \times f_c'}{f_y} \left(1 - \sqrt{1 - \frac{2R_n}{0.85 \times f_c'}} \right) \\ &= \frac{0.85 \times 35}{420} \left(1 - \sqrt{1 - \frac{2 \times 0.445}{0.85 \times 35}} \right) \\ &= 0.001069 \end{aligned}$$

Maka, $\rho = 0.0035$

$$A_{\text{Spelru}} = \rho bd = 0.0035 \times 1.000 \times 230.5 = 811.70 \text{ mm}^2$$

$$s = \frac{0.25 \times \pi \times \emptyset^2 \times 1000}{Asperlu} = \frac{0.25 \times \pi \times 13^2 \times 1.000}{811.70} = 163.52 \text{ mm}$$

Sehingga digunakan tulangan lentur D13-150 mm.

Tumpuan arah Y:

$$R_n = \frac{M_u}{0.9 \times bd^2} = \frac{7140.96 \times 10000}{0.9 \times 1000 \times 230.5^2} = 1.5 \text{ MPa}$$

$$\begin{aligned} \rho &= \frac{0.85 \times f_c'}{f_y} \left(1 - \sqrt{1 - \frac{2R_n}{0.85 \times f_c'}} \right) \\ &= \frac{0.85 \times 35}{420} \left(1 - \sqrt{1 - \frac{2 \times 1.5}{0.85 \times 35}} \right) \\ &= 0.00347 \end{aligned}$$

Maka, $\rho = 0.0035$

$$A_{\text{Spelru}} = \rho bd = 0.0035 \times 1.000 \times 230.5 = 811.70 \text{ mm}^2$$

$$s = \frac{0.25 \times \pi \times \emptyset^2 \times 1000}{Asperlu} = \frac{0.25 \times \pi \times 13^2 \times 1.000}{811.70} = 163.52 \text{ mm}$$

Sehingga digunakan tulangan lentur D13-150 mm.

2) Akibat beban parkir

$$q_{parkir} = 400 \text{ kg/m}^2 \text{ (menurut PPIUG)}$$

$$w_c = d \times \gamma_c$$

$$= 0.3 \times 2400$$

$$= 720 \text{ kg/m}^2$$

$$q = q_{parkir} + q_{beton}$$

$$= 400 + 720$$

$$= 1120 \text{ kg/m}^2$$

Karena $\frac{L_y}{L_x} = 1,5 < 2$, maka menurut PBI 1971, momen yang terjadi pada tumpuan dan lapangan basement adalah sebagai berikut.

$$\begin{aligned} M_{lx} &= 0,001 \times q \times L_x^2 \times 36 \\ &= 0,001 \times 1120 \times 4^2 \times 36 \\ &= 645.12 \text{ kgm} \end{aligned}$$

$$\begin{aligned} M_{ly} &= 0,001 \times q \times L_y^2 \times 17 \\ &= 0,001 \times 1120 \times 6^2 \times 17 \\ &= 685.44 \text{ kgm} \end{aligned}$$

$$\begin{aligned} M_{tx} &= -0,001 \times q \times L_x^2 \times 76 \\ &= -0,001 \times 1120 \times 4^2 \times 76 \\ &= -1361.92 \text{ kgm} \end{aligned}$$

$$\begin{aligned} M_{ty} &= -0,001 \times q \times L_y^2 \times 57 \\ &= -0,001 \times 1120 \times 6^2 \times 57 \\ &= -2298.24 \text{ kgm} \end{aligned}$$

$$\rho_{min} = \frac{1,4}{f_y} = \frac{1,4}{420} = 0.0033$$

atau

$$\rho_{min} = \frac{0.25\sqrt{f'y}c}{f_y} = \frac{0.25\sqrt{35}}{400} = 0.0035$$

Maka, $\rho_{min} = 0.0035$

Perhitungan tulangan tumpuan dan lapangan arah X
Lapangan arah X:

$$R_n = \frac{M_u}{0.9 \times b d^2} = \frac{685.44 \times 1000}{0.9 \times 1000 \times 243.5^2} = 0.1433 \text{ MPa}$$

$$\rho = \frac{0.85 \times f_{c'}}{f_y} \left(1 - \sqrt{1 - \frac{2R_n}{0.85 \times f_{c'}}} \right)$$

$$= \frac{0.85 \times 35}{420} \left(1 - \sqrt{1 - \frac{2 \times 0.1433}{0.85 \times 35}} \right)$$

$$= 0.000342$$

Maka, $\rho = 0.0035$

$$A_{\text{Spelu}} = \rho b d = 0.0035 \times 1000 \times 243.5 = 857.48 \text{ mm}^2$$

$$s = \frac{0.25 \times \pi \times \varnothing^2 \times 1000}{A_{\text{Spelu}}} = \frac{0.25 \times \pi \times 13^2 \times 1000}{857.48} = 154.8 \text{ mm}$$

Sehingga digunakan tulangan lentur D13-150 mm.

Tumpuan arah X:

$$R_n = \frac{M_u}{0.9 \times b d^2} = \frac{1361.92 \times 10000}{0.9 \times 1.000 \times 243.5^2} = 0.121 \text{ MPa}$$

$$\rho = \frac{0.85 \times f_{c'}}{f_y} \left(1 - \sqrt{1 - \frac{2R_n}{0.85 \times f_{c'}}} \right)$$

$$= \frac{0.85 \times 35}{420} \left(1 - \sqrt{1 - \frac{2 \times 0.121}{0.85 \times 35}} \right)$$

$$= 0.000288$$

Maka, $\rho = 0.0035$.

$$A_{\text{Spelu}} = \rho b d = 0.0035 \times 1000 \times 243.5 = 857.48 \text{ mm}^2$$

$$s = \frac{0.25 \times \pi \times \varnothing^2 \times 1000}{A_{\text{Spelu}}} = \frac{0.25 \times \pi \times 13^2 \times 1000}{857.48} = 154.8 \text{ mm}$$

Sehingga digunakan tulangan lentur D13-150 mm

Perhitungan tulangan tumpuan dan lapangan arah Y

Lapangan arah Y:

$$R_n = \frac{M_u}{0.9 \times b d^2} = \frac{685.44 \times 10000}{0.9 \times 1.000 \times 230.5^2} = 0.143 \text{ MPa}$$

$$\rho = \frac{0.85 \times f_{c'}}{f_y} \left(1 - \sqrt{1 - \frac{2R_n}{0.85 \times f_{c'}}} \right)$$

$$= \frac{0.85 \times 35}{420} \left(1 - \sqrt{1 - \frac{2 \times 0.143}{0.85 \times 35}} \right)$$

$$= 0.000342$$

Maka, $\rho = 0.0035$

$$A_{\text{Spesial}} = \rho b d = 0.0035 \times 1000 \times 230.5 = 811.70 \text{ mm}^2$$

$$s = \frac{0.25 \times \pi \times \varnothing^2 \times 1000}{As_{\text{Spesial}}} = \frac{0.25 \times \pi \times 13^2 \times 1.000}{811.70} = 163.52 \text{ mm}$$

Sehingga digunakan tulangan lentur D13-150 mm.

Tumpuan arah Y:

$$R_n = \frac{M_u}{0.9 \times b d^2} = \frac{2298.24 \times 10000}{0.9 \times 1000 \times 230.5^2} = 0.48 \text{ MPa}$$

$$\rho = \frac{0.85 \times f_c'}{f_y} \left(1 - \sqrt{1 - \frac{2 R_n}{0.85 \times f_c'}} \right)$$

$$= \frac{0.85 \times 35}{420} \left(1 - \sqrt{1 - \frac{2 \times 0.48}{0.85 \times 35}} \right)$$

$$= 0.001135$$

Maka, $\rho = 0.0035$

$$A_{\text{Spesial}} = \rho b d = 0.0035 \times 1.000 \times 230.5 = 811.70 \text{ mm}^2$$

$$s = \frac{0.25 \times \pi \times \varnothing^2 \times 1000}{As_{\text{Spesial}}} = \frac{0.25 \times \pi \times 13^2 \times 1.000}{811.70} = 163.52 \text{ mm}$$

Sehingga digunakan tulangan lentur D13-150 mm.

Halaman ini sengaja dikosongkan

BAB V

KESIMPULAN

5.1 Kesimpulan

Dari hasil perhitungan struktur dan analisa yang telah dilakukan, maka dapat diperoleh kesimpulan sebagai berikut.

1. Hasil permodelan dan analisa SAP2000 terhadap gedung yang direncanakan di lokasi Surabaya telah memenuhi kontrol gravitasi, kontrol partisipasi massa, kontrol waktu getar alami fundamental, kontrol nilai akhir respon spektrum, dan kontrol simpangan.
2. Hasil perhitungan struktur primer
 - a. Balok Prategang
 - Dimensi
 - Balok Sumbu X: 45/70 cm
 - Balok Sumbu Y: 45/70 cm
 - Gaya Prategang Awal
 - Balok Sumbu X: 2000 kN
 - Balok Sumbu Y: 3500 kN
 - b. Balok non-Prategang: 45/70
 - c. Kolom : 80/80 cm
 - d. Dinding Geser
 - Tebal
 - Tipe 1 : 50 cm
 - Tipe 2 : 50 cm
 - Jumlah Tendon (n strand/tendon)
 - Tipe 1 : 2 buah (5 strand/tendon)
 - Tipe 2 : 2 buah (5 strand/tendon)
3. Hasil perhitungan struktur sekunder
 - a. Pelat Lantai Kantor dan Atap

- Tebal
 - Tipe 1-Tipe 2 : 12 cm
 - Tipe 2.1: 12 cm
 - Tipe 3-Tipe 4 : 12 cm
 - Tipe 5-Tipe 6 : 12 cm
 - b. Balok Lift : WF 350 x 250 x 9 x 14
 - c. Balok Anak :
 - Sumbu X : 35/50 cm
 - Sumbu Y : 25/40 cm
 - d. Tangga
 - Dimensi
 - Tread : 28 cm
 - Riser : 18 cm
 - Tulangan
 - Lentur : D16-100
 - Bagi : D10-150
 - Susut : D10-200
4. Hasil perhitungan struktur bawah
- a. Tiang Pancang : D80 *Spun Pile* Wika Beton
 - b. Kedalaman : 52 m
 - c. Kondisi Tanah: SE (tanah lunak)
 - d. Jumlah Tiang Pancang
 - Tipe 1 : 5
 - Tipe 2 : 18
 - Tipe 3 : 24
5. Hasil dari permodelan dinding geser *self-centering* menunjukkan tegangan pada tendon masih dibawah tegangan leleh tendon (0.85fpu) ketika mengalami beban gempa dengan R=3. Hal ini menunjukkan bahwa tendon masih bersifat elastis dan dapat mengembalikan dinding geser ke posisi semula.

6. Hubungan balok kolom menggunakan sistem *self-centering* dimana kolom tidak mengekang balok. *Fiber-reinforced grout pad* untuk mencegah hubungan balok kolom bersifat kaku sehingga balok dan kolom dapat berdeformasi dengan bebas ketika terkena beban gempa. Tendon prategang nantinya akan mengembalikan balok ke posisi semula. Dari hasil perhitungan didapat tegangan pada hubungan balok kolom masih dibawah batas tegangan ijin.
7. Dinding *basement* direncanakan setebal 450 mm untuk menahan tekanan horizontal tanah aktif dan air. Tulangan yang digunakan yaitu D36-100 mm.
8. Pelat *basement* direncanakan setebal 300 mm dan dihitung berdasarkan dua kondisi yaitu kondisi tanah jenuh dengan air sehingga pelat menerima beban *uplift* dikurangi berat sendiri dan kondisi muka air tanah rendah sehingga pelat menerima beban parkir ditambah berat sendiri. Digunakan tulangan D13-150 mm

5.2 Saran

1. Dikarenakan sistem *self-centering* masih tidak umum diterapkan dalam desain gedung di Indonesia, maka kedepannya harus dilakukan studi lebih lanjut yang lebih mendalam agar desain yang dilakukan sesuai dengan kondisi asli di lapangan dan dapat diterapkan.
2. Permodelan *self-centering* akan lebih membuat hasil yang signifikan apabila dianalisis dengan analisa non-linear seperti *Time History*.
3. Kedepannya akan lebih baik apabila dilakukan analisis biaya untuk membandingkan biaya konstruksi gedung dengan sistem *self-centering* dan gedung dengan sistem penahan gempa lainnya.

Halaman ini sengaja dikosongkan

DAFTAR PUSTAKA

- Badan Standardisasi Nasional. 2018. *Tata Cara Perencanaan Ketahanan Gempa Untuk Struktur Bangunan Gedung dan Non-Gedung*. SNI 1726 – 2018.
- Badan Standardisasi Nasional. 2013. *Beban Minimum Untuk Perancangan Bangunan Gedung dan Struktur Lain*. SNI 1727 – 2013.
- Badan Standardisasi Nasional. 2018. *Persyaratan Beton Struktural Untuk Bangunan Gedung*. SNI 2847 – 2018.
- Cattanach, A., dan Stefano Pampanin. 2008. *21st Century Precast: The Detailing and Manufacture of NZ's First Multi-Storey PRESSS Building*. New Zealand Society for Earthquake Engineering Conference 2008, Rotorua, Selandia Baru
- Direktorat Penyelidikan Masalah Bangunan. 1983. Peraturan Pembebanan Indonesia Untuk Gedung (PPIUG).
- Ei-sheikh, M. T., Richard Sause., Stephen Pessiki., & Le-Wu Lu. (1999). *Seismic Behavior and Design of Seismic Behavior and Design of Unbonded Post-Tensioned Precast Concrete Frames*. PCI Journal 44(5) : 54-71
- Fintel, M. 1995. *Performance of Buildings With Shear Walls in Earthquakes of the Last Thirty Years*. PCI Journal 40(3) : 62-80
- Gerosa, S., dan Beatrice Meroni. 2015. *Analysis, Design, and Modelling of Unbonded Post-Tensioned Concrete Shear Walls in Seismic Areas*. Master thesis. School of Civil,

Environmental, and Land Management Engineering,
Politecnico di Milano, Italia

Henry, R. S. 2011. *Self-centering Precast Concrete Walls for Buildings in Regions with Low to High Seismicity*. Master thesis. Departemen Teknik Sipil dan Lingkungan, Universitas Auckland, Selandia Baru

Holden, T. J. 2001. A Comparison of The Seismic Performance of Precast Wall Construction: Emulation and Hybrid Approaches. Master thesis. Departemen Teknik Sipil, Universitas Canterbury, Selandia Baru

Kam, W. Y., Stefano Pampanin., dan Ken Elwood. 2011. *Seismic Performance of Reinforced Concrete Buildings in the 22nd February Christchurch (Lyttelton) Earthquake. New Zealand Society for Earthquake Engineering* 44(4), 239-278

Kurama, Y. C., Stephen Pessiki, Richard Sause, dan Le-Wu Lu. 1999. *Seismic Behavior and Design of Seismic Behavior and Design of Unbonded Post-Tensioned Precast Concrete Walls*. **PCI Journal** 44(5) : 72-89

Park, R. 1995. *A Perspective on the Seismic Design of Precast Concrete Structures in New Zealand*. **PCI Journal** 40(3), 40-60

PCI. PCI Design Handbook Precast and Prestressed Concrete 5th Edition. Chicago : PCI Industry Handbook Committee.

- Porco, F., Raffaele, D., & Uva, G. 2013. *A Simplified Procedure for the Seismic Design of Hybrid Connections in Precast Concrete Structures*. **The Open Construction and Building Technology Journal** 7(1), 63-73
- Priestley, M. N. 2002. *Direct Displacement-Based Design of Precast/Prestressed Concrete Buildings*. **PCI Journal** 47(6), 66-79
- Priestley, M. N., Calvi, G. M., dan Kowalsky, M. J. 2007. *Displacement-Based Design of Structures*. Italia: IUSS Press
- Priestley, M. N., Sri Sritharan., James R. Conley., dan Stefano Pampanin. 1999. *Preliminary Results and Conclusions From the PRESSS Five-Story Precast Concrete Test Building*. **PCI Journal** 44(6), 42-67
- Rahman, A. M., dan Restrepo, J. I. 2000. *Earthquake Resistant Precast Concrete Buildings: Seismic Performance of Cantilever Walls Prestressed Using Unbonded Tendons*. Laporan Riset. Dept. Teknik Sipil, Universitas Canterbury, Selandia Baru
- Smith, B. J., dan Yahya Kurama. 2008. *Design of Hybrid Precast Concrete Walls for Seismic Regions*. **Proceedings of the 2009 Structures Congress - Don't Mess with Structural Engineers: Expanding Our Role**, Texas, 30 April – 2 Mei
- Sritharan, S., Sriram Aaleti., dan Derek J. Thomas. 2007. *Seismic Analysis and Design of Precast Concrete Jointed Wall Systems*. Laporan Riset. Dept. Teknik Sipil, Konstruksi, dan Lingkungan, Universitas Iowa

- Stevenson, M., Michael Korolyk., Leo Panian., dan David Mar.
2014. *Post-Tensioned Concrete Walls and Frames for Seismic- Resistance – A Case Study of the David Brower Center. Proceedings of SEAOC 2008 Convention.* Amerika Serikat, 23-27 September.
- Yudi, A. 2018. *Perencanaan Sistem Struktur Balok Beton Pracetak Hibrida. Jurnal Rekayasa Sipil* 14(1), 35-48

LAMPIRAN

PROJECT : CWS Tahap 3

LOCATION : Mayjend Sungkono, Surabaya
Sta / Ch :

Ground Water Level :
Ground Surface Level :

Depth: 60 m

SPT = Standard Penetration Test (Blows/30cm)
 + = Undisturbed Vane Shear Strength (kg/cm²)
 x = Remolded Vane Shear Strength (kg/cm²)
 q_u = Unconfined Compressive Strength (kg/cm²)
 St = Sensitivity

c = Cohesion (kg/cm²)
 Φ = Angle of internal friction
 UU = Unconsolidated Undrained
 CU = Consolidated Undrained
 CD = Consolidated Drained
 DS = Direct Shear

- $\text{o} = \text{wn}$ = moisture content (%)
- $\bullet = \text{wp}$ = plastic limit (%)
- $\Delta = \text{wl}$ = liquid limit (%)
- γ = bulk density (g/cc)
- G_S = specific gravity
- $e = n$ = void ratio

BOREHOLE No

B1

THIN WALL ED

48

M 2001/2

PROJECT : CWS Tahap 3

LOCATION : Mayjend Sungkono, Surabaya
Sta / Ch :

Ground Water Level :
Ground Surface Level :

Depth : 60 m



over than
5 years

of Geotechnical Engineering Services

SPT = Standard Penetration Test (Blows/30cm)
 + = Undisturbed Vane Shear Strength (kg/cm²)
 x = Remolded Vane Shear Strength (kg/cm²)
 q_u = Unconfined Compressive Strength (kg/cm²)
 St = Sensitivity

c = Cohesion (kg/cm²)
 ϕ = Angle of internal friction
UU = Unconsolidated Undrained
CU = Consolidated Undrained
CD = Consolidated Drained
DS = Direct Shear

- o = wn = moisture content (%)
- = wp = plastic limit (%)
- ▲ = wl = liquid limit (%)
- γ = bulk density (g/cc)
- G_s = specific gravity
- e_o = void ratio

BOREHOLE No

B1

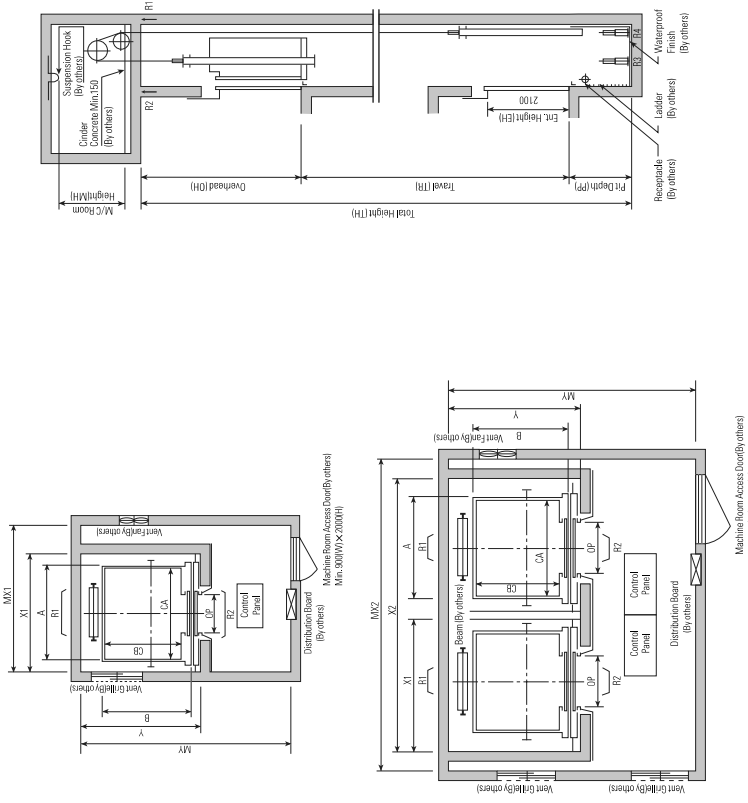
THIN WALLED

4 SBT

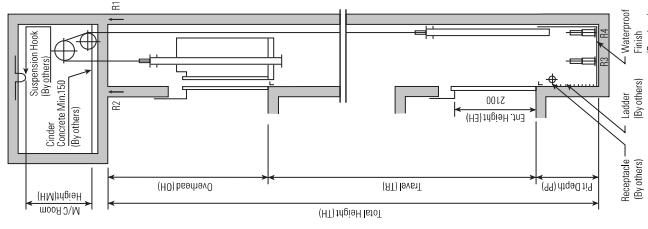
■ CORNU

Layout Plan - LUXEN(Gearless Elevators) 1~2.5m/sec

Plan of Hoistway & Machine Room



Section of Hoistway



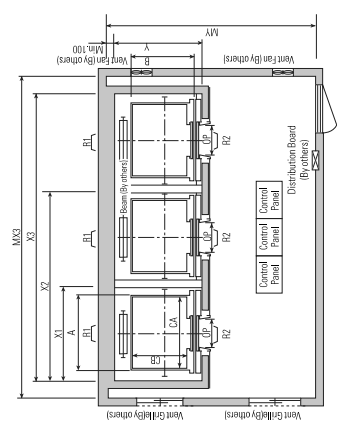
Standard Dimensions & Reactions

| Speed (m/sec) | Capacity Persons | Clear Opening kg | Op | Car | | | Hoistway | | | M/C Room | | | Pit Reaction (kg) | | | | |
|------------------|---------------------|------------------------|-----------|-----------|-----------|------|----------|------|------|----------|------|------|----------------------|------|-------|-------|------|
| | | | | CA × CB | A × B | X1 | X2 | X3 | Y | MX1 | MX2 | MX3 | MV | R1 | R2 | R3 | R4 |
| 6 | 450 | 800 | 1400×850 | 1460×1095 | 1800 | 3700 | 5600 | 1430 | 2000 | 4000 | 6000 | 3200 | 3600 | 2000 | 5400 | 4500 | |
| 8 | 550 | 800 | 1400×1030 | 1460×1185 | 1800 | 3700 | 5600 | 1610 | 2000 | 4000 | 6000 | 3400 | 4050 | 2250 | 6000 | 4900 | |
| 1 | 9 | 600 | 800 | 1400×1130 | 1460×1285 | 1800 | 3700 | 5600 | 1710 | 2000 | 4000 | 6000 | 3500 | 4100 | 2450 | 6300 | 5100 |
| 1.5 | 10 | 700 | 800 | 1400×1250 | 1460×1405 | 1800 | 3700 | 5600 | 1830 | 2000 | 4000 | 6000 | 3600 | 4200 | 2700 | 6800 | 5400 |
| 1.5 | 11 | 750 | 800 | 1400×1350 | 1460×1505 | 1800 | 3700 | 5600 | 1930 | 2000 | 4000 | 6000 | 3700 | 4550 | 2800 | 7100 | 5600 |
| 1.75 | 13 | 900 | 900 | 1600×850 | 1660×1095 | 2050 | 4200 | 6350 | 1980 | 2300 | 4400 | 6800 | 3750 | 5100 | 3000 | 8100 | 6300 |
| 1.75 | 15 | 1000 | 900 | 1600×1500 | 1660×1655 | 2050 | 4200 | 6350 | 2130 | 2300 | 4400 | 6800 | 3850 | 5450 | 4300 | 8600 | 6400 |
| 2 (new) | 17 | 1150 | 1000 | 1800×1500 | 1900×1670 | 2350 | 4800 | 7250 | 2180 | 2600 | 4900 | 7500 | 3900 | 6600 | 5100 | 11000 | 8700 |
| 2.5 (new) | 20 | 1350 | 1100 | 2000×1500 | 2100×1670 | 2550 | 5200 | 7850 | 2180 | 2800 | 5250 | 8300 | 4000 | 7800 | 6000 | 12200 | 9500 |
| 24 | 1600 | 1100 | 2000×1750 | 2100×1920 | 2550 | 5200 | 7850 | 2430 | 2900 | 5400 | 8300 | 4300 | 8500 | 6800 | 13600 | 10400 | |

Notes: 1. Above hoistway dimensions are based on 15-story buildings. For application to over 15-story buildings, add 5% larger considering the sloping of the horntways.
 2. Above dimensions are based on center opening doors. For applicable dimensions with side opening doors, consult Hyundai.
 3. When non-standard capacities and dimensions are required to meet the local code, consult Hyundai.
 4. The capacity in persons is calculated at 156kg/person. (MWB 75kg/person)
 5. Above dimensions are applied in case the door is standard, i.e. protection door that the clear opening is over 1000mm is applied, hoistway size for 1 year should be applied above X1 dimension plus 100mm.
 6. Increase of 2m/sec and 2.5m/sec, hoistway size is above plus 100mm, the machine room size is above plus 100mm.

| Speed (m/sec) | Overhead (O H) | Pit (Pp) | | M/C Room (Mh) |
|------------------|-------------------|-------------|-------|------------------|
| | | Min | Max | |
| 1 | 4,600 | 1,500 | 2,200 | |
| 1.5 | 4,800 | 1,800 | 2,400 | |
| 1.75 | 5,000 | 2,100 | 2,400 | |
| 2 | 5,000 | 2,100 | 2,600 | |
| 2.5 | 5,500 | 2,400 | 2,600 | |

Notes: 1. Machine room temperature should be maintained below 40°C with ventilation fan and/or airconditioner if necessary and humidity less than 90%.
 2. The minimum machine room dimensions are shown on the above table. Therefore, some allowances should be made considering the sloping of the horntways.
 3. The minimum machine room height should be 800mm in case of the traction machine with double solution pad.
 4. For garage (1:1 going) elevators, the minimum machine room height should be 240mm.



MULTISTRAND POST-TENSIONING



STRAND PROPERTIES – TO AS1311

| Nominal Diameter mm | Nominal Steel Area mm ² | Nominal Mass kg/m | Minimum Breaking Load kN | Minimum Proof Load (0.2% Offset) kN | Min. Elong. to Fracture in 600mm % | Relaxation After 1,000hrs at 0.7 Breaking Load % | Modulus of Elasticity MPa |
|------------------------|---------------------------------------|----------------------|-----------------------------|---|---|--|---------------------------------|
| 12.7 | 100.1 | 0.786 | 184 | 156.4 | 3.5 | 2.5 | 180-205 |
| 15.2 | 143.3 | 1.125 | 250 | 212.5 | 3.5 | 2.5 | $\times 10^7$ |

TENDON PROPERTIES

| STRAND TYPE 12.7mm | | | |
|--------------------|----------------|--------------------------|----------------------------------|
| TENDON UNIT | No. OF STRANDS | Minimum Breaking Load kN | STEEL DUCT. Internal Diameter mm |
| 5-3 | 2 | 368 | 39 |
| | 3 | 552 | 39 |
| 5-7 | 4 | 736 | 51 |
| | 5 | 920 | 51 |
| | 6 | 1100 | 51 |
| | 7 | 1290 | 51 |
| 5-12 | 8 | 1470 | 69 |
| | 9 | 1660 | 69 |
| | 10 | 1840 | 69 |
| | 11 | 2020 | 69 |
| | 12 | 2210 | 69 |
| | 13 | 2390 | 84 |
| 5-19 | 14 | 2580 | 84 |
| | 15 | 2760 | 84 |
| | 16 | 2940 | 84 |
| | 17 | 3130 | 84 |
| | 18 | 3310 | 84 |
| | 19 | 3500 | 84 |
| 5-22 | 20 | 3680 | 90 |
| | 21 | 3860 | 90 |
| | 22 | 4050 | 90 |
| 5-27 | 23 | 4220 | 96 |
| | 24 | 4420 | 96 |
| | 25 | 4600 | 96 |
| | 26 | 4780 | 96 |
| | 27 | 4970 | 96 |
| 5-31 | 28 | 5150 | 105 |
| | 29 | 5340 | 105 |
| | 30 | 5520 | 105 |
| | 31 | 5700 | 105 |
| 5-37 | 32 | 5890 | 115 |
| | 33 | 6070 | 115 |
| | 34 | 6260 | 115 |
| | 35 | 6440 | 115 |
| | 36 | 6620 | 115 |
| 5-42 | 37 | 6810 | 115 |
| | 38 | 6990 | 118 |
| | 39 | 7180 | 118 |
| | 40 | 7360 | 118 |
| | 41 | 7540 | 118 |
| 5-48 | 42 | 7730 | 118 |
| | 43 | 7910 | 127 |
| | 44 | 8100 | 127 |
| | 45 | 8280 | 127 |
| | 46 | 8460 | 127 |
| 5-55 | 47 | 8650 | 127 |
| | 48 | 8830 | 127 |
| | 49 | 9020 | 135 |
| | 50 | 9200 | 135 |
| | 51 | 9380 | 135 |
| 5-55 | 52 | 9570 | 135 |
| | 53 | 9750 | 135 |
| | 54 | 9940 | 135 |
| | 55 | 10120 | 135 |

| STRAND TYPE 15.2mm | | | |
|--------------------|----------------|--------------------------|----------------------------------|
| TENDON UNIT | No. OF STRANDS | Minimum Breaking Load kN | STEEL DUCT. Internal Diameter mm |
| 6-3 | 2 | 500 | 39 |
| | 3 | 750 | 39 |
| 6-4 | 4 | 1000 | 51 |
| | 5 | 1250 | 69 |
| 6-7 | 6 | 1500 | 69 |
| | 7 | 1750 | 69 |
| 6-12 | 8 | 2000 | 84 |
| | 9 | 2250 | 84 |
| | 10 | 2500 | 84 |
| | 11 | 2750 | 84 |
| | 12 | 3000 | 84 |
| | 13 | 3250 | 96 |
| 6-19 | 14 | 3500 | 96 |
| | 15 | 3750 | 96 |
| | 16 | 4000 | 96 |
| | 17 | 4250 | 96 |
| | 18 | 4500 | 96 |
| | 19 | 4750 | 96 |
| 6-22 | 20 | 5000 | 105 |
| | 21 | 5250 | 105 |
| | 22 | 5500 | 105 |
| 6-27 | 23 | 5750 | 115 |
| | 24 | 6000 | 115 |
| | 25 | 6250 | 115 |
| | 26 | 6500 | 115 |
| | 27 | 6750 | 115 |
| 6-31 | 28 | 7000 | 118 |
| | 29 | 7250 | 118 |
| | 30 | 7500 | 118 |
| | 31 | 7750 | 118 |
| 6-37 | 32 | 8000 | 127 |
| | 33 | 8250 | 127 |
| | 34 | 8500 | 127 |
| | 35 | 8750 | 127 |
| 6-42 | 36 | 9000 | 135 |
| | 37 | 9250 | 135 |
| | 38 | 9500 | 135 |
| | 39 | 9750 | 135 |
| | 40 | 10000 | 135 |
| | 41 | 10250 | 135 |
| 6-48 | 42 | 10500 | 135 |
| | 43 | 10750 | 144 |
| | 44 | 11000 | 144 |
| | 45 | 11250 | 144 |
| | 46 | 11500 | 144 |
| 6-55 | 47 | 11750 | 144 |
| | 48 | 12000 | 144 |
| | 49 | 12250 | 154 |
| | 50 | 12500 | 154 |
| | 51 | 12750 | 154 |
| 6-55 | 52 | 13000 | 154 |
| | 53 | 13250 | 154 |
| | 54 | 13500 | 154 |
| | 55 | 13750 | 154 |

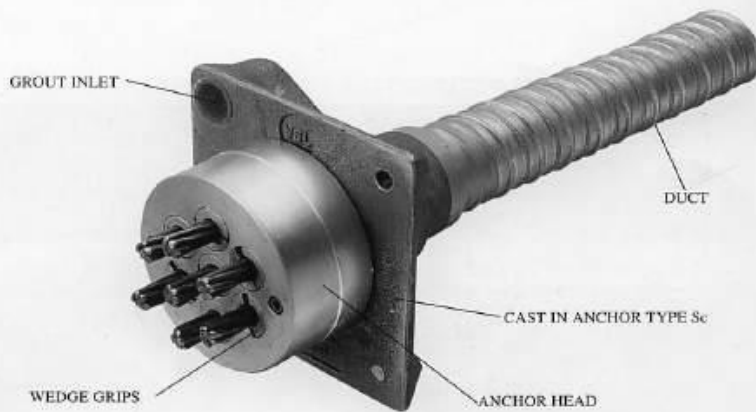
Note: 1. Intermediate duct diameters may be available on application.

2. Duct diameters are for corrugated steel duct.

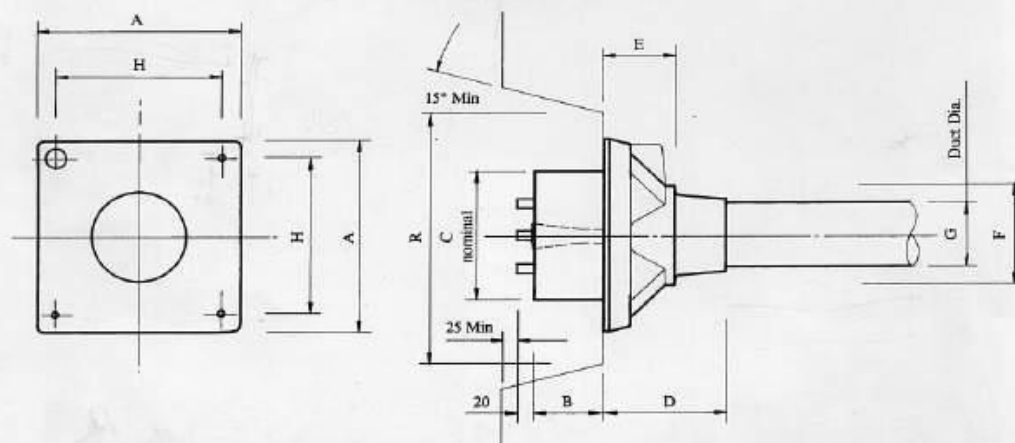
3. Duct external dia. = 1. Dia. + 6mm nominal

4. Corrugated polyethylene PT-Plus™ duct is also available; refer page 14.

5. For special applications other strand and tendon capacities are available.



VSL STRESSING ANCHORAGE TYPE Sc
LIVE END



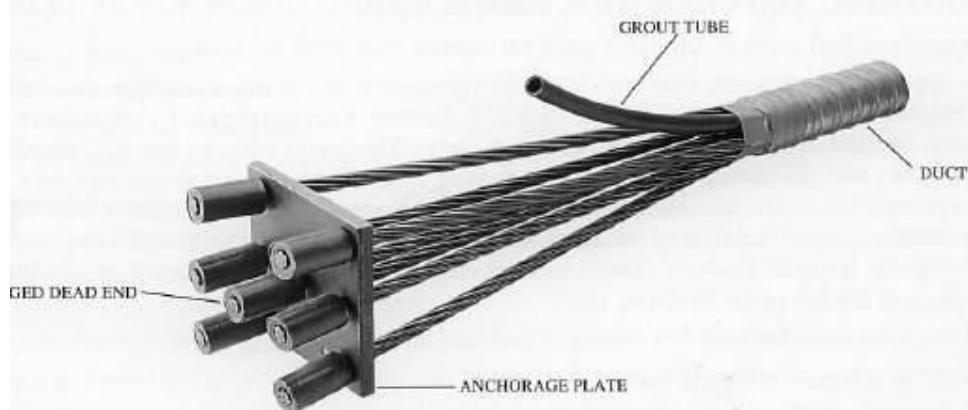
| TENDON UNIT | Dimensions (mm) | | | | | | | | | |
|--------------------|-----------------|-----|-----|-----|------|-----|-------------|-----|-----|-----|
| | A | B | C | D | E | F | G Int. Dia. | H | R | |
| STRAND TYPE 12.7mm | *5-3P | 135 | 57 | 90 | 191 | 16 | 56 | 39 | 116 | 210 |
| | *5-4P | 150 | 57 | 90 | 216 | 16 | 64 | 39 | 125 | 210 |
| | 5-7 | 165 | 57 | 120 | 100 | 90 | 85 | 51 | 125 | 275 |
| | 5-12 | 215 | 84 | 160 | 160 | 84 | 120 | 69 | 151 | 320 |
| | 5-19 | 265 | 66 | 184 | 210 | 110 | 145 | 84 | 200 | 360 |
| | 5-22 | 290 | 77 | 200 | 215 | 140 | 153 | 90 | 230 | 360 |
| | 5-27 | 315 | 92 | 220 | 250 | 160 | 176 | 96 | 250 | 360 |
| | 5-31 | 315 | 92 | 230 | 250 | 161 | 175 | 105 | 250 | 360 |
| | 5-37 | 370 | 107 | 250 | 320 | 160 | 200 | 115 | 305 | 650 |
| | 5-42 | 390 | 112 | 290 | 346 | 168 | 217 | 118 | 325 | 650 |
| STRAND TYPE 15.2mm | 5-48 | 430 | 122 | 300 | 340 | 161 | 233 | 127 | 365 | 750 |
| | 5-55 | 465 | 142 | 320 | 340 | 160 | 400 | 135 | 400 | 750 |
| | *6-3P | 150 | 60 | 90 | 190 | 16 | 56 | 39 | 116 | 210 |
| | *6-4P | 165 | 54 | 120 | 100 | 60 | 85 | 51 | 125 | 270 |
| | 6-7 | 215 | 54 | 160 | 160 | 85 | 120 | 69 | 150 | 320 |
| | 6-12 | 265 | 66 | 180 | 210 | 110 | 145 | 84 | 200 | 360 |
| STRAND TYPE 15.2mm | 6-19 | 315 | 92 | 220 | 250 | 160 | 175 | 96 | 250 | 360 |
| | 6-22 | 315 | 92 | 230 | 250 | 160 | 175 | 105 | 250 | 360 |
| | 6-27 | 370 | 107 | 250 | 320 | 160 | 200 | 115 | 305 | 650 |
| | 6-31 | 390 | 112 | 290 | 340 | 160 | 217 | 118 | 325 | 650 |
| | 6-37 | 430 | 122 | 300 | 340 | 160 | 235 | 135 | 365 | 750 |
| | 6-42 | 465 | 142 | 320 | 340 | 160 | 250 | 135 | 400 | 750 |
| | *6-48P | 575 | 135 | 340 | 1035 | 110 | 269 | 144 | 495 | 900 |
| | *6-55P | 600 | 190 | 360 | 1070 | 120 | 294 | 154 | 520 | 900 |

Note: Dimension R does not allow for Lift Off force check. Smaller recesses can be provided for special cases.

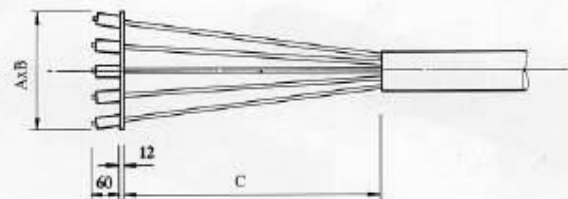
Refer VSL office for details.

*Plate type anchorages (Type P). Also available for other tendon units.

MULTISTRAND POST-TENSIONING



VSL DEAD END ANCHORAGE TYPE P



| TENDON UNIT | STRAND TYPE 12.7mm | | |
|----------------|--------------------|----------------------|------|
| | A | B Dimensions (mm) | C |
| 5-3 | 100 | 100 | 100 |
| 5-4 | 120 | 120 | 150 |
| 5-7 | 150 | 150 | 250 |
| 5-12 | 200 | 200 | 350 |
| 5-19 | 250 | 250 | 500 |
| 5-22 | 300 | 250 | 500 |
| 5-27 | 300 | 300 | 650 |
| 5-31 | 350 | 300 | 650 |
| 5-37 | 375 | 350 | 850 |
| 5-42 | 375 | 375 | 850 |
| 5-48 | 400 | 400 | 1000 |
| 5-55 | 425 | 425 | 1000 |

| TENDON UNIT | STRAND TYPE 15.2mm | | |
|----------------|--------------------|----------------------|------|
| | A | B Dimensions (mm) | C |
| 6-3 | 150 | 150 | 250 |
| 6-4 | 150 | 150 | 250 |
| 6-7 | 200 | 200 | 350 |
| 6-12 | 250 | 250 | 500 |
| 6-19 | 300 | 300 | 500 |
| 6-22 | 300 | 300 | 500 |
| 6-27 | 350 | 350 | 650 |
| 6-31 | 350 | 350 | 650 |
| 6-37 | 400 | 350 | 850 |
| 6-42 | 400 | 350 | 850 |
| 6-48 | 475 | 475 | 1000 |
| 6-55 | 550 | 475 | 1000 |



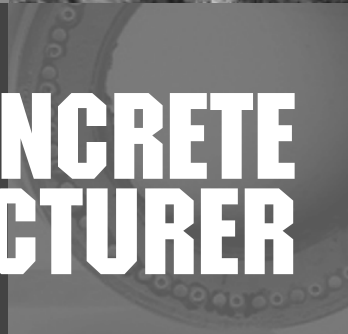
Innovation and Trust

BROCHURE

THE PRECAST CONCRETE MANUFACTURER



PT CITRA LAUTAN TEDUH



PC PILES

DESCRIPTION

| | |
|-------------------|---|
| Type of Piles | Prestressed Concrete Square Piles Prestressed Concrete Spun Piles Prestressed Concrete Spun Square Piles Prestressed Concrete Triangular Piles |
| System of Joints | Welded at steel joint plate |
| Type of Shoe | Concrete Pencil Shoe (Standard) for PC Spun Piles, Spun Square Pile & Square Piles Mamira Shoe (Special Order) for PC Spun Pile |
| Method of Driving | Dynamic Pile Driving : Diesel Hammer and Hydraulic Hammer Static Pile Driving : Hydraulic Static Pile Driver (Jacking Pile) |

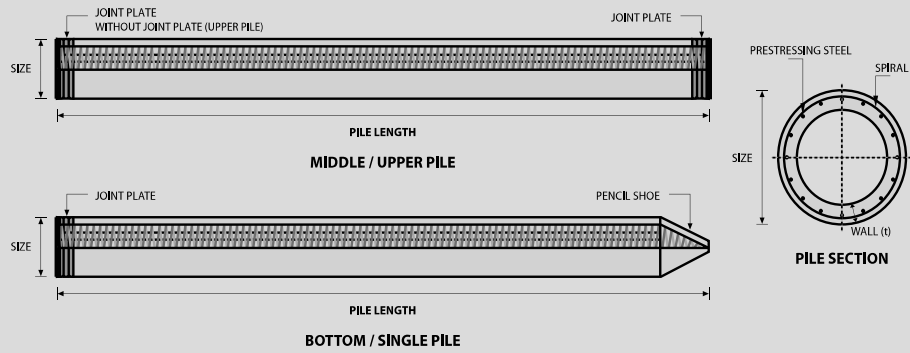
DESIGN & MANUFACTURING REFERENCE

| | | |
|---------------|---------------------------------------|--|
| Design | ACI 543R | Design, Manufactured and Installation of Concrete Piles Chapter-4 Structural design requirement for piles with no seismic loading (In case pile is consider to seismic loading, piles detail should re-design refer to ACI 543R Chapter-5) |
| Manufacturing | SNI 2847 - 2013 WB - PRD - PS - 16 | Indonesian Standard Code for Concrete Production Manufacturing Procedure |

MATERIAL SPECIFICATION

| ITEM | REFERENCE | DESCRIPTION | SPECIFICATION |
|-------------|------------------------------------|---|---|
| Aggregate | ASTM C 33 / C 33M-11a | Standard Specification for Concrete Aggregates | |
| Cement | SNI 2049 - 2015 | Portland Cement | Standard Product Type I Special Order : Type II or V |
| Admixture | ASTM C 494 / C 494M - 99a | Standard Specification for Chemical Admixture for Concrete | Type F : High Range Water Reducing Admixture |
| Concrete | SNI 2834 - 2000 SNI 2493 - 2011 | Concrete Mix Design Making and Curing Concrete Sample | |
| PC Strand | ASTM A 416 / A 416M - 99 | Standard Specification for Steel Strand, Uncoated Seven-Wire for Prestressed Concrete | Grade 270 (Low Relaxation Type) |
| PC Wire | JIS G 3536 - 2014 | Uncoated Stress-Relieved Steel Wires and Strands for Prestressed Concrete | SWPD1 (Deformed Wire Type) |
| PC Bar | JIS G 3137 - 2008 | Small Size-Deformed Steel Bars for Prestressed Concrete | Grade D - Class 1 - SBPD 1275/1420 |
| Rebar | SNI 2052 - 2014 | Reinforcement Steel for Concrete | Steel Class : BjTS 40 (Deformed) Steel Class : BjTP 24 (Round) |
| Spiral Wire | JIS G 3532 - 2011 | Low Carbon Steel Wires | SWM-P (Round Type) Cold-reduced steel wire for the reinforcement of concrete and the manufacture of welded fabric. |
| Joint Plate | JIS G 3101 - 2004 | Rolled Steels for General Structure | SS400 (Tensile Strength 400 N/mm ²) Applicable steel product for steel plates and sheets, steel strip in coil, sections, flats and bars. |
| Welding | ANSI / AWS D1.1 - 900 | Structural Welding Code Steel | AWS A5.1/E6013 NIKKO STEEL RB 26 / RD 260, LION 26, or equivalent. |

PILE SHAPE & SPECIFICATION | PRESTRESSED CONCRETE SPUN PILES



PRESTRESSED CONCRETE SPUN PILES SPECIFICATION

Concrete Compressive Strength $f_c' = 52 \text{ MPa}$ (Cube 600 kg/cm³)

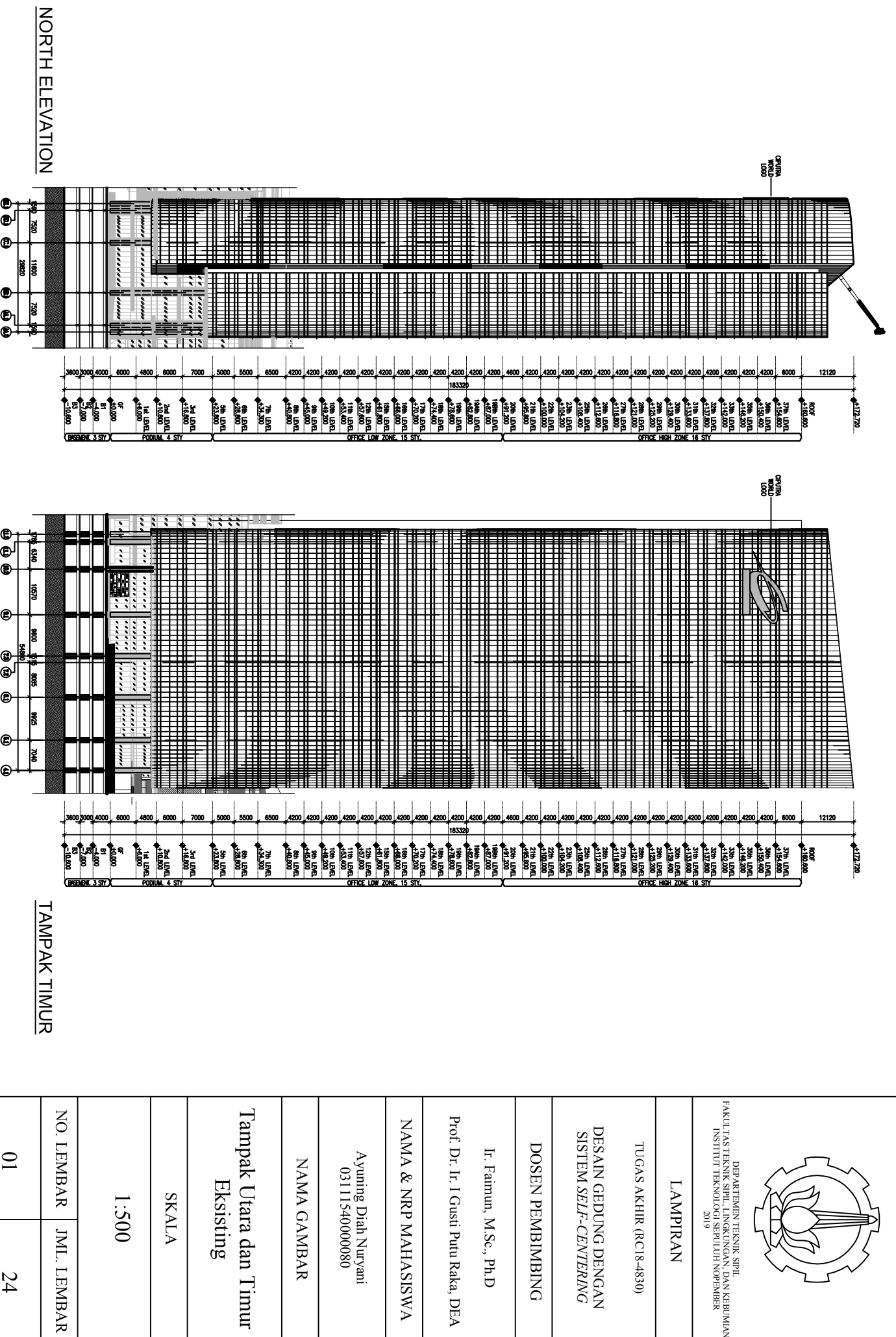
| Size (mm) | Thickness Wall (t) | Cross Section (cm ²) | Section Inertia (cm ⁴) | Unit Weight (kg/m) | Class | Bending Moment | | Allowable Compression (ton) | Decompression Tension (ton) | Length of Pile** (m) |
|----------------|-------------------------|---|---|----------------------------|-------|----------------------|--------------------|-------------------------------------|-------------------------------------|------------------------------|
| | | | | | | Crack * (ton.m) | Break (ton.m) | | | |
| 300 | 60 | 452.39 | 34,607.78 | 113 | A2 | 2.50 | 3.75 | 72.60 | 23.11 | 6 - 12 |
| | | | | | A3 | 3.00 | 4.50 | 70.75 | 29.86 | 6 - 13 |
| | | | | | B | 3.50 | 6.30 | 67.50 | 41.96 | 6 - 14 |
| | | | | | C | 4.00 | 8.00 | 65.40 | 49.66 | 6 - 15 |
| 350 | 65 | 581.98 | 62,162.74 | 145 | A1 | 3.50 | 5.25 | 93.10 | 30.74 | 6 - 13 |
| | | | | | A3 | 4.20 | 6.30 | 89.50 | 37.50 | 6 - 14 |
| | | | | | B | 5.00 | 9.00 | 86.40 | 49.93 | 6 - 15 |
| | | | | | C | 6.00 | 12.00 | 85.00 | 60.87 | 6 - 16 |
| 400 | 75 | 765.76 | 106,488.95 | 191 | A2 | 5.50 | 8.25 | 121.10 | 38.62 | 6 - 14 |
| | | | | | A3 | 6.50 | 9.75 | 117.60 | 45.51 | 6 - 15 |
| | | | | | B | 7.50 | 13.50 | 114.40 | 70.27 | 6 - 16 |
| | | | | | C | 9.00 | 18.00 | 111.50 | 80.94 | 6 - 17 |
| 450 | 80 | 929.91 | 166,570.38 | 232 | A1 | 7.50 | 11.25 | 149.50 | 39.28 | 6 - 14 |
| | | | | | A2 | 8.50 | 12.75 | 145.80 | 53.39 | 6 - 15 |
| | | | | | A3 | 10.00 | 15.00 | 143.80 | 66.57 | 6 - 16 |
| | | | | | B | 11.00 | 19.80 | 139.10 | 78.84 | 6 - 17 |
| 500 | 90 | 1,159.25 | 255,324.30 | 290 | A1 | 10.50 | 15.75 | 185.30 | 54.56 | 6 - 15 |
| | | | | | A2 | 12.50 | 18.75 | 181.70 | 68.49 | 6 - 16 |
| | | | | | A3 | 14.00 | 21.00 | 178.20 | 88.00 | 6 - 17 |
| | | | | | B | 15.00 | 27.00 | 174.90 | 94.13 | 6 - 18 |
| 600 | 100 | 1,570.80 | 510,508.81 | 393 | A1 | 17.00 | 25.50 | 252.70 | 70.52 | 6 - 16 |
| | | | | | A2 | 19.00 | 28.50 | 249.00 | 77.68 | 6 - 17 |
| | | | | | A3 | 22.00 | 33.00 | 243.20 | 104.94 | 6 - 18 |
| | | | | | B | 25.00 | 45.00 | 238.30 | 131.10 | 6 - 19 |
| 800 | 120 | 2,563.54 | 1,527,869.60 | 641 | A1 | 40.00 | 60.00 | 415.00 | 119.34 | 6 - 20 |
| | | | | | A2 | 46.00 | 69.00 | 406.10 | 151.02 | 6 - 21 |
| | | | | | A3 | 51.00 | 76.50 | 399.17 | 171.18 | 6 - 22 |
| | | | | | B | 55.00 | 99.00 | 388.61 | 215.80 | 6 - 23 |
| 1000 *** | 140 | 3,782.48 | 3,589,571.20 | 946 | A1 | 65.00 | 130.00 | 368.17 | 290.82 | 6 - 24 |
| | | | | | A2 | 75.00 | 112.50 | 613.52 | 169.81 | 6 - 22 |
| | | | | | A3 | 82.00 | 123.00 | 601.27 | 215.16 | 6 - 23 |
| | | | | | B | 93.00 | 139.50 | 589.66 | 258.19 | 6 - 24 |
| 1200 *** | 150 | 4,948.01 | 6,958,136.85 | 1,237 | A1 | 105.00 | 189.00 | 575.33 | 311.26 | 6 - 24 |
| | | | | | A2 | 120.00 | 180.00 | 802.80 | 221.30 | 6 - 24 |
| | | | | | A3 | 130.00 | 195.00 | 794.50 | 252.10 | 6 - 24 |
| | | | | | B | 145.00 | 217.50 | 778.60 | 311.00 | 6 - 24 |
| | | | | | C | 170.00 | 306.00 | 751.90 | 409.60 | 6 - 24 |
| | | | | | | 200.00 | 400.00 | 721.50 | 522.20 | 6 - 24 |

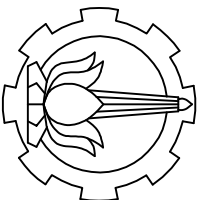
Unit Conversion : 1 ton = 9.8060 kN

Note : *) Crack Moment Based on JIS A 5335-1987 (Prestressed Spun Concrete Piles)

**) Length of pile may exceed usual standard whenever lifted in certain position

***) Type of Shoe for Bottom Pile is Mamira Shoe





DEPARTEMEN TEKNIK SIPIL
FAKULTAS TEKNIK SIPIL, JNGKUNGAN DAN KEBUMIAN
INSTITUT TEKNOLOGI SEPULUH NOPEMBER
2019

LAMPIRAN

TUGAS AKHIR (RC18-4830)

DESAIN GEDUNG DENGAN
SISTEM SELF-CENTERING

DOSEN PEMBIMBING

Ir. Faimun, M.Sc., Ph.D

Prof. Dr. Ir. I Gusti Putu Raka, DEA

NAMA & NRP MAHASISWA

Ayuning Diah Nurayani
03111540000080

NAMA GAMBAR

Denah Lantai Tipikal

SKALA

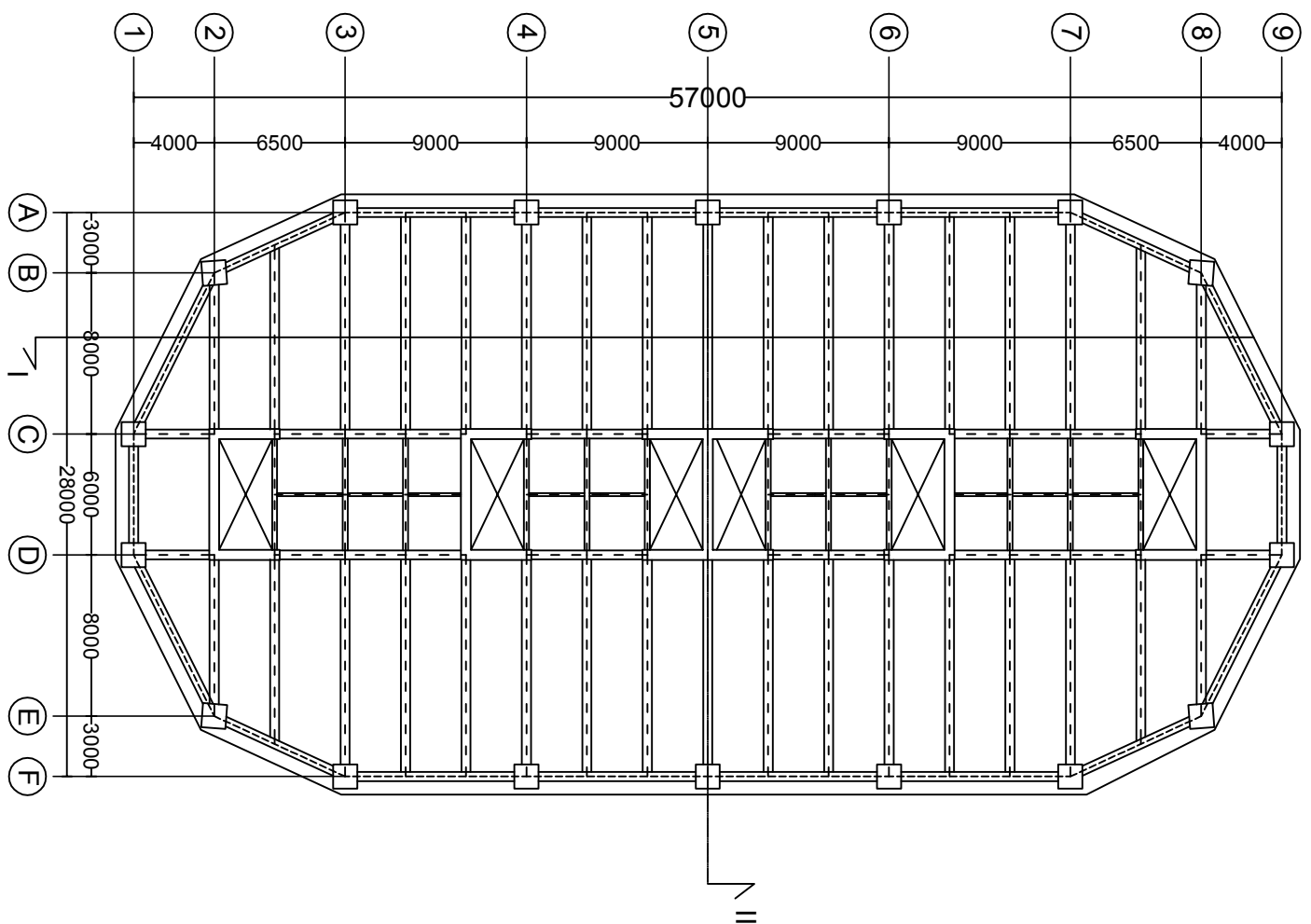
1:350

NO. LEMBAR

JML. LEMBAR

02

24



ROOFTOP ▼ +55.80

LANTAI 14 ▼ +54.80

LANTAI 13 ▼ +50.40

LANTAI 12 ▼ +46.20

LANTAI 11 ▼ +42.00

LANTAI 10 ▼ +37.80

LANTAI 9 ▼ +33.60

LANTAI 8 ▼ +29.40

LANTAI 7 ▼ +25.20

LANTAI 6 ▼ +21.00

LANTAI 5 ▼ +16.80

LANTAI 4 ▼ +12.60

LANTAI 3 ▼ +8.40

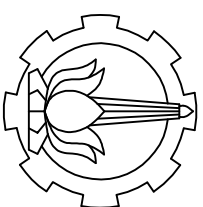
LANTAI 2 ▼ +4.20

LANTAI 1 ▼ +0.00

BASEMENT ▼ -4.00

FAKULTAS TEKNIK SIPIL, JENJANGAN DAN KEBUMIAN

DEPARTEMEN TEKNIK SIPIL
INSTITUT TECNOLOGI SEPULUH NOVEMBER
2019



TUGAS AKHIR (RC18-4830)

DESAIN GEDUNG DENGAN
SISTEM SELF-CENTERING

DOSEN PEMBIMBING

Ir. Faimun, M.Sc., Ph.D

Prof. Dr. Ir. I Gusti Putu Raka, DEA

NAMA & NRP MAHASISWA

Ayuning Diah Nurayani
03111540000080

NAMA GAMBAR

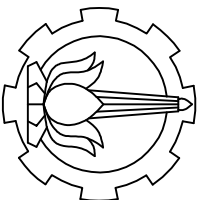
Potongan I-I
(Memanjang)

SKALA

1:250

NO. LEMBAR JML. LEMBAR

03 24



FAKULTAS TEKNIK SIPIL, JNGKUNGAN DAN KEBUMIAN
INSTITUT TEKNOLOGI SEPULUH NOPEMBER
2019

LAMPIRAN

TUGAS AKHIR (RC18-4830)

DESAIN GEDUNG DENGAN
SISTEM SELF-CENTERING

DOSEN PEMBIMBING

Ir. Faimun, M.Sc., Ph.D
Prof. Dr. Ir. I Gusti Putu Raka, DEA

NAMA & NRP MAHASISWA

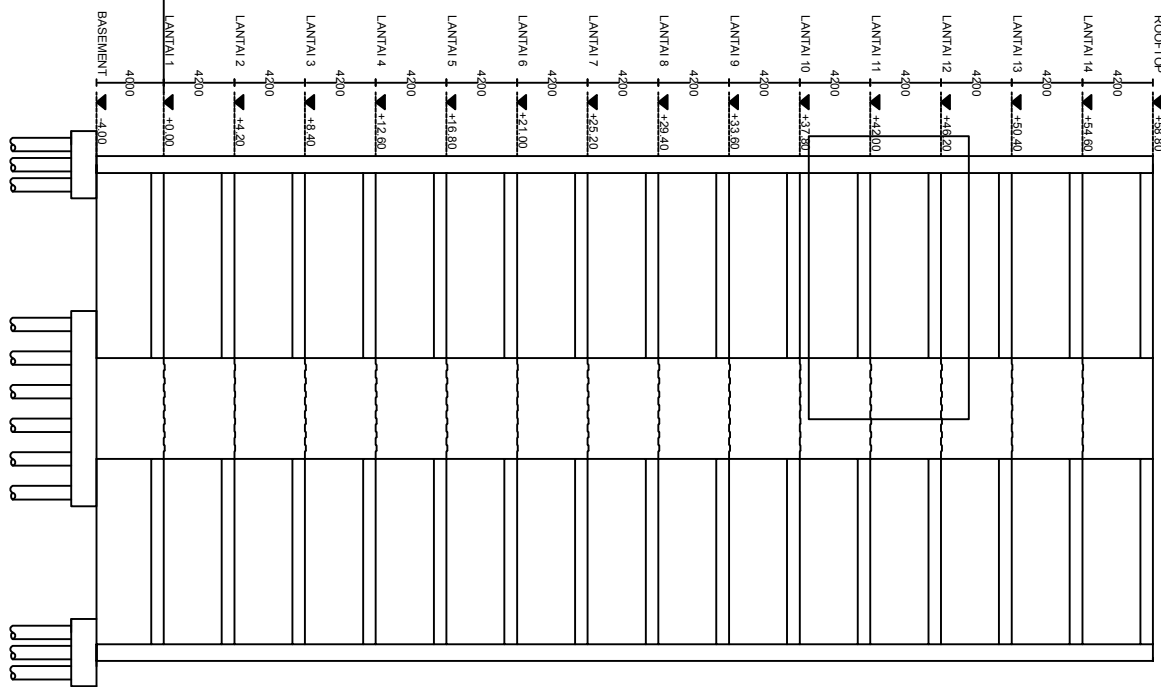
Ayuning Diah Nurwani
03111540000080

NAMA GAMBAR

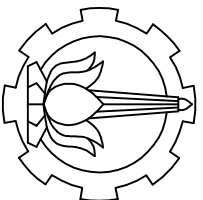
Potongan II-II
(Melintang)

SKALA

1:250



| | |
|------------|-------------|
| NO. LEMBAR | JML. LEMBAR |
| 04 | 24 |



FAKULTAS TEKNIK SIPIL, JENKUNGAN DAN KEBUMIAN
INSTITUT TEKNOLOGI SEPULUH NOPEMBER
2019

TUGAS AKHIR (RC18-4830)

LAMPIRAN

DESAIN GEDUNG DENGAN SISTEM SELF-CENTERING

DOSEN PEMBIMBING

Ir. Faimun, M.Sc., Ph.D

Prof. Dr. Ir. I Gusti Putu Raka, DEA

NAMA & NRP MAHASISWA

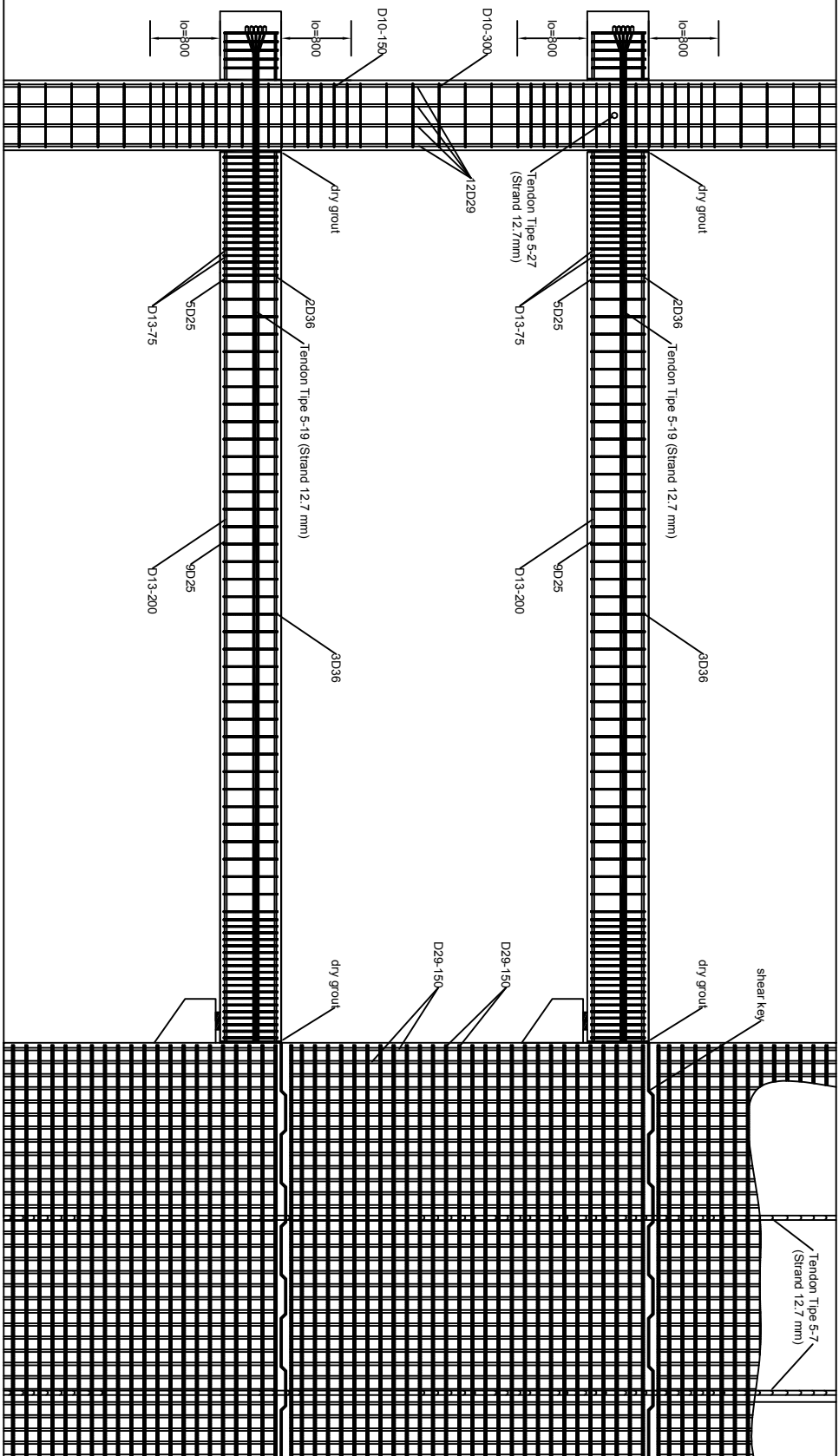
Ayuning Diah Nurjani
03111540000080

NAMA GAMBAR

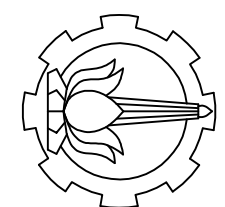
Detail Potongan II-II

SKALA

1:50



| | |
|------------|-------------|
| NO. LEMBAR | JML. LEMBAR |
| 05 | 24 |



FAKULTAS TEKNIK SIPIL, JNGKUNGAN DAN KEBUMIAN
INSTITUT TEKNOLOGI SEPULUH NOPEMBER
2019

LAMPIRAN

TUGAS AKHIR (RC18-4830)

DESAIN GEDUNG DENGAN SISTEM SELF-CENTERING

DOSEN PEMBIMBING

Ir. Faimun, M.Sc., Ph.D

Prof. Dr. Ir. I Gusti Putu Raka, DEA

NAMA & NRP MAHASISWA

Ayuning Diah Nurjani
03111540000080

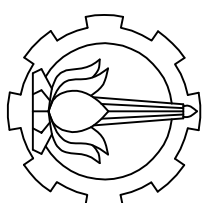
NAMA GAMBAR

Denah Pembalokan dan Pelat

SKALA

1:350

| | |
|------------|-------------|
| NO. LEMBAR | JML. LEMBAR |
| 06 | 24 |



LAMPIRAN

TUGAS AKHIR (RC18-4830)

DESAIN GEDUNG DENGAN
SISTEM SELF-CENTERING

DOSEN PEMBIMBING

Ir. Faimun, M.Sc., Ph.D

Prof. Dr. Ir. I Gusti Putu Raka, DEA

NAMA & NRP MAHASISWA

Ayuning Diah Nurayani
03111540000080

NAMA GAMBAR

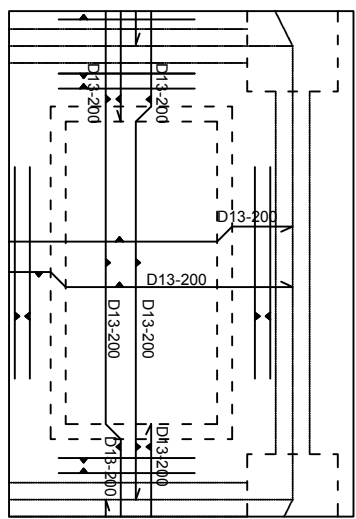
Penulangan Pelat Tipe 1, 2
dan 4

SKALA

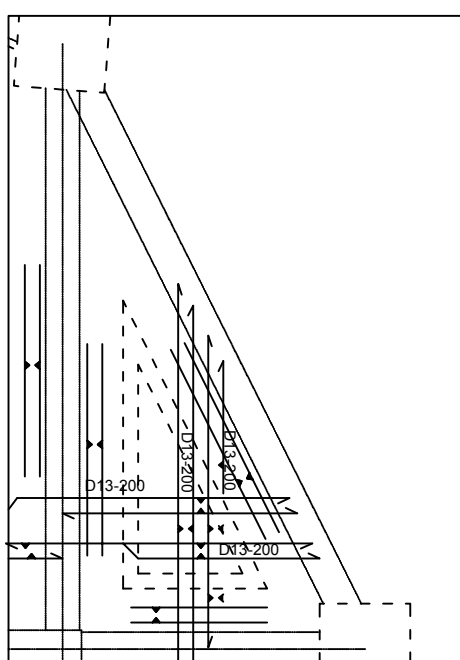
1:100

| | |
|------------|-------------|
| NO. LEMBAR | JML. LEMBAR |
| 07 | 24 |

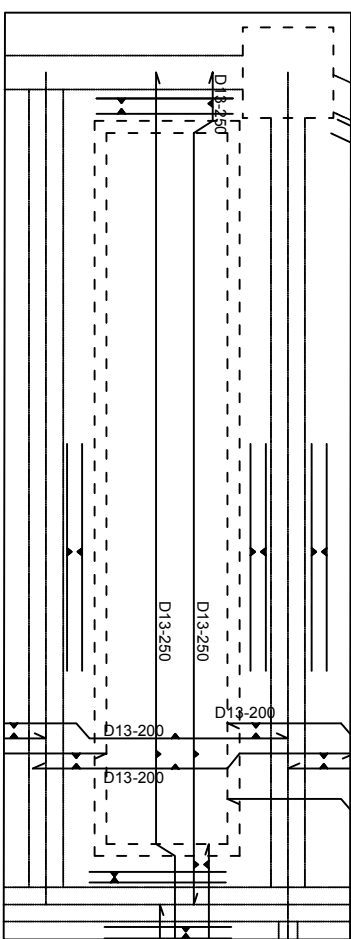
Pelat 1

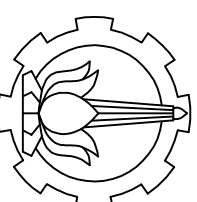


Pelat 2



Pelat 4





LAMPIRAN

TUGAS AKHIR (RC18-4830)

DESAIN GEDUNG DENGAN
SISTEM SELF-CENTERING

DOSEN PEMBIMBING

Ir. Faimun, M.Sc., Ph.D

Prof. Dr. Ir. I Gusti Putu Raka, DEA

NAMA & NRP MAHASISWA

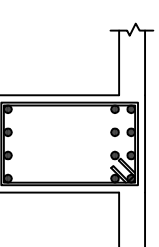
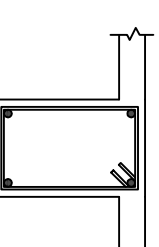
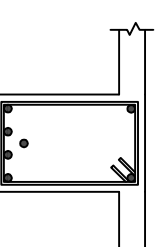
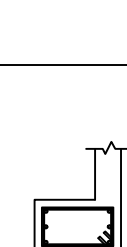
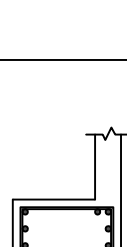
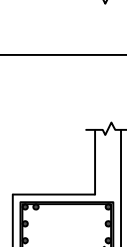
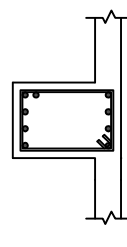
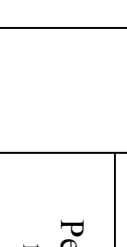
Ayuning Diah Nurayani
03111540000080

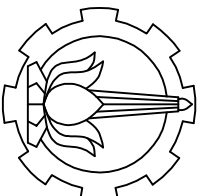
NAMA GAMBAR

Penulangan Balok non-Prategang

SKALA

1:25

| | | | |
|---------------------|--|------------------|-----------------|
| Tipe | Balok Induk Diagonal | | |
| Dimensi (mm) | 450 x 700 | Posisi | Tumpuan Positif |
| Tumpuan Negatif | Lapangan | | |
| | | | |
| Potongan |  | | |
| |  | | |
| |  | | |
| |  | | |
| Tul Atas | 8D36 | Tul Bawah | 2D36 |
| | | | 3D36 |
| | | | 5D36 |
| Sengkong | D13-150 | | D13-150 |
| | | | D13-150 |
| Tipe | Balok Anak Sumbu Y | | |
| Dimensi (mm) | 250 x 400 | | |
| Posisi | Tumpuan | Posisi | Lapangan |
| | | | |
| Potongan |  | | |
| |  | | |
| |  | | |
| |  | | |
| Potongan |  | | |



LAMPIRAN

TUGAS AKHIR (RC18-4830)

DESAIN GEDUNG DENGAN
SISTEM SELF-CENTERING

DOSEN PEMBIMBING

Ir. Faimun, M.Sc., Ph.D
Prof. Dr. Ir. I Gusti Putu Raka, DEA

NAMA & NRP MAHASISWA

Ayuning Diah Nurjani
03111540000080

NAMA GAMBAR

| | | | |
|------------------|-----------------|-----------------|-----------------|
| Lantai | Lt 1-5 | Lt 6-10 | Lt 11-20 |
| Ukuran | 800 x 800 mm | 800 x 800 mm | 800 x 800 mm |
| | | | |
| Tul Longitudinal | 36D29 | 28D29 | 12D29 |
| Sengkang | D10-150/D10-300 | D10-150/D10-300 | D10-150/D10-300 |

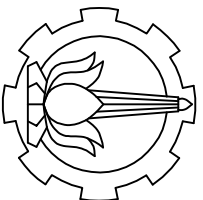
Rekap Penulangan Kolom

SKALA

1:20

NO. LEMBAR JML. LEMBAR

09 24



FAKULTAS TEKNIK SIPIL, JENKUNGAN DAN KEBUMIAN
INSTITUT TEKNOLOGI SEPULUH NOPEMBER
2019

LAMPIRAN

TUGAS AKHIR (RC18-4830)

DESAIN GEDUNG DENGAN SISTEM SELF-CENTERING

DOSEN PEMBIMBING

Ir. Faimun, M.Sc., Ph.D
Prof. Dr. Ir. I Gusti Putu Raka, DEA

NAMA & NRP MAHASISWA

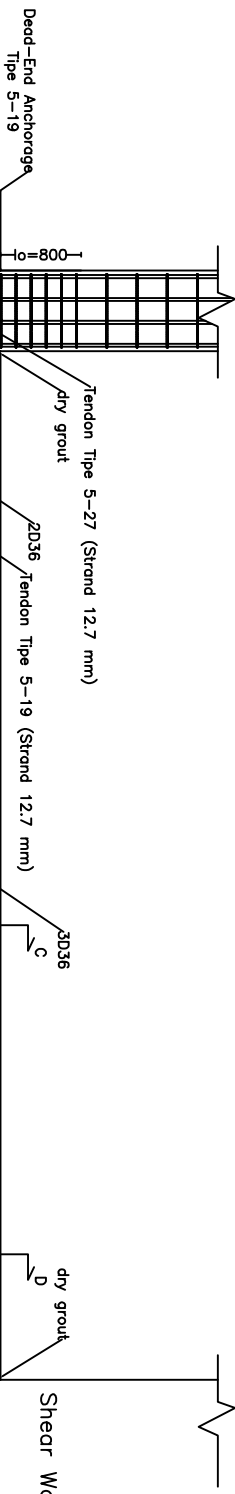
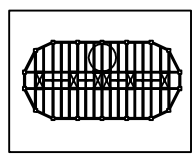
Ayuning Diah Nurjani
03111540000080

NAMA GAMBAR

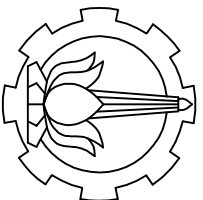
Balok Prategang Sumbu X

SKALA

1:75



| | |
|------------|-------------|
| NO. LEMBAR | JML. LEMBAR |
| 10 | 24 |



FAKULTAS TEKNIK SIPIL, JENKUNGAN DAN KEBUMIAN
INSTITUT TEKNOLOGI SEPULUH NOPEMBER
2019

LAMPIRAN

TUGAS AKHIR (RC18-4830)

DESAIN GEDUNG DENGAN SISTEM SELF-CENTERING

DOSEN PEMBIMBING

Ir. Faimun, M.Sc., Ph.D
Prof. Dr. Ir. I Gusti Putu Raka, DEA

NAMA & NRP MAHASISWA

Ayuning Diah Nurjani
03111540000080

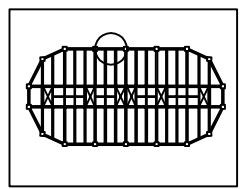
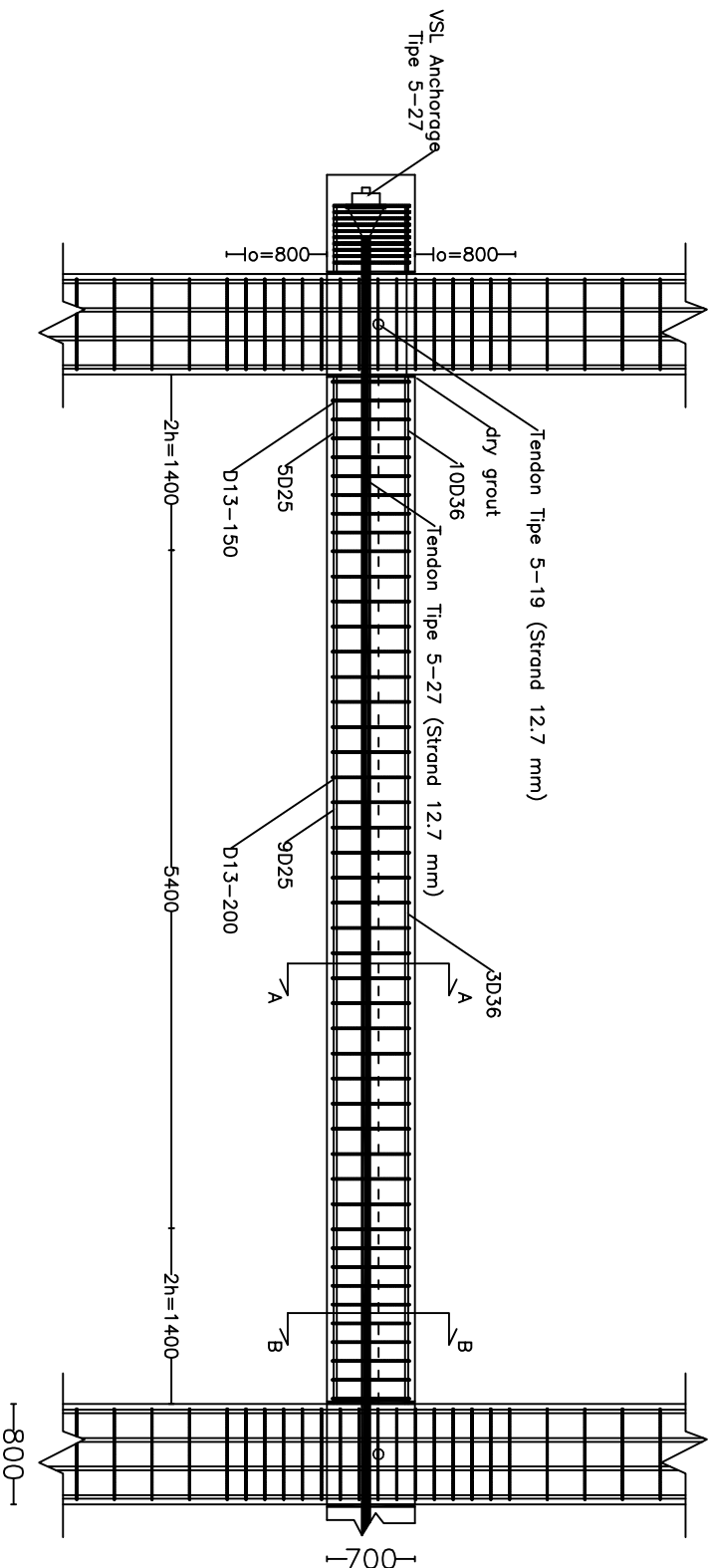
NAMA GAMBAR

Balok Prategang Sumbu Y

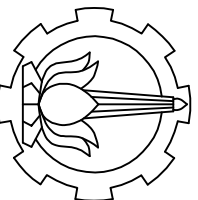
SKALA

1:50

9000



| | |
|------------|-------------|
| NO. LEMBAR | JML. LEMBAR |
| 11 | 24 |



FAKULTAS TEKNIK
DEPARTemen TEKNIK SIPIL
INSTITUT TEKNOLOGI SEPULUH NOPEMBER
2019

LAMPIRAN

TUGAS AKHIR (RC18-4830)

DESAIN GEDUNG DENGAN
SISTEM SELF-CENTERING

DOSEN PEMBIMBING

Ir. Faimun, M.Sc., Ph.D
Prof. Dr. Ir. I Gusti Putu Raka, DEA

NAMA & NRP MAHASISWA

Ayuning Diah Nurjani
03111540000080

NAMA GAMBAR

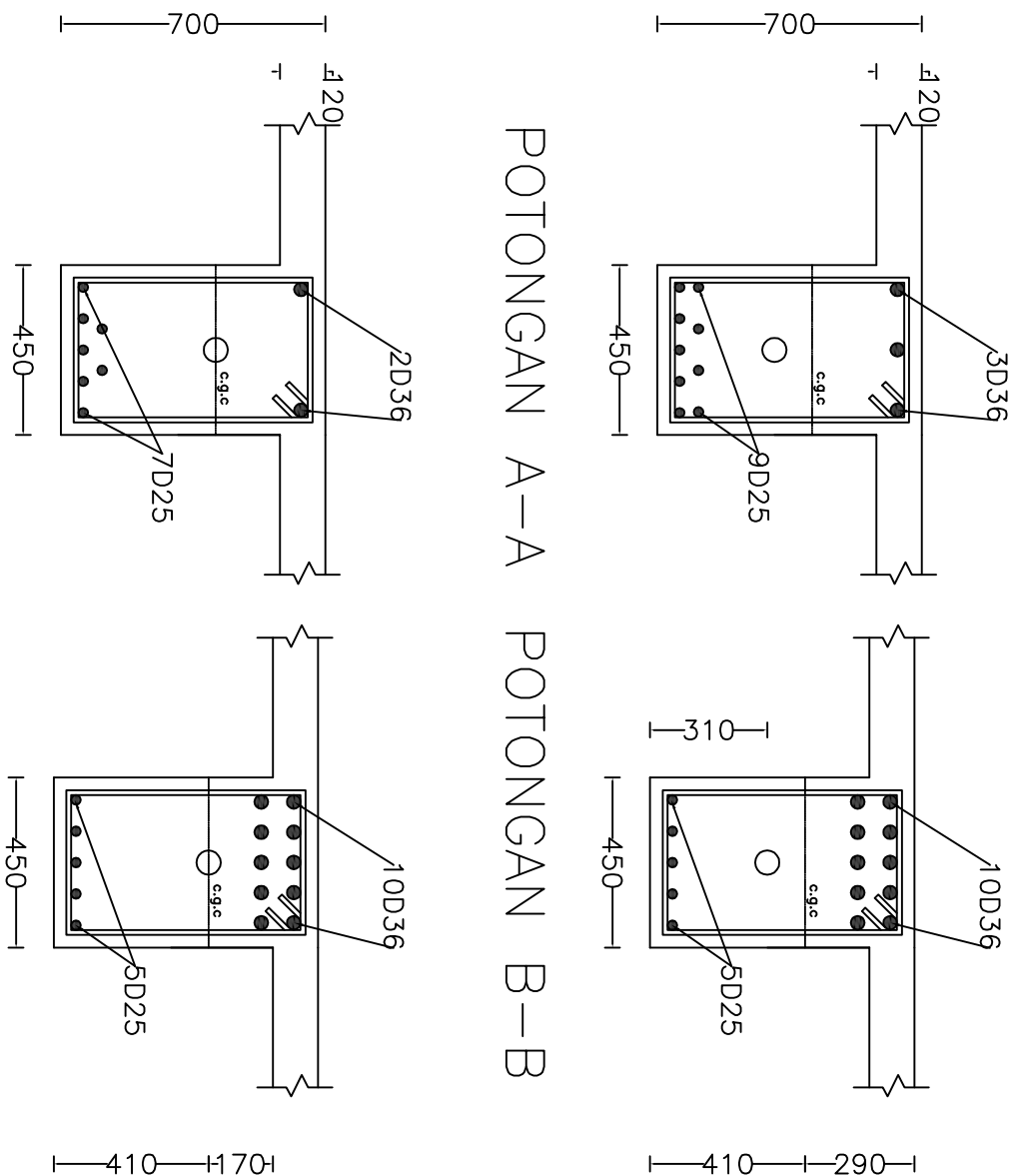
Detail Potongan A-A, B-B,
C-C, dan D-D

SKALA

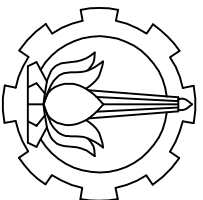
1:20

POTONGAN C-C POTONGAN D-D

POTONGAN A-A POTONGAN B-B



| NO. LEMBAR | JML. LEMBAR |
|------------|-------------|
| 12 | 24 |



LAMPIRAN

TUGAS AKHIR (RC18-4830)

DESAIN GEDUNG DENGAN
SISTEM SELF-CENTERING

DOSEN PEMBIMBING

Ir. Faimun, M.Sc., Ph.D

Prof. Dr. Ir. I Gusti Putu Raka, DEA

NAMA & NRP MAHASISWA

Ayuning Diah Nurjani
03111540000080

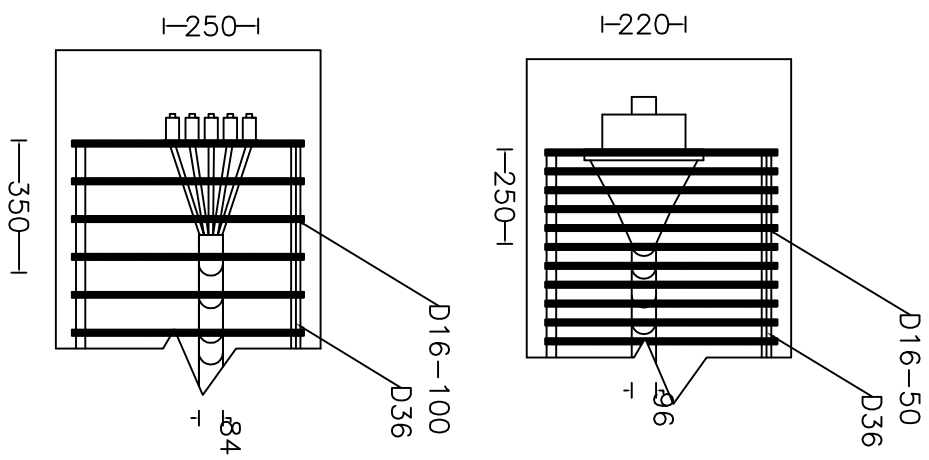
NAMA GAMBAR

Detail Pengangkuran Balok
Prategang

SKALA

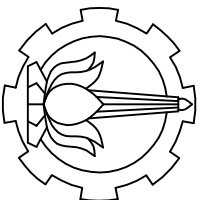
1:20

VSL Anchorage
Type 5-27



VSL Dead-End Anchorage
Type 5-19

| | |
|------------|-------------|
| NO. LEMBAR | JML. LEMBAR |
| 13 | 24 |



DEPARTEMEN TEKNIK SIPIL
FAKULTAS TEKNIK SIPIL, JNGKUNGAN DAN KEBUMIAN
INSTITUT TEKNOLOGI SEPULUH NOPEMBER
2019

LAMPIRAN

TUGAS AKHIR (RCI8-4830)

DESAIN GEDUNG DENGAN
SISTEM SELF-CENTERING

DOSEN PEMBIMBING

Ir. Faimun, M.Sc., Ph.D
Prof. Dr. Ir. I Gusti Putu Raka, DEA

NAMA & NRP MAHASISWA

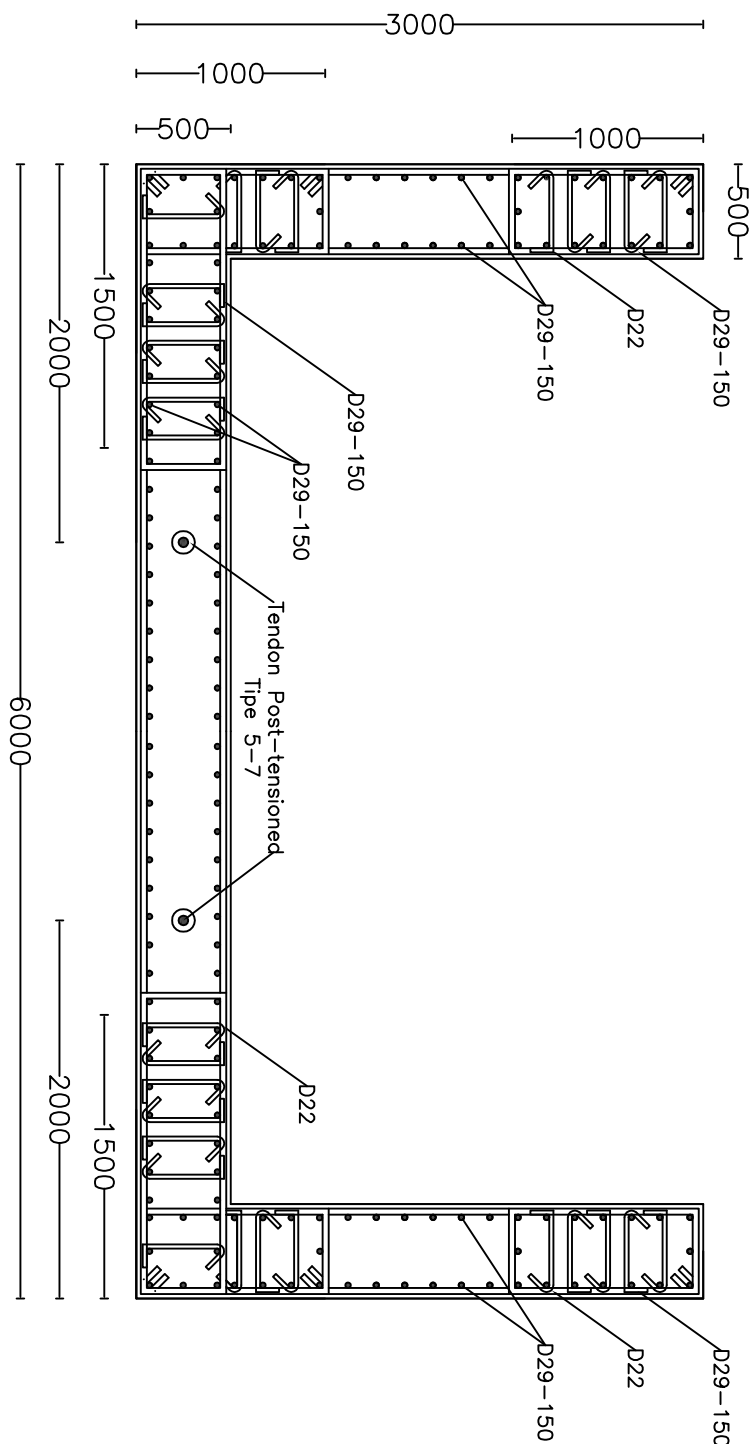
Ayuning Diah Nurjani
03111540000080

NAMA GAMBAR

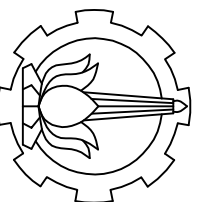
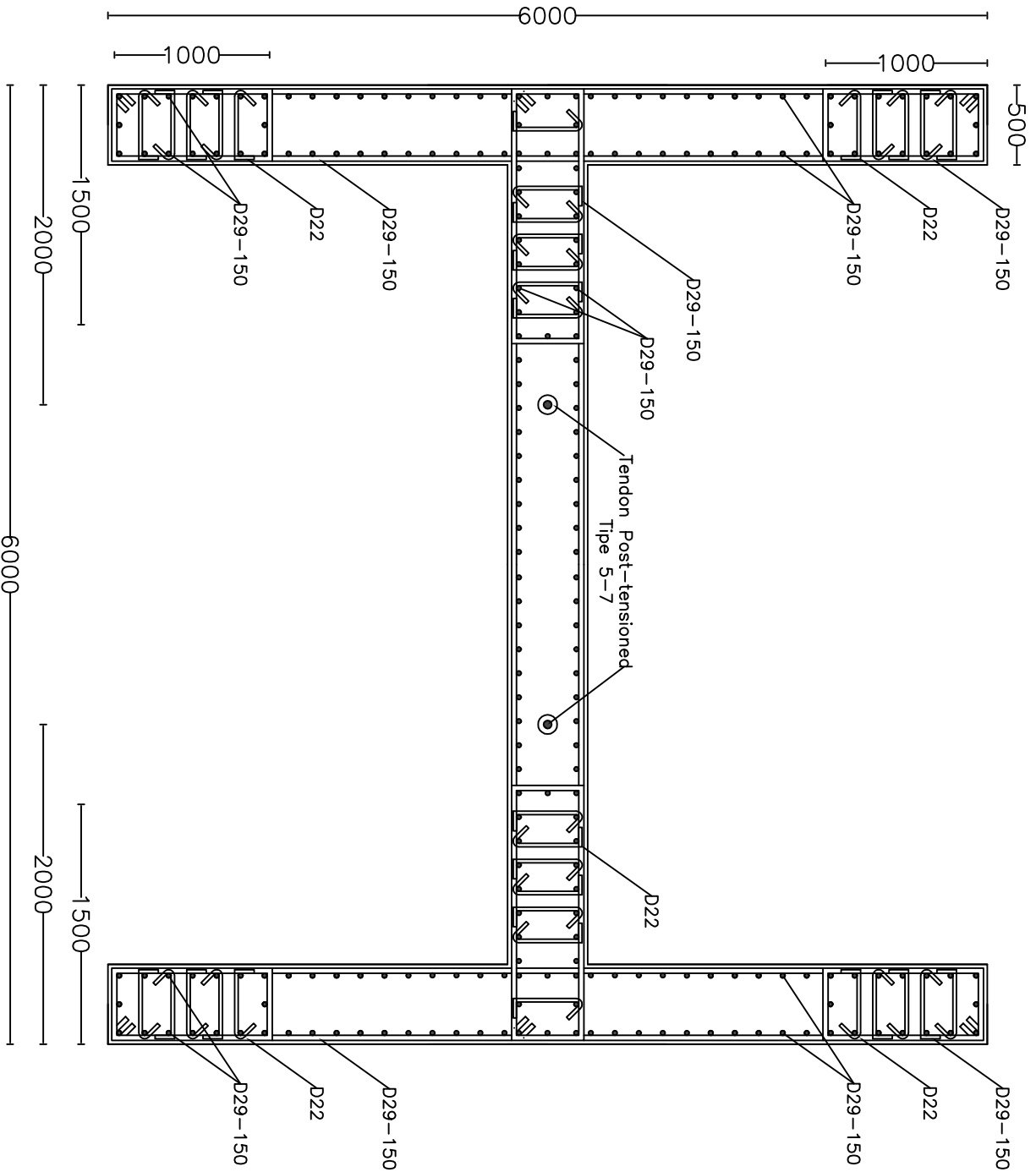
Penulangan Shearwall Tipe 1

SKALA

1:50



| | |
|------------|-------------|
| NO. LEMBAR | JML. LEMBAR |
| 14 | 24 |



DEPARTEMEN TEKNIK SIPIL
FAKULTAS TEKNIK SIPIL, LINGKUPGAN DAN KEBUMIAN
INSTITUT TEKNOLOGI SEPULUH NOPEMBER
2019

TUGAS AKHIR (RC18-4830)

TUGAS AKHIR (RC18-4830)

DESAIN GEDUNG DENGAN SISTEM SELF-CENTERING

DOSEN PEMBIMBING

Ir. Faimun, M.Sc., Ph.D

Prof. Dr. Ir. I Gusti Putu Kaka, DEA

NAMA & NRP MAHASISWA

Ayuning Diah Nuryan
03111540000080

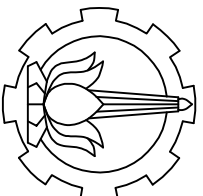
NAMA GAMBAR

Penulangan Shearwall Tipe 2

1:50

SKALA

| | |
|------------|-------------|
| NO. LEMBAK | JML. LEMBAK |
| 15 | 24 |



DEPARTEMEN TEKNIK SIPIL
INSTITUT TEKNOLOGI SEPULUH NOPEMBER
2019

LAMPIRAN

TUGAS AKHIR (RC18-4830)

DESAIN GEDUNG DENGAN SISTEM SELF-CENTERING

DOSEN PEMBIMBING

Ir. Faimun, M.Sc., Ph.D

Prof. Dr. Ir. I Gusti Putu Raka, DEA

NAMA & NRP MAHASISWA

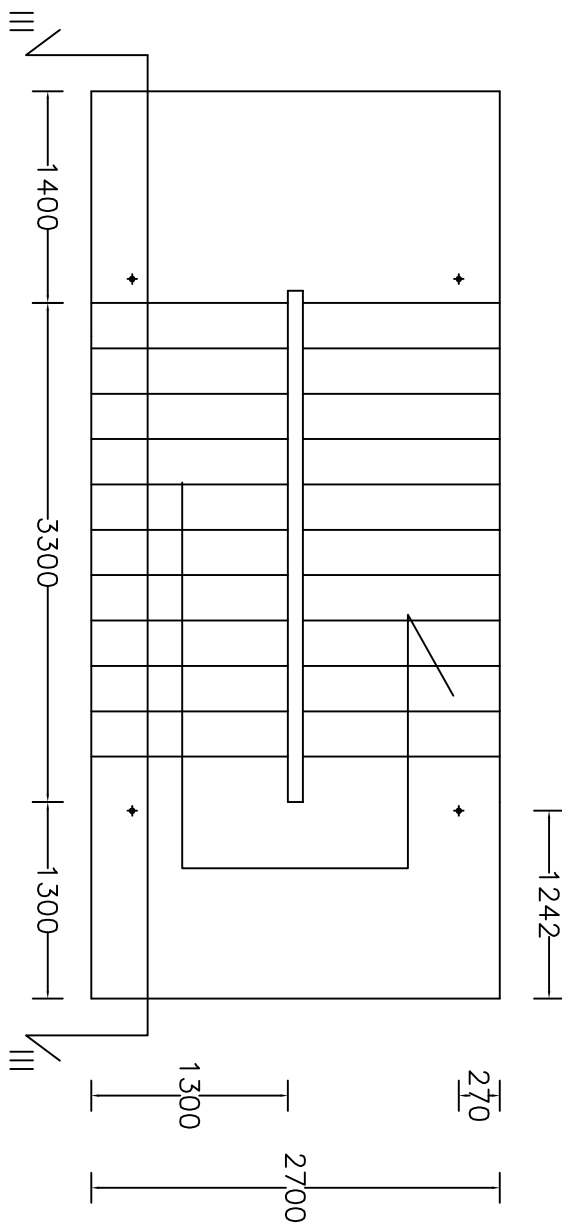
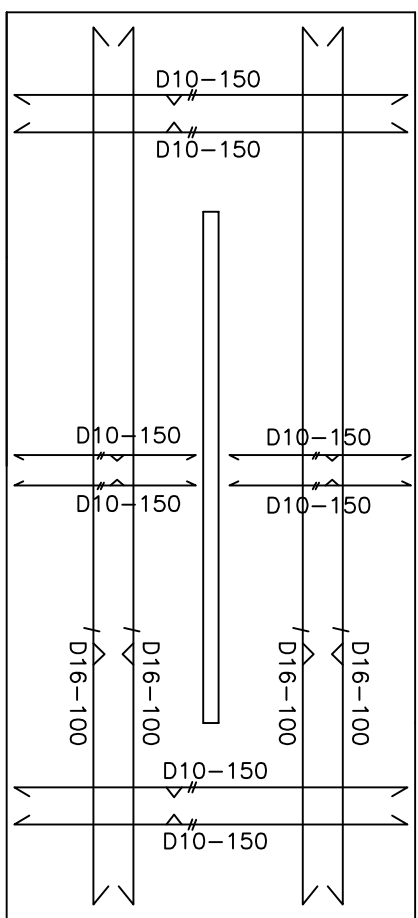
Ayuning Diah Nurayani
03111540000080

NAMA GAMBAR

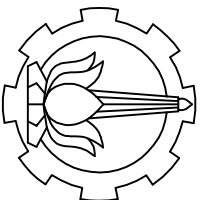
DENAH TANGGA

SKALA

1:50



| | |
|------------|-------------|
| NO. LEMBAR | JML. LEMBAR |
| 16 | 24 |



LAMPIRAN

TUGAS AKHIR (RC18-4830)

DESAIN GEDUNG DENGAN
SISTEM SELF-CENTERING

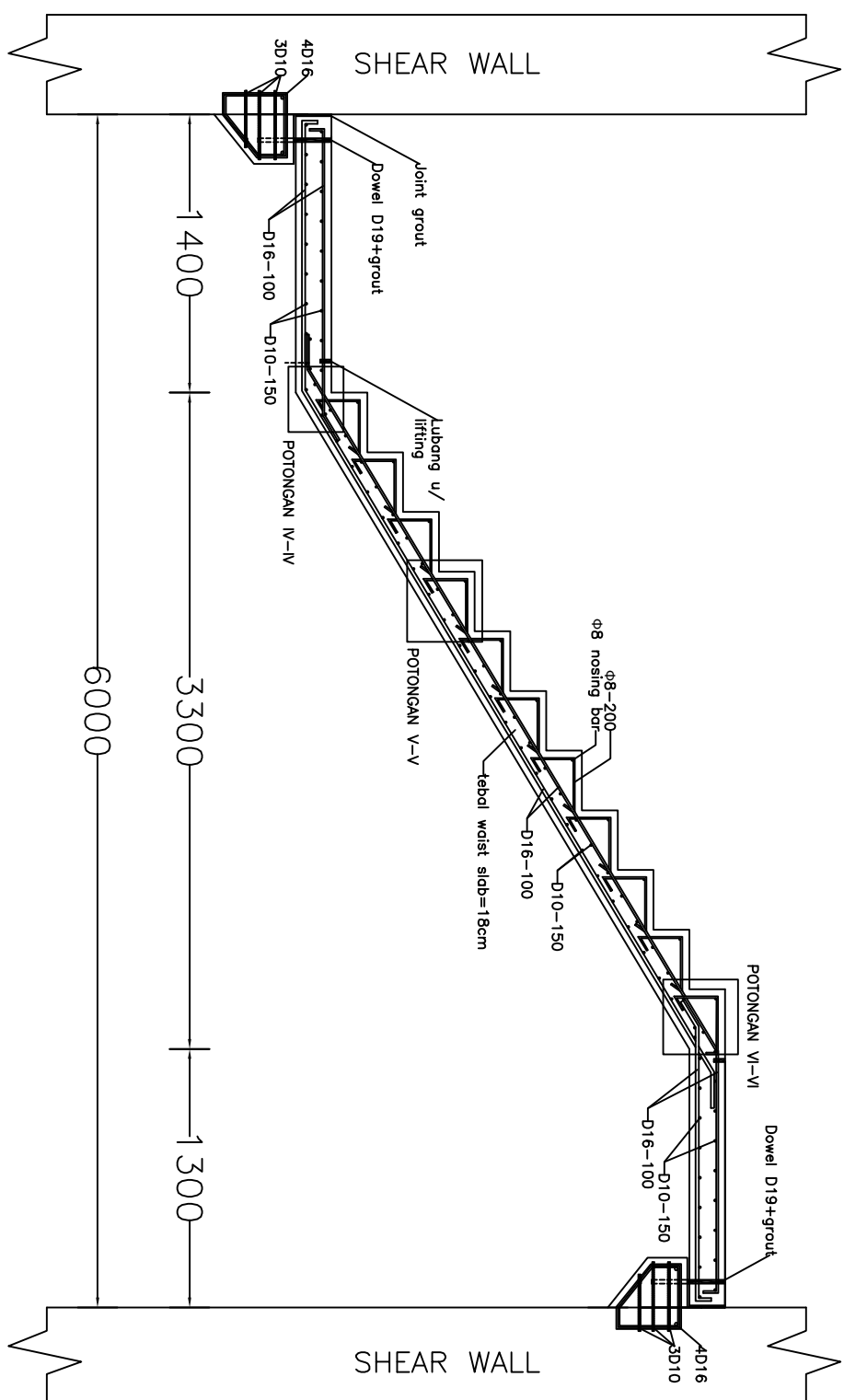
DOSEN PEMBIMBING

Ir. Faimun, M.Sc., Ph.D
Prof. Dr. Ir. I Gusti Putu Raka, DEA

NAMA & NRP MAHASISWA
Ayunung Diah Nurwani
03111540000080

NAMA GAMBAR

SHEAR WALL

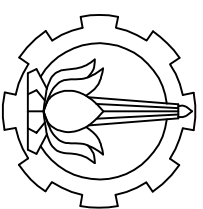


DETAIL POTONGAN III-III

SKALA

1:25

| | |
|------------|-------------|
| NO. LEMBAR | JML. LEMBAR |
| 17 | 24 |



DEPARTEMEN TEKNIK SIPIL
INSTITUT TEKNOLOGI SEPULUH NOPEMBER
2019

LAMPIRAN

TUGAS AKHIR (RC18-4830)

DESAIN GEDUNG DENGAN
SISTEM SELF-CENTERING

DOSEN PEMBIMBING

Ir. Faimun, M.Sc., Ph.D

Prof. Dr. Ir. I Gusti Putu Raka, DEA

NAMA & NRP MAHASISWA

Ayuning Diah Nurjani
03111540000080

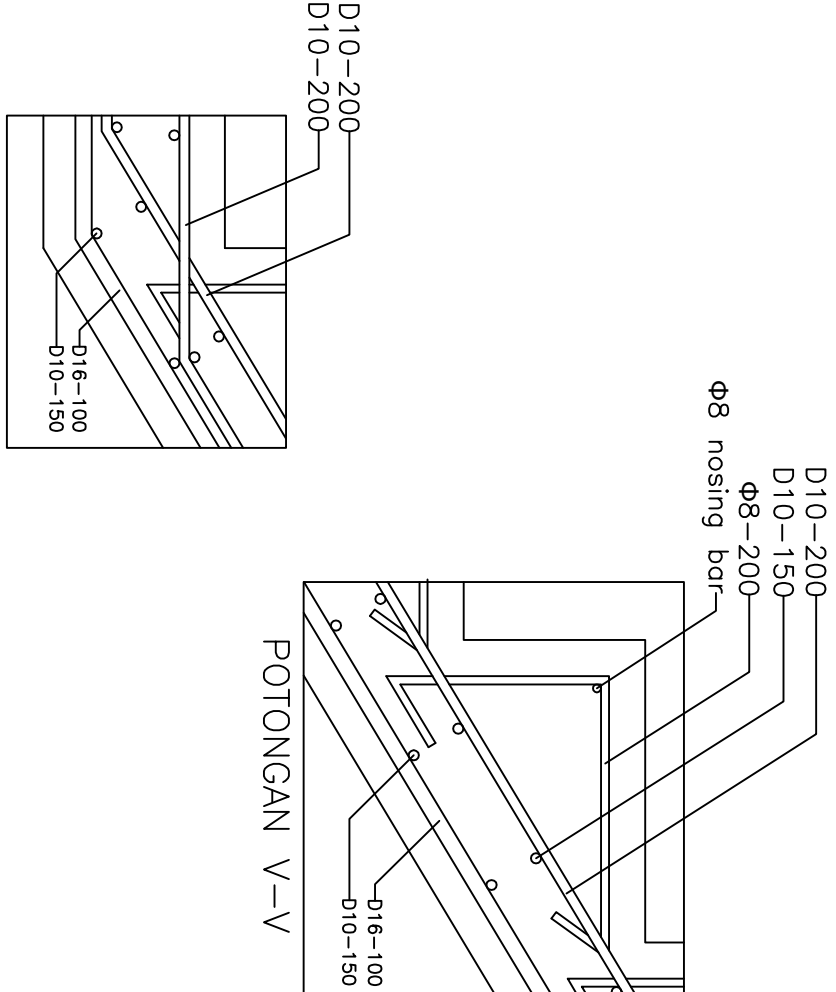
NAMA GAMBAR

DETAIL POTONGAN IV-IV,
V-V, DAN VI-VI

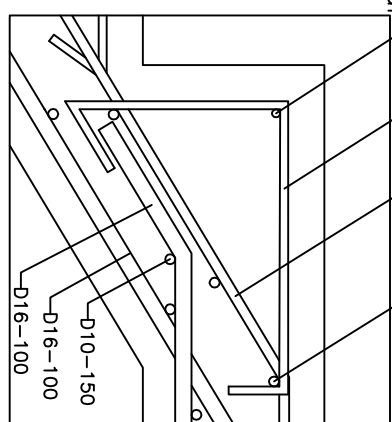
SKALA

1:20

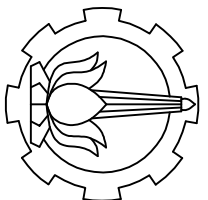
POTONGAN IV-IV



POTONGAN VI-VI



| | |
|------------|-------------|
| NO. LEMBAR | JML. LEMBAR |
| 18 | 24 |



FAKULTAS TEKNIK SIPIL, JNGKUNGAN DAN KEBUMIAN
INSTITUT TEKNOLOGI SEPULUH NOPEMBER
2019

LAMPIRAN

TUGAS AKHIR (RC18-4830)

DESAIN GEDUNG DENGAN
SISTEM SELF-CENTERING

DOSEN PEMBIMBING

Ir. Faimun, M.Sc., Ph.D

Prof. Dr. Ir. I Gusti Putu Raka, DEA

NAMA & NRP MAHASISWA

Ayuning Diah Nurwani
03111540000080

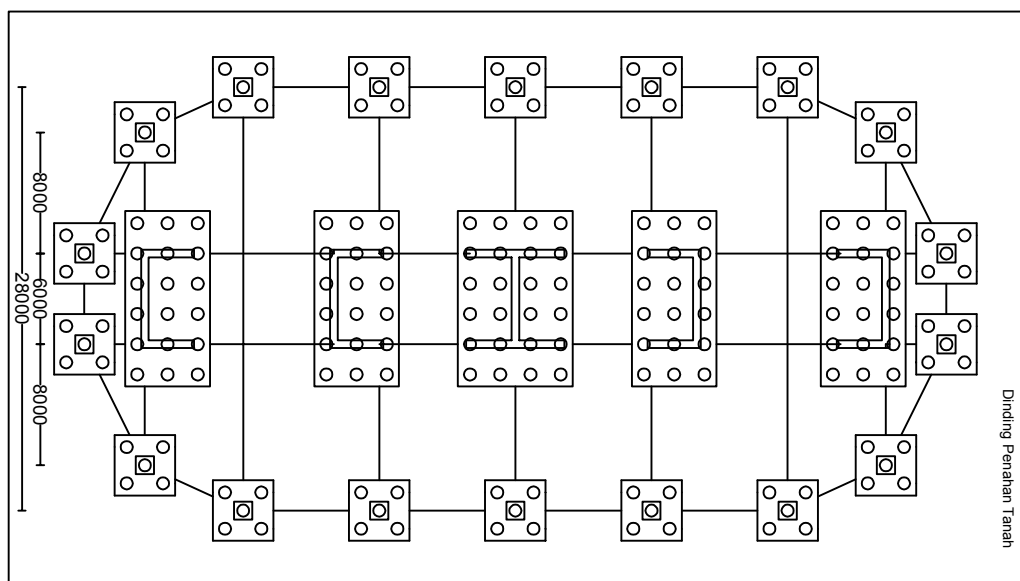
NAMA GAMBAR

Denah Pondasi

SKALA

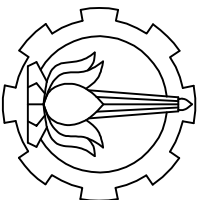
1:500

57000
9000 9000 9000 9000 6500 4000



NO. LEMBAR JML. LEMBAR

19 24



LAMPIRAN

TUGAS AKHIR (RC18-4830)

DESAIN GEDUNG DENGAN
SISTEM SELF-CENTERING

DOSEN PEMBIMBING

Ir. Faimun, M.Sc., Ph.D

Prof. Dr. Ir. I Gusti Putu Raka, DEA

NAMA & NRP MAHASISWA

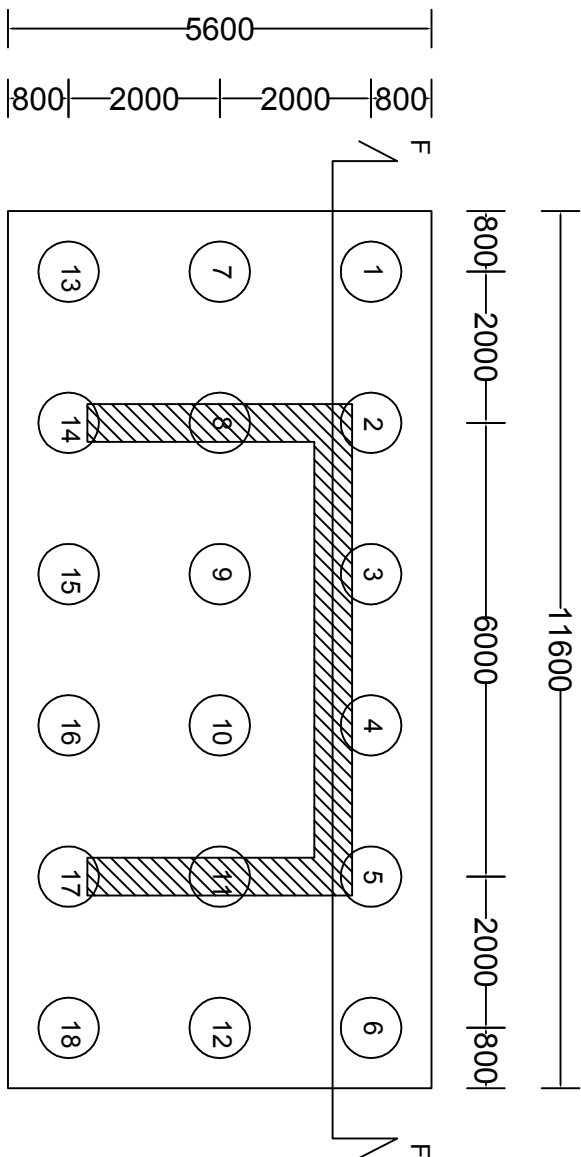
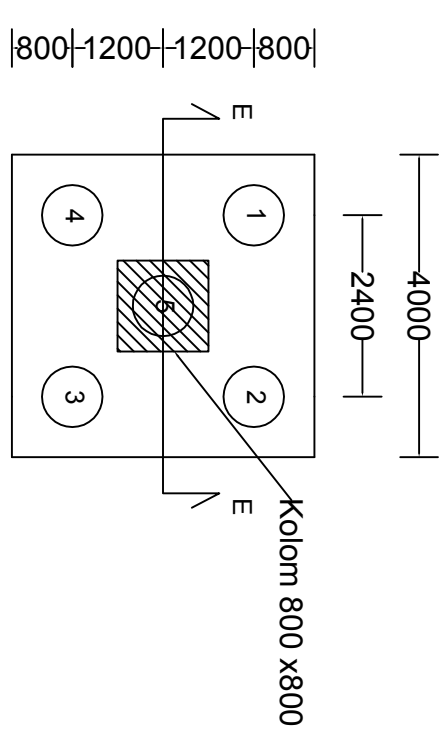
Ayuning Diah Nurayani
03111540000080

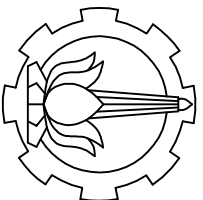
NAMA GAMBAR

Tipe Pondasi 1 dan 2

SKALA

1:100





DEPARTEMEN TEKNIK SIPIL
FAKULTAS TEKNIK SIPIL, JINGKUNGAN DAN KEBUMIAN
INSTITUT TEKNOLOGI SEPULUH NOPEMBER
2019

LAMPIRAN

TUGAS AKHIR (RC18-4830)

DESAIN GEDUNG DENGAN
SISTEM SELF-CENTERING

DOSEN PEMBIMBING

Ir. Faimun, M.Sc., Ph.D
Prof. Dr. Ir. I Gusti Putu Raka, DEA

NAMA & NRP MAHASISWA

Ayuning Diah Nurjani
03111540000080

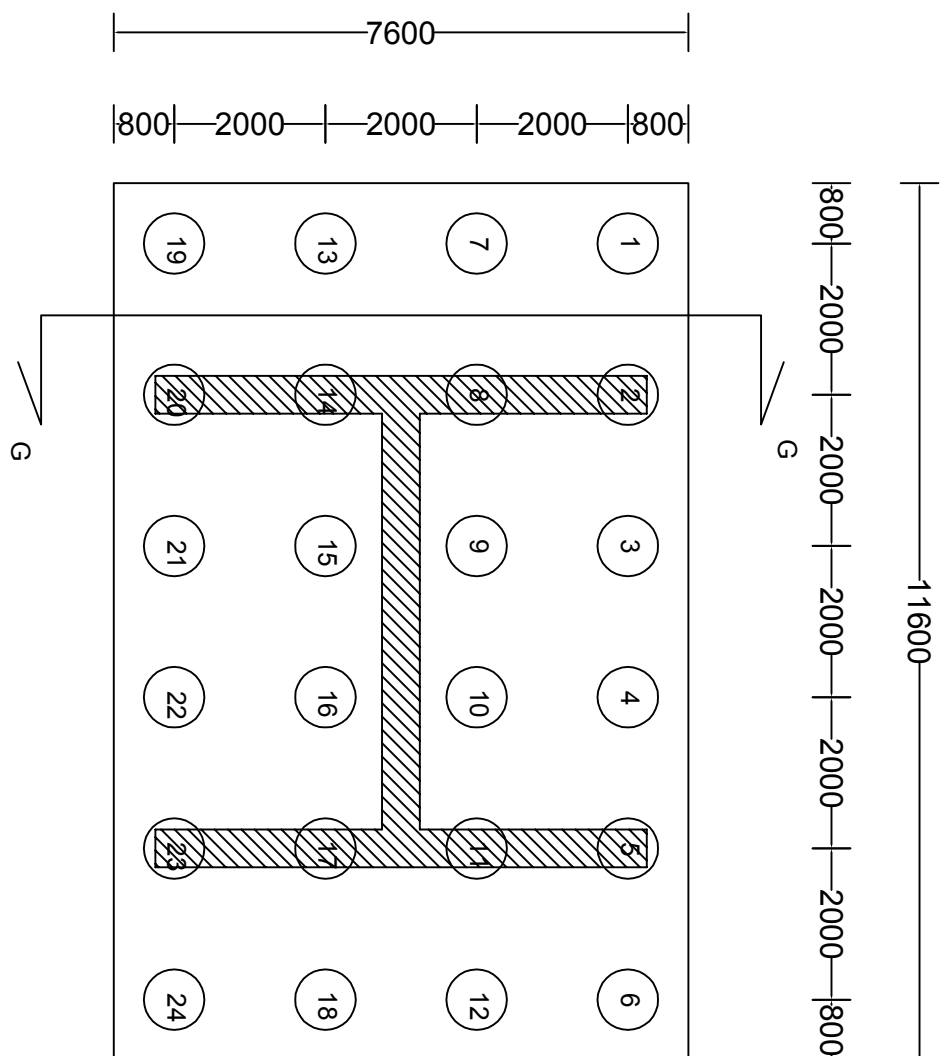
NAMA GAMBAR

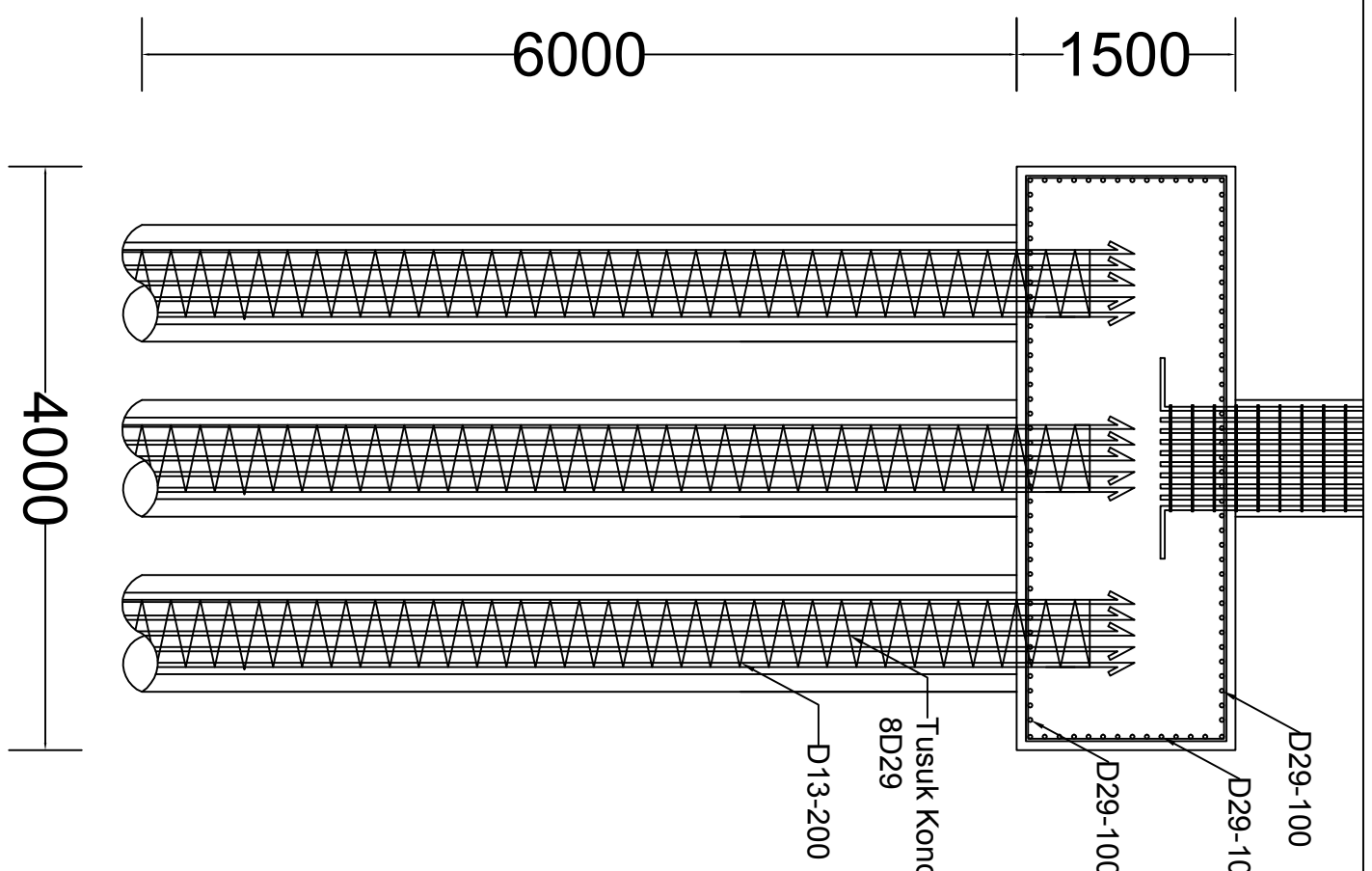
Tipe Pondasi 3

SKALA

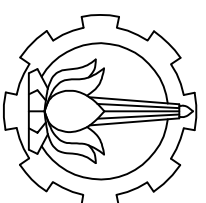
1:100

| | |
|------------|-------------|
| NO. LEMBAR | JML. LEMBAR |
| 21 | 24 |





FAKULTAS TEKNIK SIPIL, JNGKUNGAN DAN KEBUMIAN
INSTITUT TECNOLOGI SEPULUH NOPEMBER
2019



TUGAS AKHIR (RC18-4830)

DESAIN GEDUNG DENGAN
SISTEM SELF-CENTERING

DOSEN PEMBIMBING

Ir. Faimun, M.Sc., Ph.D

Prof. Dr. Ir. I Gusti Putu Raka, DEA

NAMA & NRP MAHASISWA

Ayuning Diah Nuryani
03111540000080

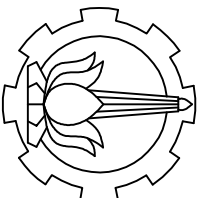
NAMA GAMBAR

Potongan E-E

SKALA

1:50

| | |
|------------|-------------|
| NO. LEMBAR | JML. LEMBAR |
| 22 | 24 |



DEPARTEMEN TEKNIK SIPIL
FAKULTAS TEKNIK SIPIL, JINGKUNGAN DAN KEBUMIAN
INSTITUT TEKNOLOGI SEPULUH NOPEMBER
2019

LAMPIRAN

TUGAS AKHIR (RCI8-4830)

DESAIN GEDUNG DENGAN SISTEM SELF-CENTERING

DOSEN PEMBIMBING

Ir. Faimun, M.Sc., Ph.D

Prof. Dr. Ir. I Gusti Putu Raka, DEA

NAMA & NRP MAHASISWA

Ayuning Diah Nurjani
03111540000080

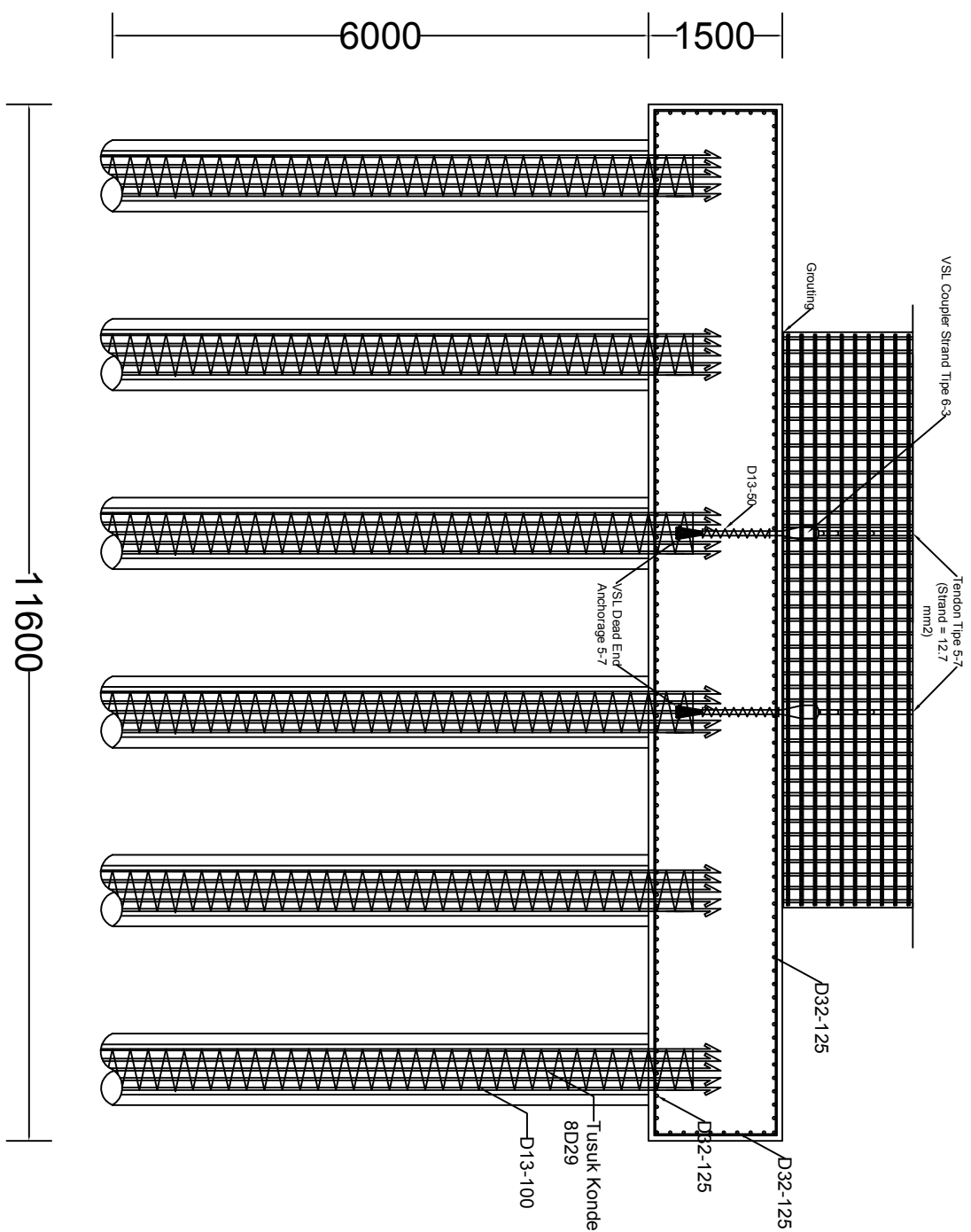
NAMA GAMBAR

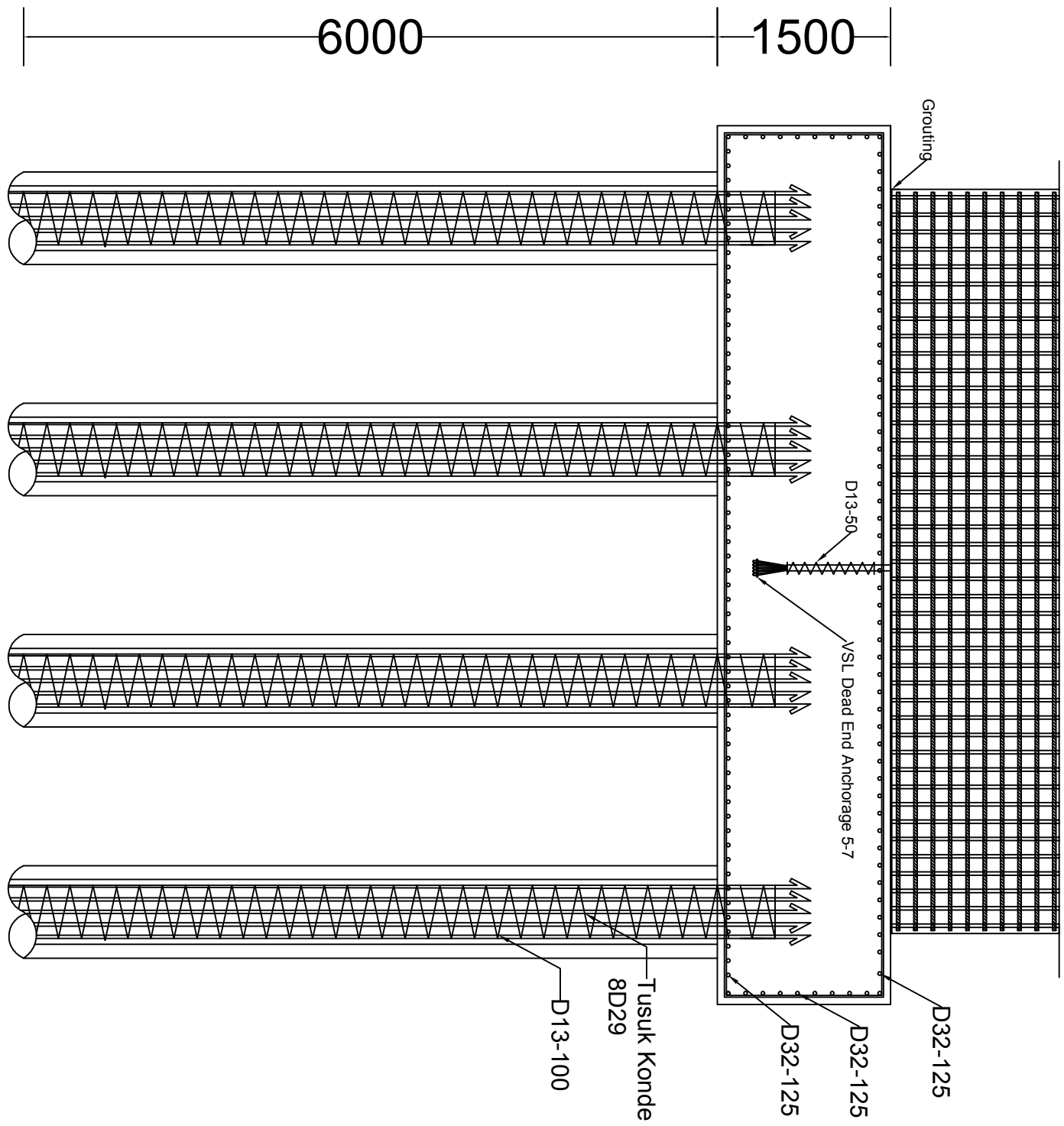
Potongan F-F

SKALA

1:75

| | |
|------------|-------------|
| NO. LEMBAR | JML. LEMBAR |
| 23 | 24 |





DEPARTEMEN TEKNIK SIPIL, JINGKUNGAN DAN KEBUMIAN
INSTITUT TEKNOLOGI SEPULUH NOVEMBER
2019

LAMPIRAN

TUGAS AKHIR (RC18-4830)

DESAIN GEDUNG DENGAN
SISTEM SELF-CENTERING

DOSEN PEMBIMBING

Ir. Faimun, M.Sc., Ph.D

Prof. Dr. Ir. I Gusti Putu Raka, DEA

NAMA & NRP MAHASISWA

Ayuning Diah Nurjani
03111540000080

NAMA GAMBAR

Potongan G-G

SKALA

1:50

| | |
|------------|-------------|
| NO. LEMBAR | JML. LEMBAR |
| 24 | 24 |



PROGRAM STUDI S-1 JURUSAN TEKNIK SIPIL FTSP - ITS
LEMBAR KEGIATAN ASISTENSI TUGAS AKHIR (WAJIB DIISI)

Jurusan Teknik Sipil Lt.2, Kampus ITS Sukolilo, Surabaya 60111

Form AK/TA-04
rev01

Telp.031-5946094, Fax.031-5947284



| | |
|--------------------------|---|
| NAMA PEMBIMBING | Ir. Faimun, M. Sc., PhD / Prof. Dr. Ir. I Gusti Putu Raka |
| NAMA MAHASISWA | Ayuning Diah Nuryani |
| NRP | 03111540000080 |
| JUDUL TUGAS AKHIR | Design Gedung dengan Sistem Self-Centering |
| TANGGAL PROPOSAL | 29 Oktober 2018 |
| NO. SP-MMTA | /IT2.VI.4.1/PP.05.02.00/2018 086140 |

| NO | TANGGAL | KEGIATAN | | PARAF ASISTEN |
|----|------------|---|--|---------------|
| | | REALISASI | RENCANA MINGGU DEPAN | |
| 1. | 14-01-2018 | Denah, Preliminary Design Permodelan Strukturn, Kontrol Base Shear | <ul style="list-style-type: none"> - Denah pembalokan ganti - Ketebalan plat ganti - Pakai faktor reduksi hebat hidup untuk kontrol base shear - Ganti R - Kontrol Partisipasi Muisca <ul style="list-style-type: none"> -“” waktu Getar -“” Drift & Elongititas - tulajungan bentuk of 80 mm | |
| 2. | 23/01/18 | Hasil gaga dari run. | Coba diberi tialayn dulu base-on. force | |
| 3 | 04/02/18 | <ul style="list-style-type: none"> - analisa struktur dan perangka - sediakan uji gaga - gantil R - tulajungan perangka dari gaga - analisa struktur / buka story klien Webk shear . | | |



Form AK/TA-04
rev01

PROGRAM STUDI S-1 JURUSAN TEKNIK SIPIL FTSP - ITS
LEMBAR KEGIATAN ASISTENSI TUGAS AKHIR (WAJIB DIISI)

Jurusan Teknik Sipil lt.2, Kampus ITS Sukolilo, Surabaya 601111
Telp.031-5946094, Fax.031-5947284



| | |
|-------------------|---|
| NAMA PEMBIMBING | : Ir. Faimun, M.Sc, PhD / Prof. Dr. Ir. I Gusti Putu Raka |
| NAMA MAHASISWA | : Ayuning Diah Nurjani |
| NRP | : 03111540000090 |
| JUDUL TUGAS AKHIR | : Desain Gedung dengan Sistem Self-Centering |
| TANGGAL PROPOSAL | : 29 Oktober 2019 |
| NO. SP-MMTA | : IT2.VI.4.1 / pp.05.02.00 / 2019 086140 |

| NO | TANGGAL | KEGIATAN | | PARAF ASISTEN |
|----|----------------------------------|-----------|---|---------------|
| | | REALISASI | RENCANA MINGGU DEPAN | |
| 4. | 18/02/2019 | | <ul style="list-style-type: none"> -Buat node: 1. wujud balok di lantai 2. wujud bald di plaf. 3. wujud seder tinggal dan yang dibentuk individu <p>node 1, untuk menulis bder mode 1, untuk menulis mode 2, untuk menulis yg praline mode 3, untuk sistem self centering.</p> | X |
| 5. | 04/03 2019 | | <ul style="list-style-type: none"> -Buat test permodelan SW | X |
| 6. | 11/03 2019 | | <ul style="list-style-type: none"> -Elemen link properties dihitung | X |
| 7. | 18/03 2019 <i>[Signature]</i> | | <ul style="list-style-type: none"> -Konfigurasi model sw diberi frame (tendon) | X |



PROGRAM STUDI S-1 JURUSAN TEKNIK SIPIL FTSP - ITS
LEMBAR KEGIATAN ASISTENSI TUGAS AKHIR (WAJIB DIISI)



Form AK/TA-04
rev01

Jurusan Teknik Sipil Lt.2, Kampus ITS Sukolilo, Surabaya 601111
Telp.031-5946094, Fax.031-5947284

| | |
|-------------------|--|
| NAMA PEMBIMBING | : Ir. Faimun, MSc., PhD / Prof. Dr. Ir. I Gusti Putu Raka, PhD |
| NAMA MAHASISWA | : Ayuning Diah Nuryani |
| NRP | : 03111540000090 |
| JUDUL TUGAS AKHIR | : Desain Gedung dengan Sistem Self-Centering |
| TANGGAL PROPOSAL | : 29 Oktober 2019 |
| NO. SP-MMTA | : 086140 |

| NO | TANGGAL | KEGIATAN | | PARAF ASISTEN |
|----|------------|---|---|---------------|
| | | REALISASI | RENCANA MINGGU DEPAN | |
| | 15/04/2019 | | | |
| | 19/04/2019 | | | |
| | 23/05/2019 | <ul style="list-style-type: none">→ Plat→ Tangga→ Balok lift→ Pembalokan balok prestress | <ul style="list-style-type: none">→ Momen nominal balok prestress→ Hubungan balok kolom Self-Centering | <u>Pew.</u> |
| | 13/06/2019 | | | |
| | | <u>TD</u> | | |



PROGRAM STUDI S-1 JURUSAN TEKNIK SIPIL FTSP - ITS
LEMBAR KEGIATAN ASISTENSI TUGAS AKHIR (WAJIB DIISI)

Jurusan Teknik Sipil Lt.2, Kampus ITS Sukolilo, Surabaya 601111

Telp.031-5946094, Fax.031-5947284



Form AK/TA-04

rev01

| | |
|-------------------|--|
| NAMA PEMBIMBING | : Ir. Faimun, MSc., PhD / Prof. Dr. Ir. I Gusti Putu Raka, PhD |
| NAMA MAHASISWA | : Ayuning Diah Nuryani |
| NRP | : 03111540000080 |
| JUDUL TUGAS AKHIR | : Desain Gedung dengan Sistem Self-Centering |
| TANGGAL PROPOSAL | : 29 Oktober 2018 |
| NO. SP-MMTA | : 086140 |

| NO | TANGGAL | KEGIATAN | | PARAF ASISTEN |
|----|------------|--|--|---------------|
| | | REALISASI | RENCANA MINGGU-DEPAN | |
| | 18/06/2019 | 1) Momen nominal dikoreksi Balok 2) Kolom OK | 1) Skenario pelaksanaan ↓ Perhitungan 2) Sambungan & hitung tegangannya 3) Tusuk Konde 4) Axis PPT H-3 sideng | |
| | 22/06 | Ajangi tanah lantai | dg Pakar, tr didepan dari pertemuan tadi P dan akhirnya | |
| | 28/06 | - Pantau tulang besi steel. - tulang corbel. (gambar aja) - tulang shearwall memangsa. | | |

BIODATA PENULIS

Ayuning Diah Nuryani



Lahir di Samarinda, pada tanggal 27 September 1997, merupakan anak pertama dari 3 bersaudara pasangan Bambang Sudarmono dan Sri Sudarningsih. Penulis telah menempuh pendidikan formal di SD Patra Dharma 3 Balikpapan, SMPN 1 Balikpapan, dan SMAN 1 Balikpapan. Kemudian penulis melanjutkan pendidikan sarjananya di Institut Teknologi

Sepuluh Nopember Jurusan Teknik Sipil (FTSLK-ITS) Surabaya melalui Program Sarjana dan terdaftar dengan NRP. 03111540000080. Selama menempuh studi, penulis aktif di Unit Kegiatan Tari dan Karawitan (UKTK) dan pernah menjabat sebagai Sekretaris Departemen Internal. Selain itu, penulis juga aktif dalam kepanitiaan, salah satunya dengan mengikuti kepanitiaan Civil Expo ITS. Penulis adalah Mahasiswa Program Sarjana (S1) dengan bidang Studi Struktur dengan mengambil judul tugas akhir "**Desain Gedung dengan Sistem Self-Centering**"

Narahubung

Email : ayuningdiahnuryani@rocketmail.com